ESCUELA POLITÉCNICA NACIONAL

FACULTAD DE INGENIERÍA CIVIL Y AMBIENTAL

GESTIÓN DE DESECHOS TÓXICOS Y PELIGROSOS CON MATERIALES IMPREGNADOS CON HIDROCARBUROS, FÁRMACOS, BIOPELIGROSOS Y RESINAS DE LA EMPRESA HAZWAT MEDIANTE LA INCINERACIÓN.

TRABAJO DE TITULACIÓN, PREVIO A LA OBTENCIÓN DEL TÍTULO DE INGENIERO AMBIENTAL

AUTORES:

ADRIANA ELIZABETH MOGOLLÓN ESTÉVEZ

DAMARIS HIPATIA VALLEJO CORAL

DIRECTORA:
ING. LUCÍA MONTENEGRO A. M.Sc.

Quito, 19 julio 2022

DECLARACIÓN

Nosotros, Mogollón Estévez Adriana Elizabeth y Vallejo Coral Dámaris Hipatia, declaramos que el trabajo aquí descrito es de nuestra autoría, que no ha sido previamente presentado para ningún grado o calificación profesional, y que hemos consultado las referencias bibliográficas que se incluyen en este documento.

La Escuela Politécnica Nacional puede hacer uso de los derechos correspondientes ar este trabajo, según lo establecido por la Ley de Propiedad Intelectual, por su Reglamento y por la normativa institucional vigente.

ADRIANA ELIZABETH MOGOLLÓN ESTÉVEZ	DÁMARIS HIPATIA VALLEJO CORAL

CERTIFICACIÓN

Certifico que el presente trabajo fue desarrollado Adriana Elizabeth Mogollón Estévez y Damaris Hipatia Vallejo Coral, bajo mi supervisión.

Lucía Montenegro. M.Sc. DIRECTORA DEL PROYECTO

AGRADECIMIENTO

Agradezco con todo mi corazón a Dios y mi Virgencita María quienes me han guiado y bendecido para hacer las cosas de la mejor manera, por darme fortaleza y sabiduría.

A mi madre, que es un pilar fundamental dentro de mi vida, por regalarme su apoyo infinito, al enseñarme a ser una persona con excelentes valores y nunca darme por vencida, ella siempre encuentra las palabras adecuadas para alentarme.

A mi ñaño Miguel, que a pesar de que no está presente de forma física en mi vida, estuvo conmigo cuando empecé este viaje de altibajos en mi querida POLI, aún recuerdo todos tus consejos.

A mi pequeño Cris, quien ha tenido que estar a cuidados de los demás para verme llegar a ser una profesional, gracias por tus cariñitos y ocurrencias, eres el motor por el cual siempre busco salir a delante.

A mi padre y hermanos que han estado presentes de una u otra forma ayudándome para poder culminar mi carrera.

Un agradecimiento especial a la M.Sc. Lucia Montenegro por todas sus enseñanzas, dirección, esfuerzo y dedicación al ser nuestra directora de tesis.

A los diferentes laboratorios (LAI, LDIA, LOU y LPQ) que nos brindaron su ayuda para la realización de los ensayos y al centro de investigación CICAM por su colaboración.

A mis amigos incondicionales que siempre estuvieron ahí para explicarme cualquier duda, ustedes me enseñaron que no se necesita ser de un mismo lugar para ayudar a los demás, gracias por el acolite y la diversión.

A mis compañeros de clase, por hacer de este viaje una etapa de mi vida muy especial y sobre todo a mi amiga de tesis Damy quien se aventuró conmigo a realizar este arduo trabajo.

Adriana

DEDICATORIA

Mi trabajo de titulación va dedicado, a mi querida mamita Ufe, quiero que sepa que esto lo logre por ella, por su tiempo, paciencia y dinero.

A mi pequeño Cris quien siempre ha estado en mis pensamientos para poder culminar mi carrera y darle un buen futuro, demostrarle que no importa las etapas de la vida en las que te encuentres, que los sueños se cumplen al no darse por vencido siendo una buena persona.

Adriana

AGRADECIMIENTO

Doy gracias a la vida por brindarme una familia hermosa, que siempre agradeceré infinitamente por el apoyo y el amor que me han ofrecido en cada etapa de mi vida.

Mi agradecimiento a M.Sc. Lucía Montenegro por el apoyo impartido para la culminación del presente trabajo de titulación.

Dámaris

DEDICATORIA

A mi abuela Luz Marina Pazos, mi luz desde el cielo.

A mis padres Marisol y Ramiro, mis guías en este camino llamado vida.

A mis hermanos Anthony y Keily, familia, amigos y personas que me han apoyado en cada paso que he dado.

A mis mascotas, mis compañeras de aventuras desde que empecé el pregrado.

Dámaris

ÍNDICE

DE	CLARACIÓN	I
CE	RTIFICACIÓN	II
AG	RADECIMIENTO	III
DEI	DICATORÍA	V
AG	RADECIMIENTO	VI
DEI	DICATORÍA	VII
ÍND	ICE	VIII
ÍND	ICE DE FIGURAS	XIII
ÍND	ICE DE TABLAS	XVI
SIG	LAS Y SIMBOLOGÍA	XIX
GL	OSARIO DE TÉRMINOS	XXI
RES	SUMEN	XXIV
AB	STRACT	XXVI
CAl	PÍTULO 1	1
INT	RODUCCIÓN	1
1.1	ANTECEDENTES	1
1.2	JUSTIFICACIÓN	3
1.3	ALCANCE	4
1.4	OBJETIVOS	5
	1.4.1 OBJETIVO GENERAL	5
	1.4.2 OBJETIVOS ESPECÍFICOS	5
1.5	PLANTEAMIENTO DEL PROBLEMA	
	PÍTULO 2	
	RCO TEÓRICO	
2.1	DESECHOS PELIGROSOS	8
2.2	DISPOSICIÓN FINAL DE LOS DESECHOS PELIGROSOS	10
	2.2.1 RECICLAJE DE MATERIALES	
	2.2.2 BIORREMEDIACIÓN	
	2.2.3 INACTIVACIÓN POR AUTOCLAVE	11
	2.2.4 INCINERACIÓN	12
	2.2.5 CELDA DE SEGURIDAD Y ESTABILIZACIÓN	13

2.3	INCINERACIÓN DE DESECHOS PELIGROSOS	13
	2.3.1 TIPOS DE INCINERADORES Y PROCESOS DE COMBUSTIÓN	15
	2.3.1.1 Tipos de incineradores	15
	2.3.1.2 Cámaras de Combustión	19
	2.3.2 PRINCIPALES CRITERIOS PARA ANALIZAR EN UNA PLANTA	
	DE INCINERACIÓN	22
	2.3.3 CARACTERIZACIÓN DE DESECHOS PARA INCINERACIÓN	27
	2.3.4 DESCRIPCIÓN DEL INCINERADOR DE HAZWAT	31
2.4	VENTAJAS Y DESVENTAJAS DE LA INCINERACIÓN	32
	2.4.1 VENTAJAS DEL PROCESO DE LA INCINERACIÓN	32
	2.4.2 DESVENTAJAS DEL PROCESO DE LA INCINERACIÓN	33
2.5	EMISIONES ATMOSFÉRICAS Y MATERIAL PARTICULADO	34
2.6	CATEGORÍAS DE DESECHOS PELIGROSOS QUE RECIBE HAZWAT	39
	2.6.1 MATERIALES	
	ADSORBENTES/FILTRANTES/ENVASES/EMBALAJE - TIPO "0"	40
	2.6.2 APROVECHABLES – TIPO "0"	40
	2.6.3 MATERIALES IMPREGNADOS CON HIDROCARBUROS-TIPO "1"	40
	2.6.4 FÁRMACOS - TIPO "2"	41
	2.6.5 BIOPELIGROSOS - TIPO "3"	41
	2.6.6 SOLVENTES/PINTURAS/RESINAS - TIPO "4"	41
2.7	DESCRIPCIÓN DEL PROCESO DE DISPOSICIÓN FINAL DE DESECHOS	
	EN LA EMPRESA HAZWAT	42
2.8	DESCRIPCIÓN DE LA OPERACIÓN Y CONTROL DE EMISIONES	
	GASEOSAS DEL INCINERADOR DE LA EMPRESA HAZWAT	45
	2.8.1 CALDERO DE RECUPERACIÓN DE CALOR	46
	2.8.2 TANQUE DE ALIMENTACIÓN DEL CALDERO	46
	2.8.3 TANQUE DE RETORNO DE CONDENSADO	47
	2.8.4 VENTILADOR DE TIRO INDUCIDO	47
	2.8.5 VENTURI	48
	2.8.6 DEPURADOR HÚMEDO	50
	2.8.7 PROCESO DE TRATAMIENTO DE AGUAS DEL LAVADOR DE	
	GASES	51
2.9	BALANCE DE MASA Y ENERGÍA	52

	2.9.1 BALANCE DE MASA	53
	2.9.2 BALANCE DE ENERGÍA	54
	2.9.3 BALANCE DE MASA Y ENERGÍA EN SISTEMAS CON REACCIÓN	
	QUÍMICA DE COMBUSTIÓN	54
2.10) NORMATIVA AMBIENTAL NACIONAL	55
	2.10.1 ACUERDO MINISTERIAL No. 061, REFORMA DEL LIBRO VI	
	DEL TEXTO UNIFICADO DE LEGISLACIÓN SECUNDARIA,	55
	2.10.2 ACUERDO MINISTERIAL No. 026, PROCEDIMIENTOS PARA	
	REGISTRO DE GENERADORES DE DESECHOS PELIGROSOS,	
	GESTIÓN DE DESECHOS PELIGROSOS PREVIO AL	
	LICENCIAMIENTO AMBIENTA, Y PARA EL TRANSPORTE DE	
	MATERIALES PELIGROSOS	56
	2.10.3 ACUERDO MINISTERIAL No. 142, LISTADO NACIONAL	
	SUSTANCIAS QUIMICAS PELIGROSAS DESECHOS PELIGROSOS	
	58	
	2.10.4 ORDENANZA MUNICIPAL DEL DISTRITO METROPOLITANO	
	DE QUITO No. 138	58
CA	PÍTULO 3	60
ME	TODOLOGÍA	60
3.1	ÁREA DE ESTUDIO	60
3.2	RECOPILACIÓN DE DATOS	61
3.3	RECONOCIMIENTO DE LOS DESECHOS PELIGROSOS EN LA	
	EMPRESA	62
3.4	ELABORACIÓN DEL MENÚ DE CARGA DE INCINERACIÓN	63
3.5	MUESTREO DE DESECHOS	64
3.6	ANÁLISIS DE LABORATORIO DE LAS MUESTRAS A INCINERAR	65
	3.6.1 PORCENTAJE DE HUMEDAD	66
	3.6.2 PODER CALÓRICO	68
	3.6.3 ANÁLISIS DE IDENTIFICACIÓN DE COMPUESTOS	69
	3.6.4 ANÁLISIS DE ACEITES Y GRASAS	70
	3.6.5 PORCENTAJE DE CENIZAS DE LOS MENÚS PLANTEADOS	72
	3.6.5.1 Determinación de la variación de porcentaje de cada desecho en	
	los menús de cargas	73

	3.6.5.2 Determinación del porcentaje de ceniza	73
3.7	DISEÑO EXPERIMENTAL DEL MENÚ	75
3.8	PRUEBA PILOTO (IN-SITU).	76
	3.8.1 CARACTERIZACIÓN DE EMISIONES ATMOSFÉRICAS	78
	3.8.2 ANÁLISIS DE ÁCIDO CLORHÍDRICO	80
	3.8.3 CARACTERIZACIÓN DE METALES PRESENTES EN LA CENIZA	82
3.9	BALANCE DE MASA Y ENERGÍA EN EL PROCESO DE INCINERACIÓN	85
3.10	EVALUACIÓN DE LA IMPLEMENTACIÓN DE LOS MENÚS EN LA	
	PLANTA	87
CA	PÍTULO 4	88
RES	SULTADOS Y DISCUSIÓN	88
4.1	INVENTARIO DE DESECHOS PRESENTES EN LA PLANTA HAZWAT	89
4.2	DETERMINACIÓN DE DESECHOS A CONSIDERAR EN EL MENÚ DE	
	INCINERACIÓN	89
	4.2.1 DESECHOS SELECCIONADOS PARA EL MENÚ DE	
	INCINERACIÓN	90
	4.2.2 MUESTREO DE DESECHOS SELECCIONADOS	91
4.3	RESULTADOS DE LA CARACTERIZACIÓN DE LOS DESECHOS	93
	4.3.1 PORCENTAJE DE HUMEDAD	93
	4.3.2 PODER CALÓRICO	95
	4.3.3 ANÁLISIS DE IDENTIFICACIÓN DE COMPUESTOS	97
	4.3.4 ACEITES Y GRASAS	99
	4.3.5 PORCENTAJE DE CENIZAS	100
4.4	DISEÑO EXPERIMENTAL	102
4.5	PRUEBAS PILOTO	104
	4.5.1 CARACTERIZACIÓN DE EMISIONES ATMOSFÉRICAS	104
	4.5.2 ÁCIDO CLORHÍDRICO	108
	4.5.3 CONTENIDO DE METALES EN CENIZAS	109
4.6	BALANCE DE MASA Y ENERGÍA	111
	4.6.1 RESULTADOS DEL BALANCE DE MASA	111
	4.6.2 RESULTADOS DEL BALANCE DE ENERGÍA	117
4.7	MENÚS ÓPTIMOS PARA EL PROCESO DE INCINERACIÓN	118

	4.7.1 DATOS DEL CONTENIDO DE HUMEDAD Y PODER CALÓRICO	
	PONDERADO DEL MENÚ DE CARGA	119
	4.7.2 MENÚS DE INCINERACIÓN.	120
CA	PÍTULO 5	122
CO	NCLUSIONES Y RECOMENDACIONES	122
5.1	CONCLUSIONES	122
5.2	RECOMENDACIONES	123
RE	FERENCIAS BIBLIOGRÁFICAS	124
AN	EXOS	135
AN	EXO 1	136
	Inventario de desechos peligrosos presentes en cada galpón de HAZWAT	136
AN.	EXO 2	145
	Resultados de la cuantificación del Poder Calórico de los desechos	
	seleccionados	145
AN.	EXO 3	152
	Reportes del análisis de espectroscopia de infrarrojo con transformadas de	
	Fourier	152
AN	EXO 4	163
	Datos obtenidos del diseño experimental	163
AN	EXO 5	166
	Toma de muestras de cloro	166
AN	EXO 6	171
	Informes de monitoreo de la emisión de gases en el incinerador de la prueba	
	piloto	171
AN	EXO 7	178
	Informe de resultados del contenido de metales en cenizas	178
AN.	EXO 8	180
	Cálculo de balance de masa y energía	180
AN	EXO 9	203
	Gráfica para la determinación del Cp para gases de combustión	203

ÍNDICE DE FIGURAS

Figura 1. Horno rotatorio con cámara de postcombustión	. 16
Figura 2. Horno múltiple	. 18
Figura 3. Horno fijo de dos cámaras o de aire controlado	. 19
Figura 4. Tratamiento de depuración de gases de combustión de	. 24
Figura 5. Variación del PCI vs humedad en el residuo	. 28
Figura 6. Triángulo de Tanner para la evaluación de la combustibilidad de los	
desechos	. 30
Figura 7. Incinerador PENNRAM	. 31
Figura 8. Diagrama de flujo del proceso de la disposición	. 43
Figura 9. Diagrama de flujo del proceso de depuración de gases	. 45
Figura 10. Caldero de recuperación de calor	. 46
Figura 11. Inductor del sistema de lavador de gases	. 48
Figura 12. Esquema de funcionamiento Venturi	. 49
Figura 13. Depurador húmedo-Scrubber	. 50
Figura 14. Esquema de proceso para el tratamiento fisicoquímicos del agua	
residual de un sistema de tratamiento húmedo de gases de	
combustión	. 52
Figura 15. Esquema de balance de masa y energía en un proceso de	
combustión	. 53
Figura 16. Descripción del balance de masa global	. 53
Figura 17. Descripción del balance de energía global	. 54
Figura 18. Ubicación de la Planta Cayambe HAZWAT	. 61
Figura 19. Recolección de plásticos, pastillas	. 65
Figura 20. Recipiente utilizado para la	. 65
Figura 21. Procedimiento realizado en el ensayo de aceites y grasas	. 71
Figura 22. Desechos en el área de combustión	. 76
Figura 23. Pesaje de desechos	. 77
Figura 24. Alimentación de carga al incinerador	. 77
Figura 25. Preparación de impingers	. 79
Figura 26. Monitoreo de gases	. 79
Figura 27. Pretratamiento de la muestra	. 82

Figura 28.	Procedimiento para la digestión de sólidos	. 83
Figura 29.	Proceso de absorción atómica	. 84
Figura 30.	Datos obtenidos del ensayo de poder calórico del Aserrín 1	. 96
Figura 31.	Clasificación del grupo funcional Poliamidas	. 98
Figura 32.	Porcentaje de aceite y grasas contenida en el EPP	100
Figura 33.	Promedio del porcentaje de cenizas de cada menú	102
Figura 34.	Intervalos de ceniza vs. Recetas	103
Figura 35.	Histograma de los 10 menús	104
Figura 36.	Balance de masa del proceso de incineración	115
Figura 37.	Balance de energía del proceso de incineración	118
Figura 38.	Datos obtenidos del ensayo de poder calórico del EPP 1	146
Figura 39.	Datos obtenidos del ensayo de poder calórico del EPP 2	146
Figura 40.	Datos obtenidos del ensayo de poder calórico del EPP 3	147
Figura 41.	Datos obtenidos del ensayo de poder calórico de las Pastillas 1	147
Figura 42.	Datos obtenidos del ensayo de poder calórico de las Pastillas 2	148
Figura 43.	Datos obtenidos del ensayo de poder calórico de las Pastillas 3	148
Figura 44.	Datos obtenidos del ensayo de poder calórico del Aserrín 2	149
Figura 45.	Datos obtenidos del ensayo de poder calórico del Aserrín 3	149
Figura 46.	Datos obtenidos del ensayo de poder calórico del Aceite 1	150
Figura 47.	Datos obtenidos del ensayo de poder calórico del Aceite 2	150
Figura 48.	Datos obtenidos del ensayo de poder calórico del Aceite 3	151
Figura 49.	Clasificación de los grupos funcionales Alcanos y Alquenos	153
Figura 50.	Clasificación del grupo funcional Poliéteres	153
Figura 51.	Identificación del grupo funcional Carbo-ácidos	154
Figura 52.	Clasificación del grupo funcional Nitratos	154
Figura 53.	Clasificación del grupo funcional Poliéteres	155
Figura 54.	Clasificación del grupo funcional Compuestos de Azufre	155
Figura 55.	Clasificación del grupo funcional Amidas	156
Figura 56.	Clasificación del grupo funcional Poliamidas	156
Figura 57.	Clasificación del grupo funcional Carbo-Ácidos	157
Figura 58.	Clasificación del grupo funcional Amidas y Poliamidas	157
Figura 59.	Clasificación del grupo funcional Alcanos	158
Figura 60.	Clasificación del grupo funcional Poliureas	158

Figura 61. Clasificación del grupo funcional Poliamidas	159
Figura 62. Correlación del análisis de la muestra Pastillas caducadas_1 vs.	
Pastillas caducadas_3	160
Figura 63. Correlación del análisis de la muestra Pastillas caducadas_2 vs.	
Pastillas caducadas_1	161
Figura 64. Correlación del análisis de la muestra Pastillas caducadas_2 vs.	
Pastillas caducadas_3	162
Figura 65. Guía de tomas de muestra de HCI	167
Figura 66. Informe del monitoreo realizado después del lavador de gases	172
Figura 67. Informe del monitoreo realizado de la chimenea con salida directa	
del incinerador	175
Figura 68. Informe de contenido de metales en las cenizas	179
Figura 69. Propiedades de gases de combustión a P=1atm	204

ÍNDICE DE TABLAS

Tabla 1. Criterios aplicados para valorar el desempeño de las plantas de	
incineración	. 22
Tabla 2. Concentración de gases de combustión después de la caldera (gas	
de combustión sin tratamiento en diversas plantas de incineración	
de residuos	. 35
Tabla 3 Clasificación de los desechos que ingresan a la planta de Tipo "0",	
"1", "2", "3", "4", que son susceptibles a la incineración, desarrollada	
por HAZWAT	. 39
Tabla 4. Datos a obtenerse del monitoreo de emisiones a la atmósfera	. 57
Tabla 5. Anexos del Listado 142	. 58
Tabla 6. Límites máximos permisibles para emisiones al aire para	
incineradores contaminante	. 59
Tabla 7 Métodos usados a los desechos peligrosos para la incineración	. 66
Tabla 8 Variaciones de porcentaje en peso de cada desecho dentro de las	
diferentes categorías	. 72
Tabla 9. Menús propuestos, variando su composición porcentual de cada	
categoría	. 73
Tabla 10. Procedimiento para la determinación de metales por absorción	
atómica en sólido (ceniza) por medio de flama, horno de grafito e	
hidruros	. 85
Tabla 11. Desechos seleccionados para el menú de carga de incineración	. 90
Tabla 12. Resultados del tamaño de muestra representativa de los desechos	
seleccionados para el menú de carga	. 92
Tabla 13. Datos obtenidos del cálculo del porcentaje de humedad del análisis	
de laboratorio	. 93
Tabla 14. Contenido de humedad de cada uno de los desechos elegidos	. 94
Tabla 15. Resultados obtenidos del ensayo de poder calórico	. 95
Tabla 16. Contenido de poder calórico de cada uno de los desechos	
seleccionados	. 96
Tabla 17. Clasificación de los grupos funcionales encontrados en el análisis	
FTIR de pastillas trituradas	. 99

Tabla 18	Datos obtenidos del análisis de porcentaje de cenizas de los 10	
	menús establecidas en las tres replicas realizadas	101
Tabla 19.	Datos obtenidos en los monitoreos de los parámetros de la emisión	
	de gases	105
Tabla 20.	Comparación de los límites máximos permisibles con la Ordenanza	
	Municipal 138 DQM	106
Tabla 21.	Comparación de los límites máximos permisibles con el Decreto	
	2008/98/CE Europeo	107
Tabla 22.	Comparación de los límites máximos permisibles con la Norma	
	SEMARNAT NOM-098 mexicana	108
Tabla 23.	Datos obtenidos del análisis de los cloruros totales en los gases de	
	combustión	109
Tabla 24.	Comparación de los límites máximos permisibles para la extracción	
	de metales pesados en base seca, con la Ordenanza Municipal 404	
	DQM	110
Tabla 25.	Resultados del flujo de C y H presente en el menú de carga seis	112
Tabla 26	Composición en fracción, porcentaje y flujo másico del menú de	
	carga número seis	113
Tabla 27.	Determinación del promedio ponderado del menú del contenido de	
	humedad y el poder calórico	119
Tabla 28.	Menú 6 propuesto para la alimentación del incinerador	120
Tabla 29.	Menú 7 propuesto para la alimentación del incinerador	121
Tabla A1.	1 Galpón de fármacos	137
Tabla A1.	2 Galpón de pinturas y resinas	138
Tabla A1.	3 Galpón de químicos	140
Tabla A1.	4 Galpón de aceites y grasas	141
Tabla A1.	5 Galpón de refinerías	144
Tabla A4.	1 Menús propuestos para el diseño experimental	164
Tabla A8.	1 Contenido de carbono e hidrógeno presentes en los desechos de	
	pastillas trituradas.	181
Tabla A8.	2 Contenido de carbono e hidrógeno presentes en el desecho de	
	EPP contaminado con hidrocarburos	182

Tabla A8.3 Contenido de carbono e hidrógeno presentes en desechos	
biopeligrosos	182
Tabla A8.4 Contenido de carbono e hidrógeno presentes enla ropa	183
Tabla A8.5 Contenido de carbono e hidrogeno presentes en el aceite	
contaminado, resina epóxica, aserrín y plástico	183

SIGLAS Y SIMBOLOGÍA

AAN: Autoridad Ambiental Nacional

AM: Acuerdo Ministerial

ASTM: Sociedad Americana para Pruebas y Materiales

CCS: Cámara de Combustión Secundaria

CH₄: Metano

CICAM: Centro de investigación y Control Ambiental

CO: Monóxido de carbono

COT: Compuestos orgánicos totales

CO₂: Dióxido de carbono

CRETIB: Corrosivo, Reactivo, Explosivo, Tóxico, Infeccioso y Biológico

cSt: centistokes

DQM: Distrito Metropolitano de Quito

EPA: Agencia para la Protección Ambiental

EPP: Equipo de Protección Personal

ERAS: Estaciones de Remediación Ambiental

INEN: Instituto Ecuatoriano de Normalización

INEC: Instituto Nacional de Estadística y Censos

LAI: Laboratorio de Análisis Instrumental de la Escuela Politécnica Nacional

LDIA: Laboratorio Docente de Ingeniería Ambiental de la Escuela Politécnica

Nacional

LOU: Laboratorio de Operaciones Unitarias de la Escuela Politécnica Nacional

LPQ: Laboratorio de Procesos Químicos de la Escuela Politécnica Nacional

MAATE: Ministerio del Ambiente, Agua y Transición Ecológica

MP: Material particulado

NOx: Óxidos de nitrógeno

NTE: Norma Técnica Ecuatoriana

OM: Ordenanza Municipal

OMS: Organización Mundial de la Salud

PCS: Poder calórico superior

PCI: Poder calórico inferior

RDF: Combustible derivado de residuos

SO₂: Dióxido de azufre

TULSMA: Texto Unificado de Legislación Secundaria del Ministerio del Ambiente.

GLOSARIO DE TÉRMINOS

Almacenamiento: labor de acopiar temporalmente residuos en tanto se procesan para su aprovechamiento, se transfiere al servicio de recolección o se dispone de ellos (Echanique et al., 2006).

Bulk tanks: es un recipiente con forma cúbica con una rejilla rígida de acero tubular por fuera de la estructura en forma de soporte. Se utiliza para el transporte y el almacenamiento de líquidos o material a granel (Precision IBC, 2017).

Calidad ambiental: agrupación de características ambientales y naturales, incluidos el aire, el agua, el suelo y la biodiversidad, relacionada con la presencia o ausencia de sustancias nocivas que pueden afectar el mantenimiento y la regeneración de los ciclos de vida naturales, la estructura, la función y los procesos evolutivos (MAE, 2015).

Caracterización de los residuos: proceso para una comprensión integral de las propiedades estadísticamente confiables de los residuos, incluido el muestreo y la determinación de los componentes fisicoquímicos, biológicos y microbiológicos. Los datos de caracterización generalmente se refieren a mediciones de campo y determinaciones de laboratorio que arrojan concentraciones de contaminantes, masa por unidad de tiempo y masa por unidad de producto (Echanique et al., 2006).

Contaminación: presencia de uno o más contaminantes, o una combinación de ellos, en el ambiente en concentraciones y persistencia suficientes para causar condiciones adversas para la vida, la salud y el bienestar humano, la flora, la fauna y los ecosistemas, o para causar una degradación significativa de los hábitats biológicos. aire, agua, suelo, paisaje o recursos naturales (MAE, 2015).

Control: gama de actividades realizadas por la autoridad ambiental, encaminadas a garantizar la gestión técnica de los desechos peligrosos (Echanique et al., 2006).

Desecho: sustancias (sólidas, semisólidas, gaseosas o líquidas), o materiales compuestos resultantes de procesos de producción, transformación, reciclaje, uso o consumo, cuya destrucción o disposición final se realice de conformidad con lo dispuesto en la legislación ambiental nacional e internacional vigente (MAE, 2015).

Disposición final: es la etapa final de la gestión de desechos y/o residuos sólidos, peligrosos y especiales donde se disponen de forma definitiva y sanitaria mediante procesos de segregación y contención previa, en un lugar específicamente elegido y diseñado para evitar la contaminación, daño o riesgo para la salud humana o el ambiente. La disposición final se realizará luego de excluir técnicamente todo tipo de tratamiento, tanto dentro como fuera del Ecuador (MAE, 2015).

Envases: el recipiente que tiene almacenado el producto (Echanique et al., 2006).

Etiqueta: es cualquier expresión escrita, no gráfica, que está directamente impresa o grabada en el envase y empaque de un producto para exhibición comercial e identificación (Echanique et al., 2006).

Extracto PECT: El lixiviado a partir del cual se determinan los constituyentes tóxicos del desecho y su concentración con la finalidad de identificar si éste es peligroso por su toxicidad al ambiente (MAATE, 2015).

Generación: cantidad de desechos de una fuente determinada en un intervalo de tiempo dado (Echanique et al., 2006).

Gestión Integral: Conjunto de procesos como: la recogida, almacenamiento, transporte, reciclado y tratamiento, eliminación de desechos, incluidas las actividades de control, lugar de almacenamiento y eliminación (Echanique et al., 2006).

Gestor de residuos y/o desechos: persona natural o jurídica, de derecho público o privado, registrada para disponer total o parcialmente de los desechos sólidos no

peligrosos o desechos peligrosos especiales, sin causar perjuicios a la salud humana o al medio ambiente (MAE, 2015).

Manejo: gestión de procesos en: recolección, empaque, etiquetado, almacenamiento, reutilización, reciclaje, transporte, manejo y disposición final (Echanique et al., 2006).

Metales alcalinotérreos: pertenecen al Grupo II A de la tabla periódica, así: Berilio (Be), Estroncio (Sr), Magnesio (Mg), Calcio (Ca) y Bario (Ba). Son metales blandos no ferrosos de baja densidad. Reaccionan fácilmente con halógenos para conformar sales iónicas (Reymond, 2006).

Pasivo ambiental: es el daño ambiental y/o impacto ambiental negativo causado por una obra, proyecto o actividad productiva o económica que no ha sido reparada, restaurada o intervenida previamente de manera inadecuada o incompleta, y que persiste en el ambiente, donde sus componentes constituyen un riesgo. En términos generales, el pasivo ambiental está asociada con las fuentes de contaminación y aumenta con el tiempo (MAE, 2015).

Residuos: se refiere a un objeto, sustancia o elemento que se puede reutilizar o reciclar (Echanique et al., 2006).

Residuos peligrosos: son aquellos desechos líquidos, sólidos, pastosos o gaseosos, generados en cualquier proceso de fabricación, transformación, reciclaje, uso o consumo y que contienen sustancias reactivas, inflamables, corrosivas, infecciosas o tóxicas que representan un riesgo para el ser humano, la salud, los recursos naturales y el ambiente (Echanique et al., 2006).

RESUMEN

El objetivo fundamental de este proyecto de investigación es elaborar menús de carga para la disposición final de desechos peligrosos en la empresa HAZWAT, mediante el proceso térmico de incineración; para lo cual, se consideró el inventario existente sobre la disponibilidad de desechos peligrosos en la planta, tomando en cuenta su tiempo de almacenamiento y suministro.

Para la determinación de los menús de carga se partió de la elección de los desechos con los que se iba a trabajar. Tomando en cuenta sus características químicas, físicas y biológicas, al igual que el volumen de ingreso de desechos y su tiempo de estancia en la planta. De manera que, mediante un muestreo aleatorio, se obtuvo una muestra representativa de 5 a 7 kg aproximadamente, para cada uno de los desechos.

En los ensayos de laboratorio se realizaron los análisis dependiendo los datos que se necesitaba de cada uno de los desechos. Dentro de estos ensayos se efectuó la determinación de contenido de humedad mediante el método (ASTM C566-97), el poder calórico (ASTM D5865-10a), porcentaje de aceites y grasas (ASTM D5369-93) y el análisis espectroscópico (ASHTO T302). A través de los datos obtenidos se determinó 10 menús con diferente composición porcentual, tanto en su contenido de tipo de desechos y energía proporcionada. Los menús fueron sometidos a una simulación de incineración utilizando una mufla, llegando a una temperatura máxima de 900 °C, con el fin de determinar el porcentaje de cenizas producido en la incineración.

Para contrastar los resultados obtenidos en la cuantificación del porcentaje de ceniza, se realizó una prueba piloto en la planta HAZWAT, seleccionando la mezcla del menú 6 que obtuvo el menor porcentaje de cenizas con un valor de 5,19 %, y así verificar la eficiencia de producción de ceniza real. Simultáneamente a este proceso se efectuó el monitoreo de emisiones de gases de combustión antes y después del lavador de gases, los resultados fueron comparados con la OM-138 DMQ, el primer punto de muestreo después del lavador de gases cumplió con la

normativa en todos los parámetros; sin embargo, el segundo punto antes del lavador de gases sobrepasaba exorbitantemente el límite máximo permisible en las emisiones de CO con un valor de 2 386 mg/Nm³. Además, se efectuó el análisis de contenido de metales en la cenizas producto de la incineración de dicha mezcla para conocer su composición, la cual se comparó con la OM 404 DMQ, incumpliendo en el zinc con una concentración de 3 713 mg/kg.

Se determinó los menús de carga óptimos para incinerar de desechos peligrosos los cuales están compuestos por: EPP contaminado con hidrocarburos 0,7 a 0,8 %, envases plásticos 2,0 a 2,5 %, aserrín 8,5 a 9,0 %, aceite contaminado 69,0 a 71,0 %, pastillas trituradas 5,2 a 5,5 %, biopeligrosos 5,0 a 8,0 %, resina epóxica 4,0 a 5,0 % y ropa 1,5 a 2,0 %, los cuales tienen un poder calórico de aproximadamente 8 611,33 kcal/kg.

Finalmente, se determinó la eficiencia de generación de ceniza del incinerador al utilizar el menú de carga propuesto, la cual alcanzo un 95 %, demostrando que este es óptimo y viable económicamente, al disminuir el consumo de combustible auxiliar y la producción de contaminantes al ambiente.

ABSTRACT

The main objective of this research project is to develop a loading menu for the treatment of hazardous waste by thermal incineration in the HAZWAT company. The availability lists of existing hazardous waste in the plant are considered in terms of useful life and availability.

The starting point for determining the load menu is to select the waste to be processed. Consider its chemical, physical and biological properties, as well as the amount of waste input and its residence time in the facility. A representative sample of approximately 5 to 7 kg was obtained for each residue by random sampling.

In laboratory tests, the analysis is based on the data required for each type of waste. In these tests, moisture content was determined using methods (ASTM C566-97), heat content (ASTM D5865-10a), percentage of oil (ASTM D 5369-93), and spectral analysis (ASHTO T302). From the data obtained, 10 menus were identified with different percentages, including type of waste content and energy provided. Use a muffle furnace to simulate the combustion of the menu up to 900 °C. How to determine the percentage of ash produced during combustion.

To compare the results obtained with the ash quantification, a pilot test was carried out at the HAZWAT plant, selecting the Menu 6 mixture that yielded a minimum ash content of 5,19 %, thus validating the efficiency of true ash production. Parallel to this process, the monitoring of atmospheric emissions was carried out before and after the scrubber and the results were compared with the DMQ OM-138, all the parameters were fulfilled in the first sampling point and all the parameters were fulfilled in the second. sampling point. In contrast, the value of 2 386 mg/Nm3 exceeds the maximum permissible limit for CO emissions. In addition, the metal content of the incineration ash product of this mixture was analyzed to understand its composition and compared to OM 404 DMQ, excluding zinc at a concentration of 3 713 mg/kg.

The optimal feeding menu for the incineration of hazardous waste was identified, including: EPP contaminated with hydrocarbons 0,7 to 0.8 %, plastic containers 2,0 to 2,5 %, sawdust 8,5 to 9,0 %, contaminated oil 69,0 to 71,0 %, rubble 5,2 to 5,5 %, biohazard 5,0 to 8,0 %, epoxy 4,0 to 5,0%, garment 1,5 to 2,0 %, its calorific value is about 8 611,33 (kcal/kg).

Finally, the ash generation efficiency of the incinerator was determined using the suggested load menu, reaching 95 %, which indicates that it is optimal and economically feasible by reducing the consumption of auxiliary fuel and the production of pollutants to the environment.

CAPÍTULO 1 INTRODUCCIÓN

1.1 ANTECEDENTES

La gestión de desechos constituye un problema a nivel global; factores como el rápido crecimiento poblacional, la alta concentración demográfica en grandes ciudades, el desarrollo económico, las operaciones ineficientes del sector industrial y/o comercial, la mejora de los niveles de vida, etc., aumentan la generación de desechos en las ciudades y comunidades (Sáez & Urdaneta, 2014).

Además, la gran mayoría de procesos industriales y de consumo generan desechos peligrosos que son arrojados al ambiente tales como: metales pesados, hidrocarburos, plaguicidas, etc.; de esta forma afectando a factores bióticos y abióticos (Suárez, 2000). Ya que la mayoría de estos desechos no pueden ser degradados fácilmente y tienen un tiempo de descomposición muy largo (Valdovinos, 2010), en consecuencia la mala gestión de desechos peligrosos genera perjuicios a la salud de la población, afectación a la calidad de vida y al ambiente (Moreno, 2011).

En el Ecuador se generan 24 948 951,51 ton/año de desechos peligrosos líquidos, así como 917 622,54 ton/año de desechos peligrosos sólidos, provenientes de la industria manufacturera, minas, construcción, comercio transporte, almacenamiento, entre otras (INEC, 2020). Hay que tomar en cuenta, que Colombia siendo un país vecino produce anualmente alrededor de 400 000 ton/año de desechos peligrosos sólidos procedentes de los procesos industriales, hospitales, centros de salud, industria farmacéutica y textil (Artunduaga et al., 2015).

Considerando los datos mencionados anteriormente, no hay que dejar de lado los impactos negativos que se produce en la salud de las personas y el ambiente por la mala manipulación de desechos y sustancias tóxicas en su disposición final. Dado que, en el 2012 en el estudio realizado por la Organización Mundial de la Salud (OMS), se considera que 12,6 millones de personas perdieron la vida por la exposición a riesgos ambientales en el planeta, por vivir o trabajar en un ambiente insalubre o estar expuesto a productos químicos (OMS, 2016a).

En nuestro país, se realiza la gestión de los desechos peligrosos mediante un gestor autorizado, el cual se encarga de todos los tratamientos para la disposición final que se les da a los mismos, puede llevarse desechos que se encuentren definidos en las actividades de su licencia ambiental de acuerdo con lo constituido en el Reglamento del Código Orgánico del Ambiente (MAATE, 2019), el cobro de la prestación de los servicios varía de acuerdo con el gestor proponente y la cantidad de desechos que se envía, de manera que la gestión de desechos peligrosos se vincula a la acogida de convenios internacionales para el manejo integral de sustancias y desechos peligrosos, emitidas por el Ministerio de Ambiente, Agua y Transición Ecológica (MAATE).

Uno de los procesos de disposición final que se ofrece a los desechos peligrosos es la incineración, la misma que se ha venido utilizando a nivel mundial desde décadas atrás con el fin de eliminar restos patológicos o sustancias tóxicas (Rosas et al., 2009). Los principales gestores autorizados dentro del país, para el manejo de desechos peligrosos que se encargan de la disposición final, por medio de la incineración son: Incinerox, Gadere, G&M, Ecuambiente y HAZWAT, las mismas que disponen con una Licencia Ambiental para la regularización de esta actividad (MAE, 2016).

En este contexto, HAZWAT es uno de los principales gestores ambientales autorizados, inició sus operaciones a partir del año 2003, cuenta con dos plantas industriales, una ubicada en Cayambe y la otra en Lago Agrio, ofrece un servicio de gestión integral, siendo su principal actividad la incineración. Cubre los sectores industriales como: petrolero, alimenticio, farmacéutico, hospitalario, floricultor, etc., teniendo una capacidad anual de aproximadamente 5 362,22 ton/año. Uno de sus problemas es reducción de las cenizas y el consumo de combustible (HAZWAT, 2017).

1.2 JUSTIFICACIÓN

La disposición final de desechos peligrosos mediante la incineración constituye una forma factible para la destrucción de elementos que pueden llegar a ocasionar grandes afectaciones a la salud y al ambiente. En la incineración se destruyen los compuestos orgánicos quemándolos a altas temperaturas, oxidando la materia orgánica para formar dióxido de carbono, agua y otros subproductos de la reacción (cenizas o escorias resultantes del material no combustible). De esta forma, todos los desechos peligrosos pierden sus características químicas, físicas y biológicas que en un principio amenazaban a la salud de seres vivos y el ambiente (Martínez, 2005).

Es importante recalcar, que gracias a la incineración se reduce del 70 al 90 % en masa y volumen de los desechos dependiendo de su composición (Kanhar et al., 2020). En ese sentido es fundamental que desde un inicio en el proceso de incineración se pueda garantizar la reducción de volumen de desechos y a su vez, rebajar los niveles de contaminantes en las emisiones de gases (CO₂, SO₂, NO_x, entre otros), así como la ceniza. Esta situación se puede lograr escogiendo los tipos de desechos que serán alimentados a la incineradora (Hernández, 2010).

Para la elección de incineración, como sistema de tratamiento de desechos peligrosos se debe tomar en cuenta las características de los desechos, por ejemplo su porción orgánica, considerando la presencia de elementos como el azufre (S); fósforo (P); cloro (CI) que pueden producir compuestos tóxicos (Rodríguez & Irabien, 2013), de igual modo, que los desechos sean semejantes entre los mismos, estén libres de metales pesados, el contenido de humedad y el poder calórico. De ese modo, se asegura que el menú de carga (mezcla de los desechos seleccionados que serán alimentados al incinerador) sea apto de entrar a un proceso de incineración (Hernández, 2010).

Las mezclas a partir del menú de carga de incineración resultarán de gran ayuda para la disposición final de desechos peligrosos producidos principalmente en los sectores industrial, petrolero, farmacéutico, hospitalario, entre otros, para una

óptima gestión en HAZWAT. Este proyecto resultará una herramienta eficiente y adaptable que asegurará bajos costos de operación, funcionamiento y un menú de carga de fácil aplicabilidad, además de que sus emisiones atmosféricas tendrán bajas concentraciones de contaminantes.

1.3 ALCANCE

El proyecto de titulación tiene la finalidad de elaborar dos menús de carga con los diferentes desechos peligrosos que llegan a la empresa HAZWAT, estableciendo una composición porcentual específica que mejore el proceso de incineración y así se disminuya las concentraciones de emisiones atmosféricas, la generación de cenizas y el consumo de combustible.

El proyecto se enfocó en la identificación y realización de un inventario de los diferentes desechos presentes en la empresa, luego, se determinó los desechos que se encontraban en mayor porcentaje, para considerarlos en la mezcla de incineración, tomando en cuenta que su composición química tenga concentraciones bajas de cloro y metales, sea una mezcla homogénea, evitando que se formen dioxinas en el proceso de incineración. Así pues, se procedió a realizar los ensayos de laboratorio para conocer las características intrínsecas de los desechos seleccionados, como: poder calórico, humedad, contenido de aceites y grasas, análisis espectroscópico y contenido de cenizas, dependiendo el requerimiento de cada uno de los desechos.

A partir de los datos obtenidos de los análisis de laboratorio, se estableció un menú de carga para realizar una prueba piloto dentro de la empresa, donde se monitoreó las emisiones atmosféricas de los siguientes parámetros: NO_x, SO₂, CO, CO₂, HCl y MP emitida por el incinerador antes y después del lavador de gases; combustible utilizado, la producción de ceniza y su contenido de metales.

Este proyecto ayudará a mejorar el proceso de incineración dentro de la Planta Cayambe de HAZWAT, utilizando los principales desechos peligrosos, que se generan en mayor cantidad en nuestro país y los que han permanecido durante

varios años en la empresa (INEC, 2020). Con todo lo expuesto anteriormente la empresa deberá instaurar distintos menús de carga tomando como referencia los porcentajes de contenido de humedad, poder calórico, composición química y física establecidos en los menús de carga presentados, los cuales servirán como una guía para ser replicados con los diferentes desechos que llegan a la planta.

1.4 OBJETIVOS

1.4.1 OBJETIVO GENERAL

Elaborar menús de desechos peligrosos para obtener mezclas eficientes en el proceso de incineración, de diferentes desechos tóxicos y peligrosos.

1.4.2 OBJETIVOS ESPECÍFICOS

- Identificar los desechos peligrosos en la empresa HAZWAT para definir el menú de incineración con el cual se trabajará por medio la inspección in situ en los diferentes galpones de esta.
- Analizar y/o determinar analíticamente el contenido de humedad, sólidos volátiles, el poder calórico de cada desecho a través de ensayos de laboratorio con un diseño experimental definido, para determinar porcentajes que permitan hacer diferentes mezclas en base a las categorías del menú propuesto.
- Realizar los balances de masa y energía en el proceso de incineración para determinar el porcentaje de salidas de: emisiones atmosféricas, cenizas y escorias.
- Definir las mezclas de incineración para lograr una mayor eficiencia dentro del incinerador.

Realizar pruebas piloto de incinerador.

1.5 PLANTEAMIENTO DEL PROBLEMA

El tratamiento de los desechos en América Latina y el Caribe ha permanecido bajo el esquema de "recolección y disposición final" sin darle un tratamiento adecuado a los mismos, haciendo que cada vez se necesite mayor cantidad de espacios idóneos para poder depositarlos, los desechos per cápita siguen aumentando en estos países, para el año 2050 se tiene una expectativa de desechos producidos de 671 000 ton/día (Green Economy, 2017; Sáez & Urdaneta, 2014).

La gestión de desechos sólidos y en especial de los desechos peligrosos es aun de mayor cuidado, por su gran impacto negativo al ambiente. En Quito se producen 2 000 ton/día de desechos domiciliarios, el 1,19 % corresponden a desechos peligrosos entre los cuales están: medicamentos caducados, electrodomésticos, tecnología, pilas o baterías, focos fluorescentes, espray, entre otros, que no llegan a tener ningún tipo de tratamiento específico para eliminar su toxicidad, ocupando un espacio considerable de los rellenos sanitarios (Jácome, 2017).

Ahora bien, considerando el parque industrial en el Ecuador, según el INEC (2018), 13 998 empresas pertenecientes al sector manufacturero, minero, de construcción, comercio, transporte, etc., el 73,4 % no poseía ningún tipo de permiso ambiental. Por ende, al no ser controlados por un ente autorizado, dejan de lado su responsabilidad ambiental y no manejan de forma adecuada los desechos que se producen generando así una contaminación ambiental con mayor impacto.

Dentro de la categoría de desecho peligroso, también tienen una gran importancia los desechos resultantes de las atenciones médicas y sus servicios, como son: objetos cortopunzantes, químicos peligrosos, anatomopatológicos, etc. A nivel nacional se producen alrededor de 14 877.95 ton/año de estos desechos biopeligrosos, de los cuales el 20,43 % son gestionados mediante la incineración,

asegurando así, la eliminación de la carga viral que estos contienen (Cando et al., 2018).

Un ejemplo puntual de la utilización de la incineración como una técnica viable para la reducción de desechos es Singapur, el cual incinera el 57 % de residuos domiciliarios y un 43 % de desechos industriales, ya que afirman, que es un tecnología que resulta conveniente para reducir el volumen de desechos hasta en un 10% de su peso inicial (BCN, 2013). Sin embargo, se debe considerar que este tratamiento, también tiene grandes limitaciones al momento de reducir por completo los contaminantes existentes en los desechos, ya que estos son emitidos a la atmósfera a través de los gases de combustión y en las cenizas que se generan del proceso, necesitando así una inversión extra para su depuración y tratamiento final (Hernández, 2010).

El empleo de menús de carga de desechos en el proceso de incineración consiste en una elección acertada de los mismos, tomando en cuenta principalmente su composición química, contenido de humedad y poder calórico; es crucial considerar estos aspectos para asegurar un menor costo operacional debido a que se disminuye la cantidad de combustible auxiliar utilizado, se mantiene la temperatura necesaria entre 850 a 1 200 °C para eliminar contaminantes como dioxinas y furanos, hay una mayor reducción en el volumen de los desechos y se reduce los contaminantes de las emisiones de gases debido a que se crea un ambiente factible para aproximarse una combustión completa (Hernández, 2010).

Lamentablemente en nuestro país el control de procesos térmicos no es monitoreado de forma continua para que exista una mejora en este ámbito. Con el fin de dar una solución a esta problemática dentro de la empresa HAZWAT, se busca la implementación de menús de carga para dar tratamiento de incineración a los desechos peligrosos, siendo esta, una herramienta clave para la reducción de costos operacionales y ambientales.

CAPÍTULO 2 MARCO TEÓRICO

2.1 DESECHOS PELIGROSOS

Según el MAATE, mediante el Acuerdo Ministerial 061 se define como desechos peligrosos al material sólido, líquido, pastoso o gaseoso que son procedentes de un proceso de transformación, extracción, producción, beneficio, reciclaje, uso o consumo el cual presente una o diferentes características peligrosas, las cuales pueden generar un riesgo para la salud humana y la calidad ambiente mediante las condiciones legales y los cuales han sido establecidos en los listados nacionales de desechos peligrosos (MAATE, 2015).

CARACTERISTICAS CRETIB

El acrónimo de clasificación CRETIB sirve para identificar las principales características que contiene un desecho peligroso, se representan por siglas de la siguiente manera:

- **(C) Corrosivo**: Es un elemento que puede estar en estado sólido o líquido. A un desecho se lo considera como corrosivo en estado líquido no acuoso si presenta un pH inferior o igual a 2; o superior o igual a 12,5. A su vez, es un sólido que al mezclarse con agua destilada indica un pH menor o igual a 2 o mayor o igual a 12,5 (Cabrera, 2011).
- (R) Reactivo: un desecho se considera reactivo si en una muestra estando en estado físico ya sea líquido o sólido al ponerse en contacto con aire se inflama en un tiempo menor a 5 min, sin ningún tipo de ignición. Y al tener contacto con agua reacciona espontáneamente generando gases inflamables (Cabrera, 2011).

- (E) Explosivo: Toda sustancia que por alguna causa externa puede reaccionar de forma exotérmica. Está característica debe ser fundamentada por el origen del residuo y su constante de explosividad. Por otro lado, si el desecho se expone a una fuente de energía o calentado en confinamiento este puede ocasionar una reacción o descomposición detonante o explosiva (MAATE, 2015).
- (T) Tóxico: Un desecho puede considerarse como tóxico, al poseer alguno de los contaminantes en concentraciones superiores a los límites máximos permisibles, la determinación de estas concentraciones se realizan mediante una prueba de lixiviación de desechos determinando el extracto PECT (MAATE, 2015).
- (I) Inflamable: Un desecho puede ser considerado inflamable si tiene una de las siguientes peculiaridades (Cabrera, 2011):
 - Esté en estado líquido y posea un punto de ignición inferior a 60 °C, establecido conforme la norma NTE INEN 1047, sin tomar en cuenta las soluciones acuosas con menos de 24 % de alcohol en volumen.
 - Que no se encuentre en estado líquido y sea capaz de provocar absorción de humedad, fuego por fricción o por alteraciones químicas espontáneas generando una quema fuerte y permanente, dificultando la extinción del fuego.
 - Una sustancia que sea definida como un oxidante que puede liberar oxígeno y; como resultado, estimular la combustión e incrementar el grado de magnitud de fuego en otro material.
- (B) Biológico-Infeccioso: Un desecho presenta un riesgo cuando contiene agentes biológico-infecciosos o son aquellos materiales que han resultado de una atención médica los cuales contengan patógenos en cantidad o

concentraciones nocivas para la salud y el ambiente, causando enfermedades (MAATE, 2015).

2.2 DISPOSICIÓN FINAL DE LOS DESECHOS PELIGROSOS

La disposición final que se les da a los desechos peligrosos tiene por objetivo recluir, aislar y confinar de manera permanente los desechos, los mismos que deben ser previamente tratados, para minimizar que cualquier constituyente tóxico entre al ambiente, de manera que, estas formas de tratamiento pueden ser individuales para un solo tipo de desecho o colectivas que son diseñadas para el manejo múltiple de desechos (Martínez et al., 2005), entre las más destacadas tenemos:

2.2.1 RECICLAJE DE MATERIALES

El reciclaje tiene como objetivo impulsar la recuperación de materiales para convertirlos en nuevos productos en un ámbito de eficiencia ambiental y económica, ya que, con ayuda del reciclaje de materiales posiblemente útiles se llega a rebajar el consumo de energía y materia prima. A su vez, disminuye la contaminación del aire producida en la incineración (Martínez et al., 2005).

Entonces, para favorecer el reciclaje, resulta clave ejecutar una oportuna separación de desechos en la fuente, puesto que esto facilita gestionarlos de forma conveniente desde un punto de vista ambiental y sanitario. Por ende, los materiales que pueden ser reciclados son muchos, como: la chatarra, el papel, fundas, cartón, el vidrio, los metales, los envases plásticos, textiles, maderas, equipos electrónicos, etc., (Martínez et al., 2005).

En el caso de la empresa HAZWAT, se debería considerar reciclar gran variedad de productos que son incinerados por pedido del cliente que contrata el servicio de destrucción de marca. Viéndolo desde un ámbito económico, las empresas realizan esto por la baja de inventario, evitándose pagar más costos por tener mercadería guardada (Fundación EROSKI, 2010).

No obstante, si se enfoca en el ámbito ambiental, es ilógico destruir materiales que están en perfecto estado como: ropa, joyería, aparatos electrónicos, utensilios de cocina, entre otros. Los cuales podrían ser reciclados desde la empresa de donde provienen los artículos, de esta forma generando ganancias y dando una segunda oportunidad a estos objetos. Por otra parte también se puede donar los artículos a organizaciones sin fines de lucro para que sean aprovechados (Fundación EROSKI, 2010).

2.2.2 BIORREMEDIACIÓN

La biorremediación es un método de tratamiento basado en la degradación de ciertos contaminantes y compuestos orgánicos, donde implica el uso de las propiedades químicas físicas y biológicas naturales del suelo con ayuda de organismos como bacterias, protozoarios, hongos o plantas. Este tipo de tratamientos pueden ser facultativos, aerobios o anaerobios, dependiendo las características en el cual se encuentren los desechos (Martínez et al., 2005).

Este tratamiento es muy limitado para ser utilizado en desechos peligrosos, ya que por su alto contenido de toxicidad afectan a los microrganismos que son sensibles a sustancias tóxicas. Con respecto a las condiciones que se debe cumplir en un proceso de biorremediación las principales son: que el compuesto contaminado aporte alimento y energía a los microorganismos garantizando su reproducción, cantidades suficientes de oxígeno, agua, carbono y nutrientes para apoyar al crecimiento microbiano, temperatura cálida y control de pH neutro del medio. La degradación de contaminantes orgánicos varía según la composición química del desecho y la especie microbiana que se utilice, por lo que es importante que los microorganismos tengan la capacidad de aclimatarse al medio dónde van a ser expuestos (Waste 2 Water, 2020).

2.2.3 INACTIVACIÓN POR AUTOCLAVE

Este tratamiento conlleva la inactivación de la carga viral por medio de un proceso de esterilización de los desechos biológico infeccioso o hospitalarios, a

través del empleo de altas temperaturas (121 °C) y presión (29,82 psi), en un tiempo determinado (30 min). Para este tratamiento se utiliza el equipo de autoclave, que permite la eliminación parcial de los agentes infecciosos, considerando que la esterilidad no se puede obtener de manera absoluta (Méndez, 2014).

La empresa HAZWAT recibe gran cantidad de desechos hospitalarios, por motivo de la crisis sanitaria que se originó por la pandemia del COVID-19. Los desechos son almacenados y recolectados en *bulk tanks*, los cuales entran a un proceso de esterilización cuando el incinerador se encuentra en mantenimiento, para así evitar que cualquier patología pueda repercutir la salud de las personas que trabajan con estos desechos (PTT, 2021).

En el proceso de autoclave, la cámara se alimenta con 4 coches de 110 kg de desechos biopeligrosos seleccionando un ciclo preexistente que permanece de 15 a 30 minutos, a una temperatura de 145 °C y presión de 60 psi. El esterilizador posee un mecanismo automático de seguridad de cerrado, el cual se activa cuando inicia el ciclo. El proceso termina cuando la temperatura de la cámara descienda hasta un valor seguro y que la aguja del manómetro indique cero. Para finalizar se deja enfriar la carga de desechos, para su remoción y disposición final mediante el proceso térmico (PTT, 2021).

2.2.4 INCINERACIÓN

El proceso de incineración ayuda al tratamiento de desechos peligrosos usando cualquier tipo de horno que implique un proceso de combustión a altas temperaturas. Al ser un proceso complicado, debe ser cuidadosamente diseñado y operado, por lo tanto, se necesita una gran inversión en la implementación, mantenimiento y operación, tal como personal calificado, en un estudio de plantas de incineración en Europa se estableció que esta inversión inicial es de aproximadamente 1 777,93 millones de euros lo que es igual a 1 868,92 millones de dólares (Greenpeace, 2009). Este tratamiento se describe de mejor manera y de forma más amplia en la sección 2.3 del presente trabajo, dónde se detalla tos diferentes tipos de hornos y los procesos de combustión que se producen.

2.2.5 CELDA DE SEGURIDAD Y ESTABILIZACIÓN

Las celdas o rellenos de seguridad tienen el propósito de acondicionar y confinar desechos, como un procedimiento de disposición final. Por otro lado, la celda debe contar con criterios de compatibilidad de desechos dependiendo la estructura de la celda, además contará con planes de contingencia, un registro de control de ingreso de desechos y una apreciación de su funcionamiento. Este tratamiento tiene como objetivo, reducir los contaminantes químicos dentro del desecho y a su vez el área superficial que ocupará en la celda de seguridad es utilizado para la ceniza resultante de la incineración, escorias, baterías, focos, lámparas fluorescentes, pilas, lodos con metales pesados, vidrios, entre otros. El encapsulamiento considera los siguientes subprocesos (Martínez et al., 2005).

- Estabilización: se lo realiza a través de la agregación de aglomerantes de tipo inorgánico y compuestos químicos que disminuyen la actividad química del desecho, para ser de fácil manejo, reduciendo el riesgo.
- Encapsulamiento: radica en combinar, homogenizar, amalgamar, modelar y conformar bloques con aglomerados que actúan como un sistema de sellado de desechos que se funden en la celda de seguridad para evitar los lixiviados.

2.3 INCINERACIÓN DE DESECHOS PELIGROSOS

Dentro de los instrumentos para la disposición final de los desechos peligrosos se encuentra la incineración, ya que es una técnica que puede tratar una gran variedad de desechos que son producidos dentro de una sociedad (Camacho et al., 2011). A su vez, la incineración es utilizada principalmente para aminorar el volumen y masa de los desechos entre un 70 al 90 % generalmente, mientras que, en incineradores modernos, la reducción se encuentra entre un 95 y un 96 %, según la composición de los desechos (Kanhar et al., 2020; LaGrega et al., 2000). Además este tratamiento térmico, mejora la disponibilidad de espacios en vertederos,

garantizando así la reducción de su peligrosidad ante la salud de los seres vivos y el ambiente (Martínez et al., 2005).

En el proceso de incineración, se considera que los desechos son totalmente heterogéneos, muchos de ellos con alto poderes calóricos como: residuos líquidos de hidrocarburos (8 192 kcal/kg), residuos plásticos (7 834 kcal/kg), entre otros, que ayudarán a alcanzar una temperatura de ignición adecuada, puesto que, al combinarse con el oxígeno existente en la cámara, liberarán la energía necesaria para una combustión autoalimentada, de esta forma el uso de combustibles auxiliares es casi imprescindible. Además, la energía de combustión se manifiesta en forma de calor que puede ser aprovechada para recuperar el contenido energético de los desechos mediante la generación de vapor o energía eléctrica (Camacho et al., 2011).

La aplicación de incineración puede ser aplicada para los siguientes subsectores (Camacho et al., 2011):

- Incineración de residuos urbanos mixtos: Generalmente trabajan con residuos domésticos mixtos casi siempre sin tratarlos, sin embargo, en ciertas circunstancias puede incluirse restos industriales o comerciales.
- Incineración de residuos urbanos y otros residuos pretratados: En esta, se gestionan residuos ya clasificados de algún modo, de esta forma se diferencian de los residuos mixtos. Dentro de esta categoría se incluye la fracción de residuos que no pueden ser reciclados.
- Incineración de desechos peligrosos: Son los desechos generados en plantas industriales y comerciales que se producen al tratar su materia prima para convertirla en productos y estos al no ser vendidos pasan a ser destruidos para la protección de la marca.
- Incineración de desechos clínicos: Dentro de la gestión final hay instalaciones específicas para el tratamiento de estos mediante la

incineración. Pero, también hay instalaciones que trata los mismos junto con residuos urbanos o desechos peligrosos. En Ecuador de los 14 877 953 kg de desechos sanitarios producidos en el 2018, remitidos por el 96,52 % de los establecimientos de salud, el 20,43 % son incinerados (Cando et al., 2018).

La empresa HAZWAT presta su servicio de incineración, en la mayoría de los subsectores mencionados, ya sea para desechos peligrosos generados de varios procesos industriales como: textil, hidrocarburífero, agropecuario, cosmético; desechos resultantes de la atención médica, destrucción de marca de productos (aseo personal, cosméticos, joyería, etc.), destrucción de alimentos caducados, entre otros. De tal manera, gestiona la disposición final de una gran gama de desechos.

2.3.1 TIPOS DE INCINERADORES Y PROCESOS DE COMBUSTIÓN

2.3.1.1 Tipos de incineradores

Al existir variedad de desechos peligrosos, surgen variantes técnicas para llevar a cabo la incineración de estos. El estado físico de los residuos resulta un factor importante para decidir el tipo de horno que se pueda llegar a emplear, además del punto de vista económico y la optimización energética. Cabe destacar que para empresas medianas y pequeñas, existe unidades transportables que han adquirido un desarrollo importante en USA, en donde su uso ha aumentado en los últimos 20 años, debido que permite modular su diseño y construcción, montar y desmontar sus componentes, tal es el caso de los hornos rotativos e infrarrojos (Rodríguez & Irabien, 2013).

Los sistemas de incineración pueden operar en dos formas: en atmósfera oxidante o pirolítica. En donde se produce pirólisis, se acopla una cámara de postcombustión para la destrucción total de los desechos y los gases de combustión puedan ser emitidos a la atmósfera (Santos, 2012). De la diversidad de

sistemas de incineración utilizados para tratamientos de desechos peligrosos, se menciona los principales a continuación:

Horno rotativo

Es una de las tecnologías más utilizadas, tal es el caso que en USA alcanza niveles de las tres cuartas partes del volumen de desechos peligrosos incinerados, debido a su posibilidad de calcinar residuos líquidos, sólidos o pastosos. Está formado por un cilindro refractario en su interior, (ver Figura 1) de un diámetro comprendido entre 1,8 y 5,0 metros y su longitud varía de 7 a 50 metros, los tiempos de residencia oscilan entre 10 y 30 minutos dependiendo de las propiedades del desecho, y las condiciones de temperatura y exceso de aire; resistente a la corrosión de gases ácidos generados en el proceso. Cuenta con una capacidad de rotación de 0,5 a 3,0 rpm sobre su eje longitudinal (Rodríguez & Irabien, 2013; Santos, 2012a).

Posee una pendiente de 1,0 a 5,0 % entre la entrada y salida, provocando que el desecho se calcine, de forma que se va moviendo horizontalmente y de formal radial a través del área del cilindro, además de proporcionar condiciones para que la mezcla sea adecuada (heterogénea) y una mayor exposición de los residuos al calor de combustión, generando un aumento en la eficacia de la destrucción (Rodríguez & Irabien, 2013).

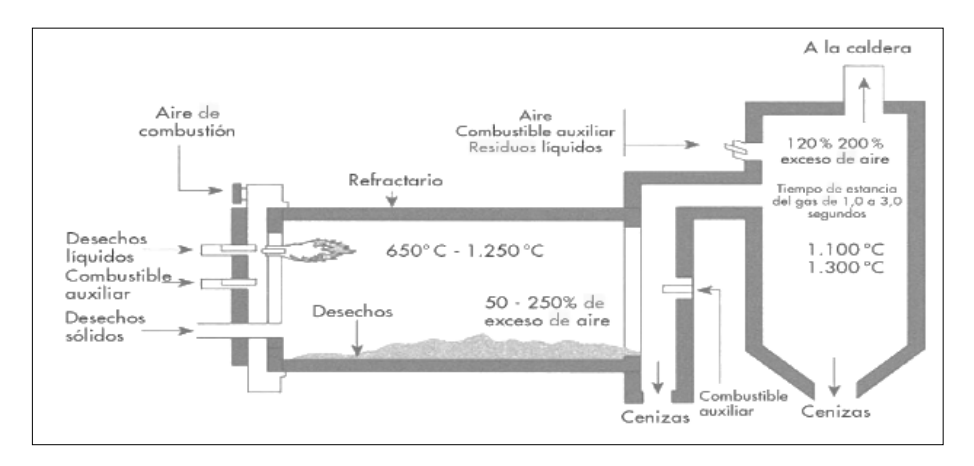


Figura 1. Horno rotatorio con cámara de postcombustión Fuente: (Elías, 2005a)

El horno se acopla a una cámara de postcombustión, que trabaja a temperaturas entre 950 °C y 1 200 °C para completar su destrucción, el tiempo de residencia de los gases varía entre 1 y 3 segundos (Rodríguez & Irabien, 2013).

Horno múltiple u horno de pisos

Está conformado de dos a seis hornos horizontales, con plataformas ligeramente inclinadas, acondicionados verticalmente, como se observa en la Figura 2, su utilización para la incineración de desechos peligrosos es muy limitada, debido a que las temperaturas que se necesitan para proporcionar rendimientos de una destrucción razonable afectan al equipo, reduciendo su tiempo de vida útil (LaGrega et al., 2000). Su aplicación para desechos peligrosos, es en lodos de estaciones depuradoras de aguas residuales (Elías, 2005a).

El proceso inicia cuando, el desecho se introduce por la parte superior del horno, y se expone a ignición a través de quemadores de combustión. Los brazos agitadores sobre la superficie de cada horno se mueven en forma de carrusel, con ayuda del pozo central de aire refrigerado, mientras que el residuo se mueve por la superficie del horno gracias a los cepillos de los brazos hasta llegar a una brecha circular, enseguida el desecho cae por la cobertura del siguiente horno y persiste quemándose hasta que se transforma en ceniza (LaGrega et al., 2000).

Los gases de combustión se desplazan verticalmente hacia arriba, dentro del equipo de control de la contaminación del aire y el revestimiento exterior, de forma que la combustión donde puede alcanzar los 1 000°C en la sección intermedia del horno. La parte superior corresponde al secado o calentamiento de los desechos y en la parte inferior se enfrían las cenizas y se precalienta el aire. Resulta un técnica interesante para desechos con alto contenido de humedad, pues presenta una importante eficiencia térmica (Rodríguez & Irabien, 2013).

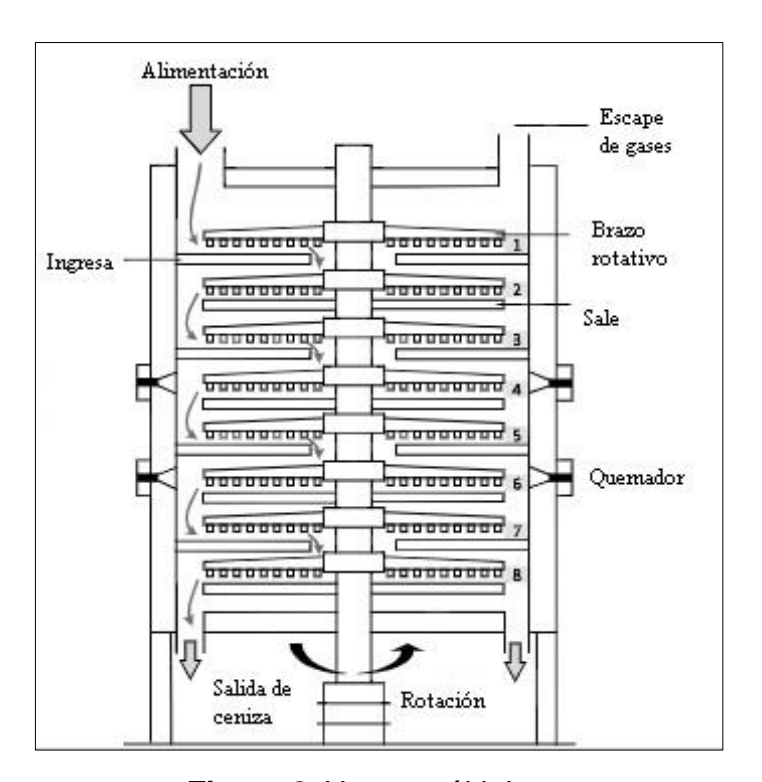


Figura 2. Horno múltiple Fuente: (Jämsä et al., 2018)

Horno de aire controlado u horno fijo de dos cámaras.

Proceso que presenta dos unidades o etapas de combustión, en la que la alimentación de residuo se alimenta en la primera cámara, en dónde se incinera en condiciones de pirólisis, con defecto de aire entre un 50 a 80 % de aire estequiométrico necesario. Las condiciones de ausencia de oxígeno hacen que el arrastre de partículas hacia la depuración de gases sea menor. Los humos y productos de pirólisis resultantes son hidrocarburos y monóxido de carbono, pasan entonces a la cámara de postcombustión donde se mantienen temperaturas más elevadas que en la primera debido generalmente al aporte de combustible auxiliar.

Este incinerador, siempre y cuando no se disponga de sistema automático de retirada de escoria, trabaja con un ciclo discontinuo de operación, (ver Figura 3) de modo que no es un modo de operación recomendable, ya que se puede producir escapes de residuos peligrosos, además de aumentar el esfuerzo térmico del horno. El ciclo consta de una limpieza de restos, un

precalentamiento, carga de residuos en continuo durante un periodo de tiempo determinado, combustión completa del desecho y enfriamiento (Elías, 2005a). Este tipo de incinerador es usado por Hazwat.

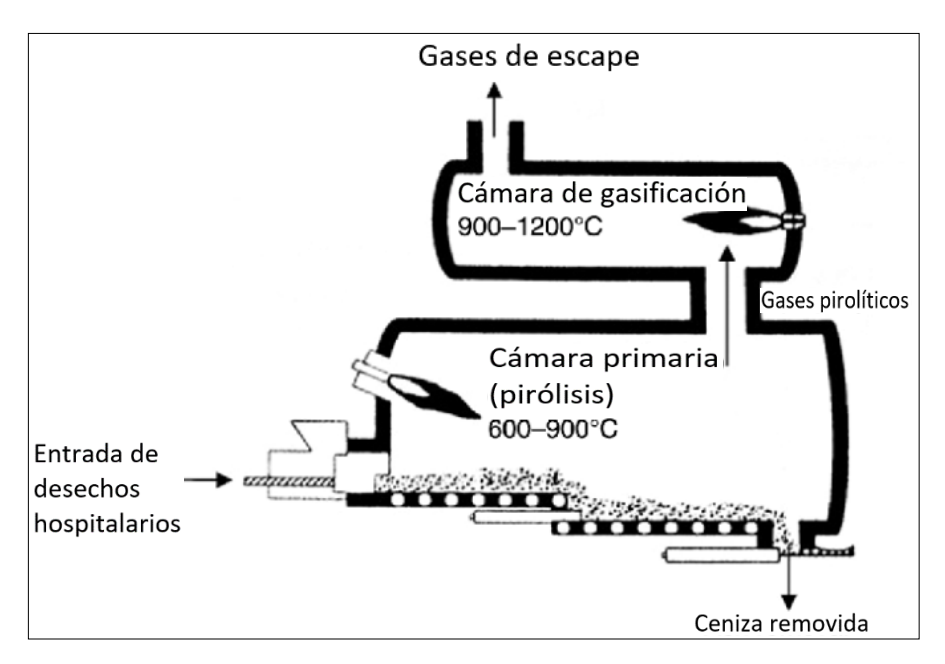


Figura 3. Horno fijo de dos cámaras o de aire controlado Fuente: (Gielar & Helios-Rybicka, 2013)

2.3.1.2 Cámaras de Combustión

• Cámara primaria: su función es volatilizar la porción orgánica del desecho. Generalmente es un recipiente de forma vertical u horizontal, recubierto con material refractario. Los quemadores de líquido o gas tienen suficiente potencia para calentar los gases de combustión, hasta una temperatura final necesaria para la destrucción de los desechos. En cuanto a la carga, es preferible usar recipientes verticales antes que los horizontales, debido a que la fuerza de la gravedad provocará depósitos de partículas en el fondo de la cámara, produciendo problemas en la eliminación (LaGrega et al., 2000).

El parámetro de temperatura está sujeta a varios aspectos, como es el tipo de desecho o el incinerador, los rangos reportados varían de 400 a 1 600 °C, sin embargo, es preferible que para desechos hospitalarios la temperatura sea mayor a 760 °C. Además es importante que la temperatura no supere

los 1 000 °C, pues las cenizas pueden fundirse y provocar incrustaciones en el material refractario, causando un menor tiempo de vida útil del equipo (Rosas et al., 2009).

En esta cámara de acuerdo con la tecnología del horno, pueden existir los siguientes procesos:

Oxidación: es una reacción química que se produce cuando un componente orgánico (hidrógeno y carbono) entra en contacto con el oxígeno. Para alcanzarlo, el aire que contiene 21 % de O₂ en volumen se mezcla con el C y H del desecho para producir la oxidación estequiométricamente CO₂ y H₂O. Sin embargo, el aire contiene 79 % de N₂ que es inerte y entra al proceso de combustión. Si se disminuye uno de factores, ya sea el tiempo, la turbulencia o la temperatura, los otros dos deben aumentar para aproximarse a la combustión completa. Por consiguiente, se indica las reacciones típicas en el proceso de combustión (LaGrega et al., 2000):

$$C + aire \rightarrow CO_2 + N_2 + \Delta calor$$
 (1)

$$H_2 + aire \rightarrow H_2O + N_2 + O_2 + \Delta calor$$
 (2)

$$CH_4 + aire \rightarrow CO_2 + H_2O + N_2 + O_2 + \Delta calor$$
 (3)

Pirólisis: implica la transformación química de un desecho al someterla a temperaturas entre 400 °C a 1 000 °C. Mediante el cual, un sólido o líquido, se degrada térmicamente en moléculas volátiles más pequeñas, sin interactuar con el oxígeno ni con ninguno otro tipo de oxidante (Lord & Pfannkoch, 2012). A continuación, se presenta las reacciones típicas de pirólisis exotérmica (Centeno et al., 2010):

$$C_6H_{10}O_5 + \Delta calor \rightarrow 2C + 3CO + CO_2 + SH_2$$
 (4)

$$CH_2 + \Delta calor \rightarrow C + H_2$$
 (5)

$$CO_2 + C \rightarrow 2CO \tag{6}$$

Gasificación: Proceso en el cual se expone a los desechos sólidos a temperaturas mayores a 600 °C casi sin presencia de oxígeno y de esta forma prevenir la combustión inmediata. Es por esto, que la composición de C de los desechos se descompone en gas de síntesis (combustible gaseoso) y un sobrante en cenizas o escoria de carbón (Tangri & Wilson, 2017). Se presenta a continuación, las reacciones de gasificación (Centeno et al., 2010):

$$C_6H_{10}O_5 + 2O_2 + \beta N_2 \rightarrow 2CO_2 + 4CO + H_2O + 4H_2 + \beta N_2$$
 (7)
 $CH_2 + O_2 + \beta N_2 \rightarrow CO + H_2O + \beta N_2$ (8)

Cámara de combustión secundaria

Esta cámara es indispensable en todos los equipos de incineración de desechos peligrosos, su función es calentar los componentes orgánicos vaporizados hasta una temperatura entre 900 y 1 600 °C donde se oxiden completamente los gases en este proceso. En condiciones menos favorables, se debe alcanzar una temperatura mínima de 850 °C y si se incinera desechos que contengan cloro alcanzar una temperatura de aproximadamente 1 000 °C (LaGrega et al., 2000; Rosas et al., 2009).

La EPA, menciona que la temperatura no debe superar los 1 200 °C, y así prevenir daños en el material refractario. Generalmente en las cámaras secundarias, se usa combustible adicional como fuente de calor, la temperatura menor con la que se puede lograr que la Eficacia de Destrucción y Eliminación (EDE), será la más económica (LaGrega et al., 2000; Rosas et al., 2009).

El tiempo de retención del gas de combustión en la cámara secundaria es de por lo menos dos segundos, para asegurar la eliminación de los desechos orgánicos en el gas de combustión, este proceso no es función de un solo factor, sino del triángulo de temperatura, turbulencia y tiempo (tres T) (LaGrega et al., 2000). En donde a mayor tiempo de retención, se reduce la temperatura para la destrucción de los desechos (Rosas et al., 2009).

Sin embargo, cuando se incineran líquidos, no se emplea de una cámara de combustión secundaria, debido a las tres T, se pueden conseguir en una sola cámara. Las velocidades de gas usadas para el diseño de la cámara de combustión secundaria son, entre 4,5 a 7,5 m/s normalmente, en un rango de temperatura de 983 °C o superiores (LaGrega et al., 2000).

2.3.2 PRINCIPALES CRITERIOS PARA ANALIZAR EN UNA PLANTA DE INCINERACIÓN

Como se observa en la Tabla 1, los criterios que más se destacan son, los rangos de temperatura de la cámara primaria y secundaria, que se detallaron anteriormente en la sección 2.3.1.2, la pérdida de material volátil, criterios para tratamiento de gases, almacenamiento de residuos, manejos de cenizas y tratamiento de aguas.

Tabla 1.Criterios aplicados para valorar el desempeño de las plantas de incineración.

PARÁMETRO	RANGO	VALOR	OBSERVACIONES		
Criterios de combustión					
Temperatura CC1	< 800 °C	0	Combustión incompleta		
	800 a 1 000 °C	2	Operación adecuada		
	> 1 000 °C	1	Daño al material refractario		
Temperatura CC2	< 850 °C	0	Combustión incompleta		
	850 a 1 200 °C	2	Operación adecuada		
	> 1 200 °C	1	Daño al material refractario		
Tiempo de retención en CC1	15-30 min	1	Suficiente para destrucción de materia orgánica		
Tiempo de retención en CC2	< 2 s	0	Insuficiente para destrucción de compuestos orgánicos		
	> 2 s	2	Suficiente para destrucción de compuestos orgánicos		
Perdida de material volátil de las cenizas	> 10%	0	Representa combustión incompleta		
	5 a 10%	1	Representa combustión satisfactoria		
	< 5%	2	Garantiza la mejor combustión		

PARÁMETRO	RANGO	VALOR	OBSERVACIONES		
Criterios para el tratamiento de gases					
Control de partículas y gases ácidos	Nulo	0	Se emiten contaminantes a la atmósfera		
	Básico	1	Hay remoción de partículas		
	Avanzado	2	Hay remoción de partículas y gases ácidos		
	> 250 °C	0	Altas probabilidades de generación de dnx		
Temperatura de salida de los gases	250 a 200 °C	1	Se reduce la generación de dnx		
	< 200 °C	2	La generación de dnx es casi nula		
Otros criterios importantes					
Almacenamiento de desechos	No adecuado	0	Genera condiciones de inseguridad en la planta		
	Adecuado	2	Existe buen manejo de los desechos		
Manejo de cenizas	Sin separación	0	Poca dilución y disposición inadecuada		
	Con separación	0	Evita la dilución		
	Separación y estabilización	2	Provee el manejo adecuado		
Tratamiento de agua	Nulo	0	Provoca descarga de contaminantes		
	Físico/químico	2	Provee tratamiento adecuado		

*CC1= Cámara de combustión primaria; CC2= Cámara de combustión secundaria 0 = insuficiente; 1= satisfactorio; 2= excelente; dnx= dioxinas y furanos Fuente:(Rosas et al., 2009)

 Pérdida de material volátil de cenizas: es un acercamiento para conocer la eficiencia de la combustión de los desechos, puesto que se exponen a temperaturas mayores o iguales a 550 °C (Rosas et al., 2009).

Criterios para el tratamiento de gases

Control de partículas y gases ácidos: se originan por productos de combustión incompleta o por la condensación de compuestos, la concentración que es emitida a la atmósfera depende tanto de la velocidad como de la turbulencia de los gases en la cámara secundaria. Los equipos que se utilizan para su depuración son: filtros de bolsas, lavadores de gases, ciclones y precipitadores electrostáticos, se detalla en la Figura 4, el tratamiento de los mismos (Rodríguez & Irabien, 2013; Rosas et al., 2009). Cabe destacar el uso del carbón activado en pellets

para los gases combustión, se utiliza en fase de gas de los contaminantes, en donde el carbón se pulveriza y se peletiza, reteniendo entre 0,2 y 0,8 kg de contaminante por kg de carbón activado, en donde la velocidad del gas este entre 10 y 30 m/min (Carbotecnia, 2020).

Los gases ácidos que se producen generalmente son: SO_x y HCl que se pueden remover, utilizando reactivos alcalinos como NaOH y/o Ca(OH)₂ (Rosas et al., 2009). Mientras que para el NO_x depende de la temperatura de combustión, si es igual o mayor a 1 000 °C, se aumentará el NO_x formado mediante NO_x térmico, y si está por debajo de este valor se verá favorecida la formación de NO_x del combustible. Asimismo, conforme se aumente la temperatura de los 1200 °C, la formación de NO_x térmico irá incrementando de forma exponencial, por ende es importante adoptar medidas en la propia combustión tendentes a reducir la concentración de este (Rodríguez & Irabien, 2013).

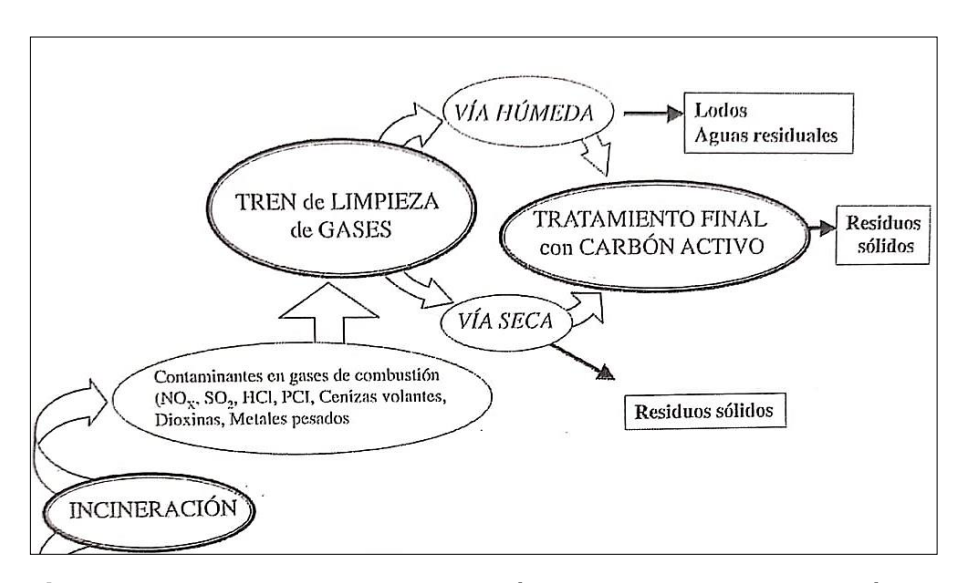


Figura 4. Tratamiento de depuración de gases de combustión de la incineración

Fuente: (Rodríguez & Irabien, 2013)

 Temperatura de salida de gases: Es importante conocer los rangos de temperatura para minimizar la formación de dioxina y furanos, cuando se encuentra a 250 °C, siendo este valor el máximo para los gases que se emiten hacia la atmósfera (Rosas et al., 2009).

• Tratamiento de aguas residuales: las aguas residuales resultantes de los desechos en los procesos de la incineración son de menor prioridad en comparación con el tratamiento de los gases de combustión generados. Sin embargo, es una obligación que los efluentes originados en las diferentes operaciones, las aguas contaminantes producidas exigen un tratamiento antes de la descarga (Rodríguez & Irabien, 2013).

A continuación, se menciona las posibles fuentes de procedencia de aguas residuales en una planta de incineración:

- Aguas del tanque de descargas de las cenizas fijas y escorias del horno: la propia estructura de las cenizas determina las características contaminantes del agua. Luego de la separación por decantación de la fase sólida, el líquido sobrenadante, puede contener materia en suspensión remanente y sales solubles de metales alcalinos y alcalinotérreos (sulfatos y cloruros de K, Na, Mg y Ca). Siendo el mayor problema la contaminación por materiales pesados y cloro (Rodríguez & Irabien, 2013).
- Aguas de los lavadores: empleados para la detención de HCl, Cl₂, HF, HBr. Según la composición del líquido absorbente empleado, los reactivos pueden ser HCl, HCl, NaCl, NaOCl, CaCl₂ y Ca(OCl)₂. Generalmente se presentan problemas de pH ácido. Si existe concentración de Hg en los gases, puede quedar almacenado en una proporción importante si el pH de las aguas es bajo. La utilización de CaCO₃ como reactivo, produce aguas residuales que contienen lodos resultantes de la precipitación de CaSO₄ y CaSO₃, los que pueden estar acompañados de CaCO₃ y Ca(HCO₃)₂ y las sales magnésicas que se pueden utilizar Mg(OH)₂ en la mezcla reactiva. (Rodríguez & Irabien, 2013).

En algunas plantas, se tratan en forma homogénea las aguas procedentes de las operaciones mencionadas. Lo cual no resulta viable, si en la corriente que pertenece a los lavadores de HCI, existe presencia de Hg, F o Br, complica su tratamiento, empeorando aún más si existe presencia de metales pesados y dioxinas. Generalmente, los efluentes de la depuración de gases ácidos se separan por sedimentación, lo que genera un lodo por el precipitado de la desulfurización, junto con las cenizas volantes presentes en la sustancia líquida (Rodríguez & Irabien, 2013).

El proceso de deshidratación de lodos puede ser por centrifugación o filtración, en donde la fase líquida pasa a las aguas residuales. Luego se acondiciona el pH, si fuera el caso para su evacuación. Cabe mencionar, que los metales pesados se pueden eliminar por precipitación alcalina o Na₂S si hay presencia de Hg. Si se usa Ca(OH)₂ como agente precipitador se puede eliminar tanto metales como F⁻. En lo que corresponde a dioxinas existen alternativas, como destrucción fotocatalítica, oxidación catalítica y adsorción con carbón activo (Rodríguez & Irabien, 2013).

- Manejo de cenizas: Las escorias, que se encuentran en la cámara de combustión primaria estas constituidas generalmente de material inerte, en tanto que las cenizas que se atrapa por los dispositivos de control de emisiones indican mayor concentración de materia orgánica y de metales solubles relativamente. En Japón y Europa, manejan las dos corrientes por separado, estabilizando las cenizas volantes antes de la disposición (Rosas et al., 2009).
- Almacenamiento de residuos: Se detalla en el AM 026 Procedimientos para registro de generadores de desechos peligrosos, gestión de desechos peligrosos previo al licenciamiento ambienta, y para el transporte de materiales peligrosos, del Registro Oficial No. 334, en la sección II, párrafo II, lo referente a el almacenamiento de desechos peligrosos y/o especiales. Hay que considerarse a los desechos patológicos en cámaras de temperaturas menores o iguales a 4 °C (Rosas et al., 2009).

2.3.3 CARACTERIZACIÓN DE DESECHOS PARA INCINERACIÓN

Es necesario caracterizar los desechos para su incineración ya que, al destruirlos sin conocer su origen, composición o en condiciones erradas de operatividad, pueden generar impactos en el ambiente. Puesto que no se tiene basto conocimiento acerca de la liberación de contaminantes, por la combustión de desechos en los incineradores, solo algunos parámetros han sido estudiados a fondo (Tangri, 2005), los cuales son descritos a continuación:

 Poder Calorífico: es cantidad de calor que se desprende por unidad de masa o volumen, hasta ser consumido en el proceso de combustión. Es decir, la cantidad de calor que suministra un metro cúbico o un kilogramo de combustible al oxidarse de forma completa. Se lo expresar en diferentes formas como: kcal/kg, kcal/m³, BTU/lb, BTU/ft³ (Fernández, 2010).

El poder calórico de un material se puede expresar de dos formas: el poder calórico superior (PCS), se define como el calor que desprende una unidad de combustible seco y contempla el calor latente de vaporización del agua, la cual se forma por la combustión del hidrógeno. En cambio, en el poder calórico inferior (PCI), no considera el calor latente de vaporización del agua, de esta manera no existe una contribución adicional de calor, puesto que la cantidad de calor liberado es menor y solo se dispone del calor que se genera de la oxidación del combustible (Fernández, 2010).

En relación con la combustión, el valor del PCI de un material utilizado como combustible nos da una idea más real del proceso. Debido a que indica cuánto calor se libera durante la combustión del desecho y esto ayuda a disminuir el consumo de combustible. Hay que tomar en cuenta que, el PCI de una carga se calcula con las fracciones del PC de cada uno de los desechos que la componen, un PCI muy variable puede complicar el control de la temperatura en el interior de las cámaras del incinerador y de esta forma causar: emisión de material particulado tóxico a través de la chimenea; una combustión incompleta; fusión y acumulación de cenizas por causa de

temperaturas excesivas, generación de monóxido de carbono (CO), consumo excesivo de combustible, etc (Ambientum, 2018; CEMPRE, 2000).

Los residuos que generalmente tienen un alto contenido de poder calórico aproximadamente de 10 000 kcal/kg, son las grasas, los aceites usados, lodos de pinturas y orgánicos, adhesivos, solventes gastados, desechos plásticos, etc. (Ayala, 2018; Elías, 2005a).

• Contenido de humedad: denota el contenido de agua existente en el desecho. Una carga de desechos a incinerar con alto porcentaje de humedad perjudica los costos operacionales de la empresa, dado que, es necesario el uso de mayor cantidad de combustible auxiliar, afecta a la combustión completa e incrementa los tiempos de incineración hasta alcanzar una temperatura adecuada para las cámaras de combustión. (Camacho et al., 2011).

En la Figura 5, se presenta la relación que existe entre la variación del PCI vs. humedad presente en RDF (Combustible derivado de residuos).

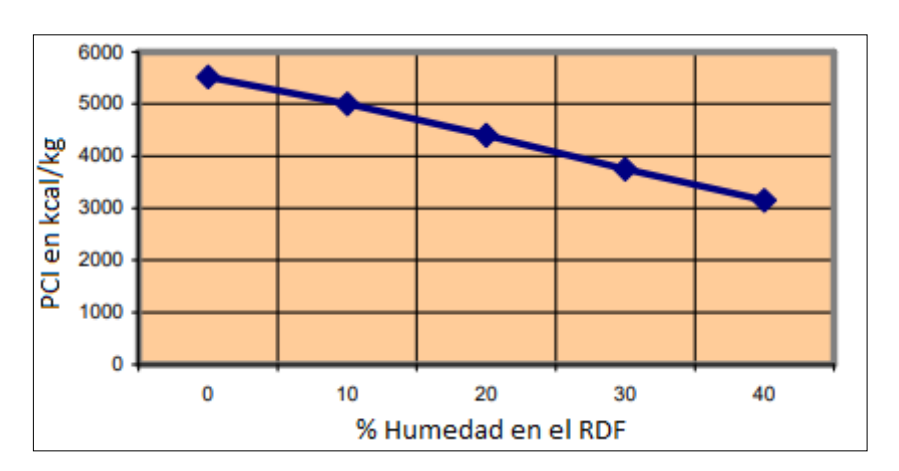


Figura 5. Variación del PCI vs humedad en el residuo. Fuente: (Elías, 2005)

 Cenizas resultantes de la incineración: es el material que queda sólido después del proceso de la incineración, están compuestas por minerales, carbono no quemado y una concentración grande de metales. La producción media de cenizas y escoria en las plantas de incineración europeas es del 22,5 % del peso total de los desechos incinerados (Greenpeace, 2009). El porcentaje producido de cenizas de fondo (clinker) permite considerar el espacio necesario para el relleno o celda de seguridad, ya que son también consideradas como un desecho peligroso, debido a que pueden abarcar importantes concentraciones de metales pesados, órgano-halogenados y diferentes contaminantes químicos; ocupa el 90% de las cenizas totales producidas (Tangri, 2005).

Las cenizas están constituidas por la escoria y material particulado volátil que es atrapado en los filtros de gases. En las cuales se encuentran contaminantes como compuestos orgánicos halogenados, gases de efecto invernadero, metales pesados y dioxinas, perjudiciales para la salud y el ambiente, la concentración de estos contaminantes en las cenizas estará sujeto al tipo de desecho incinerado (Mugica et al., 2003).

- Composición de elementos químicos (Camacho et al., 2011):
 - Carbono, oxígeno e hidrógeno: son elementos químicos esenciales de los desechos los cuales posibilitan calcular las condiciones de la combustión que se requiere para la incineración. Debido a, que el porcentaje de volumen que se reduce en la incineración va entre 70 a 90 %, se considera que la materia orgánica que contienen los desechos es equivalente a ese porcentaje, el cual varía dependiendo al origen de los mismos (Kanhar et al., 2020).
 - Azufre, ácido clorhídrico y nitrógeno: estos elementos pueden estar presentes en la composición de los desechos peligrosos y conducen a la conformación de subproductos como: HCl, SO₂, NO_x y otros derivados como los gases ácidos corrosivos los cuales pueden repercutir la vida útil del equipo disminuyendo su eficiencia (Rodríguez & Irabien, 2013).

- Metales pesados: mercurio, cromo, cadmio, zinc, plomo y otros, aportan una enorme toxicidad a los restos de ceniza y escoria que salen por las corrientes gaseosas y líquidas de un incinerador, considerados como la parte inorgánica del desecho (Mugica et al., 2003).
- Valoración energética: en la incineración, los desechos peligrosos son un combustible no homogéneo y para que un desecho sea incinerable se debe considerar tres aspectos, utilizando el triángulo de Tanner (ver Figura 6): el porcentaje de humedad (W) no debe ser mayor al 50%, el porcentaje de cenizas (A) no debe alcanzar el 60% y la fracción combustible (C) debe ser como mínimo el 25%, para considerar si el desecho es teóricamente viable para la incineración sin combustible auxiliar (Elías, 2005b; World Bank, 2000).

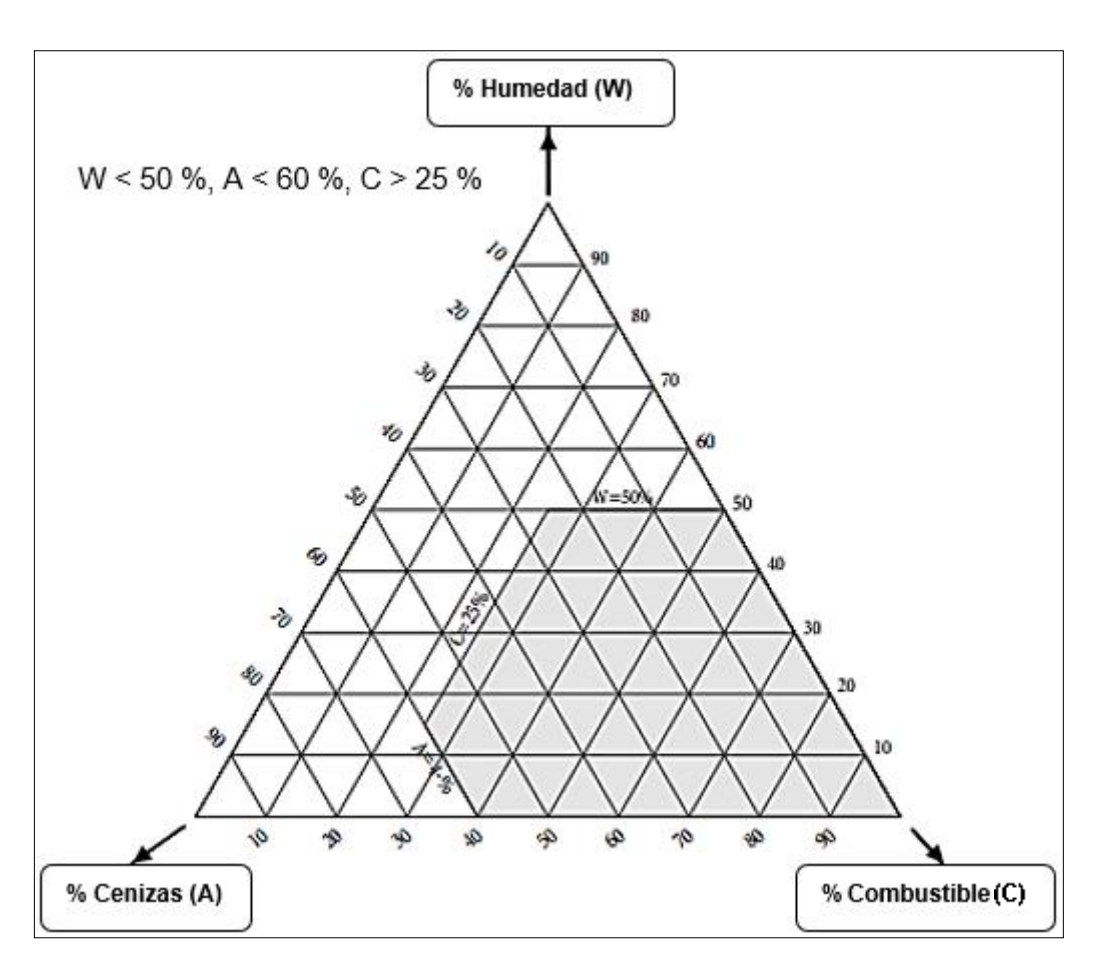


Figura 6. Triángulo de Tanner para la evaluación de la combustibilidad de los desechos

Fuente: (Elías, 2005b)

2.3.4 DESCRIPCIÓN DEL INCINERADOR DE HAZWAT

La empresa HAZWAT opera con un incinerador PENNRAM, los cuales son construidos específicamente para la incineración de desechos resultantes de operaciones industriales, médicas, campamentos de construcción, residuos municipales y más (PENNRAM, 2022). En la Figura 7, se muestra el incinerador que operan en la planta. Las características principales del incinerador PENNRAM modelo PHCA-1100, se detallan a continuación, según PENNRAM, (2015):

Ciclo de precalentamiento: temperatura de cámara secundaria 870 – 980 °C.

Temperatura de precalentamiento: necesaria para encender los quemadores cuando el sistema está en arranque en frío o en modo de espera calentado al reiniciar. El objetivo es llevar la temperatura de funcionamiento del incinerador térmico por encima del punto de autoignición (aproximadamente 760 °C), así como por encima de la temperatura reglamentaria requerida de 1 000 °C, antes de cargar los desechos en el incinerador.

Máxima capacidad operativa: 0,14 kg/s

Tolva carga promedio: 100 kg de desechos por ciclo de 12 minutos.

Temperatura mínima secundaria: 871 a 1 000°C.



Figura 7. Incinerador PENNRAM Fuente: HAZWAT

El soplador de aire de combustión del quemador de alta presión proporciona aire de combustión y aire de atomización. El 20 % se quema en la cámara primara,

mientras que el 80 % de residuos colocados en el incinerador se oxidan en la cámara secundaria; los vapores de carbono expulsados de la cámara primaria se oxidan en la cámara secundaria, el proceso tiene potencial para producir temperaturas 1 650 °C. Conforme al aumento de la temperatura de escape de 870 a 1 090 °C, la compuerta de control de aire de combustión secundaria se modula desde un 5,0 %. Dado que los quemadores de diésel secundarios se apagan a los 1 000 °C (PENNRAM, 2015).

Los gases de la combustión son expulsados del horno principal hacia el horno de postcombustión. El horno de combustión alcanza 870 °C, y suelta los gases hacia el horno de postcombustión, a 1 200 °C, con un tiempo de residencia de tres segundos hasta pasar a los enfriadores (PENNRAM, 2015).

2.4 VENTAJAS Y DESVENTAJAS DE LA INCINERACIÓN

En Ecuador, a través de la Normativa Ambiental del Acuerdo Ministerial No. 061 Reforma del libro VI del Texto Unificado de Legislación Secundaria, se regula que el generador de desechos peligrosos tiene la obligación de dar un tratamiento y disposición final adecuada, con ayuda de un gestor autorizado para la destrucción de los desechos. Se debe considerar que uno de los tratamientos más utilizados para manejar este tipo de desechos es la incineración, se presenta a continuación las ventajas y desventajas de este proceso:

2.4.1 VENTAJAS DEL PROCESO DE LA INCINERACIÓN

- Gran reducción del volumen a ser destruido: mediante el proceso de incineración se logra reducir aproximadamente el 70,0 % en peso y 90,0 % en volumen de desecho, lo que deja como sobras las cenizas, escorias que ocupan un volumen menor dentro del relleno de seguridad (Ambientum, 2018).
- Disminución del impacto ambiental: tomando en cuenta el almacenamiento de los desechos en un relleno sanitario, la incineración

reduce los impactos generados a la capa freática del suelo ya que los desechos tóxicos son destruidos mas no guardados (Rodríguez & Irabien, 2013). En la incineración los gases producidos en el proceso de combustión pueden ser tratados mediante un sistema de depuración evitando su emisión al agua y al suelo (Tello et al., 2019; Ungureanu et al., 2021).

- Destrucción de carga viral: Con el proceso de incineración se destruye todo tipo de patologías como bacterias, virus, compuestos orgánicos que pueden desatar enfermedades desconocidas al estar expuestas al ambiente en los desechos biopeligrosos (MAYPA S.A, 2009).
- Recuperación de energía: Se puede aprovechar la incineración de desechos para producir electricidad y recuperar parte de la energía que es consumida en el proceso (Camacho et al., 2011).

2.4.2 DESVENTAJAS DEL PROCESO DE LA INCINERACIÓN

 Costos elevados de implementación, operación y mantenimiento: Todo el proceso para implementar una planta incineradora es costoso, desde la construcción inicial hasta la operación, ya que, como sistema de gestión de desechos llega a ser un 35 a 50 % más costoso que un relleno sanitario (FARN, 2018).

El propósito inicial del uso de incineradores era considerado para desechos no reciclados, sin embargo, a través de los años la demanda ha crecido por la falta de espacio en rellenos sanitarios, las sobreproducciones han llegado a aumentar el costo operacional de los incineradores donde sus servicios son cada vez más demandados (FARN, 2018; Rodríguez & Irabien, 2013).

El costo que más se destaca es el consumo de combustible auxiliar para alcanzar una temperatura deseada en el incinerador se utiliza alrededor de 2 500 gal/mes de combustible dato proporcionado por HAZWAT, el cual tiene un costo de 1,80 \$ por galón, obteniendo un valor total de 4 500,00 \$ al mes,

hay que mencionar que el gasto de diésel dependerá del tiempo de operación y el tipo de desechos a ser tratados (FARN, 2018; Rodríguez & Irabien, 2013).

- Contaminación atmosférica: si no se tratan adecuadamente las emisiones a la atmosfera (CO, NO_x, SO₂, HCl, MP, metales pesados, dioxinas y furanos) puede causar problemas la salud afectando principalmente al sistema respiratorio, cardiovascular y derrames cerebrales sin dejar de lado, la contaminación a la calidad ambiental de la zona aledaña a la incineradora (Vargas et al., 2008).
- Deja desechos altamente tóxicos: Las cenizas resultantes de la incineración contienen toda clase de elementos tóxicos y requieren ser gestionados en celdas de seguridad, sin eliminar totalmente el problema de los desechos peligrosos, puesto que requieren de un sistema de inertización y eliminación (FARN, 2018).
- Pasivos ambientales por mala de gestión de las cenizas: En muchos países, las cenizas de incineración con una carga de contaminante considerable son arrojadas a en un relleno común, sin membrana de protección donde corren el riesgo de contaminar las capas freáticas del suelo, a su vez estos rellenos o celdas no tienen un manejo adecuado y a través del tiempo pueden convertirse en un pasivo ambiental siendo un peligro para el ambiente y la salud de las personas (Tangri, 2005).

2.5 EMISIONES ATMOSFÉRICAS Y MATERIAL PARTICULADO

• EMISIONES GASEOSAS DE INCINERADORES

Las plantas incineradoras que gestionan desechos peligrosos producen generalmente volúmenes de gases de combustión entre 6 500 y 10 000 m³, dependiendo principalmente del valor térmico medio de los desechos (Camacho et al., 2011). Cabe mencionar que la composición de gas de combustión crudo en

residuos, (ver Tabla 2) depende de la estructura del residuo y los parámetros técnicos del horno. Hay que considerar que las plantas de incineración que utilizan procesos como pirólisis, gasificación y suministro de aire enriquecido con oxígeno generan un menor volumen de gas de combustión se tiene por tonelada de desecho incinerado (Camacho et al., 2011).

Tabla 2.Concentración de gases de combustión después de la caldera (gas de combustión sin tratamiento en diversas plantas de incineración de residuos referencia O₂ de 11%)

Componentes	Unidades	Plantas incineradoras de residuos peligrosos
MP	mg/Nm ³	1 000 – 10 000
СО	mg/Nm ³	<30
TOC	mg/Nm ³	1 – 10
Dioxinas	ngTEQ/Nm ³	0,5 - 10
Hg	mg/Nm ³	0,05 – 3
Cd + Tl	mg/Nm ³	<5
Otros metales pesados (Pb, Sb, As, Cr, Co, Cu, Mn, Ni, V, Sn)	mg/Nm³	<100
HCI	mg/Nm³	3 000 – 100 000
HF	mg/Nm ³	50 – 550
Compuestos de S, total SO ₂	mg/Nm ³	1 500 – 10 000
NO ₂	mg/Nm ³	100 – 1 500
N ₂ O	mg/Nm³	<20
CO ₂	%	5 – 8
Vapor de agua (H ₂ O)	%	6 – 20

Los valores de los residuos peligrosos hacen referencia a plantas comerciales de residuos peligrosos comerciales mixtos más que a plantas para residuos específicos.

Fuente: (Camacho et al., 2011)

No existe un rango típico en las concentraciones de los gases de combustión, debido a que cada prestador de servicios tiene sus propias condiciones de operación. Existen plantas de incineración como HAZWAT, que particularmente gestionan desechos heterogéneos, donde se desconoce una gran parte de la composición química de los mismos, teniendo en cuenta que dentro de las reacciones que se generan en las cámaras de combustión por la presencia de

distintos elementos (N, S, P, Cl) que conducen a la formación de subproductos (NOx, SO₂, HCl) los cuales pueden provocar en el proceso de incineración condiciones temporales, que dan lugar a concentraciones de emisiones instantáneas que fluctúan fuera del límite de los valores promedio (Rodríguez & Irabien, 2013).

Sin embargo, las emisiones también están determinadas por las características técnicas del incinerador, dependen principalmente del diseño y operación del horno, la temperatura, limpieza de los gases de combustión, tiempo de residencia y la estructura de los desechos (Camacho et al., 2011).

De esta forma, se estudia los diferentes elementos de las emisiones gaseosas producidas dentro de un horno incinerador en la cámara de poscombustión, los principales son: vapor de agua, nitrógeno (N₂), dióxido de carbono (CO₂), material particulado (MP) y oxígeno (O₂). Además, conforme a la composición de los desechos incinerados y las circunstancias de operación se producen cantidades menores de (CO), (HCI) donde el hidrógeno también reacciona con el cloro. Así mismo, ocurren muchas otras reacciones, produciendo óxidos de azufre (SO_x), óxidos de nitrógeno (NOx), óxidos metálicos, compuestos orgánicos volátiles COV, dioxinas y furanos, entre otros (Camacho et al., 2011; National Research Counci, 2000).

• PRINCIPALES CONTAMINANTES DE LAS EMISIONES A LA ATMÓSFERA DE INCINERADORES

- Monóxido de carbono CO: Es un gas tóxico e inodoro resultante de la combustión incompleta de compuestos de carbono. Además, se genera en condiciones de insuficiencia de oxígeno dentro de las cámaras de combustión en un ambiente pirolítico y una baja temperatura incapaz de realizar la oxidación completa a CO₂. Es así como esto puede suceder si hay sustancias que combustionan o se evaporan fácilmente. Además, se puede comprobar la eficiencia en el transcurso del proceso de incineración de desechos con la medición de los niveles de CO, es decir

a menor nivel de CO mejor es la calidad de combustión (LaGrega et al., 2000).

- Óxidos de azufre SO_x: Son generados principalmente por el contenido de azufre que se tiene dentro del combustible utilizado, en el caso de la empresa HAZWAT se usa diésel. De igual modo, es probable que los desechos incinerados como: EPP contaminado, textiles, pinturas, entre otros, tengan contenido de azufre los cuales darán paso a que se forme principalmente SO₂ siendo este un gas incoloro y tóxico el cual se origina por la oxidación del azufre (Camacho et al., 2011).
- Oxidos de nitrógeno NO_X: En la incineración de desechos peligrosos se emiten diferentes óxidos de nitrógeno los cuales tienen efectos tóxicos y ácidos dependiendo el óxido en cuestión. Dentro de los monitoreos se toma en cuenta el NO y el NO₂ se forman de la conversión del nitrógeno contenido en los desechos a ser incinerados y de la transformación de nitrógeno atmosférico en óxidos de nitrógeno (NO_X térmico) en el aire de combustión. En plantas de incineración de desechos peligrosos la porción de NO_X térmico pende de la forma y cantidad de suministro de aire secundario en la cámara secundaria, donde se evidencia un aumento de NO_X a temperaturas de inyección por encima de los 1 300 °C (Camacho et al., 2011).
- Material particulado MP: Se constituye principalmente por emisiones de partículas finas resultantes de la incineración, son arrastradas en el flujo de gas. Así pues, en el material particulado se agrupan otros elementos y compuestos que pueden ser separados mediante el uso de dispositivos de depuración o de control de contaminación donde se eliminan la mayor parte del material particulado y sustancias orgánicas e inorgánicas (Camacho et al., 2011).
- Ácido clorhídrico HCI: Tomando en cuenta la variabilidad de los desechos que son incinerados muchos de ellos tienen cloruros o

compuestos orgánicos clorados. Es así como en este proceso térmico, el componente orgánico de estos elementos se deshace y el cloro es transformado a HCI. Por lo tanto, parte del HCI puede reaccionar formando productos secundarios como las dioxinas y furanos (Camacho et al., 2011; Rodríguez & Irabien, 2013).

Metales pesados: Se incluye los metales pesados como el manganeso, antimonio, estaño, arsénico, cromo, níquel, cobre, cobalto, vanadio, plomo, entre otros. Estos compuestos metálicos llegan a ser perjudiciales para la salud y el ambiente por ende se debe realizar un monitoreo debido a su alto potencial tóxico.

La retención de estos metales precisa principalmente de la separación eficaz del material particulado, debido a que se encuentran fijados al polvo por las presiones de vapor de sus compuestos, contenidos en el gas de combustión constituido por óxidos y cloruros (Camacho et al., 2011).

- Dioxinas y furanos: Compuestos resultantes de la reacción de carbono, oxígeno y flúor. Cabe destacar, que algunos de ellos son de extrema toxicidad por su estructura de moléculas de cloro fenoles que contienen. Las dioxinas y furanos han sido parte de discusión sobre la incineración de desechos durante muchos años. Su emisión y generación no es específica del proceso incineración de desechos, sin embargo son producidas en todos los procesos térmicos a determinadas condiciones de proceso, puede darse de forma sincrónica por tres vías (Camacho et al., 2011; Rodríguez & Irabien, 2013):
 - -A partir de precursores, en fase gas
 - -A partir de precursores, sobre la superficie de partículas sólida, algunos de cuyos constituyentes catalizan la reacción
 - -A partir de materia carbonosa, resultante de la combustión en forma de carbonilla o coque.

2.6 CATEGORÍAS DE DESECHOS PELIGROSOS QUE RECIBE HAZWAT

Dentro de la empresa HAZWAT, los desechos se categorizan dependiendo su origen, sus características físicas y químicas, como se describe en la Tabla 3, en la cual se detalla el desecho y el tipo de categoría al que pertenece (PTT, 2021).

Tabla 3Clasificación de los desechos que ingresan a la planta de Tipo "0", "1", "2", "3", "4", que son susceptibles a la incineración, desarrollada por HAZWAT.

TIPO "0"	Desechos "Tipo 0", principalmente papel, cartón y madera. Desechos que contienen máximo 10 % de plásticos, papel laminado o emplasticado, retazos de tela o derivados de la industria textil. / MATERIAL ABSORBENTE
TIPO "1"	Desechos "Tipo 1", material contaminado con hidrocarburos (75 % sólido – 25% líquido), residuos del sector automotriz como filtros de aceite, waipes contaminados, paños contaminados, cauchos y similares, residuos con hidrocarburos, contienen hasta el 50 % de material plástico. / MATERIAL CONTAMINADO CON HIDROCARBUROS
TIPO "2"	Desechos "Tipo 2", material de fuentes domésticas (materia prima caducada, farmacéuticos, mercadería obsoleta) contienen hasta el 60% plásticos. / FARMACÉUTICOS / MATERIAL CADUCADO
TIPO "3"	Desechos "Tipo 3", desechos médicos: objetos cortopunzantes, materiales de desechos infecciosos y materiales quirúrgicos asociados. Desechos anatomo-patológicos: órganos, tejidos, partes corporales que han sido extraídos mediante cirugía, necropsia u otro procedimiento médico. / DESECHOS BIOPELIGROSOS
TIPO "4"	Desechos "Tipo 4", material contaminado con tintas, solventes, resinas, lodos de hidrocarburos / caucho y similares (75 % líquido – 25 % sólido). Mezclas elaboradas con material absorbente. / MEZCLA DE LODOS CONTAMINADOS.

Fuente: Procedimiento interno HZ-OPS-04- Tratamiento térmico-Incineración Empresa HAZWAT

Dentro de estas categorías, se trabajó con diferentes tipos de desechos, que se describen a continuación:

2.6.1 MATERIALES ADSORBENTES/FILTRANTES/ENVASES/EMBALAJE TIPO "0"

Se consideró para este proyecto, el plástico polietileno de alta densidad, más conocido como HDPE o el número 2, el cual tiene como uso más común envases de detergentes, shampoo, cremas, lácteos, tuberías, maceteros y bolsas para compras en tiendas y supermercados (Chepe, 2017). Estos desechos son acondicionados antes de ser incinerados, donde son vaciados sin enjuague y triturados.

2.6.2 APROVECHABLES – TIPO "0"

En esta categoría se encuentras residuos que podrían ser utilizados para el reciclaje. Sin embargo, dentro de los servicios que presta la empresa HAZWAT se encuentra el de destrucción de marca, donde llega gran cantidad de ropa, zapatos, joyería, cosméticos, utensilios de cocina, electrodomésticos, producto sin especificación en buen estado que debe ser incinerados por petición del cliente (PTT, 2021).

Para el estudio se consideró:

- Ropa proveniente de empresas que piden el servicio de destrucción de marca, la ropa que se utilizó estaba constituida principalmente de poliéster 39 %; poliéster y algodón 33 % y poliamida 28 %.
- Aserrín libre de contaminantes el cual es utilizado para realizar mezclas con sustancias líquidas (químicos de laboratorio, aceites contaminados, entre otros) y formar mezclas con un mejor poder calórico.

2.6.3 MATERIALES IMPREGNADOS CON HIDROCARBUROS-TIPO "1"

Desechos peligrosos sólidos impregnados con hidrocarburos se considera a todo (EPP) Equipo de Protección Personal como: los textiles, overoles, uniformes

de trabajo, zapatos de seguridad, equipos de seguridad, guantes de trabajo, mandiles, waypes, trapos, materiales filtrantes (filtros de mascarillas de diferente particularidad) y material absorbente (salchichas o corchos absorbentes), que han sido utilizados en alguna contingencia de derrame de sustancias tóxicas (Organización Internacional del Trabajo, 2021; PTT, 2021)

2.6.4 FÁRMACOS - TIPO "2"

Dentro de los fármacos se engloba una gran cantidad de medicamentos caducados en presentaciones como pastillas, pipetas, jarabes, inyecciones, suplementos, artículos de aseo, etc. En esta categoría se eligió a las pastillas que no contengan cloro, para que dentro del proceso de incineración no se formen compuestos organoclorados, perjudiciales para el ambiente (PTT, 2021).

2.6.5 BIOPELIGROSOS - TIPO "3"

Son aquellos desechos que fueron generados durante la atención médica y tienen la condición de causar una enfermedad al poseer agentes biológico-infecciosos los cuales producen efectos perjudiciales a la salud y al ambiente (Valdovinos, 2007). Dentro de esta categoría se puede encontrar: desechos biológico-infecciosos, anatomopatológicos, cortopunzantes, farmacéuticos, radiactivos, químicos peligrosos, dispositivos médicos con mercurio, etc. (Cando et al., 2018).

2.6.6 SOLVENTES/PINTURAS/RESINAS - TIPO "4"

Dentro de esta categoría se encuentran sustancias provenientes de industrias, materiales de construcción, todo tipo de sellantes, variedad de pinturas, resinas de diferente origen, barnices, aditivos, solventes, etc. (PTT, 2021). Para el estudio se consideró:

- La resina epóxica sirve para recubrir superficies y proteger elementos del polvo y la humedad, su composición química consta de epiclorohidrina o bisfenol A; propileno, fenol y acetona (SRT, 2017).
- El aceite contaminado que ha sido utilizado en procesos industriales, el cual puede ser de origen vegetal como animal debido a que están compuestos principalmente por triglicéridos (una molécula de glicerina y tres ácidos grasos) (Zábala et al., 2016).

2.7 DESCRIPCIÓN DEL PROCESO DE DISPOSICIÓN FINAL DE DESECHOS EN LA EMPRESA HAZWAT

El proceso de disposición final en la empresa HAZWAT inicia con la llegada de los desechos a la planta, donde son clasificados por sus características, como se lo menciona en la sección 2.6. y almacenados temporalmente en las diferentes áreas establecidas por la empresa como se detalla en el ANEXO 1, las cuales son:

- Galpón "Fármacos"
- Galpón "Pinturas, resinas"
- Galpón "Químicos"
- Galpón "Aceites y grasas"
- Galpón "Agroquímicos"
- Bloque "Refinerías"
- Bloque "Biopeligrosos"

Como se detalla en la Figura 8, a continuación, se procede a identificar qué tipo de tratamiento es el que se acopla de mejor manera a la particularidad de las características del desecho, ya sea para el tratamiento de incineración, biorremediación, encapsulamiento o reciclaje, (PTT, 2021).

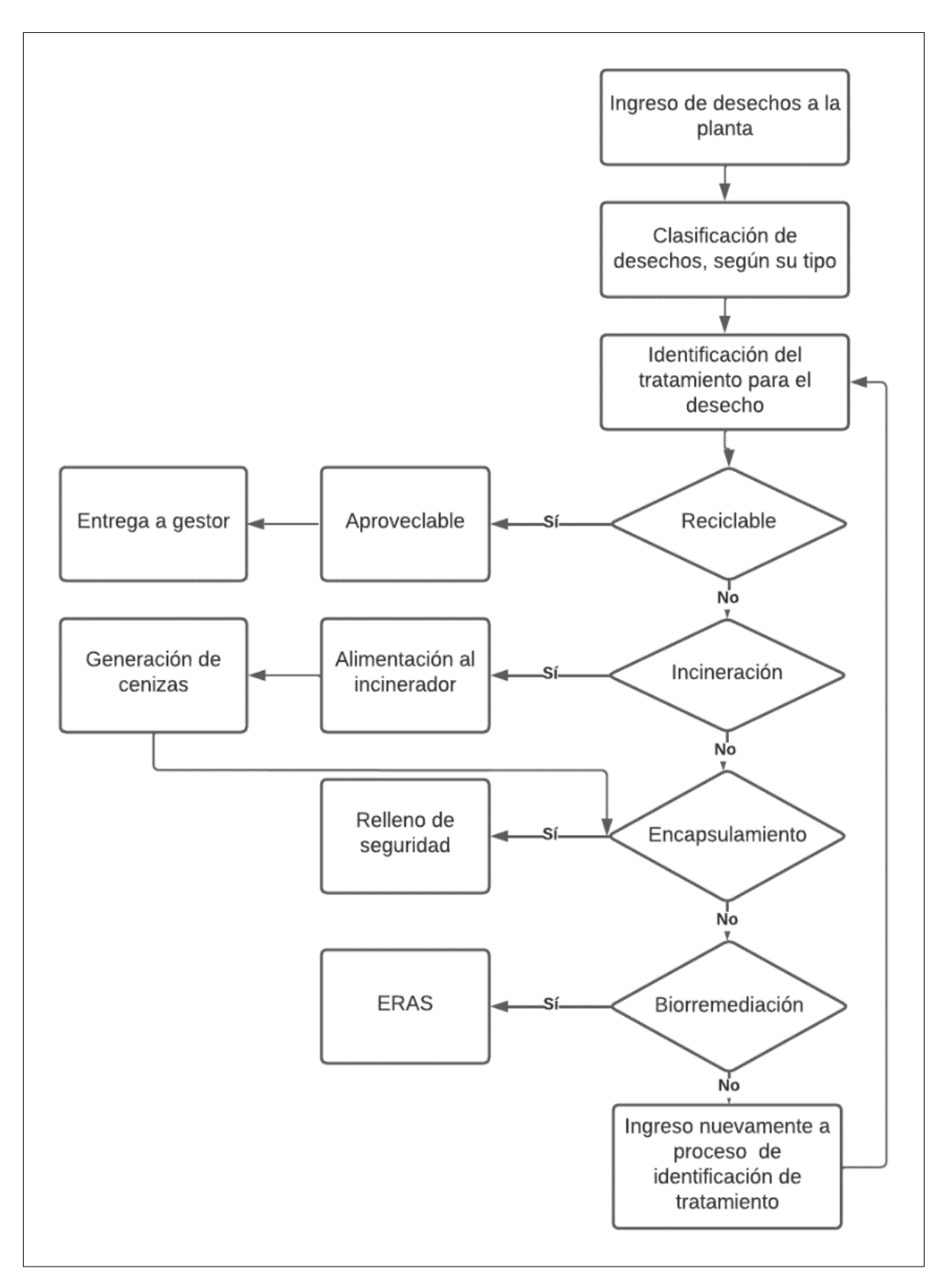


Figura 8. Diagrama de flujo del proceso de la disposición final de desechos en la empresa HAZWAT.

PROCESO DE INCINERACIÓN DE DESECHOS EN LA EMPRESA HAZWAT

El proceso de incineración comienza con la selección de desechos que serán tomados en cuenta para el tratamiento, una vez que los mismos sean liberados por el cliente y autorice la destrucción, ya en este punto, se procede a determinar si los desechos tienen características reciclables, su estado físico separando los que tienen características explosivas (spray o aerosoles), componentes eléctricos, componentes químicos persistentes, alto contenido de cloro e inclusive cualquier otra información importante para estimar su adecuación en el proceso de incineración (PTT, 2021).

Una vez seleccionados los desechos, se trasladan a el área de incineración, donde para facilitar la preparación de la mezcla se determina si el desecho necesita acondicionamiento (trituración) o ya sea por solicitud del cliente para destrucción de marca. Es importante mencionar que este proceso se realiza siempre y cuando los desechos sean susceptibles a este, se descarta objetos metálicos, cortopunzantes, pilas, químicos o desechos con características explosivas (PTT, 2021).

Se establecen los menús de carga a incinerar, el cual debe tener características energéticas altas que favorezcan la combustión, el menú se va alimentando al incinerador en intervalos de tiempo de aproximadamente 13 min, con cargas de 80 a 90 kg. En este punto se revisa la temperatura de combustión y el cierre de la compuerta (PTT, 2021).

Para finalizar se registra el peso de generación de ceniza por turno el cual es aproximadamente un 15% del peso inicial, la ceniza producida es trasladada al proceso de encapsulamiento y depositada en la celda de seguridad. Hay que destacar que el incinerador se encuentra operando por un lapso de 21 días seguidos, los operadores trabajan en 3 turnos de 8 h por día, luego de ese ciclo se realiza un mantenimiento preventivo por un periodo de 15 días, en el cual se limpia los restos de cenizas y escoria retenidos en las cámaras de combustión (PTT, 2021).

2.8 DESCRIPCIÓN DE LA OPERACIÓN Y CONTROL DE EMISIONES GASEOSAS DEL INCINERADOR DE LA EMPRESA HAZWAT

El sistema de depuración de gases en la empresa HAZWAT, busca como objetivo básico, eliminar el material particulado y los contaminantes que se encuentran en fase gaseosa con una eficacia que faculte a cumplir con los límites máximos permisibles dentro de la normativa aplicable (PTT, 2021; Rodríguez & Irabien, 2013).

El incinerador posee un sistema depuración de gases residuales que se detalla a continuación, cómo se observa en la Figura 9.

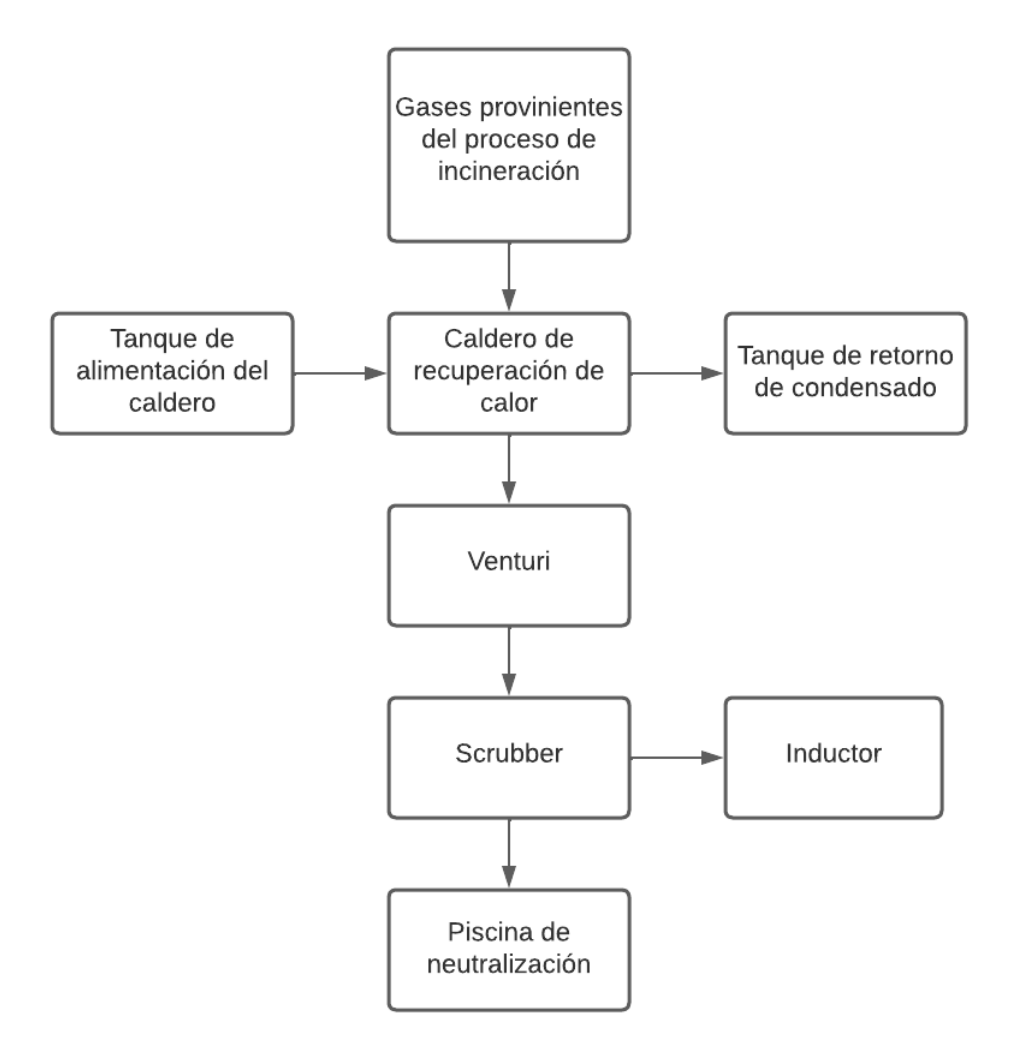


Figura 9. Diagrama de flujo del proceso de depuración de gases.

2.8.1 CALDERO DE RECUPERACIÓN DE CALOR

El caldero de recuperación de calor se utiliza para enfriar los gases residuales antes del filtrado. Al mismo tiempo, regula la temperatura de los gases que pasan a través del venturi, scrubber y el inductor, ver Figura 10. Opera entre 50 y 80 psi, con una temperatura de filtrado óptima de aproximadamente 200 °C (PENNRAM, 2015).

La configuración del caldero es contracorriente, los gases se enfrían desde la parte de arriba, mientras que el agua ingresa de abajo hacia arriba, de esta forma el intercambio de calor es más continuo, los gases ingresan con una temperatura de 1 200 °C y salen a 250 °C (PENNRAM, 2015).



Figura 10. Caldero de recuperación de calor

2.8.2 TANQUE DE ALIMENTACIÓN DEL CALDERO

El tanque de alimentación, opera como un tanque, un sitio donde se encuentra el agua de reposición fría con el retorno del condensado. En este, se utiliza la energía térmica del condensador de retorno, para disminuir su pérdida y promover de forma efectiva la circulación de vapor (Spirax Sarco, 2001).

El tanque, se mantiene a una temperatura de aproximadamente 88 °C, mediante la inyección de vapor en el agua de reposición fresca. Esto sirve para que se evite choques, en caso de que se necesite agua de reposición (PENNRAM, 2015).

2.8.3 TANQUE DE RETORNO DE CONDENSADO

El tanque de condensado convierte el vapor usado nuevamente en agua, y de esta forma, regresa al caldero de vapor como agua de abastecimiento, además de sostener baja la presión al final de la turbina de vapor y de este modo obtener una máxima energía posible (Parvez, 2018).

Este tanque es necesario, para recuperar agua valiosa en la reutilización del caldero de recuperación de calor. Si se introduce frecuentemente agua nueva al caldero con alto contenido de oxígeno e incrustaciones, es preciso el uso de productos químicos de tratamiento por el riesgo de oxidación de los tubos de la instalación, en un periodo corto de tiempo. Generalmente el costo de reactivos depende del fabricante, el contenido de 100 kg resina catiónica tiene un valor aproximado de 96,00 \$. Por eso al condensar el agua para su reutilización una y otra vez, ninguno de estos problemas es un factor y así garantizar la vida útil del caldero (PENNRAM, 2015).

2.8.4 VENTILADOR DE TIRO INDUCIDO

El tiro inducido, también conocido como ventilador inductor o ventolin de tiro inducido, crea una presión negativa, la cual es necesaria para halar los gases a través de los conductos, el caldero de recuperación de calor, depurador húmedo, la chimenea y finalmente empujar los gases residuales limpios hacia la atmósfera, como se observa en la Figura 11. La velocidad del ventilador de tiro inducido, está controlada por un variador de frecuencia para una mejor eficiencia energética, en función de la presión en la cámara principal del incinerador (PENNRAM, 2015).

Garantizan la regulación de la presión en el caldero de recuperación de calor, consumen alrededor del 2% de la producción eléctrica bruta, la temperatura del gas que emplea el ventilador se basa en el rendimiento calculado de la unidad con la carga máxima del caldero. La temperatura afecta al rendimiento del mismo por lo que es importante incluir un margen de temperatura para permitir variaciones en la operación (Pugh, 2004).



Figura 11. Inductor del sistema de lavador de gases

2.8.5 VENTURI

Los depuradores venturi, se utilizan principalmente para controlar el material particulado (MP), incluidos el menor o igual a 2,5 y 10 micrómetros de diámetro aerodinámico, con una eficiencia que varía del 70,0 al 99,0 %. Generalmente este tipo de equipos (ver Figura 12), se limitan al control de MP y gases de alta solubilidad (EPA, 2002). El depurador venturi, usa un flujo de gas descendente vertical en un rango de 0,2 a 478 m³ /s a una temperatura máxima de 400 °C, acelera la corriente de gas residual para rociar el líquido de depuración y tener un mejor contacto entre gas-líquido. Las cargas del contaminante de los gases residuales pueden oscilar entre 1 a 115 g/m. Está constituido por una sección llamada "garganta", la cual obliga a la corriente de gas a acelerarse a medida que el conducto se apiña puesto que la presión aumenta, luego el conducto se expande; disminuyendo la velocidad tanto como la turbulencia del gas (EPA, 2002; PENNRAM, 2015).

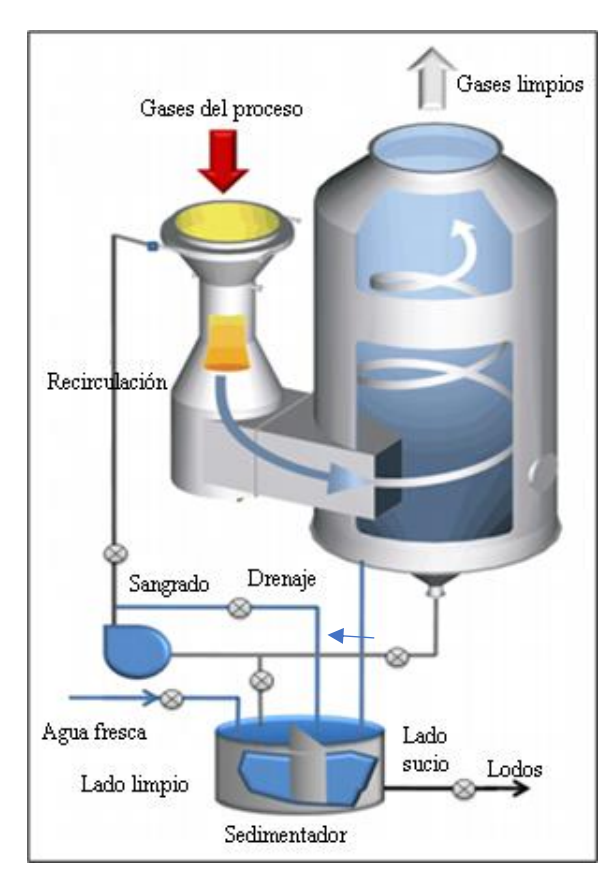


Figura 12. Esquema de funcionamiento Venturi Fuente: (Verlek, 2022)

Posteriormente, se rocía la solución depuradora en contra corriente del flujo de gas. El líquido de lavado se atomiza en pequeñas gotas por la turbulencia a la que se sometió, incrementando la interacción entre gota y partículas. Luego de pasar por la sección de la garganta, la mezcla reduce la aceleración, ayudando a que las gotas se aglomeren. El exceso de gotas de líquido se separa de la corriente por medio de una sección de arrastre constituido por un separador ciclónico (EPA, 2002; PENNRAM, 2015).

Este equipo cuenta, con una entrada de pared húmeda para evitar la acumulación en una unión seca. Una garganta ajustable para permitir la modulación de la velocidad del gas y la caída de presión, y un codo ubicado debajo del equipo para disminuir el desgaste que producen las partículas abrasivas. Este sistema se lo utiliza como pretratamiento para el depurador húmedo (EPA, 2002; PENNRAM, 2015).

2.8.6 DEPURADOR HÚMEDO

El propósito del sistema de depuración es eliminar los compuestos que producen ácido de la corriente de gas residual. Los gases residuales salen del venturi y entran en una cámara de extinción de gases donde la temperatura se reduce a 80°C. La solución del depurador se rocía en la cámara de enfriamiento rápido, utilizando varios cabezales rociadores angulares, resistentes a las obstrucciones, operando cada uno a 30 psi, en la Figura 13 se observa una fotografía del depurador húmedo de HAZWAT (PENNRAM, 2015).



Figura 13. Depurador húmedo-Scrubber

El exceso de solución de depuración vuelve al tanque por el mismo conducto por el cual los gases ingresan nuevamente. El depurador tiene una placa de separación donde se elimina aproximadamente el 99,0% de los contaminantes ácidos (PENNRAM, 2015).

La placa separadora está perforada con aproximadamente 750 orificios direccionales de aproximadamente 5 mm de diámetro. El lado superior de la placa se inunda continuamente con solución de lavado. Los gases residuales pasan a

través de la placa desde el lado inferior y son impulsados a través de la solución de lavado. El nivel de solución se mantiene a unos 10 cm, mediante un cabezal rociador angular resistentes a obstrucciones que opera a 30 psi. El exceso de solución que se desborda por la placa separadora se drena de regreso al tanque (PENNRAM, 2015).

El pH de la solución se mantiene mediante una inyección de 40 % de cal Ca(OH)₂ que se bombea a pedido de las condiciones de operación, el nivel de pH de la solución se mantiene entre 6 y 7. A continuación, los gases residuales limpios llegan a la entrada del ventilador de tiro inducido y pasan por la chimenea. El vapor de agua se condensa en las paredes de la chimenea y se drena de regreso al tanque (PENNRAM, 2015).

La salida de la tapa depuradora está equipada con una trampa, para evitar que el agua condensada sea "soplada" hacia el área circundante. La solución del depurador de la cámara de enfriamiento rápido y la placa del separador es suministrada por dos bombas de 2 HP, cada una. La bomba es capaz de pasar sólidos de hasta 0,355 in de diámetro (PENNRAM, 2015).

- Las boquillas de rociado es ¾ in pasarán objetos de hasta 0,24/6 mm de diámetro.
- Y la boquilla rociadora de 1- ½ in a 20 psi pasará objetos de hasta 0,87
 in.

2.8.7 PROCESO DE TRATAMIENTO DE AGUAS DEL LAVADOR DE GASES

En la Planta HAZWAT, el proceso de depuración de aguas se asemeja a la Figura 14. En la piscina de neutralización con una estructura de hormigón armado de 5 m³ de volumen, llegan las aguas residuales resultantes del sistema del lavador de gases, ingresan con un caudal de 1,33 l/s, a una concentración de 8 g/l de Ca(OH)₂. En este proceso para neutralizar el pH se utiliza nuevamente Ca(OH)₂ para este modo disminuir la acidez del agua y a su vez exista una floculación seguida de precipitación. Los lodos resultantes son enviados nuevamente a la

incineración; mientras que el efluente resultante es descargado directamente al sistema de alcantarillado de la empresa (Camacho et al., 2011; PTT, 2021).

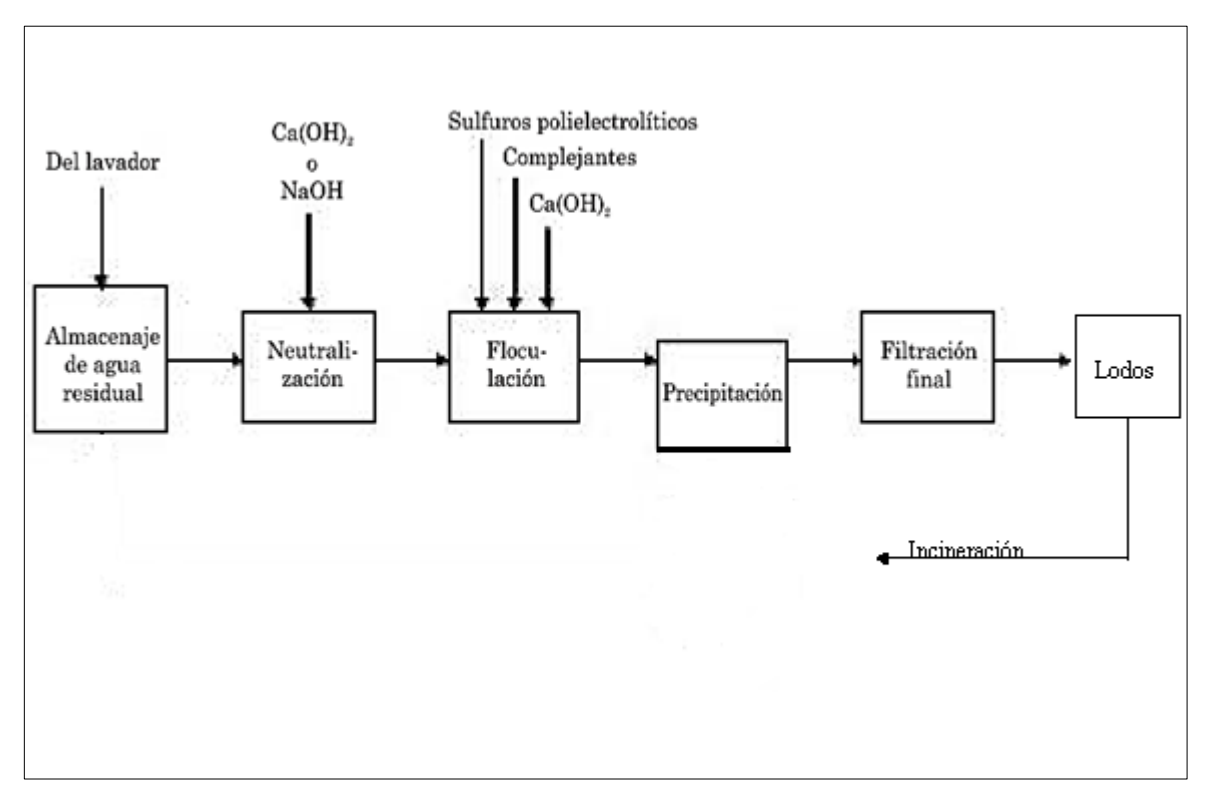


Figura 14. Esquema de proceso para el tratamiento fisicoquímicos del agua residual de un sistema de tratamiento húmedo de gases de combustión.

Fuente: (Camacho et al., 2011)

2.9 BALANCE DE MASA Y ENERGÍA

Para la realización del balance de masa y energía, se utiliza la ley de conservación de energía o la primera ley de termodinámica; es de mucha utilidad en la aplicación a procesos físico-químicos presentes en el sector industrial principalmente (Monsalvo et al., 2014).

En el balance de masa y energía del proceso de combustión en el incinerador, las entradas son: el aire, combustible auxiliar y desechos peligrosos, mientras que en las salidas se presentan las emisiones gaseosas cuyos rangos concentraciones se detallan en la Tabla 3, pérdidas de calor y la ceniza conforme se observa en la Figura 15 (Elías, 2003).

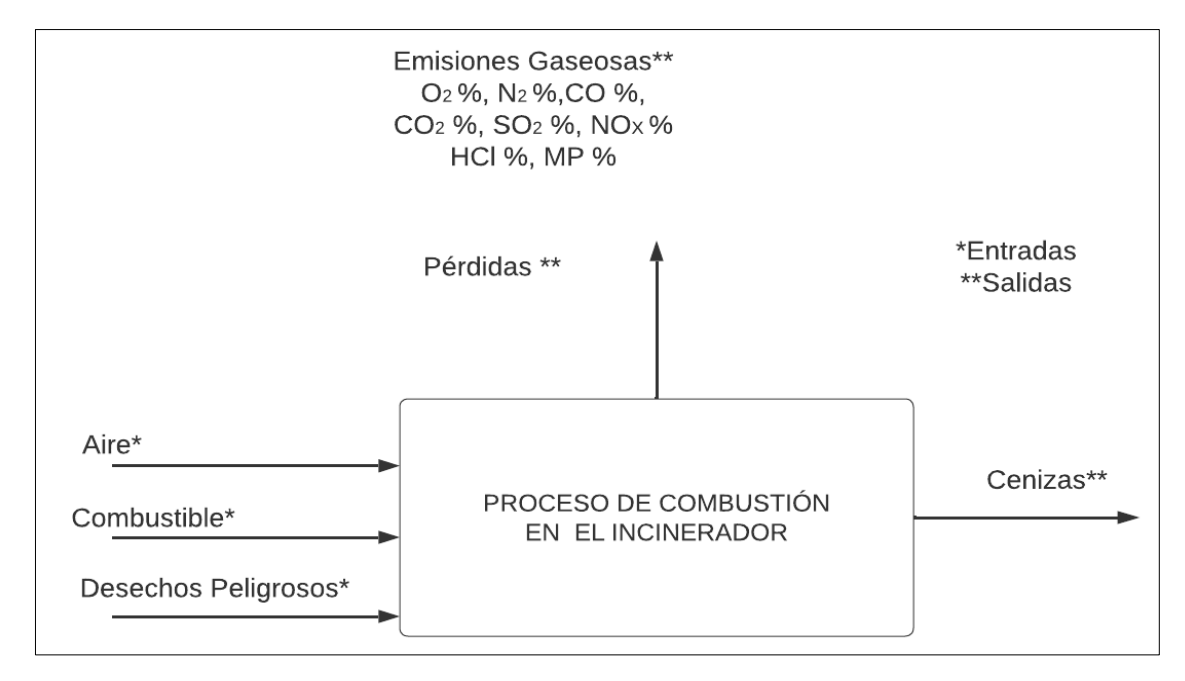


Figura 15. Esquema de balance de masa y energía en un proceso de combustión *Flujos de entrada; **Flujos de salida

Fuente: (Elías, 2003)

2.9.1 BALANCE DE MASA

Se asume que la adición de las masas de tales elementos debe permanecer constante a diferentes tiempos de mediciones, en dónde la acumulación, la generación y la salida de la materia, es igual a la entrada más la generación de materia que se produzca, como se detalla en la Figura 16 (Felder & Ronal, 2004).

$$\begin{cases} Acumulación \\ dentro \\ del \\ sistema \end{cases} = \begin{cases} entrada \\ por las \\ fronteras \\ del sistema \end{cases} - \begin{cases} salida \\ por las \\ fronteras \\ del sistema \end{cases} +$$

$$\begin{cases} generación \\ dentro \\ del \\ sistema \end{cases} - \begin{cases} Consumo \\ dentro \\ del \\ sistema \end{cases}$$

Figura 16. Descripción del balance de masa global Fuente: (Felder & Ronal, 2004)

2.9.2 BALANCE DE ENERGÍA

Se plantea los cambios energéticos que se producen en un sistema que se desea analizar, en el que la acumulación, más la transferencia hacia fuera del sistema y el consumo de energía, es similar a la generación más la transferencia de energía al sistema, como se indica a continuación en la Figura 17 (Felder & Ronal, 2004).

$$\begin{cases} Acumulación \\ de\ energía \\ dentro \\ del\ sistema \end{cases} = \begin{cases} transferencia\ de \\ energía\ al\ sistema \\ a\ través\ de \\ su\ frontera \end{cases} - \begin{cases} transferencia\ de \\ enegía\ hacia\ fuera\ del \\ sistema\ a\ través \\ de\ su\ frontera \end{cases}$$

$$+ \begin{cases} generación \\ de\ energía \\ dentro\ del \\ sistema \end{cases} - \begin{cases} Consumo \\ de\ energía \\ dentro\ del \\ sistema \end{cases}$$

Figura 17. Descripción del balance de energía global Fuente:(Felder & Ronal, 2004)

La primera ley de la termodinámica, estable que "La energía no se crea ni se destruye, solo se transforma", que incluye los cambios posibles en la energía interna (Monsalvo et al., 2014).

2.9.3 BALANCE DE MASA Y ENERGÍA EN SISTEMAS CON REACCIÓN QUÍMICA DE COMBUSTIÓN

Las reacciones químicas que se producen en la combustión controlada se generan dependiendo del combustible, para el diésel se encuentra entre 850 °C a 1 200 °C lo que provoca que las reacciones de oxidación sean exotérmicas, produciéndose rápidamente entre el combustible y el oxígeno (Vatavuk, 2002). La combustión se produce mediante la incineración de gas natural, carbón, madera, gasolina, desechos sólidos municipales, desechos peligrosos o desechos médicos (National Research Counci, 2000).

Un incinerador bien diseñado, en su mayoría descompone las moléculas orgánicas e inorgánicas, lo que permite reacciones entre la mayoría de los componentes volátiles de los desechos, como se observa en las reacciones (9), (10) y (11) (National Research Counci, 2000).

A continuación, se indican las principales reacciones que se producen en la combustión:

$$C + O_2 \to CO_2 + \Delta(calor) \tag{9}$$

$$S + O_2 \rightarrow SO_2 + \Delta(calor) \tag{10}$$

$$H_2 + \frac{1}{2}O_2 \to H_2O + \Delta(calor)$$
 (11)

2.10 NORMATIVA AMBIENTAL NACIONAL

Para la gestión de los desechos peligrosos dentro del Ecuador, existen políticas y normativas ambientales establecidas por la Autoridad Ambiental Nacional (AAN), en las cuales se establece las responsabilidades y actividades que tiene el generador y gestor de desechos peligrosos, para asegurar un manejo integral de estos, garantizando la calidad ambiental mediante el seguimiento de los procedimientos y la evaluación.

2.10.1 ACUERDO MINISTERIAL No. 061, REFORMA DEL LIBRO VI DEL TEXTO UNIFICADO DE LEGISLACIÓN SECUNDARIA,

En el año 2015, el 04 de mayo se publica la Reforma del Libro VI del Texto Unificado de Legislación Secundaria, donde se establece mediante el: Art. 1 Ámbito. - los procedimientos, regula las actividades y responsabilidades públicas y privadas en materia de gestión ambiental. Hay que destacar que las normativas de calidad ambiental han tenido muy poca atención por parte del Estado, en la gestión de proyectos y actualización de estas.

En la SECCIÓN II, se detalla la gestión integral de desechos peligrosos y/o especiales, donde se presentan las actividades que se debe desarrollar en las fases de: generación, almacenamiento, recolección, transporte, aprovechamiento y disposición final. En el Art. 88 se mencionan las responsabilidades al ser generador desechos peligrosos y/o especiales para garantizar un manejo adecuado de los mismos, en conjunto con el Art. 85 Gestor o prestador de servicios el cual tiene la obligación de obtener un permiso ambiental para su debido funcionamiento y control.

2.10.2 ACUERDO MINISTERIAL No. 026, PROCEDIMIENTOS PARA REGISTRO DE GENERADORES DE DESECHOS PELIGROSOS, GESTIÓN DE DESECHOS PELIGROSOS PREVIO AL LICENCIAMIENTO AMBIENTA, Y PARA EL TRANSPORTE DE MATERIALES PELIGROSOS

El acuerdo fue publicado el 12 de marzo del 2007, en el cual se especifica los procedimientos para conseguir el registro generador desechos peligrosos, la gestión de desechos preliminar al licenciamiento ambiental y transporte de materiales peligrosos. Además, describe también los pasos para la solicitud de manejo de los distintos tratamientos previos a la disposición final que recibe un desecho peligroso.

El manejo de desechos peligrosos mediante la Incineración se presenta mediante la solicitud Modalidad D con la clave SGD-SM-INC-01. En este documento se encuentra detallados los requisitos que debe cumplir un gestor para ofrecer este servicio y poder obtener su licencia. Dentro de la información a presentarse, consta de: información general de la empresa, descripción de manejo de desechos peligrosos a través de la incineración y el protocolo de pruebas.

El protocolo de pruebas sirve para demostrar que el tratamiento será eficiente al implementarlo, por medio de un muestreo el cual se realizará en etapas, en series de tres, analizando las siguientes situaciones:

a) En blanco (operación del sistema sin carga).

- b) Con subrogados (materiales no peligrosos como arena limpia, aserrín, etc.).
- c) Con desechos peligrosos al 85% de la capacidad de diseño del sistema.
- d) Con desechos peligrosos al 100% de la capacidad del diseño del sistema.

Los resultados serán presentados como se exhibe en la presente Tabla 4:

Tabla 4.Datos a obtenerse del monitoreo de emisiones a la atmósfera.

Elementos	Prueba en blanco (a)	Prueba con subrogados (b)	Prueba con desecho al 85% (c)	Prueba con desechos al 100% (d)	Límites máximos permisibles
PST					30 mg/m ³
со					63 mg/m ³
NO _x					300 mg/m ³
SO ₂					80 mg/m ³
HCI					15 mg/m ³
HC _t					10 mg/m ³
Pb+Cr _{total} +Cu+Zn					0,7 mg/m ³
As+Co+Se+Ni+Mn+Sn					0,7 mg/m ³
Cd					0,07 mg/m ³
Hg					0,07 mg/m ³
Dioxinas y Furanos		Frants (MAAF			0,5 ng/m³ EQT

Fuente: (MAE, 2007)

Hay que añadir que se debe presentar un balance de masa y energía resultante del proceso de esta manera se puede establecer todas las entradas y salidas que se obtendrá en el proceso. Como es evidente, los procesos que se establecen en la normativa son importantes para analizar si el tratamiento cumple con todos los requisitos para ser implementado. Sin embargo, se puede concluir que falta seguimiento y reglamentos técnicos que faciliten el control de estos procesos (Cando et al., 2018). En lo referente a HAZWAT, se infiere que cumplió con los límites máximos permisibles de la Tabla 4, para la obtención de la licencia ambiental.

2.10.3 ACUERDO MINISTERIAL No. 142, LISTADO NACIONAL SUSTANCIAS QUIMICAS PELIGROSAS DESECHOS PELIGROSOS

Mediante el Registro Oficial Suplemento 856, el 21 de diciembre del 2012, se publica el Acuerdo Ministerial 142: Listado nacional sustancias químicas peligrosas, desechos peligrosos (MAE, 2012), la cual sirve para identificar si un desecho es considerado peligroso, especial o común. De esta forma, al clasificarlo se determinar qué tipo de tratamiento y disposición final se le puede dar al desecho, a continuación, se expone en la Tabla 5 los diferentes Anexos del listado 142. De esta manera, se hizo énfasis en el ANEXO B contenido en el registro oficial, puesto que ayuda a identificar los desechos por medio de la categoría o actividad de dónde proviene el mismo, indicando su característica CRITB, y principalmente señalando su código, para que así pueda ser identificado fácilmente tanto por quien los genera y realiza su gestión integral.

Tabla 5. *Anexos del Listado 14*2

ANEXO A	Listado N.º 1: Listado de sustancias químicas peligrosas prohibidas.
	Listado N.º 2: Listado de sustancias químicas peligrosas de toxicidad aguda
	Listado N.º 3: Listado nacional de sustancias químicas peligrosos de toxicidad crónica
ANEXO B	Listado N.º 1: Desechos peligrosos por fuente específica
	Listado N.º 2: Desechos peligrosos por fuente no específica
ANEXO C	Listado nacional de desechos especiales

Fuente:(MAE, 2012)

2.10.4 ORDENANZA MUNICIPAL DEL DISTRITO METROPOLITANO DE QUITO No. 138.

La Ordenanza Municipal mediante la sección NT001: Norma Técnica para Emisiones a la atmósfera de Fuentes Fijas tiene como alcance establecimientos públicos o privados que cuenten de fuentes fijas de combustión dentro del DMQ. Cabe mencionar que es la única normativa que establece parámetros de control de

gases para incineradoras a nivel nacional, es por ello, que se la considera para la comparación de criterios en los límites máximos permisibles de emisiones al aire

En la ordenanza se establece las metodologías con las cuales deben ser muestreadas las emisiones, los criterios analizados son: CO, HCI, NOx, SO₂, MP, metales pesados, mercurio, dioxinas y furanos, con una corrección de O₂ del 11 %. En el presente trabajo, la medición de dioxinas y furanos no se realizó debido a que dentro del país no hay un laboratorio que realice estos ensayos. En la Tabla 6, se muestran los límites máximos permisibles de los contaminantes en la emisión de gases en incineradoras.

Tabla 6.Límites máximos permisibles para emisiones al aire para incineradores contaminante.

CONTAMINANTE	UNIDAD	LÍMITE DE EMISIÓN
СО	(mg/Nm ³)	87
HCL	(mg/Nm ³)	55
NOx	(mg/Nm ³)	610
SO ₂	(mg/Nm ³)	109
MP	(mg/Nm ³)	55

Nota: Todos los valores están reportados para condiciones normales (1 013 mbar, base seca 0º C y 11% de O₂).

Fuente: (Secretaría Del Ambiente, 2001)

CAPÍTULO 3 METODOLOGÍA

3.1 ÁREA DE ESTUDIO

HAZWAT CIA. LTDA, es una empresa especializada en la gestión de desechos no peligrosos, peligros y especiales, dedicada a la asesoría técnica de remediación ambiental, recuperación y co-procesamiento; además se encarga fundamentalmente de la gestión plena de desechos tóxicos peligrosos y/o especiales, de los principales sectores industriales del Ecuador. El otorgamiento de su Licencia Ambiental data del año 2003, en el tratamiento (biorremediación, gasificación térmica) y disposición final (celdas de seguridad) de desechos tóxicos y peligrosos, siendo la primera empresa en el país en obtener con una licencia en este ámbito (HAZWAT, 2017; MAE, 2016).

Cuenta con una oficina matriz en la ciudad de Quito, en el edificio Royal Business, piso 6; y sus plantas de operaciones industriales se encuentran ubicadas en la provincia de Sucumbíos - Lago Agrio, en la vía Lago Agrio-El Coca kilómetro 8 y en Cayambe, en la vía Quito-Cayambe kilómetro 37 ½. Posee certificaciones Internacionales en la Gestión de Calidad ISO 9001 y en la Gestión Ambiental ISO 14001 (HAZWAT, 2017).

El presente estudio se realizó en la Planta Industrial Cayambe, ubicada en las faldas del cerro Pambamarca, perteneciente a la parroquia Otón, del Cantón Cayambe, de la provincia de Pichincha, en la Figura 18 se observa la Planta de operaciones, donde se puede evidenciar que no hay poblaciones cercanas a la misma. Se encuentra a una altura de 2 830 msnm., con una temperatura y presión media anual de 14°C y 1,01 atmósferas respectivamente, siendo un clima templado y frío de alta montaña, cuenta con un área de aproximadamente de 42 852,2 m² (HAZWAT, 2017).

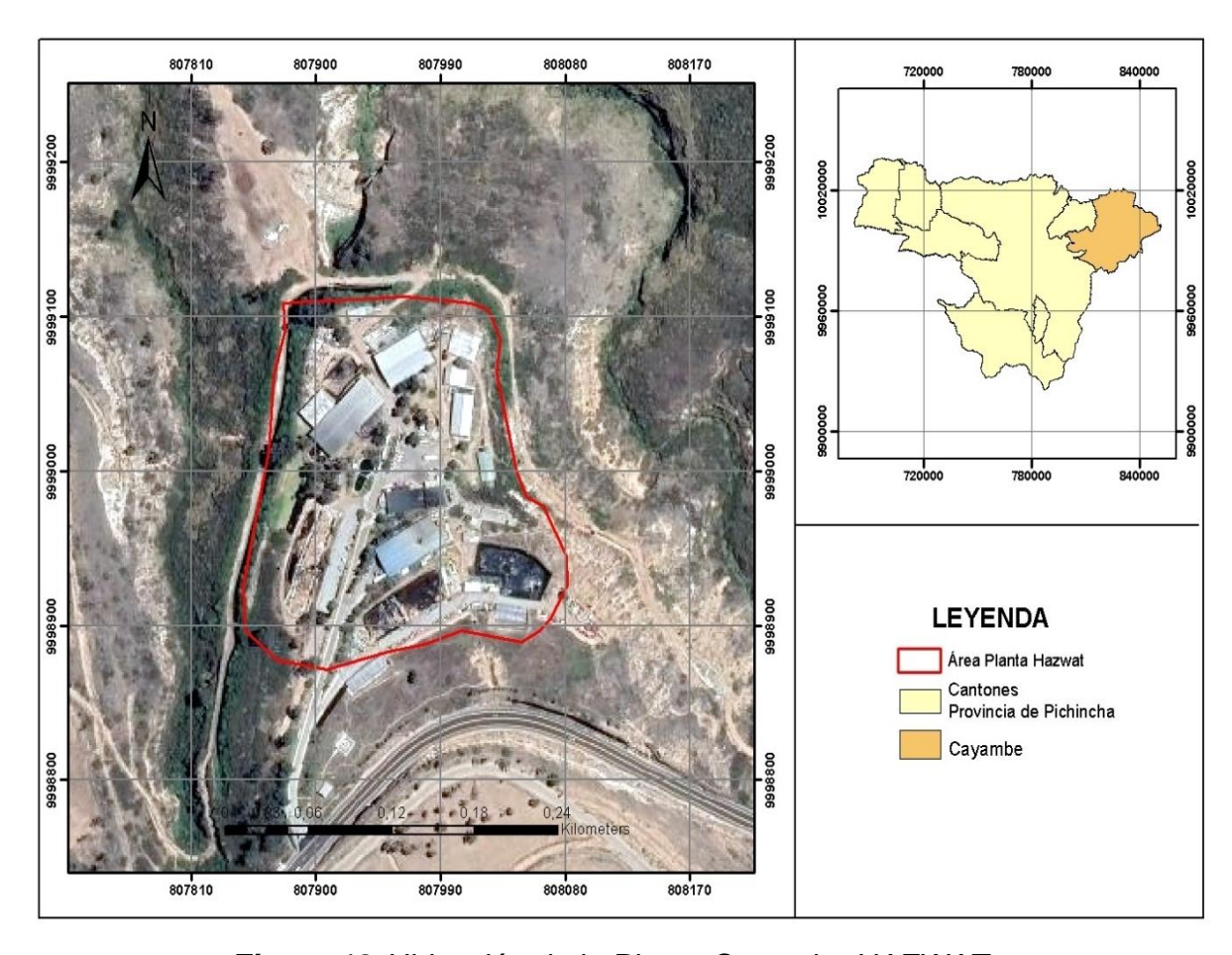


Figura 18. Ubicación de la Planta Cayambe HAZWAT

3.2 RECOPILACIÓN DE DATOS

Para comenzar con el presente proyecto, el 19 de agosto del 2021 se realizó una visita preliminar al Centro de Remediación Ambiental HAZWAT en Cayambe; donde, se conoció toda la infraestructura de la empresa, los servicios que ofrecen, las áreas de trabajo, el manejo de los desechos y los tratamientos de disposición final para su destrucción, la visita guiada por el encargado de la planta, quién mostró e informó sobre los procesos que se realiza en cada área de la empresa. Así pues, se detalló el método a seguir para cada desecho, ya sea para un tratamiento de incineración, encapsulamiento, biorremediación o reciclaje.

Se conoció el área de incineración, se tuvo una explicación de los procedimientos que se realizan para incinerar los desechos, las características básicas del equipo térmico y su forma de operar a través de un sistema de autocontrol. Además, se hizo un reconocimiento general de todos los desechos que gestiona HAZWAT, uno de los que, en más medida llegaban es el tipo de desechos hospitalarios con una cantidad promedio de treinta toneladas al mes, es por lo que fueron considerados en el menú de carga. Para finalizar se conoció al personal de la empresa.

3.3 RECONOCIMIENTO DE LOS DESECHOS PELIGROSOS EN LA EMPRESA

Se realizó tres visitas técnicas a la empresa, debido a que era imprescindible reconocer la clasificación interna de los desechos y la variedad de sus características, con el fin de escoger los desechos con los que se trabajó en el presente estudio.

- La primera visita se realizó el 1 de septiembre del 2021, en la cual se procedió a inspeccionar cada uno de los galpones existentes en la empresa, donde se almacenaban temporalmente los desechos hasta que sean liberados por el cliente. Se comenzó con el galpón de fármacos, ya que era el que mayor cantidad tenía desde medicamentos, cosméticos, alimentos, entre otros.
- La segunda y tercera visita se efectuó el 7 y 8 de septiembre del 2021 respectivamente, en donde se terminó de reconocer los demás galpones: resinas y pinturas, agroquímicos, aceites y grasas, químicos, bloque de refinería y bloque de biopeligrosos.

Se identificó que muchos de los desechos que llegaron a los galpones no tenían una etiqueta acorde a sus características CRETIB. Se realizó un inventario de los desechos presentes, en el cual se colocó la fecha de llegada a la planta, la cantidad existente, características básicas, el material de presentación, etc. Sin embargo, para los desechos que se encontraban en áreas de difícil acceso y/o contenidos en bulk tanks, se utilizó y analizó la base de datos de los desechos de los últimos años, para identificar su procedencia y sus características. El inventario

obtenido a partir de las visitas técnicas se presenta en el ANEXO 1, se enlistan los desechos con mayor frecuencia en los galpones.

3.4 ELABORACIÓN DEL MENÚ DE CARGA DE INCINERACIÓN

Se elaboró 10 variaciones de un menú de carga de incineración, ya que en la empresa HAZWAT no manejan menús técnicos que aseguren un proceso eficiente de incineración. De esta manera, la finalidad de elaborar menús óptimos es la de disminuir las cargas y concentraciones de los contaminantes resultantes del proceso de incineración que afectan al aire, suelo y agua, garantizando la reducción de costos de operación en un proceso de combustión eficiente, en lo que se refiere a utilizar menor cantidad de combustible auxiliar (diésel), lo cual dará mejores resultados desde una perspectiva económica, social y ambiental.

Para determinar los desechos peligrosos, que serían parte de menú se consideró varios aspectos intrínsecos de cada desecho, como: el poder calorífico, el porcentaje de humedad, si están constituidos o mezclados con sustancias tóxicas, a su vez, que estén libres de metales pesados y compuestos clorados para evitar la formación de gases ácidos, dioxinas y furanos. Por otro lado, también se examinó el volumen de llegada de los desechos a la planta, el stock existente y la compatibilidad en las características de los materiales que los conforman.

Estos aspectos pudieron ser determinados mediante la investigación de datos bibliográficos, procedentes de otros estudios realizados en la incineración de desechos y a través de los análisis de laboratorio específicos efectuados a cada desecho dependiendo su origen y características. La elección final de los desechos tuvo algunas modificaciones, ya que la variación de llegada de los desechos a la planta es muy fluctuante, eligiendo los más frecuentes, los cuales son aceite contaminado, aserrín, pastillas trituradas, EPP contaminado, biopeligrosos, resina epóxica y ropa.

3.5 MUESTREO DE DESECHOS

El muestreo se realizó a fin de recolectar una muestra representativa de cada desecho con los que se trabajó, de este modo, poder realizar los análisis de laboratorio y distinguir sus características. Así pues, con los datos obtenidos en el inventario de desechos se estimó el tamaño representativo de la muestra, de acuerdo con Moreno, (2011), se determinó mediante la ecuación (12).

$$n = \frac{Tx(z)^2 x(\sigma)^2}{(T-1)x(e)^2 + (z)^2 x(e)^2}$$
(12)

Donde

n: tamaño de la muestra a ser recolectada

T: kg de la muestra o desecho existente en la planta

 z^2 : nivel de confianza del 99% = 2,58

 σ^2 : desviación estándar = 0.01

e2: Margen de error permitido =0,01

Ya con los datos obtenidos del tamaño de muestra que se necesitaba, se acudió a la empresa HAZWAT por tres ocasiones entre el 4 a 17 de noviembre del 2021, debido a problemas operativos en la despastilladora e inexistencia de los desechos en la planta. Las muestras representativas fueron proporcionadas por el personal operativo a cargo de cada galpón.

A fin de, preservar y evitar que exista algún derrame en el traslado de los desechos desde la empresa al laboratorio, se almacenó a los desechos sólidos o pastosos en fundas plásticas herméticas negras de alta densidad HPDE, como se muestra en la Figura 19 y los desechos líquidos en garrafas plásticas Figura 20. Luego de la recolección, las muestran fueron almacenados provisional en el Laboratorio de Operaciones Unitarias (LOU) de la Escuela Politécnica Nacional y así se garantizó, que el lugar tenga ventilación, se mantenga a temperatura ambiente, libre de agua y evadiendo la exposición al sol.



Figura 19. Recolección de plásticos, pastillas trituradas y resina epóxica



Figura 20. Recipiente utilizado para la recolección de aceite contaminado

3.6 ANÁLISIS DE LABORATORIO DE LAS MUESTRAS A INCINERAR

En la Tabla 7, se enlistan los ensayos que se realizaron en los distintos laboratorios de la Escuela Politécnica Nacional para los diferentes desechos provenientes de la planta HAZWAT. En los ensayos de laboratorio realizados se

describe el método guía, el laboratorio utilizado y el número de réplicas, dependiendo de los datos que se desea obtener para cada desecho y en base a los resultados obtenidos considerar una pertinente variación en la cantidad de cada desecho, expresado en forma de porcentaje en peso dentro de los menús de incineración propuestos

Tabla 7 *Métodos usados a los desechos peligrosos para la incineración.*

DESECHO	ANÁLISIS	MÉTODO USADO				
Aserrín	Porcentaje de humedad	ASTM -CS66-97				
Asemin	Poder calorífico	ASTM-5865-10 ^a				
	Porcentaje de humedad	ASTM -CS66-97				
EPP contaminado	Análisis de Aceites y grasas	D 5369 – 93				
	Poder calorífico	ASTM-5865-10 ^a				
	Porcentaje de humedad	ASTM -CS66-97				
Pastillas trituradas	Análisis FTIR	AASHTO T 302				
	Poder calorífico	ASTM-5865-10 ^a				
Aceite contaminado	Poder calorífico	ASTM-5865-10 ^a				
Recetas propuestas	Contenido de cenizas	NTE 0.544				

3.6.1 PORCENTAJE DE HUMEDAD

Se realizó el análisis del porcentaje de humedad puesto que, se necesitó determinar el contenido de agua que poseía cada tipo de desecho. Con la finalidad de analizar si el porcentaje de humedad del menú de carga es el conveniente para que se efectué un adecuado proceso de incineración dentro de las cámaras de combustión.

El ensayo de laboratorio se realizó a los desechos: EPP contaminado, pastillas trituradas y aserrín, donde se tomó como referencia la Norma ASTM Método de ensayo estándar para contenido de humedad total del agregado por secado C566-97. (American Society for Testing and Materials, 2004). Para el resto de los desechos seleccionados se obtuvo los datos mediante revisión bibliográfica.

El ensayo se desarrolló en las instalaciones del Laboratorio de Análisis Instrumental (LAI) de la Escuela Politécnica Nacional, se comenzó efectuando un pretratamiento a los desechos para homogenizar la muestra. El proceso se realizó por triplicado en cada muestra de los desechos seleccionados. Para el ensayo se requirió de los siguientes equipos:

- Crisoles
- Pinzas
- Mortero
- Desecador con sílica gel
- Balanza analítica
- Estufa

Pretratamiento de desechos:

Dentro del pretratamiento se acondicionó a los desechos para que puedan ser homogéneos y manipularlos de mejor manera en los crisoles.

- Se volvió a triturar las pastillas con ayuda de un mortero, ya que estaban casi enteras por un problema técnico en la despastilladora de la planta.
- Se dividió el EPP contaminado con unas tijeras colocando pequeñas partes de los diferentes materiales que contenía la muestra representativa.

Análisis de contenido de humedad:

- Se tararon los crisoles usando la estufa a una temperatura de 102 °C ± 2°C por 3 horas.
- Se procedió a sacar los crisoles y colocarlos en un desecador con sílica gel por 30 minutos.
- Se pesó los crisoles en una balanza analítica de precisión 0,1 mg y se los etiquetó.
- Se pesó las muestras tomando en cuenta su volumen.

Se colocó los crisoles dentro de la estufa a una temperatura de 102 ± 2 °C por 24 horas.

- Al siguiente d

 ía se retir

 ó los crisoles y se les coloc

 ó nuevamente en el

 desecador por 30 minutos.
- Se procedió a pesarlos y registrar los datos.
- Se realizó el cálculo de contenido de humedad de cada desecho con la ecuación (13):

$$\% H = \frac{W_2 - W_3}{W_2 - W_1} \times 100 \tag{13}$$

% H: Porcentaje de humedad

W₁: Peso del crisol con la muestra húmeda (g)

W₂: Peso del crisol con la muestra seca (g)

W₃: Peso inicial del crisol (g)

3.6.2 PODER CALÓRICO

El análisis de poder calórico se realizó, para conocer la cantidad del calor desprendido al incinerar cada tipo de desecho. Con el fin de asegurar una incineración adecuada, a una temperatura estable y disminuir el consumo de combustible auxiliar.

En el ensayo de laboratorio se analizó a los desechos: EPP contaminado, pastillas trituradas, aceite contaminado y aserrín, en base a la Norma ASTM D 5865-10a: *Standard Test Método for gross calorific value of coal and coke* (ASTM, 2011). Los datos de poder calórico para los demás desechos se los obtuvo mediante revisión bibliográfica tomando en cuenta sus componentes principales detallados en el ANEXO 8.1.

El análisis se realizó en las instalaciones del LAI de la Escuela Politécnica Nacional, donde se utilizó los siguientes materiales:

- Bomba calorimétrica
- Cápsula de muestra
- Alambre de ignición

El proceso se realizó por triplicado y se lo describe a continuación:

- Se realizó la estandarización del equipo en las condiciones ambientales, dentro de lo establecido, a temperatura entre un rango de 15-30 °C y con una humedad relativa de máx. 80 % sin condensación.
- Se calibró la bomba calorimétrica con ácido benzoico.
- Se pesó en la cápsula 1 g de muestra.
- Se colocó el alambre que va a dar la chispa para la ignición en la cápsula con la muestra.
- Se introdujo la cápsula dentro de la bomba calorimétrica.
- Se inició al proceso dando paso al oxígeno hacia la bomba.
- Se esperó a que el equipo termine el proceso.
- Se desarmó la bomba calorimétrica desconectando la fuente de ignición.
- Se procedió a sacar la cápsula con los restos de muestra.
- Se obtuvo los datos registrados por el equipo.

3.6.3 ANÁLISIS DE IDENTIFICACIÓN DE COMPUESTOS

Se realizó el análisis de FTIR "Espectroscopía Infrarroja por Transformada de Fourier" para conocer la composición de las mezclas moleculares, de esta manera, garantizar que no existe compuestos halogenados dentro de la estructura del desecho, las cuales pueden generar emisiones tóxicas al momento de ser incinerados.

Para este ensayo se analizó únicamente las pastillas trituradas, ya que, podrían existir compuestos con cloro dentro de sus principios activos. El Método de ensayo AASHTO T302, *Polymer contend of polymer-modified emulsified asphalt* se utilizó para la determinación de grupos funcionales (Salazar Delgado, 2013). El ensayo se efectuó en las instalaciones del LAI de la EPN, por medio de un

espectrofotómetro. El proceso se realizó por triplicado y se lo describe a continuación:

- Se colocó la muestra, previamente molida, aproximadamente 1 g dentro del espectrofotómetro para que este en contacto con la luz infrarroja.
- Se corrió el análisis en tres muestras distintas para ver si la correlación entre las gráficas.
- Se obtuvo los resultados mediante una librería digital del equipo que designaba el grupo funcional perteneciente a un rango de longitud de onda.
- El equipo arrojó los datos para ser analizados dependiendo al grupo funcional al que pertenecía.

3.6.4 ANÁLISIS DE ACEITES Y GRASAS

El análisis de aceites y grasas se realizó para ver si el porcentaje dentro del desecho analizado es considerable como para aportar una mayor cantidad de calor al momento de ser incinerado. Así pues para conocer el contenido de grasas y aceites, de la muestra del EPP contaminado con hidrocarburos, se tomó como referencia la norma D 5369 – 93, *Extraction of solid waste samples for chemical analysis using soxhlet extraction* (American Society for Testing and Materials, 2003). El ensayo se lo realizó por duplicado, en dos partes en el LOU mediante el uso del equipo soxhlet y el LPQ para el uso del rotavapor y la estufa. Para efectuar el ensayo, se utilizó los siguientes materiales:

- Matraz redondo
- Desecador
- Balanza analítica
- Papel filtro
- Equipo soxhlet
- Estufa
- Equipo de rotavapor
- Solvente (hexano)
- Contenedor de baño maría

- Desecador
- Bomba de vacío

Debido a que el solvente que se utilizó fue el hexano debió reutilizarse por tratarse de una sustancia controlada y su uso fue limitado. El ensayo se realizó por duplicado, el solvente puro se lo utilizó en la primera corrida, mientras que para que la segunda corrida se lo destiló, por lo que la efectividad en esta corrida afectó el resultado del segundo análisis. A continuación, en la Figura 21 se describe brevemente los pasos realizados en el ensayo:



Figura 21. Procedimiento realizado en el ensayo de aceites y grasas

Para la determinación del porcentaje de grasas presentes, se utilizó ecuación (14), que se indica a continuación:

$$G(\%) = \frac{m_2 - m_1}{M} * 100 \tag{14}$$

En dónde:

m₁ = Peso del matraz redondo vacío (g)

m₂ = Peso del matraz redondo con grasa tras el secado (g)

M = Peso de la muestra en (g)

3.6.5 PORCENTAJE DE CENIZAS DE LOS MENÚS PLANTEADOS

Para la determinación de porcentaje de cenizas, se inició variando los porcentajes en peso de los 8 desechos seleccionados para la conformación del menú de carga, las variaciones de porcentaje dentro de cada categoría se presentan en la Tabla 8.

Tabla 8Variaciones de porcentaje en peso de cada desecho dentro de las diferentes categorías.

DESECHO	RANGO %
EPP contaminado	0,7 - 0,8
Envases plásticos triturados	2,0 - 2,5
Aserrín	4,0 - 10,0
Aceite contaminado	60,0 - 70,0
Pastillas trituradas	5,2 - 7,0
Biopeligrosos esterilizados	7,0 - 9,0
Resina epóxica	4,0 - 17,0
Ropa	1,5 - 2,5

3.6.5.1 Determinación de la variación de porcentaje de cada desecho en los menús de cargas

Para la elaboración de las 10 variaciones de los menús de carga se consideró su influencia de llegada a la planta, su contenido de humedad y poder calórico principalmente. El desecho que tuvo mayor influencia en los menús fue el aceite contaminado, puesto que su existencia en la planta era mayoritaria, además de poseer un buen poder calorífico, y un contenido de humedad muy bajo, los menús propuestos para el estudio se presentan en la Tabla 9.

Tabla 9. *Menús propuestos, variando su composición porcentual de cada categoría.*

	COMPOSICIÓN DE LOS MENÚS (%)									
CATEGORÍAS	1	2	3	4	5	6	7	8	9	10
EPP contaminado	0,8	0,7	0,7	0,7	0,8	0,8	0,7	0,7	0,7	0,8
Envases plásticos triturados	2,4	2,0	2,3	2,5	2,0	2,5	2,1	2,2	2,5	2,0
Aserrín	4,0	10,0	10,0	5,0	12,0	9,0	8,6	6,0	6,0	4,0
Aceite Contaminado	65	60	65	68	58	69	71	69	67	61
Pastillas trituradas	7,0	7,5	7,2	6,5	5,8	5,2	5,6	7,2	6,5	5,8
Biopeligrosos esterilizados	9,0	8,5	8,0	7,5	7,0	8,0	5,0	8,0	7,5	7,0
Resina epóxica	9,4	9,3	5,0	8,0	12,0	4,0	5,0	5,0	8,0	17,0
Ropa	2,40	2,00	1,80	1,80	2,50	1,50	2,00	1,90	1,80	2,50

3.6.5.2 Determinación del porcentaje de ceniza

Se determinó el porcentaje de cenizas debido a que se requería conocer la cantidad de cenizas que se generaba en cada una de las recetas al ser expuestas a un proceso de incineración, utilizando la norma peruana No. 0.544 (2006) como guía.

El ensayo se desarrolló en las instalaciones del Laboratorio Docente de Ingeniería Ambiental (LDIA) de la EPN; se realizó por triplicado y se requirió del uso de:

- Crisoles
- Pinza
- Cucharilla
- Desecador con sílica gel
- Balanza analítica
- Mufla.

El procedimiento realizado se lo describe a continuación:

- Se estableció 10 menús de 25 g cada una que contenían distintos porcentajes de los desechos.
- Se identificó el número de menú con todas sus características y el crisol en el cual se iban a colocar.
- Se procedió a tarar los crisoles usando la estufa a una temperatura de 102
 °C ± 2 °C por 3 horas.
- Se traspasó a los crisoles a un desecador con sílica gel por 30 minutos.
- Se pesó los crisoles en una balanza analítica de precisión 0,1 mg y se los etiquetó.
- Se pesó las muestras colocando cada porcentaje de desechos respectivamente.
- Se procedió a programar la mufla por rampas, la primera fue de 0-300 °C subiendo la temperatura por 30 minutos, luego se mantiene la mayor temperatura por una hora, y así sucesivamente con la rampa dos (300-600 °C) y la rampa tres (600-900 °C) realizado el ensayo en un tiempo de 4h30m.
- Se finalizó el proceso de incineración y se dejó que la mufla descienda su temperatura a 150 °C para retirar las muestras.
- Se colocó los crisoles a un desecador con sílica gel por 30 minutos.
- Se procedió a pesar los crisoles con los restos de ceniza que quedo en ellos. Con los datos obtenidos se realizó el cálculo de cenizas por triplicado, con la ecuación (15) (Cano, 2016).

$$\% Cenizas = \frac{CC - W}{CS - W} * 100 \tag{15}$$

Donde:

CC = Peso del crisol con la ceniza (g)

W = Peso del crisol vacío (g)

CS = Peso del crisol más la muestra seca (g)

3.7 DISEÑO EXPERIMENTAL DEL MENÚ

Se llevó a cabo el ensayo del porcentaje de cenizas contenido en cada receta, este valor fue considerado como variable dependiente en el diseño experimental, dónde se varió la composición de los desechos peligrosos seleccionados. Luego se realizó una comparación de las varianzas entre los promedios del porcentaje de ceniza resultantes de las diferentes recetas, determinando si las recetas que se propusieron son semejantes entre sí, mediante el análisis estadístico ANOVA (Dagnino, 2014). Para lo cual, se utilizó Minitab, como una herramienta informática para su determinación.

ANÁLISIS DE VARIANZA (ANOVA)

ANOVA con sus siglas en inglés *Analysis of variance*, es un instrumento estadístico, que se utilizó para determinar las diferencias entre las medias de los grupos experimentales. Es un diseño completamente aleatorio y se basa en análisis de la varianza de un factor (medida de dispersión de la variabilidad de un conjunto de datos en relación a su media) (Sawyer, 2009). Para su obtención, se necesitó conocer si las concentraciones medias del contenido de cenizas en los diez menús son iguales. Por ello se consideró que no hay diferencia en las medias de los menús frente a la alternativa de que al menos una media sea diferente de la otra. La variable respuesta es el porcentaje de ceniza, cada menú tiene tres unidades (medición por triplicado), con un total de 30 observaciones. Mientras que la hipótesis nula consiste en que el promedio de los porcentajes de ceniza es igual a la receta 1, como la de la receta 2 y así sucesivamente, por lo tanto, no existe diferencia entre las mismas.

3.8 PRUEBA PILOTO (IN-SITU).

La prueba piloto se realizó dado que se requería conocer si era factible operativamente la incineración del menú seleccionado de las 10 recetas propuestas, de esta forma corroborar la disminución de porcentaje de cenizas de acuerdo con el ensayo realizado a nivel de laboratorio.

La prueba piloto se efectuó en el incinerador PENNRAM ubicado en la Planta HAZWAT Cayambe, en donde se alimentó el menú de carga por tres horas con la ayuda de un carro de carga de 90 kg cada 13 minutos; es decir, 500 kg/h. El proceso de alimentación se describe a continuación:

 Los desechos fueron seleccionados y colocados en el área de almacenamiento de combustión, ver Figura 22.



Figura 22. Desechos en el área de combustión

Fuente: HAZWAT

 Luego, se fue pesando los desechos de acuerdo con los porcentajes del menú de carga establecido, ver Figura 23.



Figura 23. Pesaje de desechos

 Al completar los 90 kg en el carro de carga, se procedió a suministrarlos a la incineradora, ver Figura 24.



Figura 24. Alimentación de carga al incinerador

Al final se registró el peso de la ceniza resultante por turno de incineración.

3.8.1 CARACTERIZACIÓN DE EMISIONES ATMOSFÉRICAS

Para realizar la caracterización de los contaminantes como: MP, CO, SO₂, NO_x y HCl los resultados de las valoraciones efectuadas deben presentarse en gas seco en condiciones normales (273 K y 101,3 kPa), ajustándose a un porcentaje de oxígeno a la salida, para que puedan ser comparados con los límites máximos permisibles (Rodríguez & Irabien, 2013). Para corregir la dilución por oxígeno se debe cotejar el oxígeno referencial con el oxígeno medido, este dependerá de la valoración del equipo con el que se toman las muestras, utilizando la siguiente ecuación (16) se corrige la medida con el porcentaje de oxígeno (MAE, 2015):

$$C_C = \frac{(21 - C_{OR})}{(21 - C_{OM})} C_{CM} \tag{16}$$

 C_C : concentración de contaminante relacionada al gas seco en condiciones normales y modificada con la concentración de oxígeno establecido en (mg/m³ y ng/m³).

 C_{OR} : concentración de oxígeno de referencia (%).

 C_{OM} : concentración de oxígeno medida, aludido a los gases a gas seco, en los gases de escape (mg/m³).

 C_{CM} : concentración de contaminante medida, aludido a gas seco en condiciones normales (mg/m³ y ng/ m³).

Para la caracterización de las emisiones atmosféricas, que se produjeron al incinerar el menú seleccionado en la prueba piloto de la Planta HAZWAT, se realizó un monitoreo en dos puntos, el primero fue realizado al final del sistema del lavador de gases y el segundo punto fue tomado en las emisiones de la chimenea que salía directamente del incinerador; con el fin de conocer las concentraciones de SO₂, CO, NO_x y MP, lo realizó el laboratorio acreditado (CICAM) Centro de Investigación y Control Ambiental ver Figura 25 y 26. En cuanto al monitoreo del material particulado, en el segundo punto hubo complicaciones, puesto que la sonda isocinética *Stainless Steel* tenía un rango de temperatura máximo de 650 °C (APEX INSTRUMENTS, n.d.), y la emisión de gas de la chimenea salían una temperatura

de 820 °C, lo que ocasionó que no se pueda tomar la medida con el equipo en ese punto.



Figura 25. Preparación de impingers



Figura 26. Monitoreo de gases

El CICAM utilizó la metodología PE-V-08 "Procedimientos de ensayo para la medición de gases de combustión"; PE-V-10 "Procedimiento de ensayos para la

medición de material particulado" con referencias de: Gases EPA CTM 30 Y EPA CTM 14 y Material Particulado EPA 1-5.

El proceso de instalación del equipo de análisis de MP duró una hora, (ver Figura 28), mientas que el tiempo de medición se llevó al cabo de dos horas, (ver Figura 29), donde se usó un analizador de gases portátil, de marca Testo, modelo 350 XL, serie 1810805; un anemómetro y GPS, para la medición de MP se necesitó de la consola de muestreo isocinético. Las incertidumbres para la cuantificación son: CO de 0,76 %, SO₂ de 1,04 %, NO y NO₂ de 1,20 % y 2,58 % respectivamente; el O₂ de 0,12 % y MP de 4,22 ppm.

Posteriormente el CICAM entregó los informes de monitoreo, ver ANEXO 6, en dónde los resultados se compararon con la TABLA 2: límites máximos permisibles de concentración de emisión de contaminantes al aire para calderos (mg/Nm³) del ANEXO 3 del libro VI del TULSMA, Norma de emisiones al aire para fuentes fijas, lo cual no es correcto debido a que se debe comparar con una normativa para incineradores, por lo que se utilizó la TABLA 3: Límites máximos permisibles para emisiones al aire en incineradores de la Ordenanza Municipal 138.

3.8.2 ANÁLISIS DE ÁCIDO CLORHÍDRICO

El análisis de ácido clorhídrico se realizó debido a que se necesitó conocer su concentración antes y después del lavador de gases en las emisiones resultantes de la incineración. Con la finalidad de comparar los resultados entre los límites máximos permisibles de las emisiones atmosféricas de la normativa vigente.

Para la toma de muestras de cloro, se preparó la solución absorbente, se tomó como referencia la Norma NTP 115 Instituto Nacional de Seguridad e Higiene del Trabajo (NTP 115: Toma de Muestras de Cloro, 2000), presente en el ANEXO 5. Una vez obtenida la muestrear se procedió a determinar el contenido de cloro presente mediante la Norma NMX-AA-073-SCFI-2001: Determination of total chlorine in natural water, wastewaters and waste waters treated - test method (Secretaría de Economia México, 2001).

El análisis se realizó en las instalaciones del LAI de la EPN, donde se utilizó los siguientes materiales:

- Bureta
- Soporte con base
- Pinzas
- Reactivos
- Pipetas
- Propipetas
- Balanza analítica
- Matraces
- Vasos de precipitación
- Tirillas de pH

El análisis se hizo por duplicado. A continuación de describe el proceso:

- Se acondicionó 50 ml de muestra ajustando el pH entre 7 y 10 empleando las disoluciones de ácido sulfúrico (0,1N) y/o hidróxido de sodio (0,1N).
- Para la valoración se utilizó la muestra acondicionada.
- Se adicionó 1 ml de disolución de cromato de potasio (indicador).
- Luego se procedió a titular con la disolución patrón de nitrato de plata hasta un viraje de color amarillo a naranja lechoso.
- A partir de los datos se determinó la concentración de iones de cloruro a partir de la ecuación (17).

$$Cl = \frac{[(A-B)x \ N \ X \ 35,450]}{ml \ de \ muestra} \tag{17}$$

Donde:

A: ml de disolución de nitrato de plata utilizados en la titulación de la muestra.

B: ml de disolución de nitrato de plata utilizados en la titulación del blanco.

N: normalidad del nitrato de plata.

3.8.3 CARACTERIZACIÓN DE METALES PRESENTES EN LA CENIZA

Se realizó el ensayo debido a que se requirió conocer las concentraciones de metales existentes en la ceniza resultante de la incineración. Con la finalidad de comparar las mismas con los límites permisibles en la normativa vigente. Los ensayos fueron realizados por el CICAM utilizando la metodología de espectrofotometría de absorción atómica.

Primero se realizó el secado de muestra, triturado y homogenización siguiendo el procedimiento mostrado en la Figura 27, luego se continuó con la digestión de sólidos (ver Figura 28), para finalmente determinar la concentración de metales presentes por medio de absorción atómica (ver Figura 29), de acuerdo con el metal a analizar por medio de diferentes procedimientos que se exponen en la Tabla 10.

Secado de la muestra, triturado y homogenizado

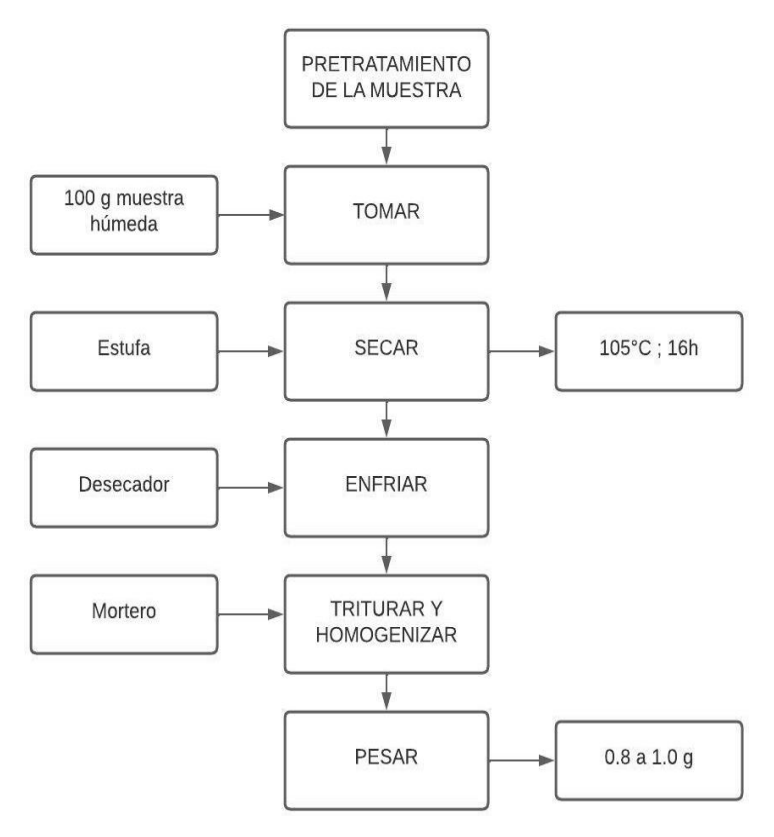


Figura 27. Pretratamiento de la muestra

Fuente: CICAM

• Digestión de sólidos

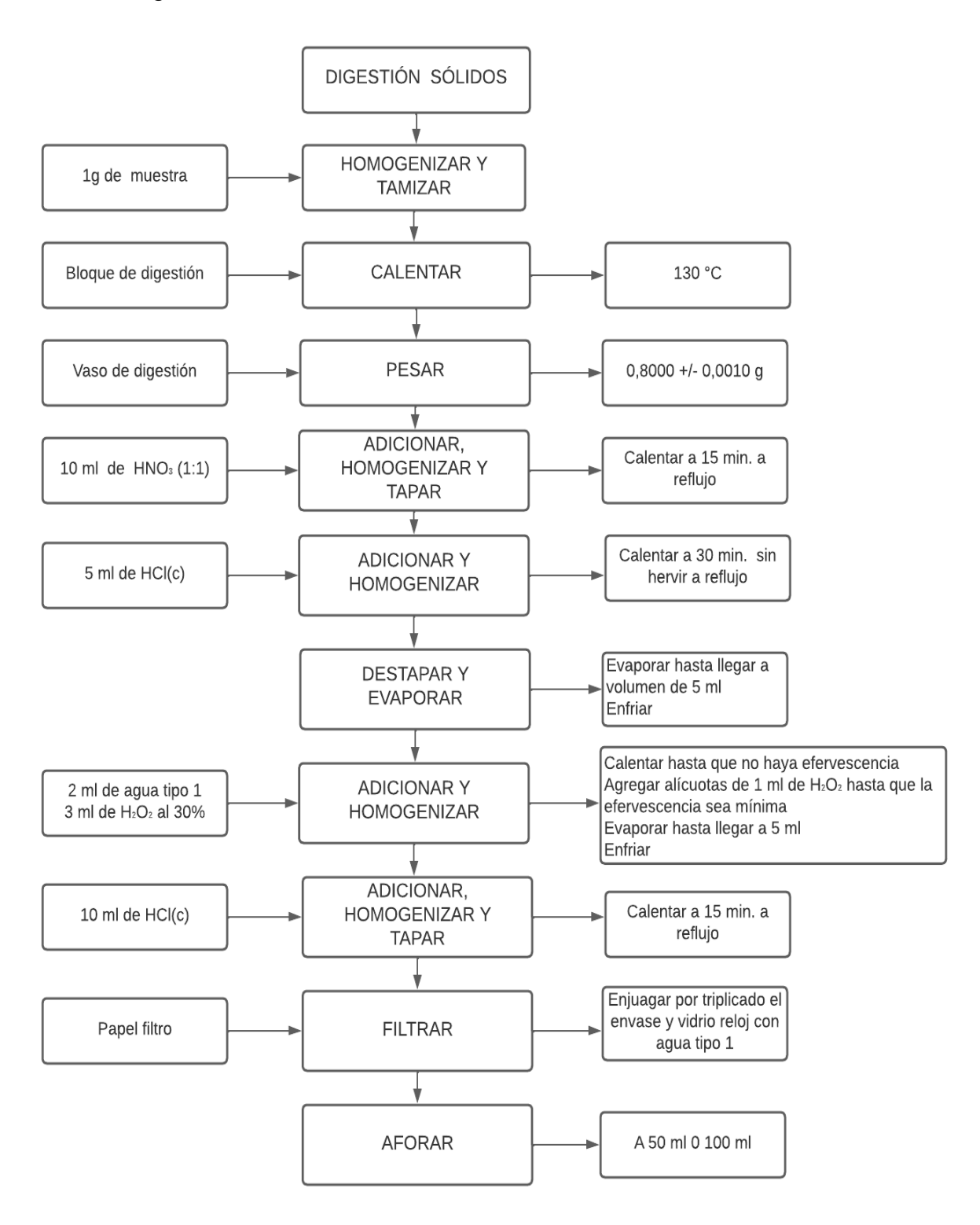


Figura 28. Procedimiento para la digestión de sólidos Fuente: CICAM

• Absorción atómica

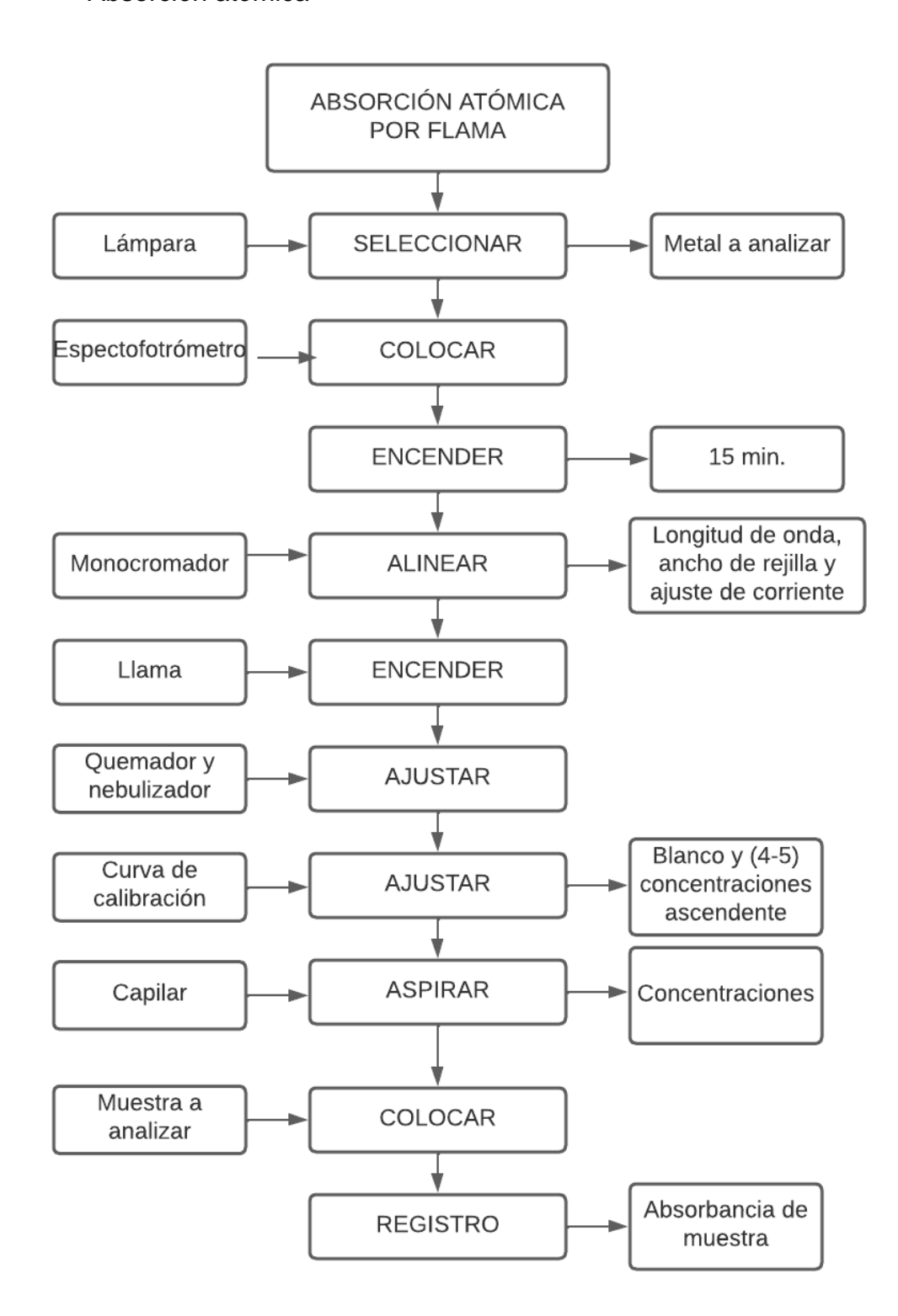


Figura 29. Proceso de absorción atómica Fuente: Method 7000B, EPA.

Tabla 10.Procedimiento para la determinación de metales por absorción atómica en sólido (ceniza) por medio de flama, horno de grafito e hidruros.

N.º	Parámetro	Procedimiento
1	Arsénico	EPA 7010
2	Bario	EPA 7000B
3	Cobalto	EPA 7000B
4	Cobre	EPA 7000B
5	Cromo total	EPA 7010
6	Estaño	EPA 7010
7	Manganeso	EPA 7000B
8	Mercurio	EPA 7074A
9	Níquel	EPA 7010
10	Plata	EPA 7000B
11	Plomo	EPA 7010
12	Selenio	EPA 7010
13	Zinc	EPA 7000B

Fuente: CICAM

3.9 BALANCE DE MASA Y ENERGÍA EN EL PROCESO DE INCINERACIÓN

Para el balance de masa y energía, se asumió que la combustión fue completa, tanto el C y el H reaccionaron con el O₂, las reacciones se presentaron anteriormente en la sección 2.9.3 del presente documento; mientras que la reacción con el S no sucedió, debido a que no se encontraba en la composición de los desechos peligrosos ni en la del combustible (diésel) que se utiliza en la alimentación del incinerador; a su vez tampoco existió acumulación ni generación de materia en el sistema, por lo tanto, la entrada fue igual a la salida.

El balance sirvió para conocer de manera teórica, los flujos molares y de calor antes y después en el proceso térmico; además del tiempo de residencia en el que la cámara postcombustión llega a disminuir la concentración de compuestos

86

tóxicos presentes en los gases, considerando el caudal de gas de la cámara y el

volumen de esta.

Cabe destacar, que las cantidades de metales y cloro no se consideraron en

el balance de masa por tener bajas concentraciones (ppm) en la composición

química de los desechos. Además, se consideró un flujo de cenizas del 14 % valor

típico de la producción de ceniza en la empresa HAZWAT (PTT, 2021).

Para el cálculo de los flujos de carbono e hidrógeno de entrada, se determinó

con la composición porcentual química de cada uno de los desechos

multiplicándolo por el porcentaje individual de actuación en el menú de carga seis,

es preciso mencionar que para los desechos que se consideraron como

heterogéneos (compuesto de diferentes tipos de materiales), se tomó en cuenta su

composición química más predominante, ver ANEXO 8.1.

Para el cálculo del balance de masa y energía, se utilizó:

• La simplificación de la ecuación global de materia da como igualdad que la

entrada (E) es igual a salida (S).

$$E = S$$

• Calor sensible (Qs), calor necesario que un cuerpo recepta para aumentar

su temperatura sin perjudicar su estructura molecular, proporcional a la masa

del cuerpo, a un diferencial de temperatura y un calor específico (Felder &

Ronal, 2004):

$$Q_s = \Delta H = m x Cp x (T_f - T_i)$$
 (18)

Dónde

 ΔH : entalpía del sistema (kJ)

m: masa (kg)

Cp: calor específico a presión constante (kJ/kg*°C)

Ti: temperatura inicial (°C)

Tf: temperatura final (°C)

87

 Calor combustible (Q_D), calor que aporta el combustible para el aumento de temperatura, el diésel es utilizado en la primera cámara de combustión al encender el incinerador por un periodo de dos horas de precalentamiento, a partir de allí solo existe alimentación de desechos. En cuanto a la cámara de postcombustión el ingreso de diésel es automático, donde se lo utiliza para subir la temperatura de las cámaras de 870 a 1 200 °C.

$$Q_D = \dot{m}_D x P c_D \tag{19}$$

Donde:

Q_D: Calor de diésel (kcal/h)

 \dot{m}_D : Fujo másico (kg/h)

 Pc_D : Poder calorífico del diésel (kcal/kg)

Cálculo para la obtención de aire en exceso:

$$Aire_{exceso} = \frac{Aire_{alimentado} - Aire_{teórico}}{Aire_{teórico}}$$
(20)

 El flujo másico que se consideró fue de 500 kg/h; el porcentaje de humedad y poder calórico se obtuvo tanto bibliográfica y experimentalmente del análisis global con la composición de la receta que generó menor residuos, el porcentaje de cenizas de la prueba del diseño experimental, el rango de temperaturas tanto de la cámara primaria y secundaria de la operación de la empresa.

3.10 EVALUACIÓN DE LA IMPLEMENTACIÓN DE LOS MENÚS EN LA PLANTA

Se seleccionó dos menús de los diez propuestos, los cuales generaron menor porcentaje de ceniza, alto poder calorífico y bajo porcentaje de humedad. Sin embargo, inconvenientes técnicos, administrativos, costos de producción, la

pandemia, el paro local y nacional, dificultaron la realización de las pruebas piloto en la empresa HAZWAT, por ende, solo se pudo realizar una prueba piloto aplicando un único menú de incineración. A través de todos los ensayos detallados anteriormente, se logró deducir el menú de carga óptimo de acuerdo con los desechos peligrosos utilizados en el presente proyecto de titulación.

Se decidió el mejor menú, principalmente por el porcentaje de ceniza producido en el proceso de incineración, un bajo contenido de humedad y un alto poder calorífico y se evaluó su efectividad a través de los resultados de la prueba piloto, mediante la caracterización de los gases de combustión y metales en el contenido de ceniza productos en el proceso de incineración.

CAPÍTULO 4 RESULTADOS Y DISCUSIÓN

4.1 INVENTARIO DE DESECHOS PRESENTES EN LA PLANTA HAZWAT

En las visitas que se realizaron a la empresa HAZWAT, se recopiló información acerca de las características de los desechos peligrosos y/o especiales presentes en la planta, para la realización de un inventario general por cada galpón, ver ANEXO 1. A continuación, se describe los desechos seleccionados de cada galpón:

- Galpón Fármacos: se tomó en consideración para el menú de carga a los medicamentos, correspondientes a pastillas trituradas, de los cosméticos a los envases plásticos de las cremas y shampoo. Además de la ropa que llega en mínimas cantidades por destrucción de marca, se los puede evidenciar en el ANEXO 1, Tabla A1.1
- Galpón Pinturas, resinas: se consideró la resina epóxica con mayor stock dentro de la planta, se puede evidenciar en el ANEXO 1, Tabla A1.2
- Galpón Químicos: dentro de esta área se tomó en cuenta el aserrín sin contaminantes, se lo puede evidenciar en el ANEXO 1, Tabla A1.3
- Galpón Aceites y grasas: en esta zona existe una gran variedad de aceites y grasas en distinto estado físico, para el menú se consideró el aceite contaminado en estado líquido a temperatura ambiente, se lo puede evidenciar en el ANEXO 1, Tabla A1.4
- Bloque Refinerías: dentro de esta zona se consideró el Equipo de Protección Personal contaminado con hidrocarburos, se puede evidenciar en el ANEXO 1, Tabla A1.5

4.2 DETERMINACIÓN DE DESECHOS A CONSIDERAR EN EL MENÚ DE INCINERACIÓN

4.2.1 DESECHOS SELECCIONADOS PARA EL MENÚ DE INCINERACIÓN

Una vez consideradas las particularidades propias de los desechos peligrosos y su disponibilidad dentro de la empresa HAZWAT, se establecieron los desechos con los cuales se trabajará dentro del menú. Se presenta la Tabla 11, dónde se detallan los desechos seleccionados en base a las categorías establecidas por la empresa.

Tabla 11.Desechos seleccionados para el menú de carga de incineración.

CATEGORÍA	DESECHO	
	Envases plásticos	
Tipo "0"	Aserrín	
	Ropa	
Tipo "1"	EPP contaminado	
Tipo "2"	Pastillas trituradas	
Tipo "3"	Biopeligrosos	
Tipo "4"	Aceite contaminado	
	Resina epóxica	

Fuente: HAZWAT

Como se puede ver en Tabla 11, se trabajó con una amplia variedad de desechos, así pues, se tomó desechos de todas las categorías existentes en la empresa, para de esta forma garantizar que el menú sea operativo, debido a la diversidad de desechos que llegan a la planta. A su vez, se consideró la compatibilidad química entre ellos, por lo cual se eligió los que no contengan agroquímicos, metales y compuestos con cloro.

Hay que señalar que los componentes de cada desecho son variables, es por lo cual que se realizó una estimación de los más predominantes en las siguientes categorías: para los envases plásticos (HDPE), ropa (algodón, poliéster y poliamida), EPP contaminado (algodón, poliéster y PVC polivinilo), pastillas trituradas (ácido acetil salicílico, vitamina C, ibuprofeno y paracetamol).

Según el INEC la suma de desechos peligrosos líquidos producidos en el año 2018, fueron de un total de 24 948 951,51ton/año, detallando el desecho con mayor presencia, los aceites usados con un porcentaje de 57,87 %. Mientras tanto, la generación de desechos peligrosos sólidos fue de 917 622,54 ton/año, en donde se especifica, los desechos biopeligrosos con el 0,79 %; los trapos y waypes contaminados el 1,45 % y de medicamentos no utilizados el 0,89 % (INEC, 2020). Comparando con lo antes expuesto, la empresa HAZWAT recibe una proporción similar en lo que se refiere a: aceite, EPP contaminado y medicamentos, para el tratamiento térmico de las pastillas se debe quitar el blíster mediante una despastilladora.

Es importante aclarar que para la selección del desecho se consideró las necesidades operativas de la empresa HAZWAT, principalmente la destrucción de desechos biopeligrosos, ya que llegan a la empresa en gran cantidad para ser gestionados; debido a que la sobreproducción de insumos médicos incremento un 16 % en las importaciones y exportaciones en el año 2020 en todo el mundo, por la emergencia sanitaria COVID-19, lo que provocó un incremento directo de generación de desechos con carga viral en equipo médico, respiradores, equipos de pruebas, reactivos de diagnósticos, medicamentos, mascarillas, entre otros (OMC, 2021).

Por lo antes expuesto, estos desechos peligrosos se tomaron en cuenta dentro del menú de carga para la incineración. A su vez, gestionar de manera definitiva desechos que se encontraban almacenados en la planta desde hace mucho tiempo, como fue la resina epóxica.

4.2.2 MUESTREO DE DESECHOS SELECCIONADOS

Considerando los desechos seleccionados de cada categoría y su ingreso recurrente a la planta, se determinó un tamaño de muestra representativo el cual se presenta en la Tabla 12.

Tabla 12.Resultados del tamaño de muestra representativa de los desechos seleccionados para el menú de carga.

CATEGORÍA	DESECHO SELECCIONADO	UNIDAD (kg/mes)	TAMAÑO DE LA MUESTRA (kg)	ENVASE
Materiales adsorbentes	Envases plásticos triturados	4 750,0	6,6	Funda
Materiales adsorbentes	Aserrín	400,0	6,6	Funda
Residuos aprovechables	Ropa	180,0	6,5	Funda
Materiales impregnados con hidrocarburos, lodos aceitosos	EPP Contaminado	25,0	5,4	Funda
Fármacos	Pastillas trituradas	6 000,0	6,7	Funda
Biopeligrosos	Biopeligrosos	*	*	*
Material contaminado	Aceite contaminado	1 007,5	6,6	Caneca
Material contaminado	Resina epóxica	7 997,0	6,7	Balde

^{*}Desecho no muestreado

El peso de las muestras a recolectar varía entre 5 a 7 kilogramos aproximadamente. Hay que recalcar que no se garantiza que la composición química de cada desecho seleccionado sea siempre la misma, puesto que surgen errores al momento de etiquetar el desecho según el AM 142, por parte de la persona jurídica o natural que adquiere el servicio con HAZWAT, lo que provoca que haya problemas al momento de agrupar y tratar los desechos. Tal es el caso de los aceites contaminados, se desconoce su composición química exacta en donde puede existir la presencia de metales, PCBs, azufre, cloro, entre otros

contaminantes (Padilla et al., 2018), dado que su origen cambia dependiendo del tipo de empresa del que procede.

Los desechos biopeligrosos no fueron tomados en cuenta para el muestreo ni los estudios de laboratorio, debido a que pueden llegar a ser un factor de riesgo al manipularlos, ya que contienen una carga viral nociva. Hay que señalar que para la determinación de contenido de humedad y poder calorífico se obtuvo los datos a través de bibliografía existente, y para la prueba piloto el desecho si se tomó en cuenta en el menú de carga de incineración.

4.3 RESULTADOS DE LA CARACTERIZACIÓN DE LOS DESECHOS

4.3.1 PORCENTAJE DE HUMEDAD

Para la obtención del contenido de porcentaje de humedad en cada desecho se utilizó el método de análisis de laboratorio y datos bibliográficos. Se realiza una clasificación de la información con una escala de colores, donde el color azul representa los datos obtenidos por el ensayo de laboratorio y el color gris los datos obtenidos bibliográficamente, los datos obtenidos en el análisis de laboratorio serán presentados en la Tabla 13.

Tabla 13.Datos obtenidos del cálculo del porcentaje de humedad del análisis de laboratorio

Desecho	Peso del crisol (g)	Peso del crisol + muestra (g)	Peso crisol + residuos secos (g)	% Humedad	%Humedad Promedio
	38,11	48,25	47,47	7,73	
Pastillas	35,75	45,76	44,99	7,69	7,64
	36,74	46,90	46,14	7,49	ı
	41,43	45,58	45,41	4,24	
EPP	33,82	37,83	37,67	3,90	4,17
	34,21	38,44	38,26	4,36	
Desecho	Peso del crisol (g)	Peso del crisol + muestra (g)	Peso crisol + residuos secos (g)	% Humedad	%Humedad Promedio
Acorrín	37,87	42,91	42,39	10,37	10,32
Aserrín	36,73	41,15	40,71	9,92	10,32

	00.07	07.04	07.54	40.00	
	33,97	37,94	37,51	10,68	
	00,01	σ_{I}, σ_{T}	01,01	10,00	1

Como se puede evidenciar en la Tabla 13, las tres repeticiones del ensayo en cada muestra de desecho tienen un valor similar entre resultados, garantizando de esta forma que los valores obtenidos son correctos, esto se puede demostrar a su vez al comparar los datos obtenidos de laboratorio con datos bibliográficos, como es el caso de las pastillas trituradas que tienen un contenido de humedad 3,0 a 8,0 % por medio de referencia bibliográfica y el obtenido en el laboratorio es de 7,64 % (Tews, 2007). Una vez conseguidos los datos de laboratorio se presenta en la Tabla 14 el contenido de humedad de cada uno de los desechos que se seleccionó para los menús de carga.

Tabla 14.Contenido de humedad de cada uno de los desechos elegidos.

Categorías	Humedad (%)
EPP contaminado	4,17
Envases plásticos	1,50 ^(a)
Aserrín	10,32
Aceite contaminado	0,01 ^(b)
Pastillas trituradas	7,64
Biopeligrosos	44,75 ^(c)
Resina epóxica	0,58 ^(d)
Ropa	9,25 ^(e)

Escala de color: azul (datos ensayo de laboratorio); gris (datos bibliográficos)

Fuente: ^(a) (Harper & Petrie, 2003); ^(b) (Brookfield Ametek, 2015); ^(c) (Zhang et al., 2016); ^(d) (TA Instruments, 2005); ^(e) (Hasan, 2015)

Como se observa en la Tabla 14, se pudo determinar que el desecho con mayor porcentaje es el de biopeligrosos con un valor de 44,75 %, debido a la cantidad de agua que posee en su composición general de: plástico 43,2 %, biomasa 26,3 %, fibra sintética 15,3 %, líquido 6,6 %, caucho 6,6 %, sales inorgánicas 0,3% y metales 1,7% (Zhang et al., 2016). Hay que hacer notar que, aunque el contenido de humedad del desecho es muy alto, también está compuesto

en su mayoría de plástico el cual tiene un poder calórico de 7 834 kcal/kg, compensando así el alto contenido de humedad.

Por otro lado, los demás desechos no sobrepasan el 10 % de contenido de humedad, beneficiando de esta forma el proceso de incineración al no verse afectada la temperatura de las cámaras de combustión por la cantidad de agua en los desechos a ser incinerados, de igual modo, este parámetro ayuda a determinar si un proceso puede ser autosuficiente, sin la necesidad del uso de combustibles auxiliares al alcanzar la temperatura de ignición (100 °C), donde la humedad llega a ser evaporada (Hernández, 2010; Villaseñor, 2002).

4.3.2 PODER CALÓRICO

Mediante los ensayos de laboratorio se obtuvo los valores de poder calórico que se detallan en la Tabla 15, donde se evidencia los datos arrojados por el calorímetro como se observa en la Figura 30 y el promedio del triplicado de cada muestra. En el ANEXO 2, se presentan los valores registrados por el calorímetro del aceite contaminado, EPP contaminado, pastillas y aserrín.

Tabla 15.Resultados obtenidos del ensayo de poder calórico.

December	Poder calórico (kcal/kg)				
Desecho	Muestra 1	Muestra 2	Muestra 3	Promedio	
EPP contaminado	4 119,20	4 184,87	4 204,16	4 169,41	
Pastillas	5 011,36	4 853,35	5 048,88	4 971,20	
Aceite contaminado	9 496,37	9 539,26	9 502,85	9 512,83	
Aserrín	3 785,56	3 769,23	3 564,79	3 706,53	

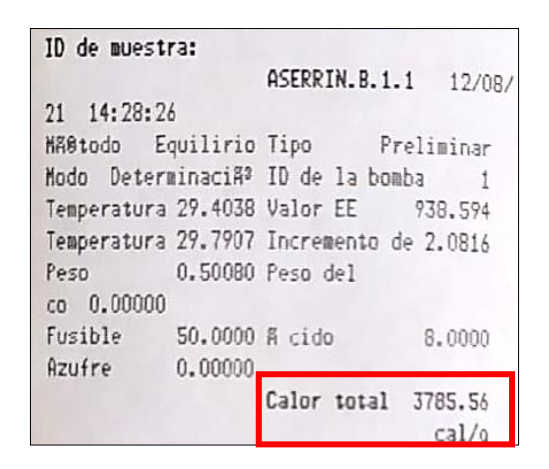


Figura 30. Datos obtenidos del ensayo de poder calórico del Aserrín 1

Comparando los resultados del promedio de poder caloríco obtenido en el ensayo de laboratorio con los datos bibliográficos de los desechos se puede determinar que los valores son confiables, validando su uso en el menú de carga, ya que el PC bibliográfico del aserrín y el aceite es de 3 780 kcal/kg y 10 000 kcal/kg respectivamente, siendo estos valores parecidos a los obtenidos en el ensayo (Eurostat, 2013). Por otro lado, en la Tabla 16 se presenta los poderes caloríficos de cada desecho seleccionado.

Tabla 16.Contenido de poder calórico de cada uno de los desechos seleccionados.

Categorías	Poder calórico (kcal/kg)
EPP contaminado	4 169,41
Envases plásticos	11 145,00 ^(a)
Aserrín	3 706,53
Aceite contaminado	9 512,83
Pastillas trituradas	4 971,20
Biopeligrosos	7 770,00 ^(b)
Resina epóxica	10 987,00 ^(c)
Ropa	5 489,00 ^(a)

Escala de color: azul (datos ensayo de laboratorio); gris (datos bibliográficos)

Fuente: (a)(Beto, 2010); (b) (Eurostat, 2013) (c) (Kočí & Picková, 2020)

De los desechos que contiene mayor valor del parámetro analizado, fueron los envases plásticos y resina epóxica, con 11 000,00 kcal/kg aproximadamente; siguiéndole, el aceite contaminado con 9 512,53 kcal/kg. Según Elías, (2003), se puede considerar tanto a los residuos plásticos y aceites usados como desechos que aportan un alto contenido de poder calórico, mientras que los desechos sanitarios (hospitalarios) un bajo poder calórico. El poder calórico de los desechos biopeligrosos puede variar, puesto que su generación es diversa en los distintos niveles de atención y servicios de salud; debido a que cambia la composición y generación de los desechos de un consultorio general frente a un hospital de especialidades.

Existe gran variedad de combustibles que se utilizan en el proceso de incineración como el GLP, propano, diésel, coque. etc., dependiendo de las necesidades y características del incinerador. Comparando los desechos seleccionados, presentan un poder calórico mayor a 3 700 kcal/kg, siendo este un valor similar al del coque igual a 3 195 kcal/kg; mientras que, tanto los plásticos triturados como la resina epóxica muestran un valor parecido al del propano de aproximadamente 11 063 kcal/kg (Eurostat, 2013). Es por ello, que al usar desechos con un alto poder calórico se reducirá el uso de combustible auxiliar utilizado para mantener la temperatura adecuada en las cámaras de combustión en el proceso de incineración.

4.3.3 ANÁLISIS DE IDENTIFICACIÓN DE COMPUESTOS

Los resultados obtenidos de la muestra de las pastillas trituradas mediante el ensayo de espectroscopia de infrarrojo con transformadas de Fourier (FTIR) se determinaron a través de las gráficas generadas por el software del equipo, como se muestra en la Figura 31, además de analizar la correlación entre resultados con un valor mayor del 0,97 entre las tres muestras, ver ANEXO 3.

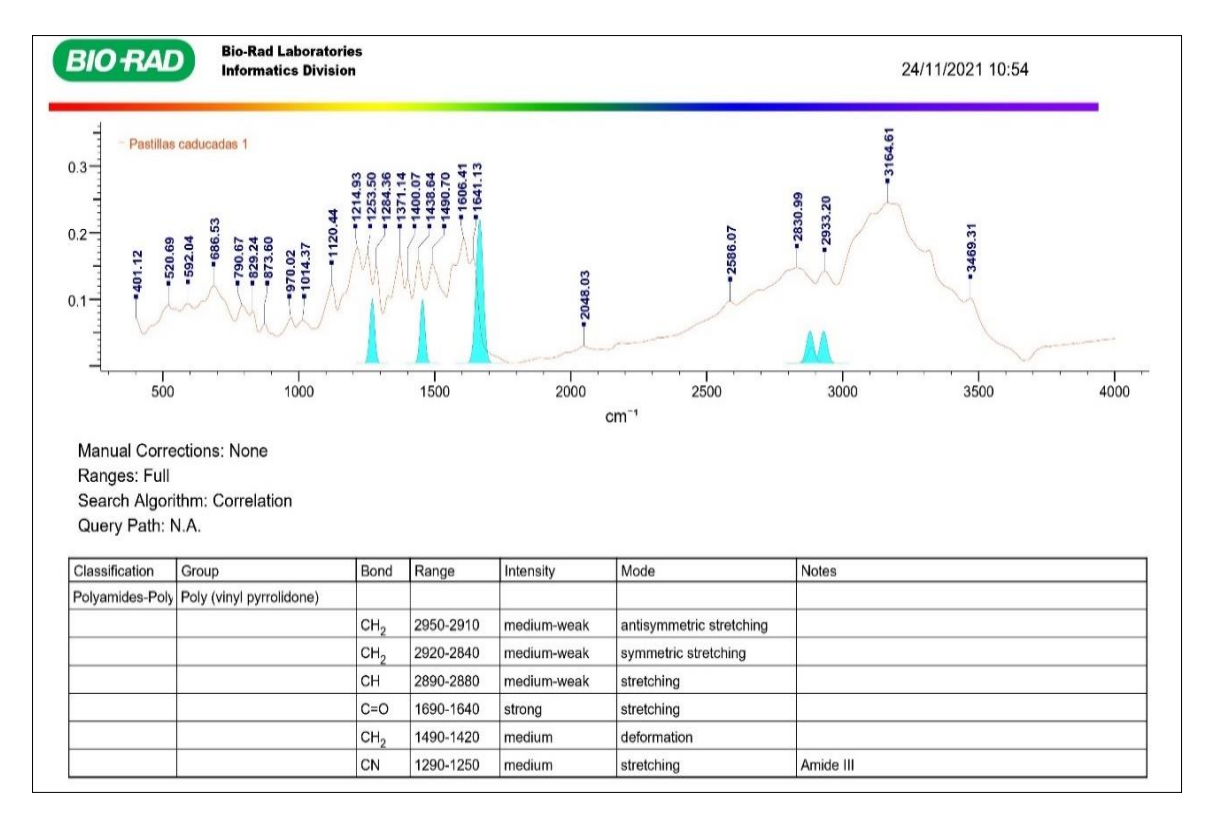


Figura 31. Clasificación del grupo funcional Poliamidas

Por medio de los datos de los grupos funcionales encontrados en la muestra de pastillas trituradas presentados en la Tabla 17, se evidencia que no existe presencia de compuestos clorados, debido a que las pastillas trituradas no contenían ningún principio activo con cloro; de manera que se puede prevenir la generación de contaminantes tóxicos en las emisiones de la incineración, uno de los contaminantes más perjudiciales para la salud del ser humano y la calidad del ambiente son las dioxinas y furanos, ya que se bioacumulan en la cadena alimenticia, sobre todo en los tejidos adiposos o grasa corporal (OMS, 2016b).

Las dioxinas y furanos, así como también el HCl se forman de manera espontánea en procesos térmicos cuando existe reacción entre oxígeno, carbón, hidrógeno y cloro, es decir, no están ligados directamente a la incineración de desechos peligrosos. Con respecto a su destrucción se utiliza temperaturas altas de incineración y condiciones del proceso idóneas (O₂ en exceso, tiempo de residencia) en la cámara de poscombustión (Camacho et al., 2011).

Tabla 17.Clasificación de los grupos funcionales encontrados en el análisis FTIR de pastillas trituradas

CLASIFICACIÓN	GRUPO	
Amidas	R-CO-NH ₂	
Amidas	R-CO-NH-C	
Alcanos	C-(CH ₃) ₃	
Alcanos	R-CH ₂ -R	
Alquinos	RCH=CHR cis	
Carboácidos	СООН	
Carboacidos	NHRCOOH	
Compuestos sulfurosos	R-SO ₃ -H3O+	
Nitratos	R-O-NO ₂	
	Pirrolidona de vinilo	
Poliamidas	Polimetracrilamida	
Poliamidas	Poliacrilamida	
	Nailon 6,6	
Poliéteres	Oximetileno	
r Olletele2	Óxido de polietileno	
Poliureas	Poli (metileno úrea)	

4.3.4 ACEITES Y GRASAS

Como se muestra en la Figura 32, los resultados obtenidos de la determinación de contenido de grasas y aceites del EPP contaminado difieren un poco entre sí, con valores de 26,87 y 23,32 % respectivamente, debido a que en la primera muestra se utilizó hexano puro, mientras que, en la segunda se empleó hexano reciclado (obtenido a partir de la destilación de ensayos anteriores), afectando relativamente la obtención del porcentaje de aceites y grasas de la muestra dos, ya que siempre hay influencia de impurezas al momento de destilar una sustancia por completo (Sawyer, 2009).

El promedio del contenido de grasas en la muestra es de aproximadamente 25 %, lo que indica que la cuarta parte de la composición de la muestra contiene aceites y grasas provenientes de las sustancias con las cuales fueron contaminados los elementos, aportando mayor poder calórico al desecho. Ya que los textiles, trapos y materiales absorbentes solo tienen un PC de 4 169,41 kcal/kg y el contener aceites y grasas tienen un aporte de un PC de 9 512,83 kcal/kg (Elías, 2003). Por ende, el uso de EPP en la mezcla de incineración resulta de gran ayuda para que exista un incremento de poder calórico dentro de la combustión.

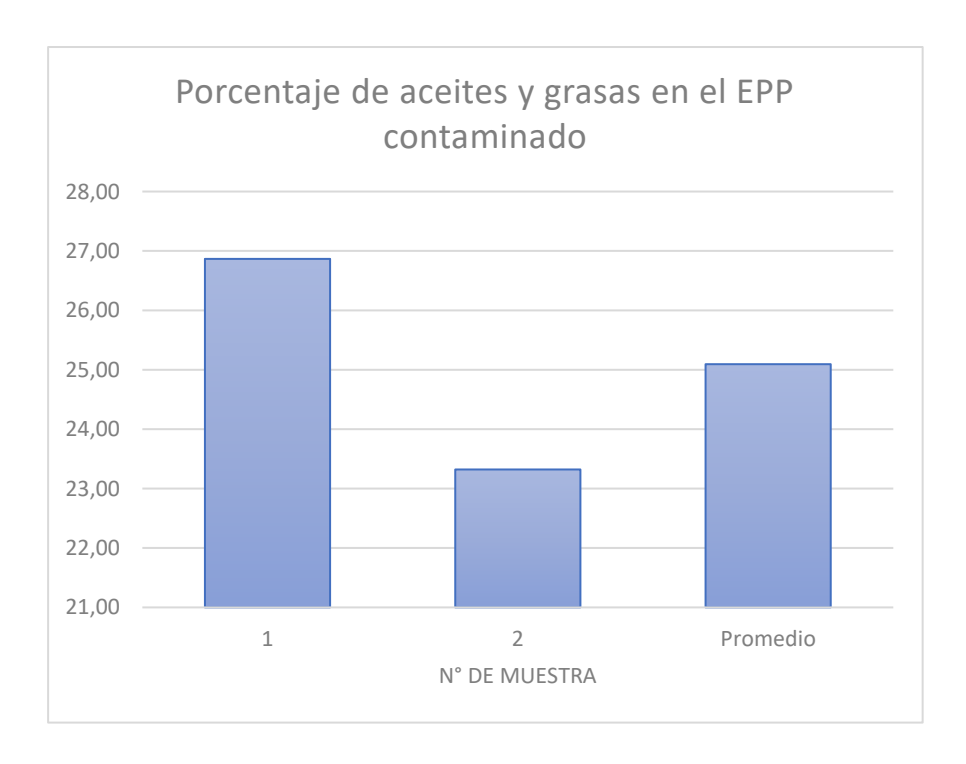


Figura 32. Porcentaje de aceite y grasas contenida en el EPP

Cabe recalcar que este ensayo solo se realizó al desecho de EPP contaminado debido a que era el único que tenía un porcentaje significativo de aceites y grasas en su composición. A su vez este ensayo es complejo de realizar ya que al utilizar una sustancia química controlada como solvente su disposición es muy limitada y costosa.

4.3.5 PORCENTAJE DE CENIZAS

Se muestra los porcentajes en peso de las diferentes categorías de desechos que se utilizó en cada uno de los menús propuestos en el ANEXO 4.1, se presentan las variaciones en peso para cada uno de los diez menús establecidos, luego de su ser

sometidos a la mufla, se cuantificó su generación de ceniza por triplicado, se puede observar en la Tabla 18, para finalmente tener una idea de cuáles menús son viables guiados por este parámetro.

Tabla 18Datos obtenidos del análisis de porcentaje de cenizas de los 10 menús establecidas en las tres replicas realizadas

Niśmana	Porcentaje de ceniza (%)					
Número de menú	Réplica 1 %	Réplica 2 %	Réplica 3%	Promedio%		
1	6,01	6,25	7,45	6,57		
2	7,65	9,11	10,64	9,13		
3	6,87	4,96	7,69	6,5		
4	5,36	5,34	6,66	5,79		
5	9,13	10,00	13,54	10,89		
6	5,58	4,09	5,9	5,19		
7	5,34	7,25	6,65	6,41		
8	5,66	6,72	6,14	6,17		
9	6,43	6,35	7,72	6,83		
10	9,50	10,97	10,98	10,48		

En la Figura 33 se muestra los porcentajes de cenizas obtenidos del proceso de incineración en la mufla de los diez menús propuestos en la Tabla 18, en donde se puede evidenciar que el menú seis es el que menos cantidad de ceniza generó con 5,19%, cabe destacar, que esta producción es rentable a comparación con la producción media de cenizas en las plantas de incineración de Europa, las cuales tienen un 22,5% en cenizas del peso total de los desechos incinerados (Greenpeace, 2009).

Se comparó los resultados de todas las recetas, la que mayor generación de ceniza obtuvo fue el menú número cinco, aun así, la producción de cenizas obtenida sigue siendo aceptable, ya que, es la mitad del valor promedio de producción de cenizas en Europa.

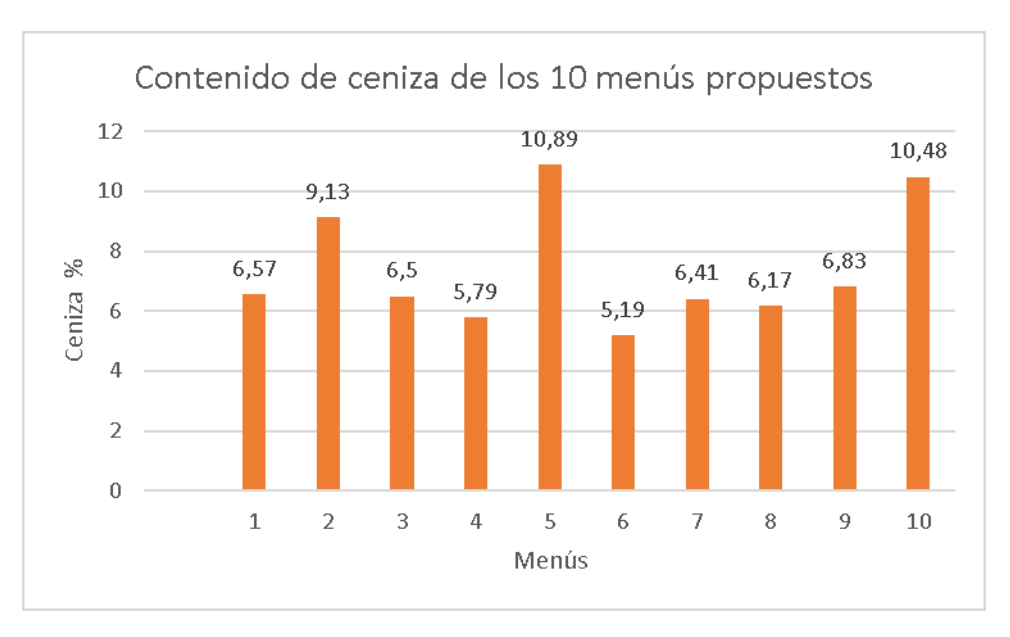


Figura 33. Promedio del porcentaje de cenizas de cada menú.

Por otra parte, a pesar de que se llegue a una temperatura adecuadamente alta en la cámara de poscombustión permitiendo reducir las emisiones y concentraciones de sustancias tóxicas, no desaparecen en su totalidad debido a que están presentes en las cenizas, es decir que la incineración de desechos peligrosos no resuelve el problema de los compuestos tóxicos presentes, sino que solo los transforma (Allsopp et al., 2001).

4.4 DISEÑO EXPERIMENTAL

El análisis ANOVA se realizó para conocer si existe una variación significativa entre los 10 menús de incineración propuestos por la variación de los porcentajes del contenido de los desechos en cada uno de los menús, la variable dependiente es el contenido de cenizas que se obtuvo.

Se utilizó el análisis de varianza para el porcentaje de cenizas, el cual indica la igualdad o diferencia entre las medias de la muestra (porcentaje de ceniza de cada receta); se calculó con un nivel de significancia (\propto) de 0,05. Hay que tener en cuenta que entre más dispersas estén las observaciones con respecto a la media de su menú, mayor será el valor de F, el cual fue de 8,49. El procesamiento de

datos, se encuentran en el ANEXO 4.3, en dónde se detallan los cálculos obtenidos para las medias y el nivel de confianza

El valor de la probabilidad (p) obtenido fue de $4x10^{-5}$, siendo así que $p \le \infty$ lo que resulta en que las diferencias entre algunas de las medias son estadísticamente significativas. Al igual que el valor crítico es menor que F, confirmando que existe diferencias entre los 10 menús propuestos.

Mediante la Figura 34, se observa que para los intervalos de confianza para las medias de las recetas uno, tres, cuatro, seis, siete, ocho y nueve presentan una similitud, puesto a que se sobreponen entre las mismas, por ende, no hay diferencia significativa entre la variación del porcentaje de desechos para cada menú propuesto. Mientras que para las recetas dos, cinco y diez al no sobreponerse con los demás intervalos de confianza de las medias de las recetas, indica que existe una diferencia significativa, por la variación del contenido en peso para cada desecho presente en estos menús.

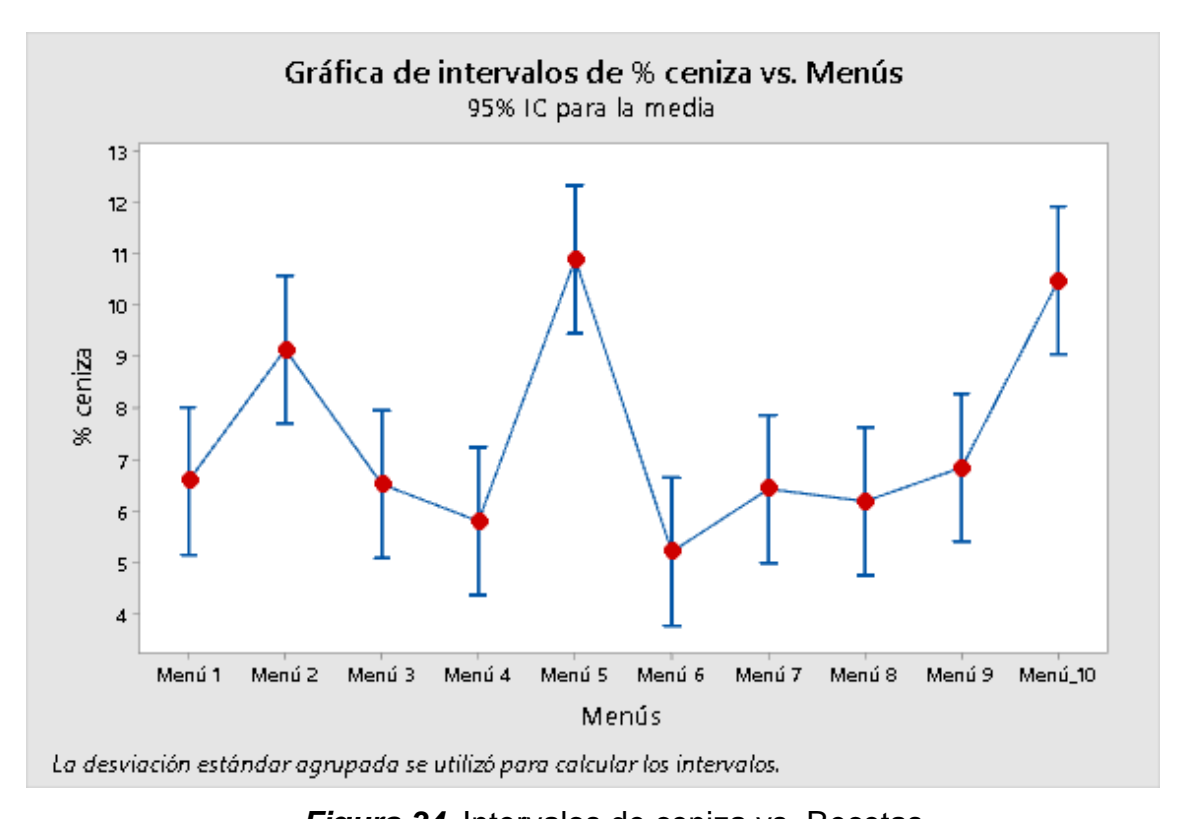


Figura 34. Intervalos de ceniza vs. Recetas

Como se observa en la Figura 35, en el histograma existe una mayor frecuencia del porcentaje de ceniza con un valor del 6 %, seguido por el 7 % en dónde se concentran la mayor cantidad de valores. Mientras que los porcentajes con menor frecuencia fueron 4 % y del 8 al 14 %, cabe recalcar que ningún menú obtuvo valores de 12 al 13 % de ceniza.

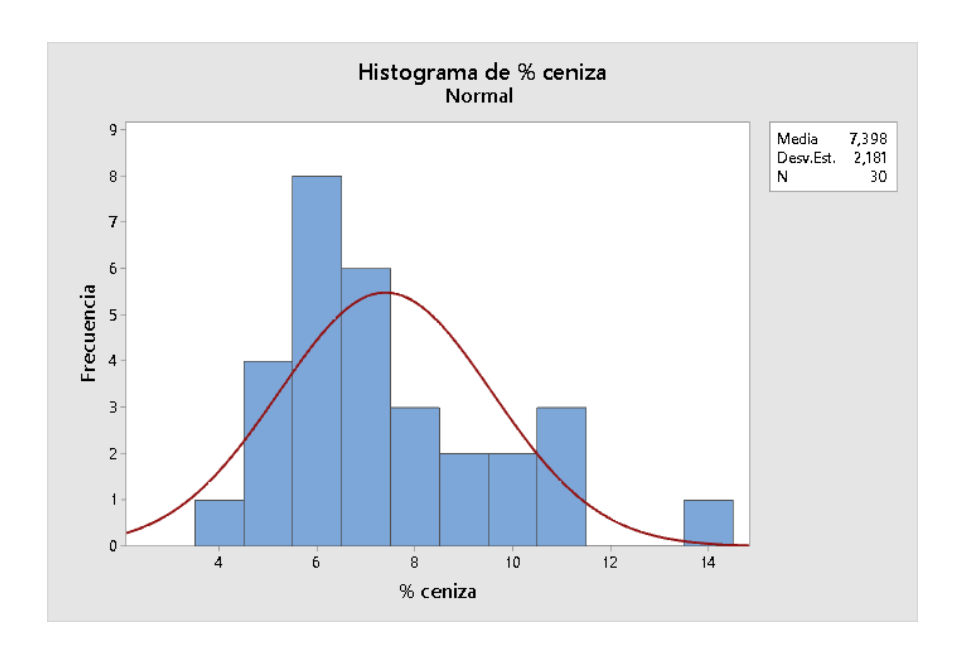


Figura 35. Histograma de los 10 menús.

4.5 PRUEBAS PILOTO

Dentro de la prueba piloto en la empresa HAZWAT se realizó la incineración del menú de carga seis por un tiempo de tres horas y durante este proceso se realizó el muestreo de las emisiones de gases de combustión para evaluar los parámetros con la normativa vigente.

4.5.1 CARACTERIZACIÓN DE EMISIONES ATMOSFÉRICAS

En la Tabla 19 se presentan los datos obtenidos de los monitoreos de emisiones realizado por el CICAM, ver ANEXO 6, resultantes de la prueba piloto, el monitoreo 1 fue realizado en el punto después del lavador de gases y el monitoreo 2 en la chimenea antes del lavador.

Tabla 19.Datos obtenidos en los monitoreos de los parámetros de la emisión de gases

PARÁMETROS DE LA EMISIÓN DE GASES					
Parámetro	Unidad	Punto 1	Punto 2		
Oxigeno (O ₂)	%	14,73	9,35		
Dióxido de carbono (CO ₂)	%	4,63	8,63		
Dióxido de azufre (SO ₂)	ppm	14**	0**		
Monóxido de Carbono (CO)	ppm	43**	2 224**		
Monóxido de Nitrógeno (NO)	ppm	57	91		
Dióxido de Nitrógeno (NO ₂)	ppm	0**	0**		
Óxidos de Nitrógeno (NOx)	ppm	57	91		
Ácido clorhídrico (HCI)	mg/m³	3	-		
Material Particulado	mg/m³	1	-		

^(**) El valor está por fuera del rango de acreditación

(-) No se pudo muestrar el parámetro

Hay que destacar que no se pudo obtener el dato de MP y HCl en el monitoreo del punto dos, debido a que la sonda que recolecta los gases de combustión sobrepasaba el rango máximo de temperatura del material, el cual era de 650 °C. Por ello, este parámetro no se toma en cuenta en la comparación de los criterios de cumplimiento en las normativas.

Es importante mencionar que para la comparación de criterios de cumplimiento se utilizó la Ordenanza Municipal DQM 138-NT001: Norma técnica para emisiones a la atmosfera de fuentes fijas, Tabla No.3: Límites máximos permisibles para emisiones al aire para incineradores. Por otro lado, como normativa extranjera se comparará los límites permisibles a nivel de México y Europa con las normativas NOM-098 Norma SEMARNAT y el Decreto 2008/98/CE Europeo respectivamente (SEMARNAT, 2002; Zero Waste Europe, 2015). En este sentido, se realizó una determinación de criterios con una escala de colores, donde el color verde representa el cumplimiento con el rango de límite máximo permisible y el color rojo el incumplimiento con el mismo.

En la Tabla 20 se realiza la comparación con la OM - 138 – NT001 (Secretaría Del Ambiente, 2001), se observa que en el monitoreo realizado en el primer punto los parámetros se encuentran dentro de los límites máximos permisibles. Debido a que la empresa HAZWAT tiene un sistema de depuración de gases eficiente que ayuda a controlar las emisiones gaseosas, sin embargo, este sistema no se encuentra operativo todo el tiempo, ya que solo se utiliza cuando van a realizar monitoreos de control para el cumplimiento al seguimiento del plan de manejo ambiental o en auditorías realizadas por el MAATE.

Tabla 20.Comparación de los límites máximos permisibles con la Ordenanza Municipal 138 DOM.

Parámetro	Concentración (mg/Nm³) 4% de O ₂		Concentración (mg/Nm³) 11 % de O ₂		Límite Max OM-138 Quito-Ecuador
	Punto 1	Punto 2	Punto 1	Punto 2	(mg/Nm³ y 11% O ₂)
Dióxido de azufre (SO ₂)	109	0	64	0	109
Monóxido de Carbono (CO)	146	4 056	86	2 386	87
Óxidos de Nitrógeno (NO _x)	317	271	186	160	610
Material particulado (PM)	3	-	2	-	55
HCI	8	-	5	-	55

Escala de color: verde (Cumple); rojo (Incumple)

(-) No se pudo muestrear el parámetro

Los resultados del monitoreo en el segundo punto incumplen en el parámetro de CO, esto puede ocurrir debido a que el CO que se produce no se oxida debido a la falta de oxígeno necesario dentro de las cámaras de combustión. Dado que, por recomendaciones de operación se debe asumir un exceso de 150 % para el aire suplementario (G. Gonzáles, 2003). Mientras que el Incinerador *PENNRAM* solo asume un 30 % de exceso en el aire, esto hace que no exista un ambiente

turbulento que permitan una mezcla ideal del gas para su oxidación del CO a CO₂ (Camacho et al., 2011).

En la Tabla 21 se realiza la comparación con el decreto Europeo, donde se evidencia que en el monitoreo realizado en el primer punto, detalla que los contaminantes de SO₂ y CO incumplen con los límites máximos permisibles. Mientras que los parámetros de NOx, HCl y MP cumplen perfectamente con el rango permisivo. No obstante, los resultados del monitoreo provenientes del segundo punto indican que se incumple con el parámetro de CO, para el caso del SO₂ no se registró el valor de este parámetro, debido a que la sonda no soportó las altas temperaturas, por ende, el poco tiempo al que fue expuesto el equipo de monitoreo no arrojó valores para su comparación.

Tabla 21.Comparación de los límites máximos permisibles con el Decreto 2008/98/CE Europeo.

Parámetro	Concentra (mg/Nm³)		Concentracion 11 % de O ₂	ón (mg/Nm³)	Límite Max 2008/98/CE Europa
	Punto 1	Punto 2	Punto 1	Punto 2	(mg/Nm³ y 11 % O₂)
Dióxido de azufre (SO ₂)	109	0	64	0	50
Monóxido de Carbono (CO)	146	4 056	86	2 386	50
Óxidos de Nitrógeno (NO _x)	317	271	186	160	400
Material particulado (PM)	3	-	2	-	10
HCI	8	-	5	-	10

Escala de color: verde (Cumple); rojo (Incumple)

(-) No se pudo muestrear el parámetro

En la Tabla 22 se realiza la comparación con la normativa Mexicana NOM-098-SEMARNAT, donde se evidencia que en el monitoreo realizado en el primer punto los parámetros de SO₂ y CO incumplen los límites máximos permisibles. Mientras que los parámetros de NOx, HCl y MP cumplen con el rango permisivo. A su vez, el parámetro de CO en el monitoreo del segundo punto sobrepasa exorbitantemente el límite máximo permisible.

Tabla 22.Comparación de los límites máximos permisibles con la Norma SEMARNAT NOM-098 mexicana.

Parámetro	Concentra (mg/Nm³)		Concentrac (mg/Nm³) 7		Límite Max NOM-098- SEMARNAT México
	Punto 1	Punto 2	Punto 1	Punto 2	(mg/Nm³ y 7 % O₂)
Dióxido de azufre (SO ₂)	109	0	89	0	80
Monóxido de Carbono (CO)	146	4 056	120	3 341	63
Óxidos de Nitrógeno (NO _x)	317	271	261	224	300
Material particulado (PM)	3	-	2	-	50
HCI	8	-	7	-	15

Escala de color: verde (Cumple); rojo (Incumple)

(-) No se pudo muestrear el parámetro

Hay que tener en cuenta que las normas internacionales son mucho más estrictas en el rango permisible de los parámetros de las emisiones atmosféricas y considerar que en el Ecuador no existe una norma general para la regulación las emisiones de incineradores de desechos peligrosos que se aplique a nivel nacional, por lo que no se puede realizar una comparación más estricta de los parámetros ya mencionados.

4.5.2 ÁCIDO CLORHÍDRICO

En la Tabla 23 se presenta los datos obtenidos del ensayo, el resultado se lo multiplicó por cinco, ya que, al momento de realizar el muestreo la solución que se utilizó para captar los cloruros mediante los impingers fue diluida con la relación en peso 1/5 de agua destilada. A continuación, se realizó la conversión de cloruros

a ácido clorhídrico obteniendo un valor de 2,94 mg/m³ el cual fue comparado con la normativa vigente en emisiones al ambiente.

Tabla 23.Datos obtenidos del análisis de los cloruros totales en los gases de combustión

Cl ⁻ (ı	mg/l)	Promedio (mg/l)	Solución x Factor 5	HCI (mg/m³)
Ensayo 1	Ensayo 2	3.7		- (3
8,43	8,25	8,34	41,69	2,94

Aunque este valor es muy bajo, puesto que dentro del menú de incineración no se eligió desechos peligrosos que contengan cloro en su composición, hay que considerar que se puede producir emisiones ácidas, debido a que se desconoce el origen real de los desechos, en especial el de los biopeligrosos, es común utilizar en establecimientos de salud el hipoclorito de sodio para la sanitización de las diferentes áreas y la desinfección de productos (Centro Municipal de Salud Tres Arroyos, 2019). Es por ello que se presentan concentraciones muy bajas de (HCI), por ende, es importante regular su contenido en los menús de incineración (Hernández, 2010).

4.5.3 CONTENIDO DE METALES EN CENIZAS

Los datos del contenido de metales encontrado en la ceniza resultante de la prueba piloto del proceso de incineración se los puede evidenciar en el informe entregado por el CICAM (ANEXO 7). Por lo tanto, para la comparación de criterios de cumplimiento se utilizó la Ordenanza 404, TABLA No.2: Límites máximos permisibles para extracción de metales pesados en base seca, hay que añadir que, no se pudo comparar todos los metales existentes en la muestra debido a que no están normados. En este sentido, se realizó una determinación de criterios con una escala de colores, donde el color verde representa el cumplimiento con el rango de límite máximo permisible y el color rojo el incumplimiento con el mismo.

En la Tabla 24 se presenta la comparación de valores con los límites máximos permisibles fijados en la OM – 404 (Secretaría del Ambiente, 2014), se observa que el contaminante zinc es el único que incumple, el cual sobrepasa desmesuradamente el límite máximo permisible. La generación del metal zinc se puede dar por varias causas, una de ellas es que se halla de forma natural en la biosfera, el aire, el agua, el suelo y las rocas; por fenómenos naturales: incendios forestales, tormentas de arena y erupciones volcánicas, es un metal que pasa de un material a otro sin perder sus propiedades ni su calidad, cumpliendo un ciclo dentro de la naturaleza (International Zinc Association, 2010).

Tabla 24.Comparación de los límites máximos permisibles para la extracción de metales pesados en base seca, con la Ordenanza Municipal 404 DQM.

Contaminante	Muestra (mg/kg)	Límites Máximos Permisibles (mg/kg)
Arsénico	< 0,125	75
Cadmio	-	85
Cromo	101,5	3 000
Plomo	58,74	4 300
Mercurio	0,26	840
Níquel	39,84	57
Zinc	3 713	420

Escala de color: verde (Cumple); rojo (Incumple)

(-) Parámetro no determinado

Además, el zinc se emite por fuentes antropogénicas mediante la producción del metal, la combustión de carbón, la eliminación de desechos y el uso de combustibles fósiles en la combustión, es por ello por lo que el zinc está presente en el proceso de incineración por varias fuentes, al no alterar sus propiedades al momento de ser combustionado pasa directamente a las cenizas, y puede llegar a contaminar aguas subterráneas si estas no son bien gestionadas (ATSDR, 2005).

Por lado, en el informe de resultados también se observa le existencia de metales en gran concentración como son: el Bario (Ba), el cual se utiliza en diferentes tipos de industrias manufactureras (pinturas, cerámicas, ladrillos, etc.) y se encuentra presente en desechos de limpieza (Agarwal, 2019); el Cromo (Cr), se lo encuentra en numerosos productos (madera tratada, cuero curtido, artículos de cocina de acero inoxidable, etc.), en el aire, el suelo y el agua después de ser liberado por industrias que usan cromo (ATSDR, 2012); el manganeso se utilizan como fertilizantes, secantes para el aceite, en la fabricación de vidrio, pinturas, abonos, como decolorantes de textiles y en el curtido de pieles (ATSDR, 2000; Nordberg et al., 2001)

Cabe recalcar que el muestreo de las cenizas fue recolectado luego de todo un día de operación del incinerador, pero la prueba piloto que se realizó al alimentar al incinerador el menú de carga establecido fue por un periodo de tres horas. Es por ello por lo que se infiere que la existencia de metales en la ceniza puede ser menor a la reportada por el informe.

4.6 BALANCE DE MASA Y ENERGÍA

4.6.1 RESULTADOS DEL BALANCE DE MASA

Para la obtención de las composiciones de carbono e hidrógeno global del menú de carga, se tomó los componentes principales de la categoría, para conocer su composición química y establecer el peso molecular total. En el ANEXO 8.1 se detalla los cálculos y las composiciones químicas más relevantes de las ocho categorías seleccionadas.

- Tabla A8.1, pastillas trituradas
- Tabla A8.2, EPP contaminado;
- Tabla A8.3, biopeligrosos,
- Tabla A8.4, ropa
- Tabla A8.5, aceite contaminado, resina epóxica, aserrín y plástico

Como se indica en la Tabla 25, para la obtención del porcentaje de carbono e hidrógeno global del menú de carga seis, se multiplicó el porcentaje del desecho por su porcentaje de composición química global, donde se obtuvo 75,17 % de C, mientras que para el H un valor de 9,72 %, donde claramente se observa que existe gran influencia de C.

Tabla 25.Resultados del flujo de C y H presente en el menú de carga seis.

Categorías	Porcentaje	Composició	n (%)	
EPP	0,80	С	47,96	0,38
contaminado	0,00	Н	5,00	0,04
Envases	2,50	С	85,70	2,14
plásticos	2,50	Н	14,30	0,36
Aserrín	9,00	С	50,65	4,56
Asemin	9,00	Н	6,03	0,54
Aceite	69,00	С	78,95	54,47
Contaminado	09,00	Н	10,53	7,26
Pastillas	5,20	С	60,05	3,12
trituradas	3,20	Н	5,92	0,31
Biopeligrosos	8,00	С	77,75	6,22
Biopeligiosos	0,00	Н	10,58	0,85
Resina	4,00	С	85,71	3,43
epóxica	4,00	Н	6,67	0,27
Ropa	1,50	С	56,32	0,84
Кора	1,50	Н	6,62	0,10
Total de desechos	100,00	Flujo total d	e C (%)	75,17
		Flujo total d	е Н (%)	9,72

En la Tabla 26, se detalla el flujo másico de cada uno de los componentes que se encuentran presentes en el menú de incineración ya mencionado, se tomó en cuenta principalmente la presencia de C, H y el contenido de humedad perteneciente a el menú de carga seis; cabe mencionar que este menú arrojó un porcentaje de ceniza del 5,19 %, sin embargo debido a las condiciones operativas de la empresa, se trabajó con el 14 % promedio por turno que genera el incinerador, hasta que se establezca los menús que se están trabajando.

Este porcentaje de ceniza se encuentra dentro del rango de reducción de masa y volumen de los diferentes tipos de incineradoras con un valor del 70 a 90 % (Kanhar et al., 2020), no obstante sigue siendo una cantidad considerable de ceniza peligrosa que debe ser tratada en una celda de seguridad, puesto que con el pasar del tiempo esta producción que al parecer es mínima, será un problema al gestionar a largo plazo.

Tabla 26Composición en fracción, porcentaje y flujo másico del menú de carga número seis.

Composición de desechos a incinerar			
	Fracción	(%)	kg/h
С	0,72	71,57	357,86
Н	0,09	9,25	46,27
Metales	0,00	0,00	0,00
Ceniza	0,14	14,28	71,40
Humedad	0,05	4,89	24,47
	1,00	100,00	500

Este balance de masa y energía se realizó, en condiciones en las que el incinerador está operando exclusivamente con los desechos seleccionados, los cuales no tiene presencia de azufre, puesto que el combustible (diésel) soló se lo utiliza en la cámara de postcombustión por un tiempo máximo de residencia de 3 segundos. Además, las emisiones se monitorearon después de que el horno estuviera en operación durante dos horas.

Los flujos molares de HCl, CO₂ y SO₂, no se consideraron en el balance, debido a que su presencia es mínima, como se observa en el ANEXO 8.4., en dónde se indica que existe un 0,001 % de HCl; 0,005 % de CO₂ y 0,02 % SO₂, valores mínimos que no interfieren en los cálculos del balance de masa.

Para el cálculo del flujo de aire necesario que se llevó a cabo en la combustión tanto de los desechos y el diésel utilizado se utilizaron las siguientes reacciones de combustión (9), (11) y (21):

$$C + O_2 \rightarrow CO_2$$
 (9)
 $2H + \frac{1}{2}O_2 \rightarrow H_2O$ (11)
 $4C_{12}H_{23} + 71O_2 \rightarrow 48CO_2 + 46H_2O$ (21)

En dónde se determinó que el oxígeno estequiométrico necesario para reaccionar con la materia combustionable de los desechos y el diésel, es de 1 358,81 kg/h; considerando que el aire tiene una concentración de 23 % w/w de oxígeno, el aire seco estequiométrico resultante es de 5 905,85 kg/h, el aire seco de alimentación es del 30 % en exceso del aire seco estequiométrico necesario, valor que establece la empresa para el proceso térmico, por lo cual se debe alimentar a la cámara de combustión con un flujo correspondiente a 7 680, 21 kg/h de aire seco que se detalla en el ANEXO 8.2, donde se realiza el balance global del horno de incineración. Por lo tanto, el flujo de aire alimentado al incinerador será de 7 728,30 kg/h.

Se presenta en la Figura 36, los flujos másicos de entrada y salida de todo el sistema del incinerador. En el ANEXO 8.3 se detallan de forma explícita la obtención de los flujos tanto del proceso térmico como el del lavador de gases.

Los flujos de entrada que se consideraron para el incinerador fueron:

- Menú de desechos
- Diésel (combustible)
- Aire en exceso con 30 %

Los flujos de salida que se consideraron fueron:

- Cenizas
- Gas seco
- Vapor

Mientras que en el lavador de gases los flujos de entrada fueron:

- Gas seco y vapor, provenientes del proceso de combustión,
- Agua y cal

Los flujos de salida que se consideraron son:

- Gases limpios y vapor que se emiten a la atmósfera
- Agua, lodos y cal que se depositan en la piscina de neutralización.

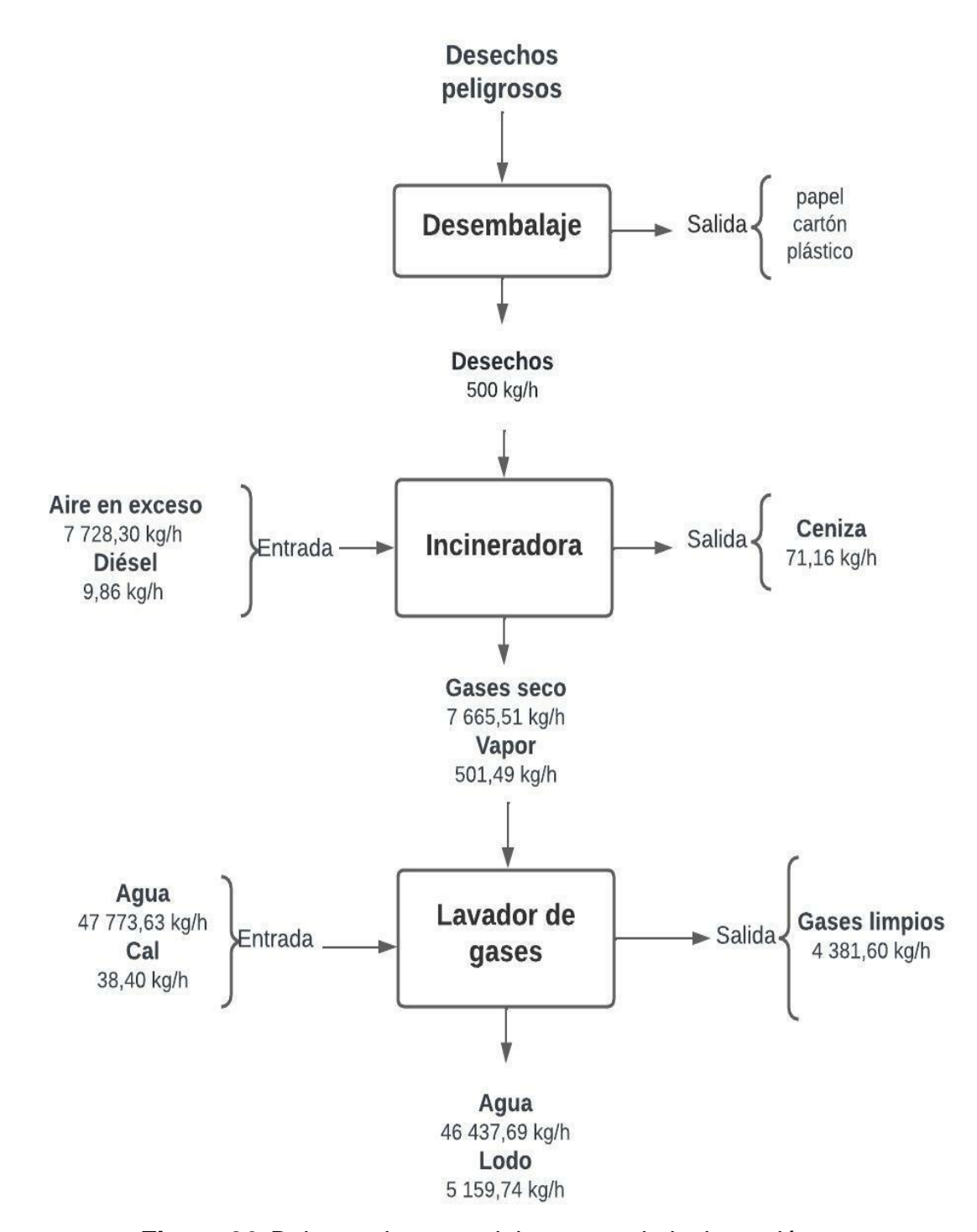


Figura 36. Balance de masa del proceso de incineración.

Para el cálculo de eficiencia de producción de ceniza, presentes en el ANEXO 8.3, se lo realizó en tres escenarios, en el primer caso se tomó la media de generación de contenido de ceniza de incineradoras europeas del 22,5 % (Greenpeace, 2009), la cual nos dio una eficiencia de 78 %; para el segundo caso se calculó con el 14 % de contenido de ceniza con una eficiencia igual a 86 % , y para el último caso se utilizó el contenido de ceniza del menú de carga seis obtenido en los ensayos de laboratorio iguala 5,19 % dando como resultado una eficiencia del 95%.

Se puede considerar que, al usar el menú de carga de incineración propuesto se tendrá una mayor eficiencia con la disminución en producción de cenizas, con un aumento del 9 % en comparación con la eficiencia que tiene la empresa.

Con respecto a la eficiencia del lavador de gases, en MP se encuentra en un rango de 70 a 99 %; en referente a SO₂ en un rango de 95 a 99 % (EPA, 2012), esta eficiencia no se pudo confirmar debido a que no se obtuvo los valores de estos parámetros en el monitoreo de emisiones atmosféricas realizado en el punto dos antes del lavador de gases, sin embargo se infiere que el lavador de gases tiene una alta remoción de estos contaminantes debido a que las emisiones que salen hacia la atmosfera monitoreadas por el CICAM son concentraciones mínimas, ver ANEXO 6.1 las cuales no sobrepasan los límites máximos permisibles establecidos en la normativa vigente.

Por otro lado, tomando en cuenta los valores obtenidos presentados en los informes de monitoreo del CICAM, la remoción del CO₂ en el lavador de gases tiene una eficiencia de aproximadamente el 54 %, dato que se utilizó para el cálculo de los flujos másicos de salida en el proceso del lavador.

El tiempo de residencia que se obtuvo para la cámara de postcombustión, se describe en el ANEXO 8.2, fue de 2,02 segundos, valor mínimo que se necesita para la destrucción de compuestos orgánicos, el flujo volumétrico total de la cámara

fue 34515,12 m³/h, lo que sígnica que las dimensiones de la cámara son adecuadas para el caudal que se maneja en el incinerador.

4.6.2 RESULTADOS DEL BALANCE DE ENERGÍA

Se presenta en la Figura 37, los flujos de energía del proceso de incineración y del intercambiador de calor, las entradas que se consideraron en el incinerador fueron: el calor que aportaba el combustible diésel y los desechos peligrosos, mientras que el calor de pérdidas fue por radiación, convección y cenizas, y el calor que se transfirió al gas seco y al vapor. Por otro, las entradas de calor al intercambiador de calor fueron del gas seco y vapor saliente del incinerador, en tanto la perdida de calor fue debido a la transferencia que se produjo en el sistema y calor que se transmite al lavador de gases es el de gas seco y vapor.

El aprovechamiento energético de los desechos peligrosos se puede obtener principalmente por el calor recuperado del proceso de incineración, para utilizarlo en forma de energía eléctrica, vapor o calor (Camacho et al., 2011). Para que esta energía sea considerable se debe incinerar al menos 50 000 ton/año de desechos (Ungureanu et al., 2021). Por lo tanto, la energía que se pierde en el proceso de incineración en la empresa HAZWAT es mínima puesto que la planta incinera aproximadamente 3 326,4 ton/año de desechos peligrosos, si se quisiese trabajar a una escalar mayor.

No obstante, la energía que se transfiere por medio de los gases de combustión que pasan a través del intercambiador es de 2 958 180,55 kcal/h equivalente a 3 440 363,93 vatios, puede ser utilizada para que el agua que se transforma en vapor en este equipo se emplee en forma de vapor esterilizador en el autoclave con el que cuenta la planta. Las pérdidas de energía en el incinerador pudieron ser debido a la radiación, la convección y pérdidas por cenizas con un valor de 1 448 985,86 kcal/h.

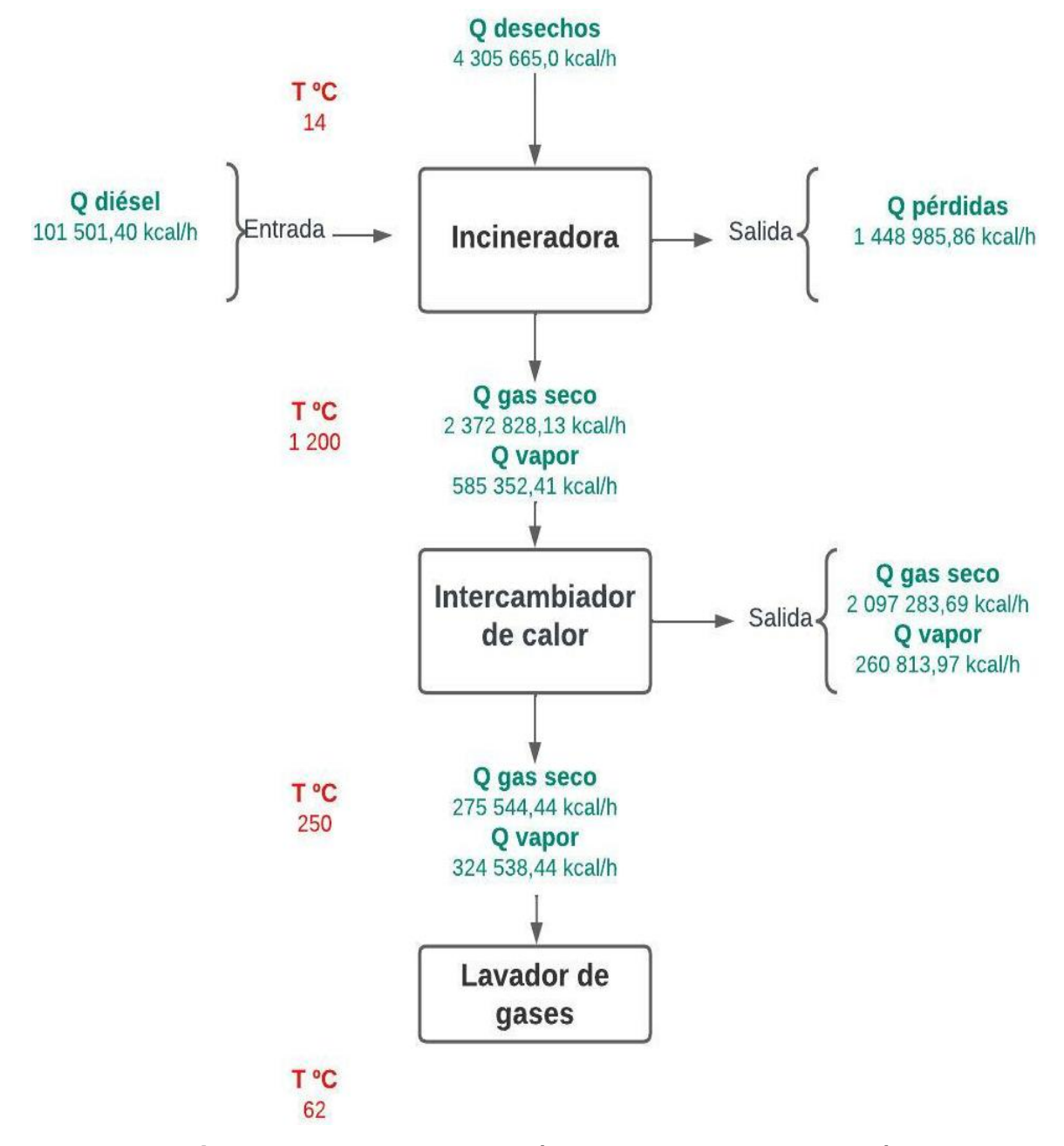


Figura 37. Balance de energía del proceso de incineración

4.7 MENÚS ÓPTIMOS PARA EL PROCESO DE INCINERACIÓN

Los resultados que se presentan a continuación son aquellos que se presentaron a la empresa HAZWAT, los cuales corresponden al menú de carga seis y siete, el menú de carga seis fue seleccionado para la realización de la prueba piloto donde se evidenció que las emisiones de gas de combustión cumplen con la normativa nacional vigente en el monitoreo en el punto 1, y en el monitoreo del punto 2 cumplen los parámetros con los límites máximos permisibles a excepción

del CO que es un parámetro operativo el cual puede ser corregido mejorando las condiciones de incineración (aire en exceso de alimentación, turbulencia y tiempo de residencia) en la cámara de postcombustión.

4.7.1 DATOS DEL CONTENIDO DE HUMEDAD Y PODER CALÓRICO PONDERADO DEL MENÚ DE CARGA

Como se puede observar en la Tabla 27, el porcentaje de humedad ponderado del menú de carga seleccionado tiene un valor de 5,14 %, dado que, para su determinación se tomó en cuenta el porcentaje de influencia de cada desecho en el menú, de la misma forma se calculó el poder calórico ponderado del menú, dando un valor de 8 611,353 kcal/kg. Esto se realizó para conocer el valor exacto de cada parámetro y su impacto en el proceso de incineración.

Tabla 27.Determinación del promedio ponderado del menú del contenido de humedad y el poder calórico.

Categorías	Porcentaje dentro del menú	Contenido de humedad (%)	Poder calórico (kcal/kg)
EPP contaminado	0,80	0,03	33,36
Envases plásticos triturados	2,50	0,04	278,63
Aserrín	9,00	0,93	333,59
Aceite Contaminado	69,0	0,0	6 563,9
Pastillas trituradas	5,2	0,4	258,5
Biopeligrosos esterilizados	8,00	3,57	621,60
Resina epóxica	4,00	0,02	439,48
Ropa	1,50	0,14	82,34
Promedio ponderado del mei	nú	5,14	8 611,33

Por lo tanto, se sustenta que el menú tiene un porcentaje de humedad óptimo para la incineración, debido a, que el desecho de mayor influencia es el aceite y este contiene solo un 0,005 % de humedad, y gracias a esto se puede asegurar un proceso de incineración eficiente, ya que, el contenido de humedad es menor al 50

% y no habrá problemas en la disminución de temperatura dentro de las cámaras de combustión (Hernández, 2010).

Así mismo, el valor de poder calórico ponderado de la muestra, servirá para mantener dicha temperatura de las cámaras, es importante porque se reduce costos económicos, ya que el alimentar desechos con un elevado poder calórico y en este caso muy similar al poder calórico del combustible auxiliar diésel 10 294,26 kcal/kg no habrá la necesidad de alimentar una cantidad mayor de este combustible para la operación óptima del incinerador (Camacho et al., 2011).

4.7.2 MENÚS DE INCINERACIÓN.

En la Tabla 28 se expone el menú seis y se especifica las cantidades en kilogramos que se necesita para cada desecho en una carga de 90 kg, por turno de 8 horas y finalmente por día.

Tabla 28. *Menú 6 propuesto para la alimentación del incinerador.*

	Menú 6	Por carga	Por turno	Por día
CATEGORÍAS	%		kg	
EPP contaminado	0,80	0,72	28,80	86,40
Envases plásticos triturados	2,50	2,25	90,00	270,00
Aserrín	9,0	8,1	324,0	972,0
Aceite Contaminado	69,0	62,1	2 484,0	7 452,0
Pastillas trituradas	5,20	4,68	187,20	561,60
Biopeligrosos esterilizados	8,0	7,2	288,0	864,0
Resina epóxica	4,0	3,6	144,0	432,0
Ropa	1,50	1,35	54,00	162,00

En la Tabla 29 se muestra el segundo menú propuesto para la incineración, cabe destacar que no se pudo realizar una prueba piloto en la planta HAZWAT con este menú, debido a las diversas actividades que realiza la empresa por prestación de sus servicios. Se eligió este menú, ya que presenta similitudes con el menú propuesto en la tabla 28, principalmente en el porcentaje de cenizas generado igual

al 6,41 %; un poder calórico ponderado de 8 649,29 kcal/kg y un contenido de humedad ponderado de 3,81 %, con estas características se lo consideró apto para ser utilizado en el proceso de incineración.

Tabla 29. *Menú 7 propuesto para la alimentación del incinerador.*

	Manú 7	Por carga	Por turno	Por día
CATEGORÍAS	%		Kg	•
EPP contaminado	0,70	0,63	25,20	75,60
Envases plásticos triturados	2,10	1,89	75,60	226,80
Aserrín	8,60	7,74	309,60	928,80
Aceite Contaminado	71,0	63,9	2556,0	7668,0
Pastillas trituradas	5,6	5,04	201,6	604,8
Biopeligrosos esterilizados	5,0	4,5	180,0	540,0
Resina epóxica	5,0	4,5	180,0	540,0
Ropa	2,0	1,8	72,0	216,0

Los menús entregados a la empresa HAZWAT son óptimos para el proceso de incineración, ya que se garantiza una baja formación de HCl y por consiguiente una pequeña concentración de compuestos halogenados, los mismos que pueden ser destruidos al mejorar las condiciones operacionales de la cámara de postcombustión, se reducirá la producción de ceniza a un 5,19 % y se mantendrá la temperatura adecuada en las cámaras de combustión con la ayuda del poder calórico ponderado, mejorando la destrucción de componentes dentro de la cámara de combustión primaria.

CAPÍTULO 5 CONCLUSIONES Y RECOMENDACIONES

5.1 CONCLUSIONES

- Los desechos peligrosos seleccionados para la elaboración de los menús de carga en la incineración fueron elegidos tomando en cuenta su frecuencia de llegada a la planta HAZWAT y su recurrencia dentro de la misma, los desechos con los que se trabajó son: aceite contaminado, aserrín, pastillas trituradas, EPP contaminado, biopeligrosos, resina epóxica y ropa.
- En la caracterización de los desechos se obtuvo que el porcentaje de humedad varía entre 4 a 10 % a excepción de los desechos biopeligrosos con un valor de 45 %; el poder calórico con mayor influencia fue el aceite contaminado con un valor de 9 512,83 kcal/kg debido a que se lo utilizó en mayor porcentaje dentro de los menús; en el análisis FTIR no se evidenció grupos funcionales con cloro.
- En el balance de masa del incinerador se consideró los flujos másicos de entrada: a los desechos 500 kg/h; diésel 9,86 kg/h y aire de alimentación de 7 728,30 kg/h; los flujos de salida fueron: gas de combustión 12 680,00 kg/h, y ceniza 71,16 kg/h. A su vez, para este proceso térmico se estimó un flujo de calor de entrada de 5 125 534,45 vatios; el tiempo de residencia para la cámara de postcombustión fue de 2,02 segundos.
- De los 10 menús de carga elaborados se seleccionó dos menús; el menú número seis el cual presenta un poder calórico de 8 611,33 kcal/kg, contenido de humedad de 5,14 % y un porcentaje de cenizas de 5,19 % y el menú número siete con un poder calórico de 8 642,29 kcal/kg, contenido de humedad de 3,81 % y un porcentaje de cenizas de 6,41 %.

• La prueba piloto fue realizada en la empresa HAZWAT, por un tiempo de tres horas, utilizando el menú de carga seis, el cual consiste en: 69,0 % de aceite contaminado; 9,0 % de aserrín; 8,0 % de biopeligrosos, 5,2 % de pastillas trituradas, 4,0 % de resina epóxica; 2,5 % de envases plásticos; 1,5 % de ropa y 0,8 % de EPP contaminado.

5.2 RECOMENDACIONES

- Realizar un monitoreo completo de emisiones atmosféricas y material particulado antes del lavador de gases, para lo que se debe colocar un puerto de muestreo más arriba del punto anterior, dónde se realizó la medición, de esta forma los gases que se emiten por la chimenea se puedan enfriar por convección, garantizando de esta manera una medición exacta de los gases por medio del equipo isocinético y el analizador de gases portátil.
- Realizar una prueba piloto de por lo menos 8 horas (turno de operación del incinerador), para obtener un monitoreo de emisiones y cenizas donde solo se considere los contaminantes producidos por el menú de carga establecido el cual deberá ser alimentado al incinerador durante todo este tiempo.
- Trabajar en la implementación de diferentes menús de carga de incineración con alguna composición en particular, dado que los desechos que llegan a la planta son muy cambiantes, se debe considerar establecer menús que se aproximen a rangos de poder calorífico similar al presentado, al igual que la humedad, para que pueda existir una relación dinámica entre la destrucción de distintos desechos peligrosos.
- Utilizar todo el tiempo el sistema de lavador de gases, suspendiendo el bypass de la chimenea que tiene salida directa al ambiente, ya que existe una gran cantidad de emisiones de contaminantes como el CO, MP, NOx, etc., que están siendo emitidos constantemente, afectando la salud de los operadores de la planta, habitantes de la zona y la calidad ambiental.

REFERENCIAS BIBLIOGRÁFICAS

- Agarwal, J. (2019). Waste management of residual black ash in barium industries. *Materials Today: Proceedings*, 18, 4810–4815. https://doi.org/10.1016/j.matpr.2019.07.469
- 2. Allsopp, M., Costner, P., & Johnston, P. (2001). *Incineración y Salud*. https://archivoes.greenpeace.org/espana/Global/espana/report/other/inciner aci-n-y-salud-2.pdf
- Ambientum. (2018, April 11). Incineración y tratamientos térmicos. https://www.ambientum.com/enciclopedia_medioambiental/suelos/incineracion_y_tratamientos_termicos.asp
- 4. American Society for Testing and Materials. (2003). Standard Practice for Extraction of Solid Waste Samples for Chemical Analysis. 93(Reapproved 2003), 1–7.
- American Society for Testing and Materials. (2004). ASTM C566-97
 Standard Test Method for Total Evaporable Moisture Content of Aggregate
 by Drying (pp. 1–8).
 https://webstore.ansi.org/Standards/ASTM/astmc566972004?gclid=CjwKC
 Ajw14uVBhBEEiwAaufYx_8wR_6l0xgdMPz4Byy2DRcmN8bGlHzurH_71Pb
 AStzOjY18e71EDBoCoDAQAvD_BwE
- 6. APEX INSTRUMENTS. (n.d.). *PS-6-H Apex Instruments*. Retrieved June 27, 2022, from https://www.apexinst.com/product/ps-6-h
- Artunduaga, M., Losada, G., & García, T. (2015). Impacto en la salud por el inadecuado manejo de los residuos peligrosos. *Ingenierías USBMed*, 6(2), 46–50. https://doi.org/https://doi.org/10.21500/20275846.1731
- 8. ASTM. (2011). Standard Test Method for Gross Calorific Value of Coal and Coke. https://tienda.aenor.com//norma-astm-d5865-10ae1-076058
- 9. ATSDR. (2000). Resumen de Salud Pública Manganeso. *Agencia de Sustancias Toxicas y El Registro de Enfermedades*, 12.
- 10.ATSDR. (2005). Resumen de Salud Pública: Cinc. Salud Pública, 1–8. www.atsdr.cdc.gov/es
- 11. ATSDR. (2012). Resumen de Salud Pública Cromo. Agencia ParaSustancias Toxicas y El Registro de Enfermedades, 8.

- https://www.atsdr.cdc.gov/es/phs/es_phs7.pdf
- 12. Ayala, J. L. (2018). Valoración energética del aceite lubricante usado en sistemas térmicos de combustión de la industria cementera ecuatoriana. Novasinergia Revista Digital De Ciencia, Ingeniería Y Tecnología, 1(2), 60–70. https://doi.org/10.37135/unach.ns.001.02.07
- 13. BCN. (2013). Singapur: Expertos en reciclaje y en el manejo de residuos -Programa Asia Pacífico. Asia Pacífico . https://www.bcn.cl/observatorio/asiapacifico/noticias/singapur-expertosresiduos
- 14. Beto, X. (2010, June 12). *Materiales sólidos poder calorífico*. http://betserpi-seguridadcontraincendio2.blogspot.com/2010/06/materiales-solidos-poder-calorifico-en.html
- 15. Brookfield Ametek. (2015). *Moisture in Oils: The Three-Headed Beast.* https://www.brookfieldengineering.com/blogs/2015/april/moisture-in-oils-the-three-headed-beast
- 16. Cabrera, C. (2011). *Manual para el manejo de los residuos peligrosos de tipo químico (CRETI)* (pp. 1–54). https://www.inper.mx/descargas/pdf/CRETI.pdf
- 17. Camacho, A., Abellán, J., García, C., & López, D. (2011). Mejores Técnicas Disponibles de referencia europea para Incineración de Residuos (M. de M. A. y M. R. y Marino (ed.); 1st ed.). https://prtr-es.es/Data/images/MTD_Incineracion_residuos_ES.pdf
- 18. Cando, C., Salazar, A., & Carvajal, S. (2018). Módulo de Desechos Sanitarios en Establecimientos de Salud . https://www.ecuadorencifras.gob.ec/documentos/web-inec/Encuestas_Ambientales/Establecimientos_Salud-Residuos_Peligrosos/2018/DOC_TEC_MOD_AGROAMB_2019_15_05_20 20 2 3.pdf
- 19. Cano, L. (2016). Cuantificación del porcentaje de humedad y cenizas contenidos en los residuos sólidos urbanos del distrito metropolitano de Quito [Universidada Internacional SEK]. https://repositorio.uisek.edu.ec/bitstream/123456789/2499/1/Cano Leslie Tesis UISEK.pdf
- 20. Carbotecnia. (2020). Carbón activado mineral peletizado.

- https://www.carbotecnia.info/producto/carbon-activado-para-aire-peletorganicos-carvapur/
- 21. CEMPRE. (2000). Parte 4 Incineración 1 ¿Qué es la incineración? In *Manual de Gestión Integral* (ADAN VENEZ, pp. 267–287). http://www.cempre.org.uy/docs/manual_girsu/parte_4_incineracion.pdf
- 22. Centeno, M., Ramírez, J., & Muruais, J. (2010). Guía de valoración energética de residuos (M. 44.970-2010). https://www.oficemen.com/wp-content/uploads/2017/05/Guia-de-valorizacion-energetica-de-residuos.-Fenercom-2010.pdf
- 23. Centro Municipal de Salud Tres Arroyos. (2019). *Protocolo de limpieza y desinfección hospitalaria*. https://centrodesalud.com.ar/descargas/protocolo de limpieza hospitalaria CMS 2019.pdf
- 24. Chepe, N. (2017). Guía de Diseño para Reciclabilidad Polietileno de Alta Densidad (HDPE, Código de Identificación de Resina # 2). 1–15. www.ecoce.mx
- 25. Dagnino, J. (2014). *Análisis de Varianza*. https://revistachilenadeanestesia.cl/PII/revchilanestv43n04.07.pdf
- 26. Echanique, P., Velasco, A., Lara, I., Carvajal, P., & Guarderas, J. (2006).
 Plan de Gestión de Residuos Industriales Peligrosos del Municipio de Quito
 (D. Gonzáles (ed.)). Gráficas Ayerve C.A.
- 27. Elías, X. (2003). 3ª Parte: Los residuos como combustibles. Nociones sobre la combustión. In *La incineración de residuos y su adecuación a la Resolución 005* (pp. 3–27). http://www.ingenieroambiental.com/4014/ponencias-id79.pdf
- 28. Elías, X. (2005a). Tratamiento y valorización energética de residuos (1st ed., Vol. 1). Díaz de Santos S. A. https://books.google.com.cu/books?id=qYmL8Q10TYcC&printsec=frontcov er#v=onepage&q&f=false
- 29. Elías, X. (2005b). *Valorización energética de residuos*. http://www.ingenieroambiental.com/4014/ponencias-id69.pdf
- 30. EPA. (2002). *Air Pollution Control Technology Fact Sheet*. 1–4. https://www3.epa.gov/ttnchie1/mkb/documents/fcataly.pdf
- 31. EPA. (2012). Hoja de Datos EPA-CICA Hoja de Datos-Tecnología de Control

- de Contaminación del Aire. https://www3.epa.gov/ttn/catc/cica/files/fsprytws.pdf
- 32. Eurostat. (2013, December). *Poder Calorífico*. https://ingemecanica.com/tutoriales/poder_calorifico.html#tabla1
- 33. FARN. (2018). Incineración de basura con recuperación de energía. Fundación Ambiente y Recursos Naturales, 1–33. https://farn.org.ar/wp-content/uploads/2020/06/Incineración-de-residuos_Documento-FARN.pdf
- 34. Felder, R., & Ronal, R. (2004). *Principios elementales de los procesos químicos* (Grupo Noriega Editores (ed.); 3rd ed.). LIMUSA WILEY, S.A,.
- 35. Fernández, J. (2010). *PODER CALORIFICO* (Vol. 1, pp. 1–22). edUTecNe. http://www.edutecne.utn.edu.ar/maquinas_termicas/01-poder_calorifico.pdf
- 36. Fundación EROSKI. (2010). La importancia de reciclar. *Revista Idea Sana EROSKI*, 1–28. www.ideasana.com
- 37. Gielar, A., & Helios-Rybicka, E. (2013). Environmental impact of a hospital waste incineration plant in Krakow (Poland). *Waste Management and Research*, 31(7), 722–728. https://doi.org/10.1177/0734242X13485868
- 38. Gonzáles, G. (2003). *Optimización del proceso de incineración de residuos sólidos municipales*. Universidad Autónoma Metropolitana.
- 39. Greenpeace. (2009). *Incineración de residuos: malos humos para el clima*. http://archivo-es.greenpeace.org/espana/Global/espana/report/costas/091124-02.pdf
- 40. Harper, C., & Petrie, E. (2003). Wiley: Plastics Materials and Processes: A Concise Encyclopedia. In CEM Corporation (Ed.), *Plastics Materials and Processes: A Concise Encyclopedia*. http://eu.wiley.com/WileyCDA/WileyTitle/productCd-0471456039.html
- 41. Hasan, M. (2015, August). Standard Moisture Regain and Moisture Content of Fibers. Textile Calculations. https://www.textilecalculations.com/standard-moisture-regain-and-moisture-content-of-fibers/
- 42. HAZWAT. (2017). Empresa de gestión integral de desechos. https://www.hazwat.com.ec/nuestra-empresa/
- 43. Hernández, S. (2010). Determinación de una mezcla óptima a incinerar, de residuos peligrosos y de manejo especial; que facilite su tratamiento térmico y contribuya a disminuir los niveles de emisiones de contaminantes al

- ambiente. [INSTITUTO POLITÉCNICO NACIONAL]. https://tesis.ipn.mx/jspui/bitstream/123456789/9608/1/66.pdf
- 44.INEC. (2020). Información Económica Ambiental en Empresas ENESEM
 2018. https://www.ecuadorencifras.gob.ec/documentos/webinec/Encuestas_Ambientales/EMPRESAS/Empresas_2018/PRINC_RESUL
 _MOD_AMBIENTAL_ENESEM_2018.pdf
- 45.NTP 115: Toma de muestras de cloro, Pub. L. No. NTP 115, 1 (2000). https://www.insst.es/documents/94886/326853/ntp_115.pdf/58188010-6ded-4f8d-95b3-3d7b099bc8d2?version=1.0&t=1617977223662#:~:text=Esta norma para la toma,impingers (NTP nº 22.82).
- 46. International Zinc Association. (2010). *Zinc un material sostenible*. https://www.zinq.fr/wp-content/uploads/pdf/zinc-materiau-durable-es.pdf
- 47. Jácome, E. (2017, March 7). Arranca campaña para reciclar residuos especiales y peligrosos en Quito El Comercio. El Comercio. https://www.elcomercio.com/tendencias/campana-reciclaje-residuos-peligrosos-quito.html
- 48. Jämsä, S., Gomez, J., Hearle, J., Moseley, D., & Smirnov, A. (2018). Control strategy for a multiple hearth furnace in kaolin production. *Control Engineering Practice*, 81, 18–27. https://doi.org/10.1016/J.CONENGPRAC.2018.08.020
- 49. Kanhar, A. H., Chen, S., & Wang, F. (2020). Incineration fly ash and its treatment to possible utilization: A review. *Energies*, *13*(24), 35. https://doi.org/10.3390/en13246681
- 50. Kočí, V., & Picková, E. (2020). Life cycle perspective of liquid epoxy resin use in the automotive industry. *Polish Journal of Environmental Studies*, 29(1), 653–667. https://doi.org/10.15244/pjoes/100495
- 51. LaGrega, M., Buckingham, P., & Evans, J. (2000). *GESTIÓN DE RESIDUOS TÓXICOS, TRATAMIENTO, ELIMINACIÓN Y RECUPERACIÓN DE SUELOS:*Vol. // (McGraw-Hill (ed.)). https://www.urbe.edu/UDWLibrary/InfoBook.do?id=9032
- 52. Lord, H. L., & Pfannkoch, E. A. (2012). Sample Preparation Automation for GC Injection. *Comprehensive Sampling and Sample Preparation*, 2, 597–

- 612. https://doi.org/10.1016/B978-0-12-381373-2.00061-2
- 53.MAATE. (2015). NORMA TÉCNICA DE DESECHOS PELIGROSOS Y ESPECIALES (pp. 1–9).
- 54. MAATE. (2019). RCOA. https://site.inpc.gob.ec/pdfs/lotaip2020/REGLAMENTO AL CODIGO ORGANICO DEL AMBIENTE.pdf
- 55.MAE, Pub. L. No. AC. 026 Procedimiento para la gestión de desechos peligrosos, 1 (2007). https://www.ambiente.gob.ec/wp-content/uploads/downloads/2014/05/AM-026-Procedimientos-Registrogeneradores-desechos-peligrosos.pdf
- 56. MAE, Pub. L. No. AM. 142 Listado nacional sustancias químicas peligrosas, desechos peligrosos, 48 (2012).
- 57. MAE, Pub. L. No. 061, 1 (2015). https://www.gob.ec/sites/default/files/regulations/2018-09/Documento_acuerdo-ministerial-061.pdf
- 58.MAE. (2016). Prestadores de servicio (gestores) para el manejo de materiales peligrosos. https://www.ambiente.gob.ec/wp-content/uploads/downloads/2016/03/BD_GESTORES_-24-02-16.pdf
- 59. Martínez, J. (2005). Fichas Temáticas. In Centro Coordinador del Convenio de Basilea para América Latina y el Caribe. (Ed.), Guía para la Gestión Integral de Residuos Peligrosos (Vol. 2, pp. 1–133). Montevideo - Uruguay. https://www.cempre.org.uy/docs/biblioteca/guia_para_la_gestion_integral_r esiduos/gestion_respel02-fichas_tematicas.pdf
- 60. Martínez, J., Mallo, M., Lucas, R., Álvarez, J., Salvarrey, A., & Gristo, P. (2005). Guía para la Gestión Integral de Residuos Peligrosos-Fundamentos. In Silvia Aguinaga (Ed.), *Guía para la Gestión Integral de Residuos Peligrosos* (Vol. 1, pp. 1–164). https://www.cempre.org.uy/docs/biblioteca/guia_para_la_gestion_integral_r esiduos/gestion_respel01_fundamentos.pdf
- 61.MAYPA S.A. (2009). *Incineración de Residuos Peligrosos: Industriales y Biológico-Infecciosos* [MAYPA PRISMA]. http://sinat.semarnat.gob.mx/dgiraDocs/documentos/bc/estudios/2009/02B C2009I0001.pdf

- 62. Méndez, M. (2014). Mejoramiento del tratamiento de desechos hospitalarios por esterilización en autoclaves [Universidad Central del Ecuador]. https://core.ac.uk/download/pdf/71903117.pdf
- 63. Monsalvo, R., Miranda, M., Romero, M., & Muñoz, G. (2014). *Balance de Materia y Energía: Procesos Industriales* (PATRIA (ed.); 1st ed.). Callejas, Javier.
 - https://books.google.com.ec/books?id=afLhBAAAQBAJ&printsec=frontcove r&hl=es&source=gbs_ge_summary_r&cad=0#v=onepage&q&f=false
- 64. Montenegro, L. (2016). Material Auxiliar de Transferencia de Calor II.
- 65. Moreno, J. (2011). DISEÑO E IMPLEMENTACIÓN DE UN SISTEMA DE MANEJO DE RESIDUOS PELIGROSOS GENERADOS EN LOS TERMINALES Y DEPÓSITOS DE EP PETROECUADOR [UNIVERSIDAD INTERNACIONAL SEK]. https://repositorio.uisek.edu.ec/bitstream/123456789/101/1/Sistema de Manejo de Residuos Peligrosos EP PETROECUADOR.pdf
- 66. Mugica, V., Amador, M. A., Miguel, T., & Figueroa, J. (2003). MERCURIO Y METALES TÓXICOS EN CENIZAS PROVENIENTES DE PROCESOS DE COMBUSTIÓN E INCINERACIÓN. *Rev. Int. Contam. Ambient*, *19*(2), 93–100.
- 67. National Research Counci. (2000). Waste Incineration and Public Health. In Waste Incineration and Public Health. https://doi.org/10.17226/5803
- 68. Nordberg, G., Langard, S., Sunderman, F. W., Mager Stellman, J., Osinsky, D., Markkanen, P., & Dinman, B. (2001). Metales: propiedades quimicas y toxicidad. *Enciclopedia de Salud y Seguridad En El Trabajo*, 1–76.
- 69.OMC. (2021). El comercio de productos médicos en el contexto de la lucha contra la covid-19: evolución en 2020. *ORGANIZACIÓN MUNDIAL DEL COMERCIO*, 2021, 1–15. https://www.wto.org/spanish/tratop_s/covid19_s/medical_goods_update_ju n21_s.pdf
- 70.OMS. (2016a, March 15). Cada año mueren 12,6 millones de personas a causa de la insalubridad del medio ambiente. https://www.who.int/es/news/item/15-03-2016-an-estimated-12-6-million-deaths-each-year-are-attributable-to-unhealthy-environments

- 71.OMS. (2016b, October 4). Las dioxinas y sus efectos en la salud humana. https://www.who.int/es/news-room/fact-sheets/detail/dioxins-and-their-effects-on-human-health
- 72. Organización Internacional del Trabajo. (2021). Equipos de Protección Personal (EPP). Salud y Seguridad En El Trabajo, 1–12. http://www.cepb.org.bo/wp-content/uploads/2021/04/9-EQUIPOS-DE-PROTECCION-PERSONAL.pdf
- 73. Padilla, C., Moreno, L., Buenaño, L., Cuaical, B., & Barrera, O. (2018). Análisis situacional del tratamiento de aceites automotrices residuales. *Polo Del Conocimiento*, 3(7), 1–172. https://doi.org/10.23857/PC.V3I7.536
- 74. Parvez, M. (2018). *Steam Condenser. April*, 1–15. https://www.researchgate.net/publication/324168245_Steam_Condenser
- 75. PENNRAM. (2015). Highway PHCA-1100 MEDICAL WASTE INCINERATOR Pennram Job 214115. In *Pennram PHCA-1100*.
- 76. PENNRAM. (2022). *Incinerators Pennram*. https://www.pennram.com/incinerators/
- 77. Precision IBC. (2017). *OUR COMMITMENT TO EXCELLENCE* (pp. 1–24). https://www.precisionibc.com/wp-content/uploads/2017/03/PIBC_Product_Catalog.pdf
- 78. PTT. (2021). GESTIÓN INTEGRAL DE DESECHOS HAZWAT.
- 79. Pugh, M. (2004). Forced Draft and Induced Draft Fan (Vol. 3, Issue 3).
- 80. Reymond, C. (2006). Familia IIA. Metales alcalinotérreos. In *Química general* para bachillerato (pp. 1–13). http://www.prepa9.unam.mx/etimologias_interactivas/textos/AreaII/QuimOr g/2 Metales_alcalino-terreos.pdf
- 81. Rodríguez, J., & Irabien, Á. (2013). Incineración de residuos peligrosos. In S. . Editorial Sintesis (Ed.), Gestión sostenible de los residuos peligrosos (p. 372). Sintesis.
- 82. Rosas, A., Peña, A., Rodríguez, G., Izumikawa, C., Aguilar, G., Trejo, J., Martínez, S., Ramos, A., Gutiérrez, A., Romero, L., & Figueroa, P. (2009). Evaluación de la incineración de residuos peligrosos. *Gaceta Ecológica*, 1(66), 27–40. https://www.redalyc.org/pdf/539/53906603.pdf
- 83. Sáez, A., & Urdaneta, J. A. (2014). Manejo de residuos sólidos en América

- Latina y el Caribe. *Omnia*, *20*(3), 121–135. https://www.redalyc.org/pdf/737/73737091009.pdf
- 84. Salazar Delgado, J. (2013). Método de ensayo para la determinación cualitativa y cuantitativa del contenido de polímero presente en ligantes asfálticos modificados. In *Métodos y Materiales* (Vol. 3, Issue 1). https://doi.org/10.15517/mym.v3i1.13482
- 85. Santos, H. (2012). *Incineración convencional de residuos peligrosos*. https://www.juntadeandalucia.es/medioambiente/consolidado/publicaciones digitales/40-
 - 542_TECNICAS_DE_PREVENCION_DE_LA_GENERACION_DE_SUELO S_CONTAMINADOS_TOMO_I/40-542/5_INCINERACION_CONVENCIONAL.PDF
- 86. Sawyer, S. F. (2009). Analysis of Variance: The Fundamental Concepts. *Journal of Manual & Manipulative Therapy*, 17(2), 27E-38E. https://doi.org/10.1179/jmt.2009.17.2.27e
- 87. Secretaría de Economia México. (2001). Determinación De Cloruros Totales En Aguas Naturales, Residuales Y Residuales Tratadas Método De Prueba. *Diario Oficial de La Federación*. https://aniq.org.mx/Pqta/pdf/NMX-AA-quimicosgpo2.pdf
- 88. Secretaría del Ambiente, Pub. L. No. 138, 1 1 (2001). http://www.quitoambiente.gob.ec/index.php/calidad-y-gestion-ambiental/normativas
- 89. Secretaría del Ambiente, Pub. L. No. 404, RESOLUCIÓN No 002-SA 1 (2014). https://www.cip.org.ec/attachments/article/2096/RESOLUCIÓN No 002-SA-2014.pdf
- 90. SEMARNAT, 8 Norma Oficial Mexicana NOM-015-CONAGUA-2007, Infiltración artificial de agua a los acuíferos.- Características y especificaciones de las obras y del agua. 18 (2002). https://www.gob.mx/profepa/documentos/norma-oficial-mexicana-nom-015conagua-2007
- 91. Spirax Sarco. (2001). *Boiler feedtank systems* (7th ed., pp. 1–12). https://content.spiraxsarco.com/-/media/spiraxsarco/international/documents/ca/ti/pivotrol-ti-5-010-

- en.ashx?rev=d6a62e63ec9943369270581df01146c8
- 92. SRT. (2017). Ficha técnica de prevención SRT: Resinas Epoxi. https://www.srt.gob.ar/wp-content/uploads/2017/03/Ficha_tecnica_Resinas.pdf
- 93. Suárez, C. (2000). Problemática y gestión de residuos sólidos peligrosos en Colombia. *INNOVAR*, 1(15), 41–52. http://www.redalyc.org/articulo.oa?id=81801504
- 94. TA Instruments. (2005). *Thermal Analysis Application Brief Determination of moisture in Epoxi Resin*. http://www.tainstruments.com/pdf/literature/TA112.pdf
- 95. Tangri, N. (2005). *Incineración de residuos: una tecnología muriendo*. GAIA, Alianza Global Anti-Incineración. https://www2.congreso.gob.pe/sicr/cendocbib/con4_uibd.nsf/BEED4EBCBF 98D22E05257D690071A2E9/\$FILE/IncineracionResiduosTecnologíaMurie ndo.pdf
- 96. Tangri, N., & Wilson, M. (2017). Gasificación y pirólisis de residuos: procedimientos de alto riesgo y baja rentabilidad para el tratamiento de residuos. *GAIA*, 1–16. https://www.no-burn.org/wp-content/uploads/Gasificación-y-pirólisis-2017-ESP-1.pdf
- 97. Tello, D., Peña, K., & Hernández. (2019). Estimación de emisión de metano (CH4) en el relleno sanitario Presidente por medio de imágenes satelitales | Revista de Topografía AZIMUT. Revista de Topografía. https://revistas.udistrital.edu.co/index.php/azimut/article/view/15654
- 98. Tews, M. (2007). Innovadora tecnología de resonancia de microondas Medición de la humedad para procesos y laboratorio. https://www.interempresas.net/FeriaVirtual/Catalogos_y_documentos/1454 1/Medicion_humedad.pdf
- 99. Ungureanu, M., Jozsef, J., & Brezoczki, V. M. (2021). *Investigación sobre la Recuperación Energética de Sólidos Municipales Residuos en el condado de Maramures mediante incineración*.
- 100. Valdovinos, G. (2007). El manejo de los residuos peligrosos biológicoinfecciosos (RPBI) en hospitales de nivel II y III del Sector Salud en México (un enfoque sistematico). 328.

- 101. Valdovinos, G. (2010). El manejo de los residuos peligrosos biológico-infecciosos (RPBI) en hospitales de nivel II y III del sector salud en México (un enfoque sistemático).
 330. https://bvirtual.epn.edu.ec:2145/es/ereader/epn/74738
- 102. Vargas, S., Onatra, W. illia., Osorno, L., Páez, E., & Sáenz, O. (2008). Contaminación Atmosférica y efectos respiratorios. *Colciencias*, 55, 45. http://www.scielo.org.co/pdf/rudca/v11n1/v11n1a06.pdf
- 103. Vatavuk, W. M. (2002). Capítulo 2 Incineradores. In *Manual de Costos de Incineración del aire de la EPA* (6th ed., Vol. 1, pp. 1–66). Enviromental Protection Agency, EPA.
- 104. Verlek. (2022). Sistemas de control emisiones calderas. https://verlek.com/2017/12/01/sistemas-control-emisiones/
- 105. Villaseñor, G. (2002). *Incineración y Oxidación por via humeda* [Universidad de Sonora]. http://tesis.uson.mx/digital/tesis/docs/4314/Capitulo9.pdf
- 106. Waste 2 Water. (2020). Guía de biorremediación: beneficios de la biorremediación y más. What Is Bioremediation, and What Are Its Benefits. https://www.waste2water.com/bioremediation-benefits-and-uses/
- 107. World Bank. (2000). Municipal solid waste incineration Technical Guidance Report. Municipal Waste Combustion, 4. http://www.worldbank.org/urban/solid_wm/erm/CWG folder/Waste Incineration.pdf%5Cnhttp://inis.iaea.org/search/search.aspx?orig_q=RN:2308 6616
- 108. Zábala, C., Hernández, B., & Vargas, M. (2016). Aceites y grasas: efectos en la salud y regulación mundial Fat and oils: Effects on health and global regulation. *Rev. Fac. Med*, *64*(4), 761–769. https://doi.org/10.15446/revfacmed.v64n4.53684
- 109. Zero Waste Europe. (2015). Contaminación atmosférica e incineración de residuos: peligroso respirar Informe.
- 110. Zhang, L., Wu, L., Tian, F., & Wang, Z. (2016). Analysis of the Composition and Characteristics of Medical Waste at a Disaster Relief Site. *PLoS ONE*, 11(7), 159261. https://doi.org/10.1371/journal.pone.0159261

ANEXOS

ANEXO 1

Inventario de desechos peligrosos presentes en cada galpón de HAZWAT

Tabla A1.1 *Galpón de fármacos*

					Tipo de	Envase	•			Estado	
Tipo de desecho	% Peso	Características	Vidrio	Papel	Blister	Plástico	Metal	Cartón	Líquido	Pastoso	Sólido
		Tabletas (vitaminas, uso veterinario)		х	х						х
Medicamentos	60%	Inyectables	Х	Х		Х			Х		
		Jarabes	Х			х					Х
		Ampollas	Х			х			Х		
		Perfumes	Х			Х		Х	Х		
		Shampoo				Х		Х		Х	
		Cremas				Х			Х		
		Pasta dental				Х		Х		Х	
		Cepillos de dientes				Х		Х			Х
Constitute	050/	Desodorantes				Х			Х		
Cosméticos	25%	Acetona				Х			Х		
		Bisutería					Х	Х			Х
		Esmaltes	Х			Х			Х		
		Aerosoles					Х				
		Pañales				х	х				х
		Chocolates				х					Х
A lima a mata a	00/	Helados						Х			Х
Alimentos	9%	Chicles				Х		Х			Х
		Harinas, mantequilla				Х					Х
		Etiquetas		Х						_	Х
Otros	6%	Ropa				Х					Х
Olios	0%	Juguetes				Х					Х
		Electrodomésticos									Х

Tabla A1.2 *Galpón de pinturas y resinas*

Tipo de Desecho	Característica	N° Unidades	Volumen (l)	Peso (kg)	Estado	Tipo de envase	Etiqueta CRETIB
Desechos comunes inorgánicos, tabaco	Filtros de cigarrillo (termofibra - lana mineral)	75	-	9,87	Sólido	Cartón	-
Resina epóxica	Contiene ácido bórico	379	-	21,1	Líquido	Metal	T, C
Resina epóxica	Revestimiento epóxico fenólico, contiene butanol, acetatot de n-butilo y metil-etil-cetona.	34	15,1	-	Líquido	Plástico	I,C,T
Resina epóxica	Contiene polímero epoxy, fenilmetanol, éster de alquil glicidilo.	128	2,83	-	Líquido	Metal	I,T
Resina epóxica	Contiene compuestos aromáticos	106	9,46	-	Líquido	Metal	I,T
Resina epóxica	Contiene butanol, poliaminadas.	28	18,9	-	Sólidos y semisólidos		Т
Plastificante Retardante para hormigones	Plastificante retardante formulado para hormigones, aditivo químico, su base química es polímeros.	2	-	200	Líquido	Plástico	-

Tipo de Desecho	Característica	N° Unidades	Volumen (I)	Peso (kg)	Estado	Tipo de envase	Etiqueta CRETIB
Sellador de emulsión de agua epoxi	Contiene poliuretano, polimero epoxy, propoxietanol, fenilmetanol.	48	3,78	-	Líquido	Plástico	Т
Pintura Inorgánica de Zinc	Contiene tolueno, etanol, polisilicato de etilo, silicato de etilo	10	15,1	-	Líquido	Metal	I,T
Pintura alquídica	Contiene minerales, polímero alquídico de soja, etilbencina, dióxido de titanio.	32	3,66	-	Líquido	Metal	С,Т
Tiñel "sucio"	Contiene acetato de etilo, alcoholes , rubber solvent.	3	-	200	Líquido	Plástico	I,C,T
Residuos varios	Base acuosa	4	-	180	Sólido	Plástico	С,Т
Bulk tanks	Ácido benceno dicarboxílico.	16	-	200	Sólidos y semisólidos	Plástico	T,I
Látex	Contiene agua, carbonato de calcio, polímero acrílico, polímero de vinilo, dióxido de titanio.	19	3,48	-	Líquido	Metal	С,Т

Tabla A1.3 *Galpón de químicos*

Tipo de Desecho	Característica	N° Unidades	Peso (kg)	Volumen (I)	Estado	Tipo de envase	Información Adicional	Etiqueta CRETIB
Químicos de laboratorios	Mezcla de químicos no identificados	12	-	4 - 1 000	Líquido	Vidrio	Mezcla con aserrín para incinerar	T,C
Químicos de industrias	Mezcla de químicos no identificados	4	-	40	Líquido	Plástico	Mezcla con aserrín para incinerar	T,C
Polvos químicos	Polvos no identificados	6	0,03	-	Líquido	Plástico	Se diluyen y realiza mezcla e incineración	T,C
Químicos de laboratorios	Mezcla de químicos no identificados, con pH elevado.	10	-	25	Líquido	Vidrio	Se realiza neutralización.	T,C
Químicos de industrias	Mezcla de químicos no identificados, con pH elevado.	4	-	25	Líquido	Plástico	Se realiza neutralización.	T,C
Aserrín	Material utilizado para mezclar con químicos	-	700	-	Sólido	bulk tanks	-	-
Productos automotrices	Mezcla de hidrocarburos (incoloro y negro)	12	-	220	Sólido	Plástico	No se ha realizado ningún procedimiento	T,C
Lavado de gases	Contiene ácidos	4	-	220	Líquido	Plástico	Se realiza mezcla con aserrín y se incinera	T,C
Viales	Utilizados para DQO	-	-	-	Líquido	Vidrio	Se encapsulan	T,C,B

Tabla A1.4 *Galpón de aceites y grasas*

Tipo de desecho	Características	N° Unidades	Peso (kg)	Estado	Tipo de envase	Código Producto HAZWAT	Información Adicional
pinturas, resinas que contengan	Lodos con olor a pinturas, de diferentes colores, alcohol sucio.	22	200	Líquido	Metal	38 559	Empresa de embalaje (PET)
		17	150-200	Semilíquido- pastosos	Metal	37 650	
		10	1 000	Pastosos	Bulk tanks	37 650	
		3	1 000	Semisólido- pastosos	Bulk tanks	35 670	Empresa que
I I nane acomnene	Olor a solventes, pinturas.	1	1 000	Semisólido- pastosos	Bulk tanks	37 829	opera en el sector dela minería y metales
		7	200	Sólidos	Metal		
		10	200	Semisólidos pastosos	Metal	37 711	
		5	1 000	Semisólidos pastos	Bulk tanks		

Tipo de desecho	Características	N° Unidades	Peso (kg)	Estado	Tipo de envase	Código Producto HAZWAT	Información Adicional
	-	2	200	Sólido	Metal		
	-	1	200	Pastosos	Metal	37 672	-
	-	7	200	Líquido	Metal		
	Apariencia a	4	300	Semisólido	Metal	07.704	-
	hidrocarburo	1	300	Líquido	Metal	37 784	-
	Elementos de minería y metales	23	200	Líquido	Metal	35 631	Fragancias suavicel, material caducado.
	Hidrocarburos	1	1000	Semilíquido	Bulk tanks	37 832	Mezclas
Aceites minerales y	Hidrocarburos	1	1000	Semilíquido	Bulk tanks	37 833	Mezclas
usados	-	1	1000	Líquido	Bulk tanks	37 571	
	-	2	1000	Semisólido- pastosos	Bulk tanks	37 824	Color negro con mal olor
	-	7	1000	Semisólido	Bulk tanks	- 36 603	
	-	3	200	Semisólido	Metal	30 003	
	-	10		Semisólido	Metal	37 682	
	-	6	200	Semisólido	Plástico	38 419	Lodos con tierra e hidrocarburos
	-	6	195	Semilíquido	Metal	4 612	Producto quimicos caducados o fuera de especificaciones
	-	18	100	Semisólido	Metal	37 776	-

Tipo de desecho	Características	N° Unidades	Peso (kg)	Estado	Tipo de envase	Código Producto HAZWAT	Información Adicional
Residuos de tintas, pinturas, resinas que contengan sustancias	Contienen aceites y/o grasas.	1	180	Semisólido	Metal	37 683	Productos caducados, sin especificaciones
Petroleum Distillates	-	8	180	Líquido	Metal	-	-
Acetato de etilo	-	9	180	Semilíquido	Metal	-	-
Aceites y grasas de contaminados	-	8	200	Líquido	Metal	-	-
Lodos de aceites	-	4	200	Semisólido	Metal	37 834	-

Tabla A1.5 *Galpón de refinería*s

Tipo de desecho	Característica	N° Unidades	Peso (kg)	Estado	Tipo de envase
Fondo de tanque de brea	Derivado de petróleo	8	200	Semisólido	Metal
Lupranato		10	200	Sólido	Metal
Aceite con hidrocarburos	Mezcla semisólida de líquido (aceite) y sólido (hidrocarburo-color oscuro).	1	200	Semisólido	Metal
Minerales		4	200	Sólido	Metal
Carbón activado	Alto contenido de azufre. Carbono (50%) Oxígeno (30%) Azufre (6%).	87	200	Sólido	Metal
Catalizadores	Bolas de cerámica granulares del óxido de aluminio, catalizador de la recuperación de azufre para la refinería de petróleo.	11	200	Sólido	Metal
Carbón activado y aceite	Compuestos azufrados, nitrogenados y aromáticos.	5	200	Semisólido	Metal
Carbón activado con mezcla rosada	Bolitas pequeñas y medianas, contiene permanganato de potasio.	4	200	Sólido	Metal
Catalizador 2	Bolas de cerámica granulares del óxido de aluminio, catalizador de la recuperación de azufre para la refinería de petróleo.	4	200	Sólido	Metal
EPP contaminado	Equipo de protección personal contaminada con hidrocartburos	-	150	Sólido	Funda
Lodos	Alta concentración de hidrocarburos, moléculas tóxicas.	226	200	Semisólido	Metal

ANEXO 2

Resultados de la cuantificación del Poder Calórico de los desechos seleccionados

ANEXO 2.1. DATOS OBTENIDOS DE LAS MUESTRAS DE EPP CON HIDROCARBUROS, PASTILLAS TRITURADAS, ASERRÍN Y ACEITE CONTAMINADO.

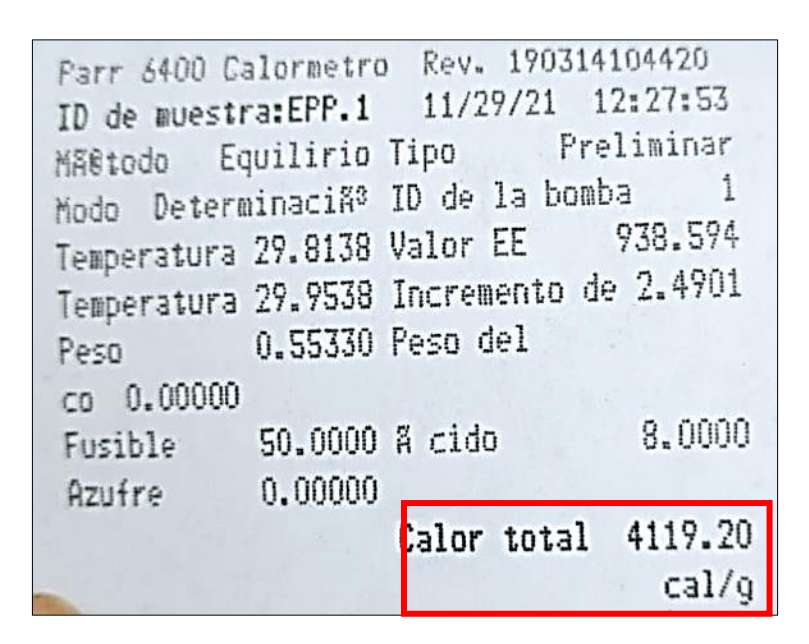


Figura 38. Datos obtenidos del ensayo de poder calórico del EPP 1

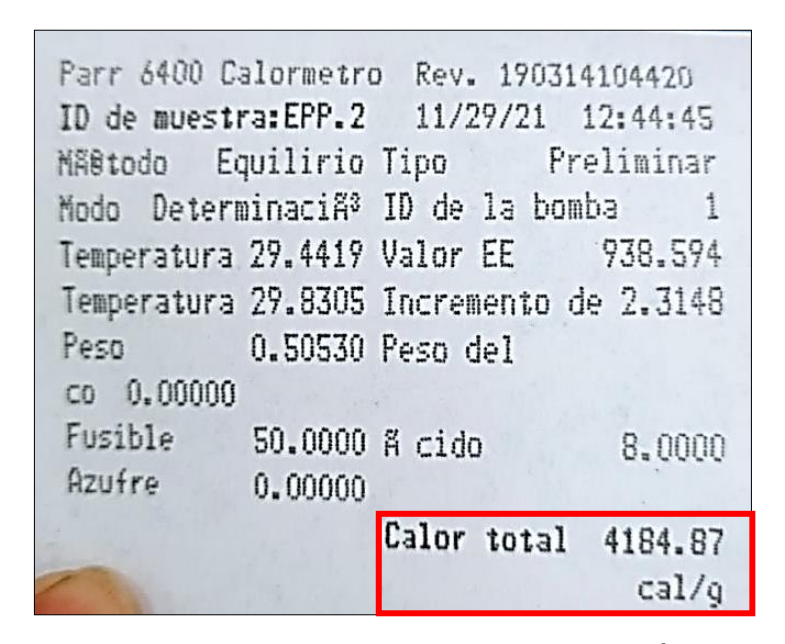


Figura 39. Datos obtenidos del ensayo de poder calórico del EPP 2

```
Parr 6400 Calormetro Rev. 190314104420
ID de muestra: EPP.3
                     11/29/21 13:03:42
MA8 todo
         Equilirio Tipo
                             Preliminar
Modo Determinacião ID de la bomba
Temperatura 29.4201 Valor EE
Temperatura 29.8555 Incremento de 2.3574
Peso
           0.51250 Peso del
co 0.00000
Fusible
           50.0000 A cido
                                 8.0000
Azufre
           0.00000
                   Calor total
                                4204.16
                                  cal/q
```

Figura 40. Datos obtenidos del ensayo de poder calórico del EPP 3

```
Parr 6400 Calormetro Rev. 190314104420
ID de muestra: PAS.1 11/29/21 11:07:36
         Equilirio Tipo
MAStodo
Modo Determinaciã ID de la bomba
Temperatura 29.5882 Valor EE
Temperatura 29.8140 Incremento de 2.8088
            0.51450 Peso del
Peso
co 0.00000
                                  8.0000
            50.0000 A cido
Fusible
            0.00000
Azufre
                                 5011.36
                    Calor total
                                   cal/q
```

Figura 41. Datos obtenidos del ensayo de poder calórico de las Pastillas 1

```
Parr 8400 Calormetro Rev. 190314104420
ID de muestra: PAS.2
                     11/29/21 11:26:14
                              Preliminar
         Equilirio Tipo
Mã@todo
Modo Determinaci㺠ID de la bomba
Temperatura 29.3002 Valor EE
                                 938.594
Temperatura 29.9453 Incremento de 2.7207
            0.51420 Peso del
Peso
co 0.00000
                                  8.0000
Fusible
            50.0000 A cido
Azufre
            0.00000
                                 4853.35
                    Calor total
                                   cal/q
```

Figura 42. Datos obtenidos del ensayo de poder calórico de las Pastillas 2

```
Parr 6400 Calormetro Rev. 190314104420
                     11/29/21 11:48:32
ID de muestra:PAS.3
                              Preliminar
         Equilirio Tipo
MARtodo
Modo Determinaciã ID de la bomba
Temperatura 29.4333 Valor EE
Temperatura 29.9330 Incremento de 2.8531
            0.51890 Peso del
Peso
co 0.00000
                                   8.0000
            50.0000 A cido
Fusible
            0.00000
Azufre
                                  5048.88
                    Calor total
                                    cal/g
```

Figura 43. Datos obtenidos del ensayo de poder calórico de las Pastillas 3

```
ID de muestra:
                    ASERRIN.B.1.2 12/08/
21 16:44:46
MARtodo
          Equilirio Tipo
Modo Determinacião ID de la bomba
Temperatura 29.6393 Valor EE
                                 938.594
Temperatura 29.8938 Incremento de 2.1340
Peso
            0.51600 Peso del
co 0.00000
Fusible
            50.0000 A cido
                                  8.0000
Azufre
            0.00000
                   Calor total
                                3769.23
                                   cal/g
```

Figura 44. Datos obtenidos del ensayo de poder calórico del Aserrín 2

```
ID de muestra:
                                    12/09/
                    ASERRIN.B.1.3
21 11:01:10
MAStodo
          Equilirio Tipo
                              Preliminar
Modo Determinacião ID de la bomba
Temperatura 29.6300 Valor EE
Temperatura 29.9224 Incremento de 2.1659
Peso
            0.55400 Peso del
co 0.00000
                                  8,0000
Fusible
            50.0000 % cido
Azufre
            0.00000
                                 3564.79
                    Calor total
                                   cal/g
```

Figura 45. Datos obtenidos del ensayo de poder calórico del Aserrín 3

```
ID de muestra:
                    ACEITE.V.1
                                 12/09/21
11:20:25
         Equilirio Tipo
                              Preliminar
MAStodo
Modo Determinaciã ID de la bomba
Temperatura 29.5263 Valor EE
                                 938.594
Temperatura 29.8984 Incremento de 5.2693
            0.51470 Peso del
Peso
co 0.00000
            50.0000 A cido
                                  8.0000
Fusible
            0.00000
Azufre
                                 9496.37
                    Calor total
```

Figura 46. Datos obtenidos del ensayo de poder calórico del Aceite 1

Temperatura 29.8575 Increme Peso 0.55880 Peso de co 0.00000	
co 0.00000 Fusible 50.0000 A cido	

Figura 47. Datos obtenidos del ensayo de poder calórico del Aceite 2

```
ID de muestra:
                   ACEITE.V.3
                                12/09/21
11:57:07
         Equilirio Tipo
                              Preliminar
MAGtodo
Modo Determinaci㺠ID de la bomba
Temperatura 29.7006 Valor EE
Temperatura 29.9522 Incremento de 5.5149
            0.53860 Peso del
co 0.00000
            50.0000 A cido
                                  8.0000
Fusible
            0.00000
 Azufre
                    Calor total
                                 9502.85
```

Figura 48. Datos obtenidos del ensayo de poder calórico del Aceite 3

ANEXO 3

Reportes del análisis de espectroscopia de infrarrojo con transformadas de Fourier

ANEXO 3.1. DETERMINACIÓN DE GRUPOS FUNCIONALES EN LA MUESTRA DE PASTILLAS TRITURADAS.

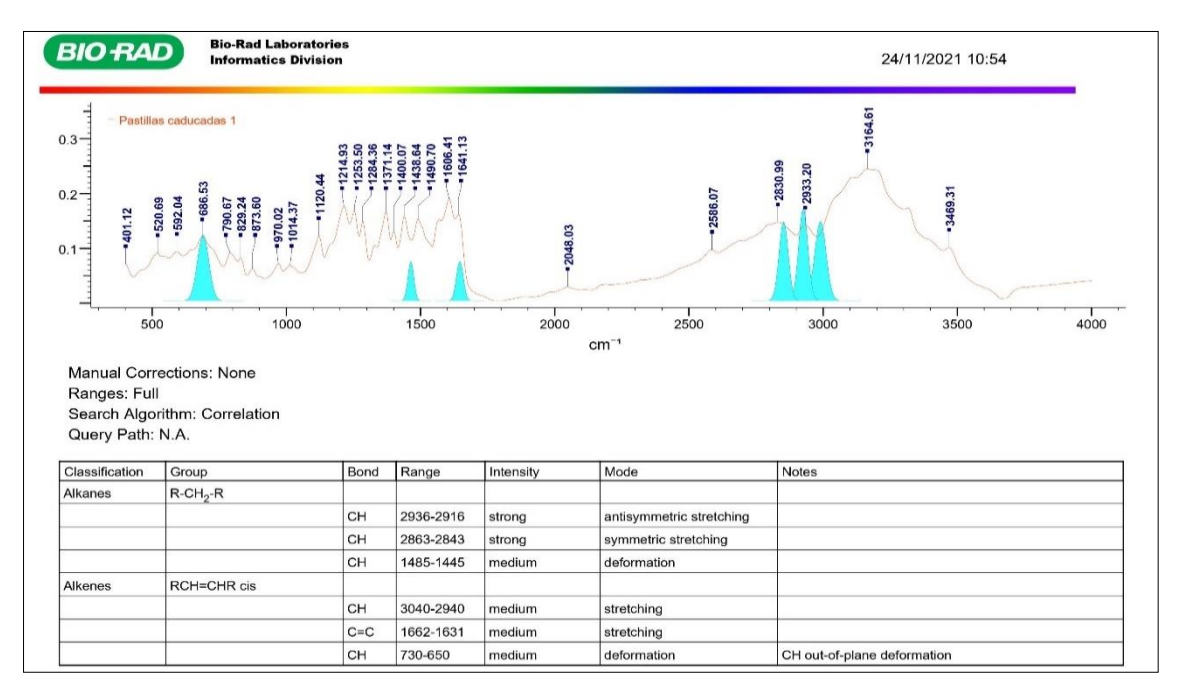


Figura 49. Clasificación de los grupos funcionales Alcanos y Alquenos

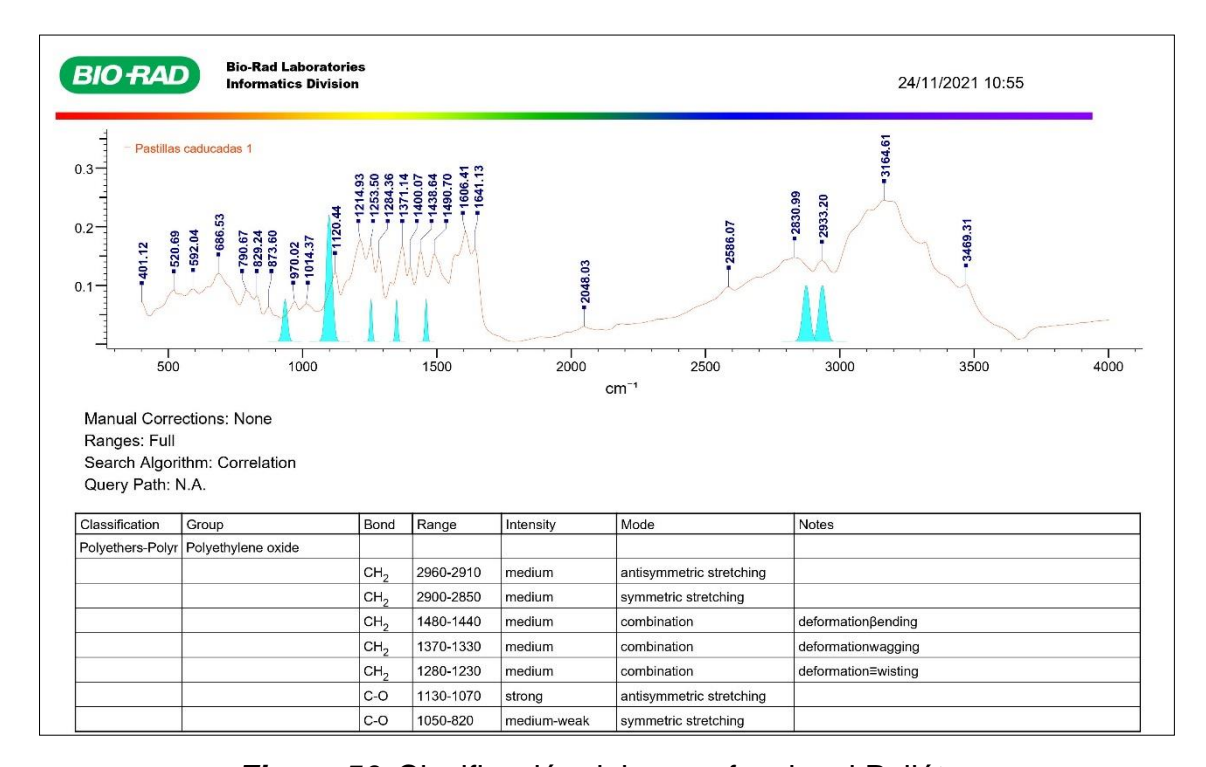


Figura 50. Clasificación del grupo funcional Poliéteres

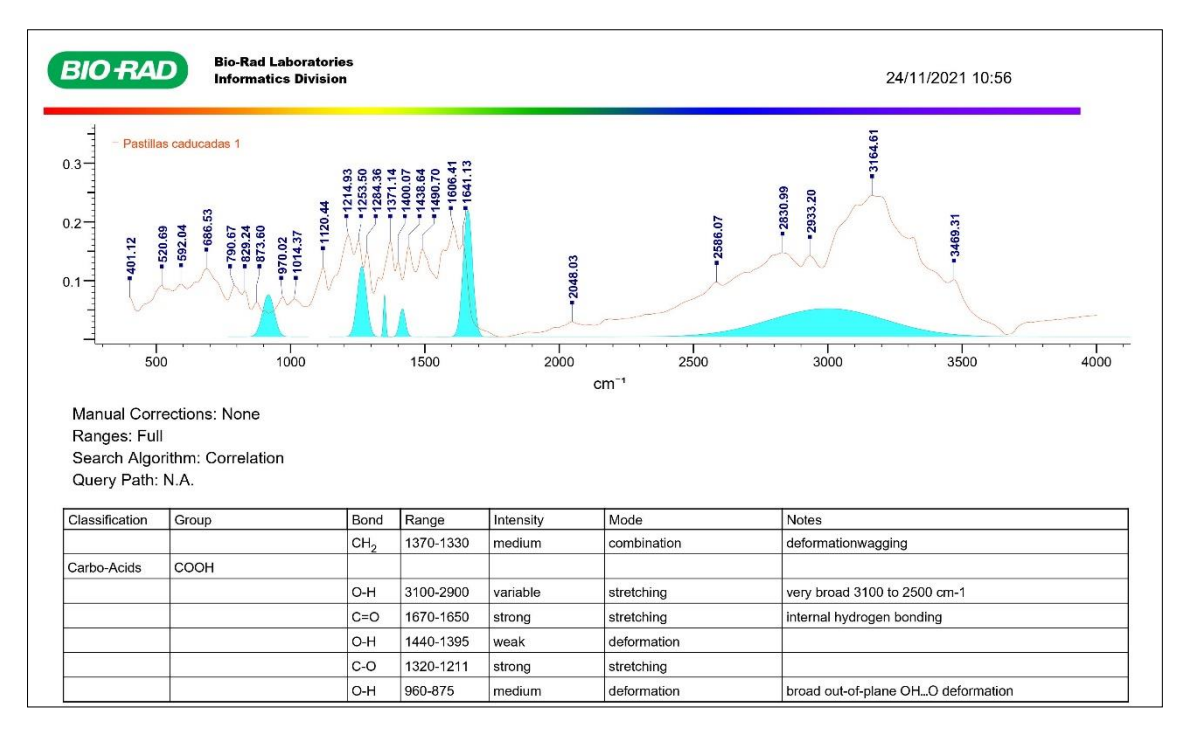


Figura 51. Identificación del grupo funcional Carbo-ácidos

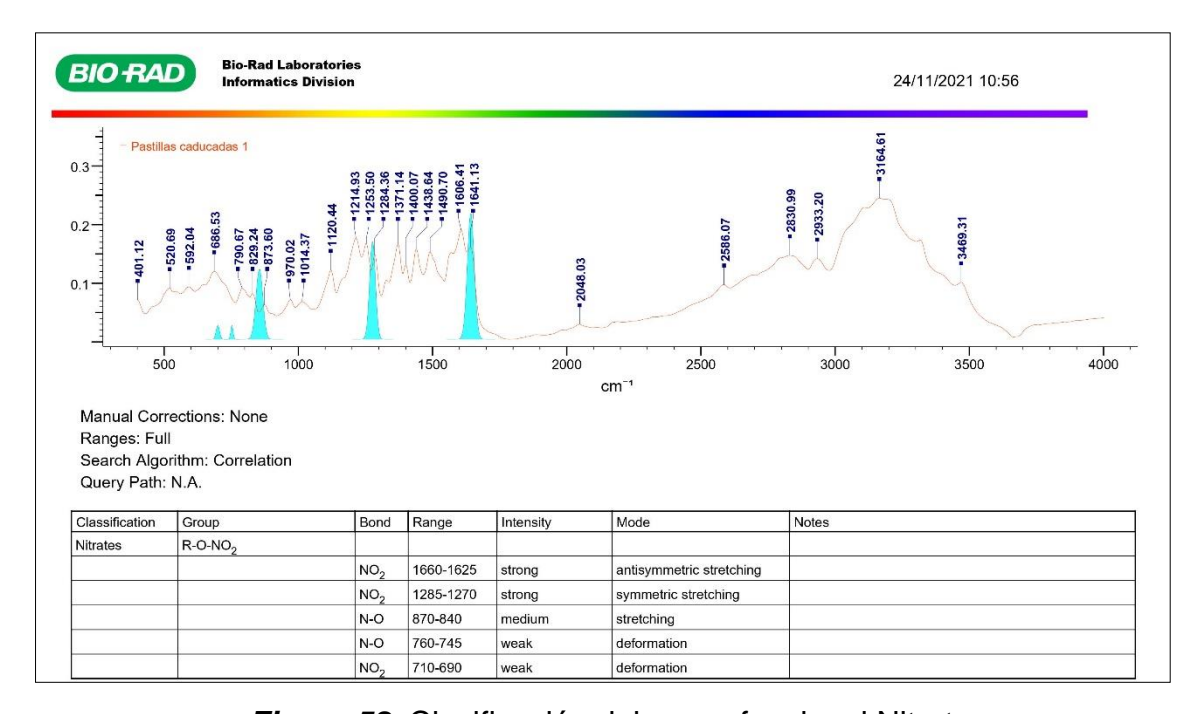


Figura 52. Clasificación del grupo funcional Nitratos

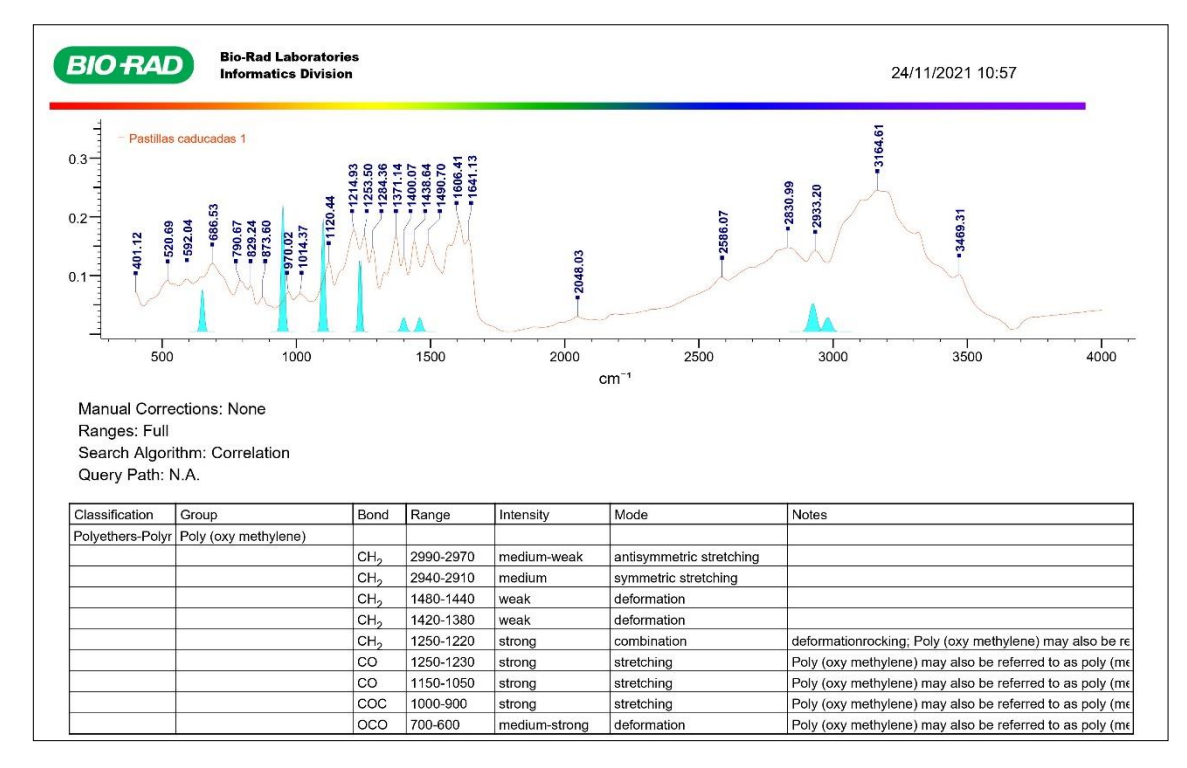


Figura 53. Clasificación del grupo funcional Poliéteres

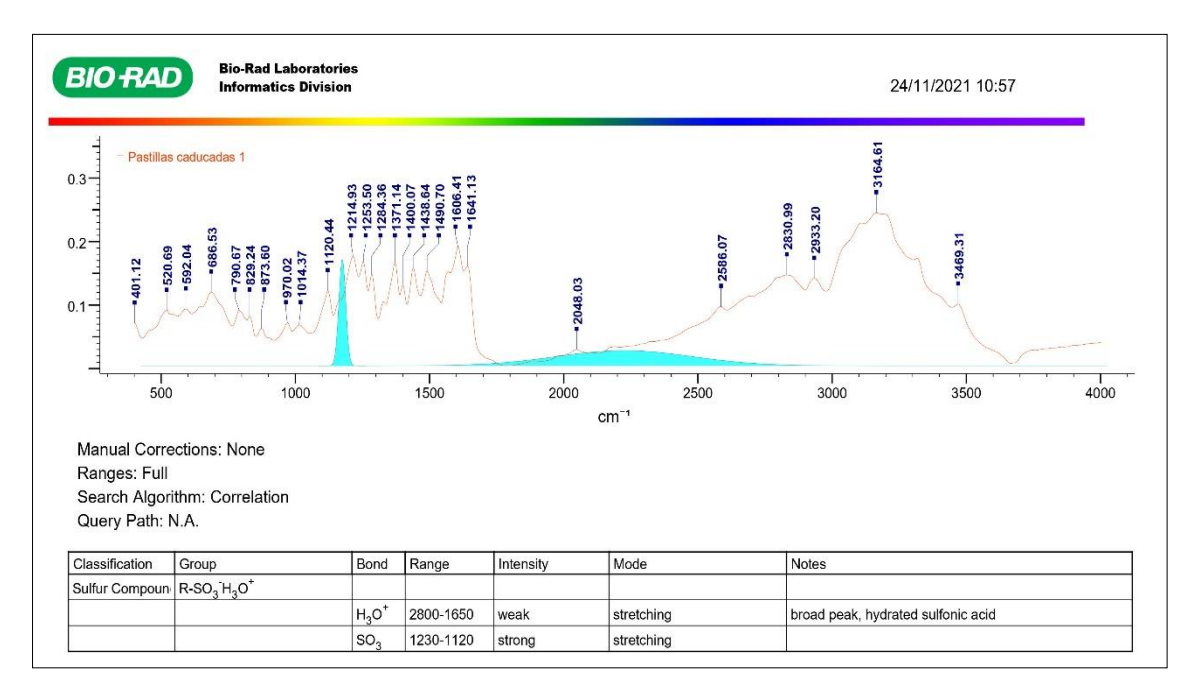


Figura 54. Clasificación del grupo funcional Compuestos de Azufre

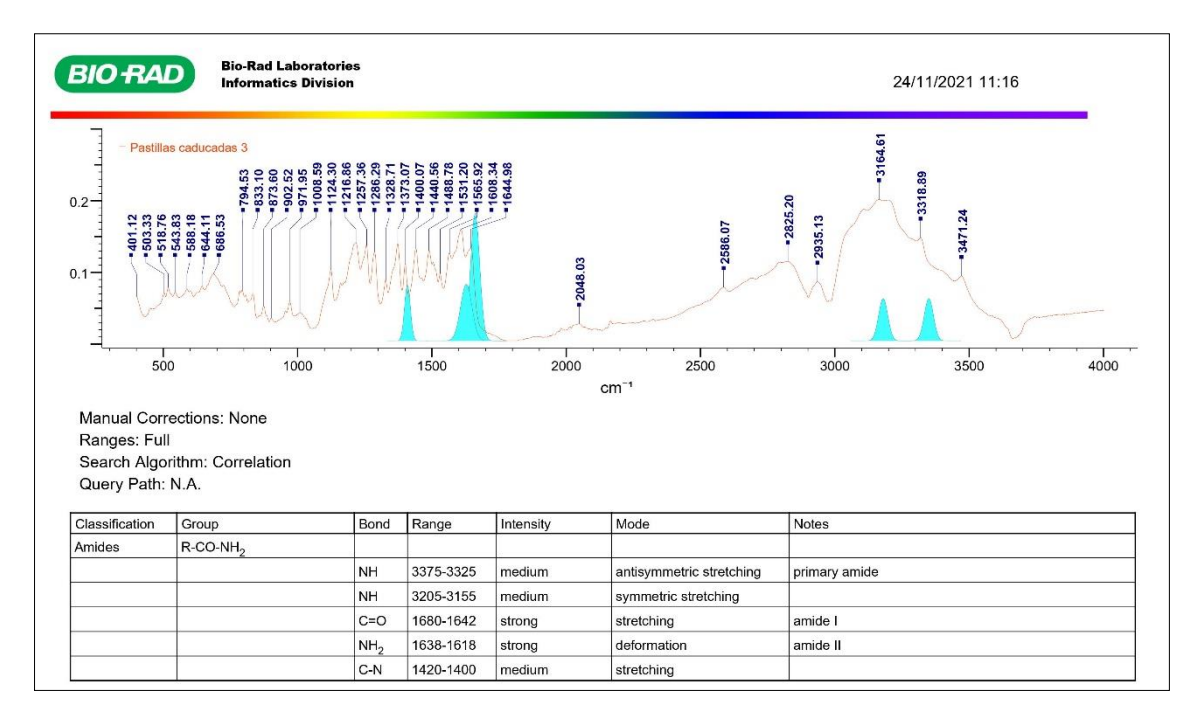


Figura 55. Clasificación del grupo funcional Amidas

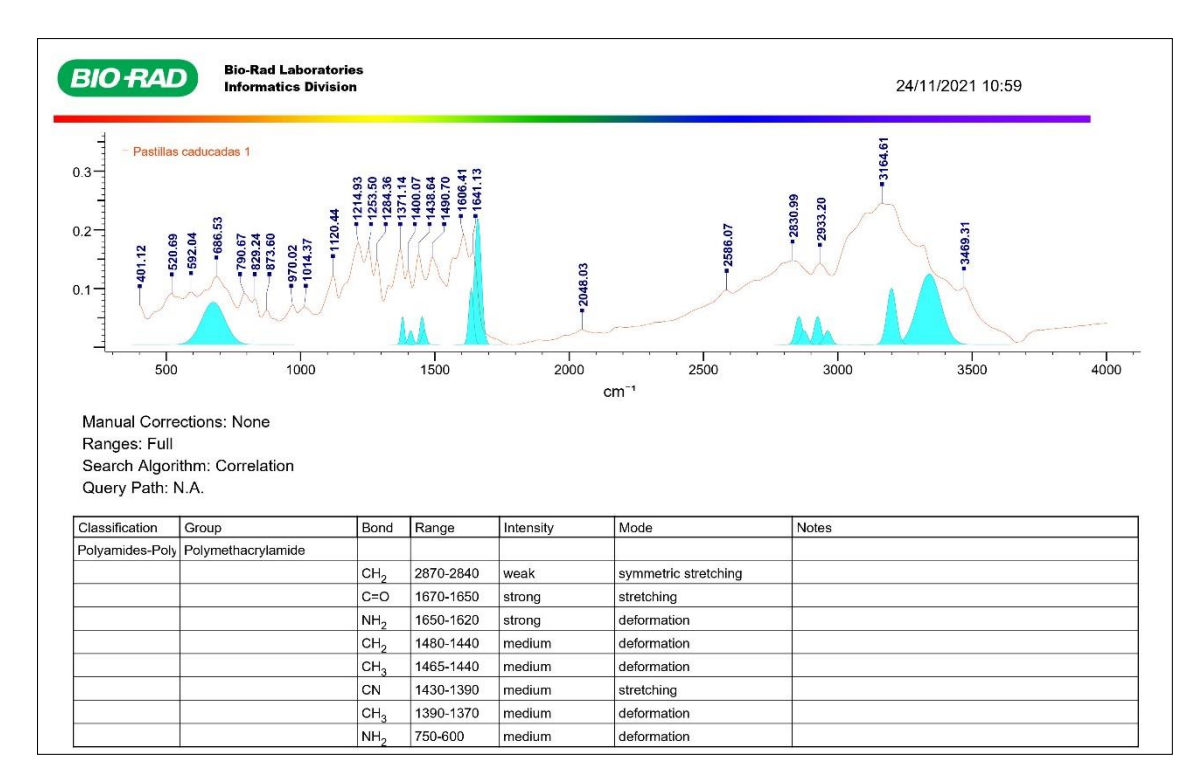


Figura 56. Clasificación del grupo funcional Poliamidas

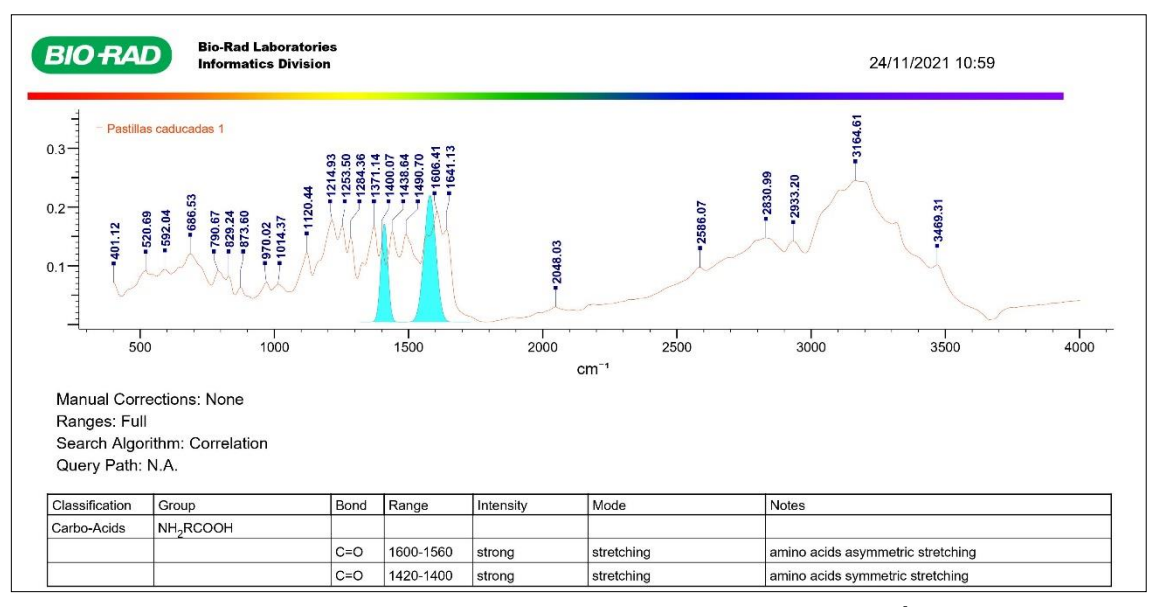


Figura 57. Clasificación del grupo funcional Carbo-Ácidos

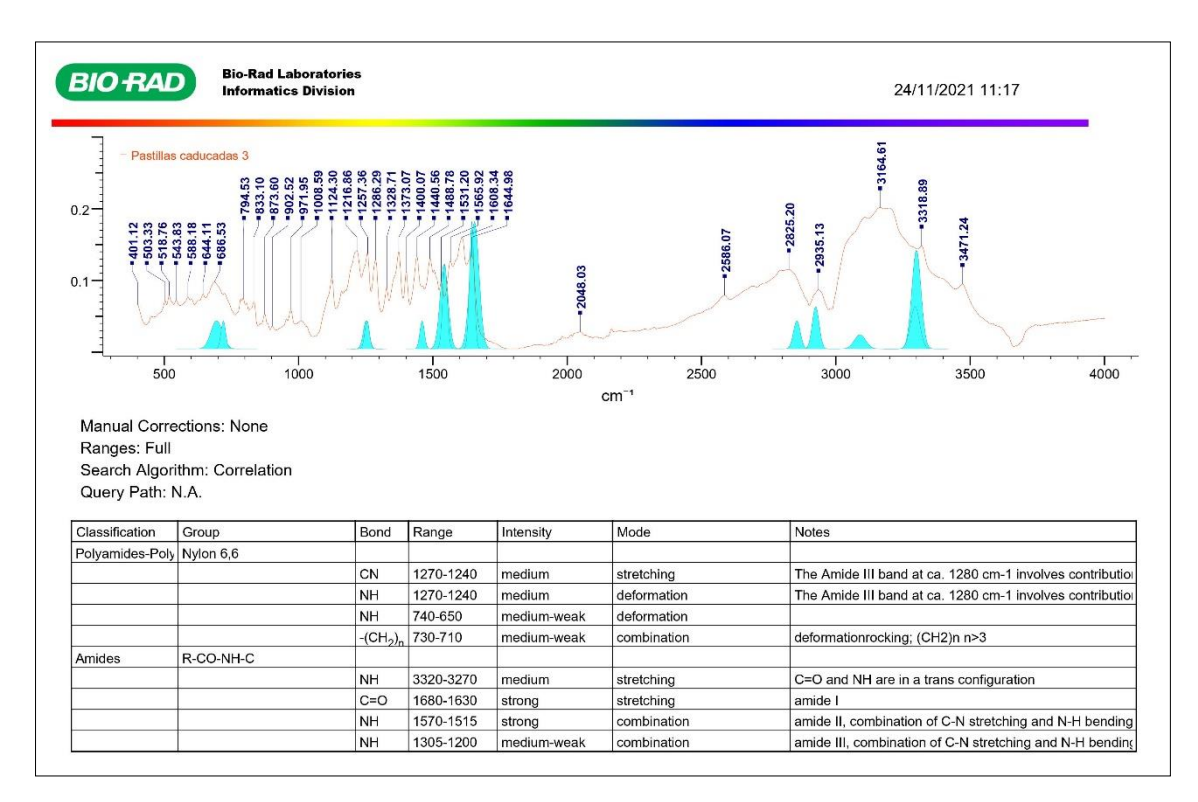


Figura 58. Clasificación del grupo funcional Amidas y Poliamidas

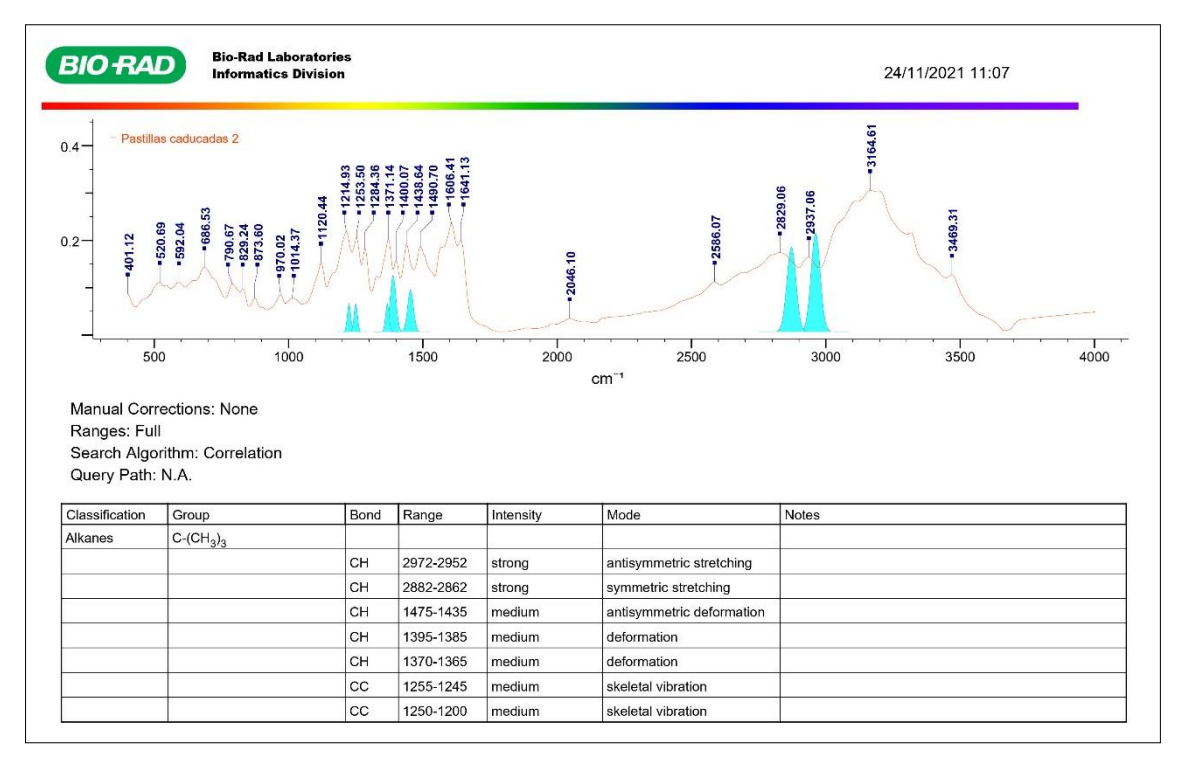


Figura 59. Clasificación del grupo funcional Alcanos

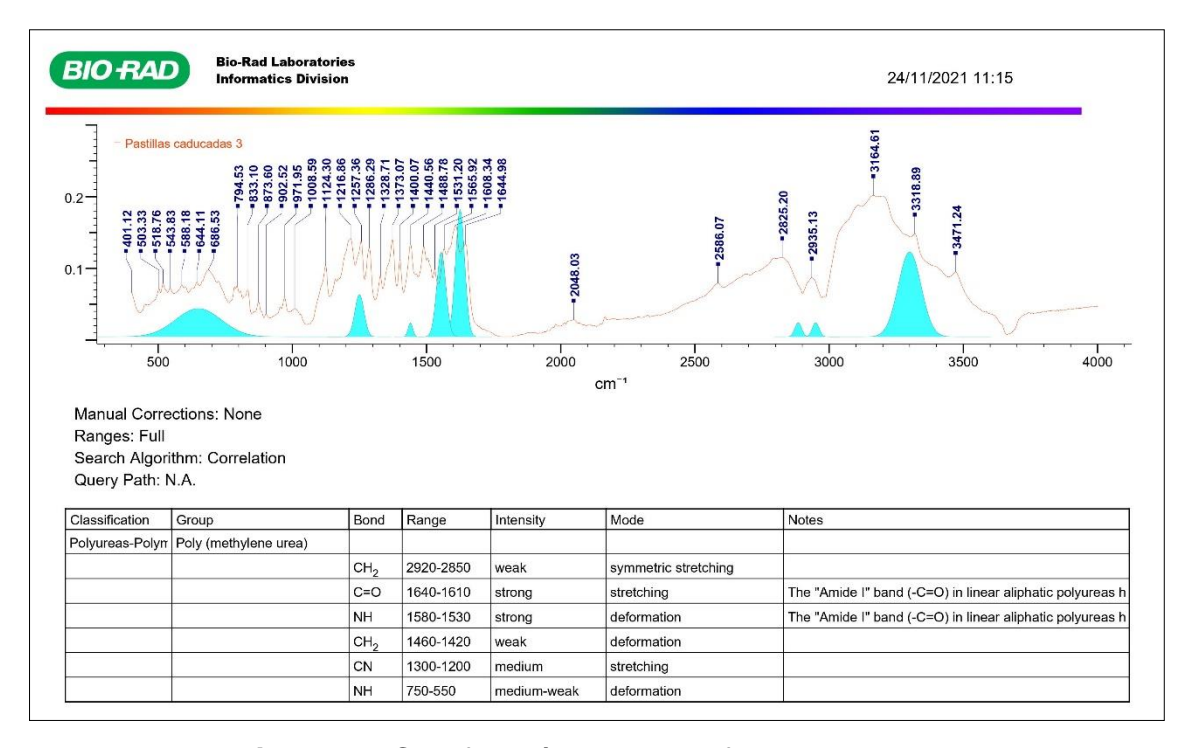


Figura 60. Clasificación del grupo funcional Poliureas

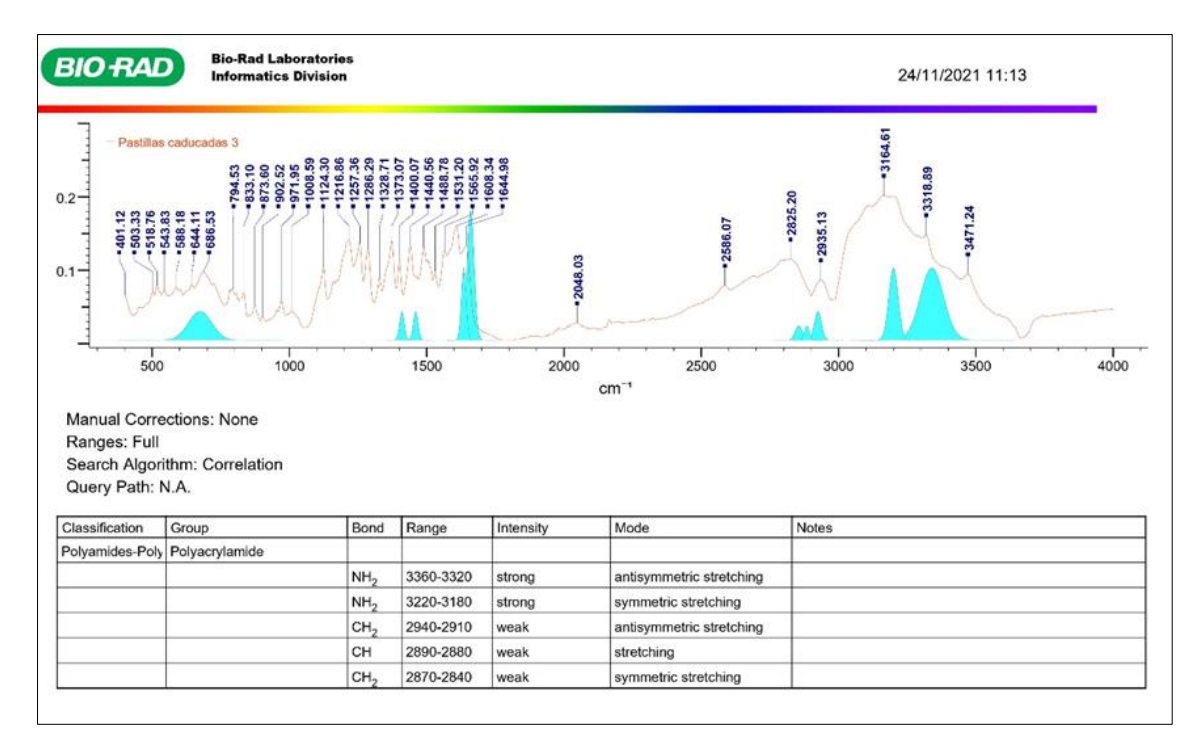


Figura 61. Clasificación del grupo funcional Poliamidas

ANEXO 3.2. GRÁFICAS DE CORRELACIÓN DE LAS TRES CORRIDAS DEL ANÁLISIS FTIR.

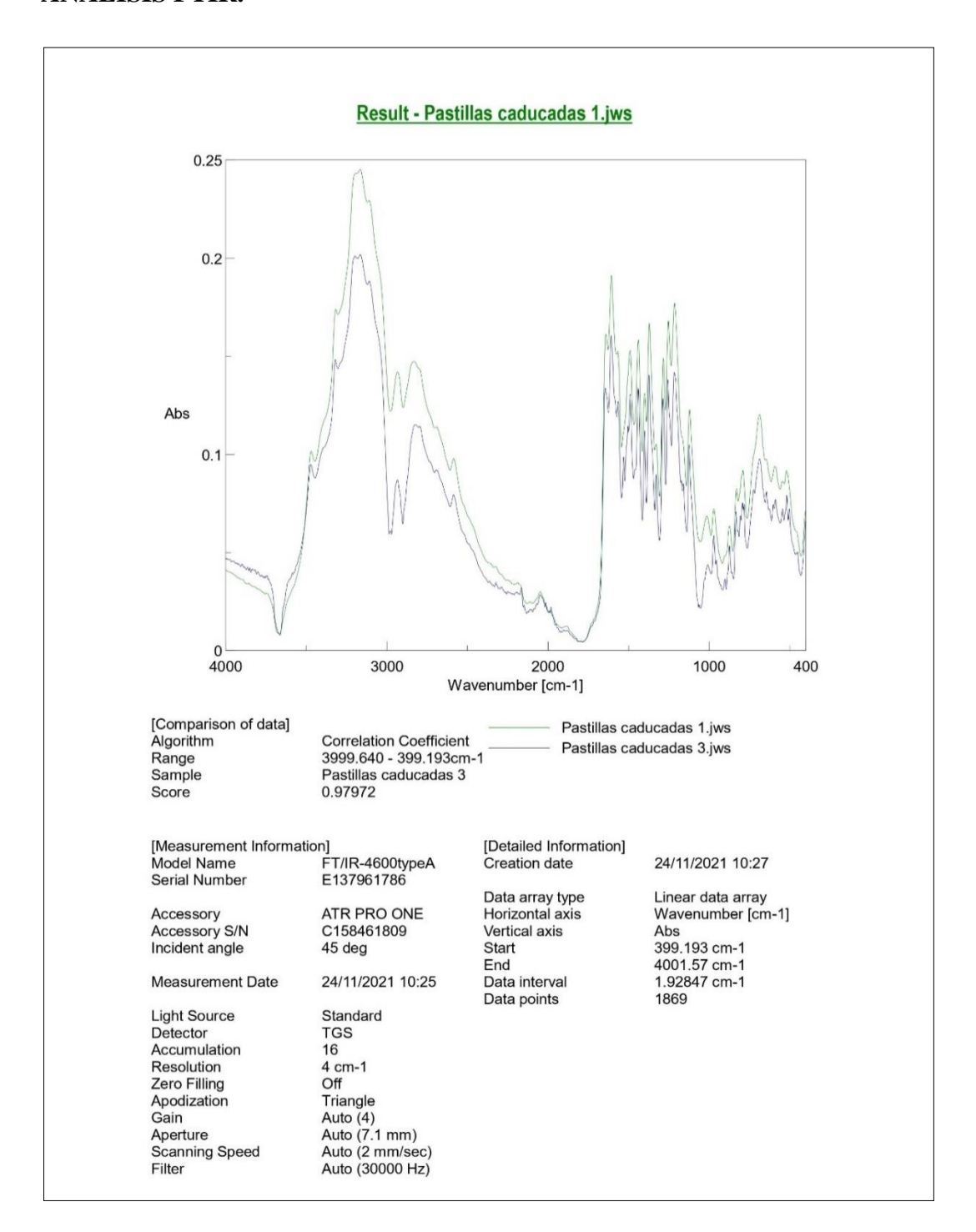


Figura 62. Correlación del análisis de la muestra Pastillas caducadas_1 vs. Pastillas caducadas_3.

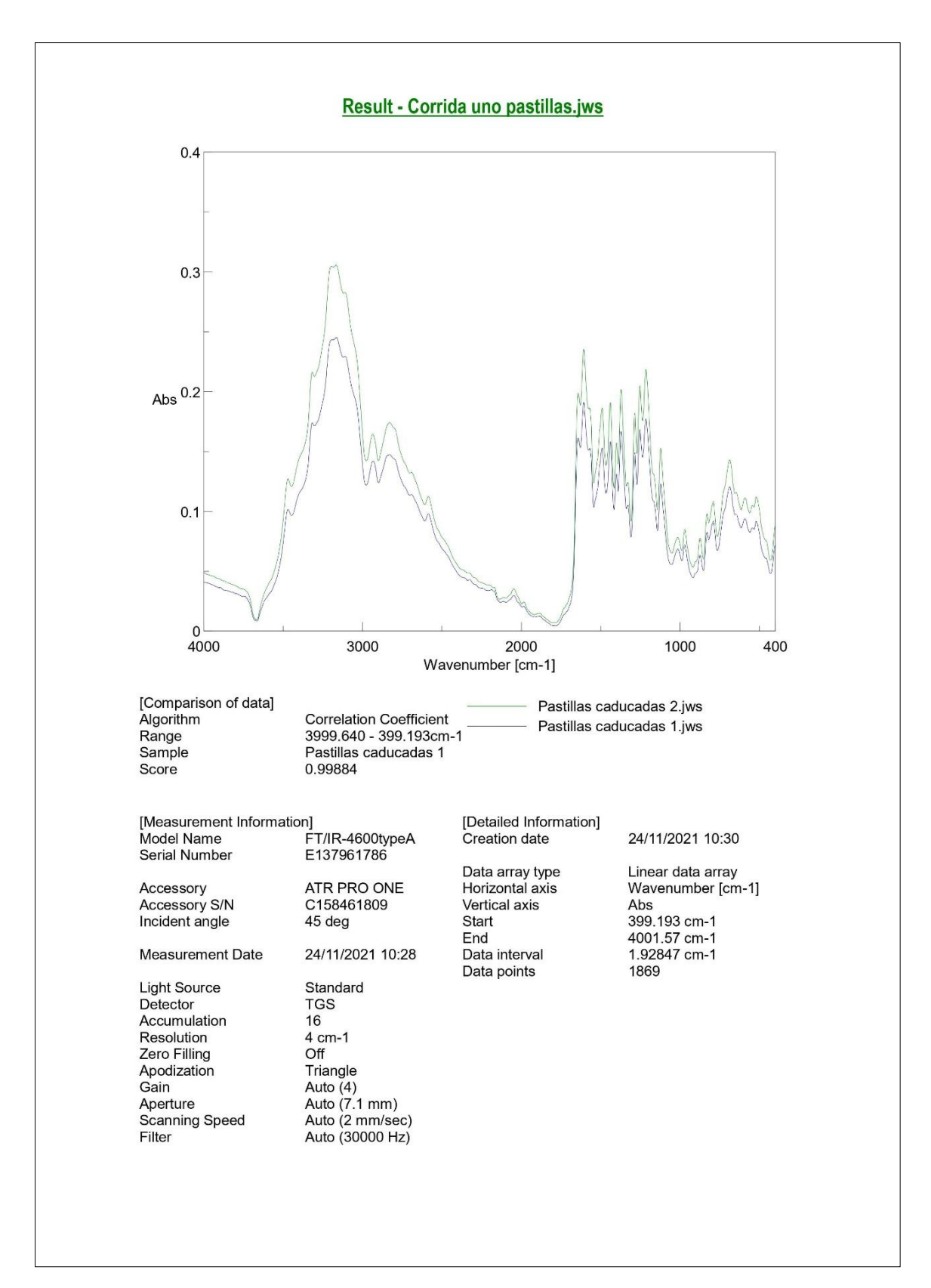


Figura 63. Correlación del análisis de la muestra Pastillas caducadas_2 vs. Pastillas caducadas_1.

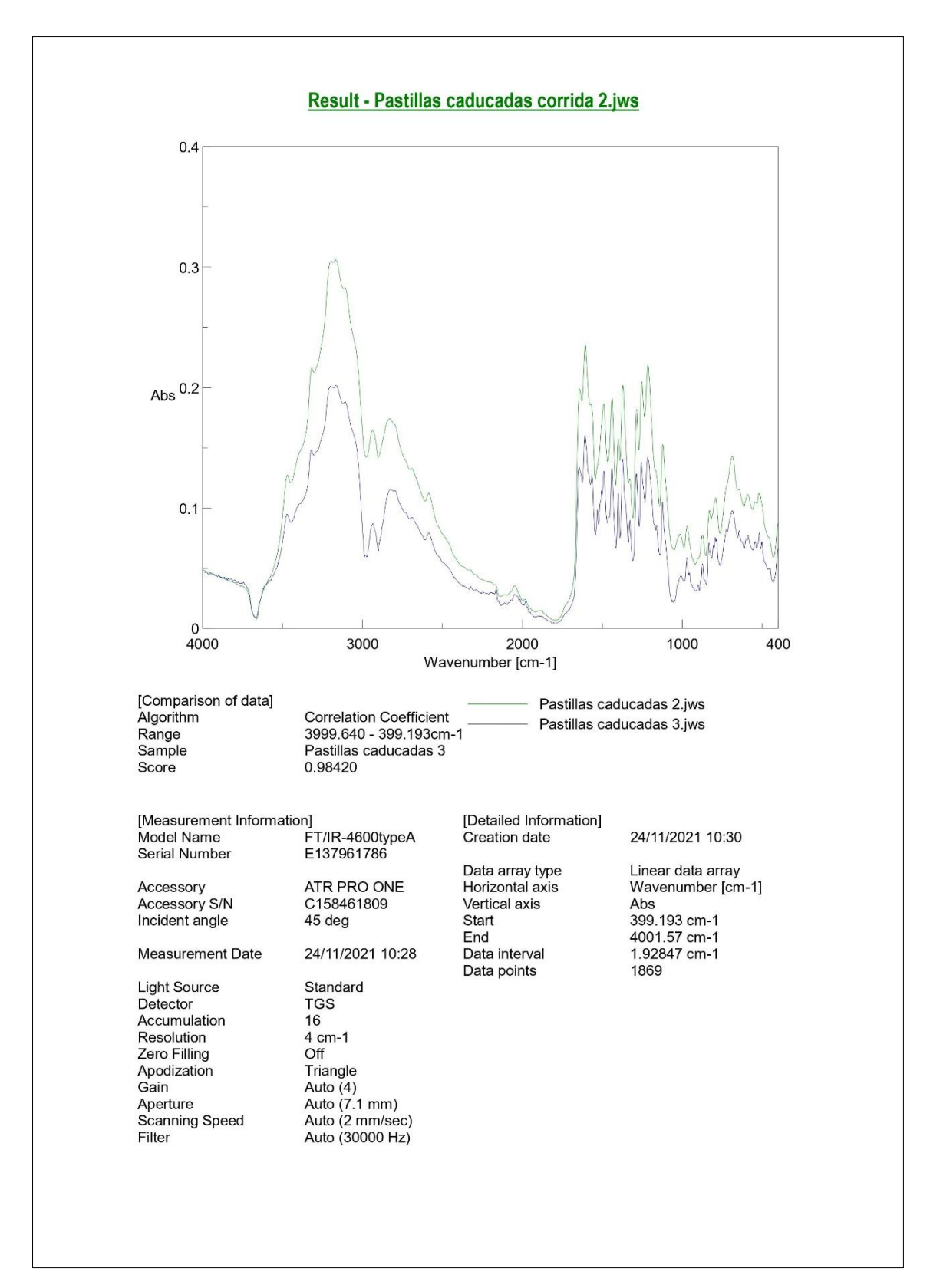


Figura 64. Correlación del análisis de la muestra Pastillas caducadas_2 vs. Pastillas caducadas_3.

ANEXO 4

Datos obtenidos del diseño experimental

ANEXO 4.1. DATOS ESTABLECIDOS MEDIANTE EL DISEÑO EXPERIMENTAL DE LOS PORCENTAJES DE LAS DIFERENTES CATEGORÍAS DE DESECHO EN LOS 10 MENÚS.

Tabla A4.1 *Menús propuestos para el diseño experimental.*

	M	1	М	12	N	13	N	14	N	/ 15
Categorías	%	g	%	g	%	g	%	g	%	g
EPP contaminado	0,80	0,20	0,70	0,18	0,70	0,18	0,70	0,18	0,75	0,19
Envases plásticos triturados	2,40	0,60	2,0	0,50	2,30	0,58	2,50	0,63	2,00	0,50
Aserrín	4,00	1,00	10,0	2,50	10,00	2,50	5,00	1,25	12,00	3,00
Aceite contaminado	65,00	16,25	60,0	15,00	65,00	16,25	68,00	17,00	58,00	14,50
Pastillas trituradas	7,00	1,75	7,5	1,88	7,20	1,80	6,50	1,63	5,75	1,44
Biopeligrosos esterilizados	9,00	2,25	8,5	2,13	8,00	2,00	7,50	1,88	7,00	1,75
Resina epóxica	9,40	2,35	9,3	2,33	5,00	1,25	8,00	2,00	12,00	3,00
Ropa	2,4	0,60	2,0	0,50	1,80	0,45	1,80	0,45	2,50	0,63

Continuación de Tabla A4.1, menús propuestos para el diseño experimental.

	M	6	М	7	N	18	N	19	N	110
Categorías	%	g	%	g	%	g	%	g	%	g
EPP contaminado	0,80	0,20	0,70	0,18	0,70	0,18	0,70	0,18	0,75	0,19
Envases plásticos triturados	2,50	0,63	2,1	0,53	2,20	0,55	2,50	0,63	2,00	0,50
Aserrín	9,00	2,25	8,6	2,15	6,00	1,50	6,00	1,50	4,00	1,00
Aceite contaminado	69,00	17,25	71,0	17,75	69,00	17,25	67,00	16,75	61,00	15,25
Pastillas trituradas	5,20	1,30	5,6	1,40	7,20	1,80	6,50	1,63	5,75	1,44
Biopeligrosos esterilizados	8,00	2,00	5,0	1,25	8,00	2,00	7,50	1,88	7,00	1,75
Resina epóxica	4,00	1,00	5,0	1,25	5,00	1,25	8,00	2,00	17,00	4,25
Ropa	1,5	0,38	2,0	0,50	1,90	0,48	1,80	0,45	2,50	0,63

ANEXO 4.2. TRATAMIENTO DE DATOS ANOVA OBTENIDO EN MINITAB

HOJA DE TRABAJO 1

ANOVA de un solo factor: % ceniza vs. Menús

Método

Hipótesis nula Todas las medias son iguales Hipótesis alterna No todas las medias son iguales

Nivel de significancia $\alpha = 0.05$

Se presupuso igualdad de varianzas para el análisis.

Información del factor

Factor	Niveles Valores
Menús	10 Menú 1; Menú 2; Menú 3; Menú 4; Menú 5; Menú 6; Menú 7; Menú 8; Menú 9;
	Menú_10

Análisis de Varianza

Fuente	GL	SC Ajust.	MC Ajust.	Valor F	Valor p
Menús	9	109,39	12,155	8,50	0,000
Error	20	28,61	1,431		
Total	29	138.01			

Resumen del modelo

		R-cuad.	R-cuad.
S	R-cuad.	(ajustado)	(pred)
1,19610	79,27%	69,94%	53,35%

Medias

Menús	Ν	Media	Desv.Est.	IC de 95%
Menú 1	3	6,570	0,771	(5,130; 8,010)
Menú 2	3	9,133	1,495	(7,693; 10,574)
Menú 3	3	6,507	1,401	(5,066; 7,947)
Menú 4	3	5,787	0,756	(4,346; 7,227)
Menú 5	3	10,89	2,34	(9,45; 12,33)
Menú 6	3	5,190	0,966	(3,750; 6,630)
Menú 7	3	6,413	0,977	(4,973; 7,854)
Menú 8	3	6,173	0,531	(4,733; 7,614)
Menú 9	3	6,833	0,769	(5,393; 8,274)
Menú_10	3	10,483	0,852	(9,043; 11,924)

Desv.Est. agrupada = 1,19610

ANEXO 5

Toma de muestras de cloro

Año: 1984



NTP 115: Toma de muestras de cloro

Standard sampling method for Chlorine Norme d'échantillonnage pour le chlore



Las NTP son guías de buenas prácticas. Sus indicaciones no son obligatorias salvo que estén recogidas en una disposición normativa vigente. A efectos de valorar la pertinencia de las recomendaciones contenidas en una NTP concreta es conveniente tener en cuenta su fecha de edición.

Redactor:

Antonio Martí Veciana Ldo. en Ciencias Químicas

CENTRO DE INVESTIGACIÓN Y ASISTENCIA TÉCNICA - BARCELONA

Esta norma para la toma de muestras de cloro -en donde se utiliza como soporte de captación a una solución absorbente- se completa con la norma general para la toma de muestras de contaminantes con impingers (NTP nº 22.82).

Objetivo

Establecer la metodología correspondiente a la toma, transporte y conservación de muestras de cloro.

Indicar el fundamento del método analítico, su campo de aplicación y sus limitaciones.

Fundamento método analítico

Un volumen de aire conocido se borbotea a través de una solución ácida de ioduro potásico.

El cloro presente, oxida al ioduro potásico y libera una cantidad estequiométrica de iodo.

La coloración del iodo liberado en la solución absorbente, se mide con un espectrofotómetro UV-Visible o Colorimetro a 352 mm.

Campo de aplicación

Abarca el área de la higiene industrial en lo que respecta a la captación y posterior determinación de cloro.

Permite determinar concentraciones de cloro entre 0,25 y 3,5 mg/m³ (0,1 - 1,1 ppm), para una miestra de 15 litros de aire.

El límite de detección estimado es de 0,09 mg/m³ de cloro, para el volumen de muestreo indicado.

Inconvenientes y limitaciones

Otros oxidantes, tales como: ozono, dióxido de cloro, óxido de nitrógeno, etc., también liberan iodo de la solución absorbente (interferencia positiva).

Sin embargo, no es frecuente que estos fases oxidantes se presenten en los ambientes de trabajo simultáneamente con el cloro, a excepción del dióxido de cloro. Estas interferencias pueden soslayarse, determinando conjuntamente el cloro y dióxido de cloro, e individualmente el dióxido de cloro.

Gases reductores, tales como: dióxido de azufre, mercaptanos, sulfuro de hidrógeno, etc., pueden reducir el iodo liberado (interferencia negativa).

Estas interferencias pueden eliminarse, borboteando el aire a través de una solución de permanganato potásico, previamente a la toma de muestra (Solución de permanganato potásico al 0,3 %(p/v) en ác. H₂S0₄ 1N).

Figura 65. Guía de tomas de muestra de HCI

La solución absorbente ácida es conveniente prepararla con la mínima antelación posible a la toma de muestras. El análisis de las muestras no debe demorarse más de lo imprescindible.

Trampa

Se utiliza un impinger vacío, colocado en serie con los dos impingers de captación e intercalado entre estos y la bomba, para protección de la misma.

Solución absorbente A (pH 6.8)

Se prepara disolviendo 13,6 g de fosfato monopotásico; 14,2 g de fosfato disódico anh. (ó 35,8 g de fosfato disódico dodecahidratado); y 10 g de ioduro potásico, en agua destilada, completándose hasta 1 litro.

Esta solución es estable durante varios meses, conservada en frasco de color ámbar y en nevera.

Solución absorbente B (pH 3.5)

Se prepara diluyendo 10 ml de ácido acético gracial p.a. 96%, hasta 100 ml con solución absorbente A (pH 6,8) Esta solución debe prepararse con la mínima antelación posible a la toma de muestra y guardarse en frasco ámbar, al abrigo de la luz y preferentemente en nevera, en tanto no sea utilizada.

Siempre que se le aprecie una ligera tonalidad amarilla (fácilmente detectable con un espectrofotómetro UV- Visible a 352 nm) deberá desecharse.

Solución de permanganato potásico

Se disuelven 3,2 g de permanganato potásico en ácido sulfúrico 1 N. completándose hasta 1 litro.

Condiciones de muestreo

La muestra de aire se toma a un caudal de 1 lpm.

El volumen de aire recomendado es de 15 litros (volumen máximo 30 litros).

El tiempo de muestreo no deberá sobrepasar los 30 minutos, en ningún caso.

Cuando se sospeche que la concentración de cloro es elevada; o bien se aprecie que en el transcurso de la captación la solución absorbente se colorea sustancialmente de amarillo, deberá reducirse él volumen de muestreo.

Equipo y material de muestreo

Bomba de aspiración

 $Bomba\ para\ muestreo\ personal\ y\ ambiental,\ cuyo\ caudal\ se\ mantenga\ dentro\ del\ valor\ determinado,\ con\ una\ exactitud\ de\ \pm 5\%.$

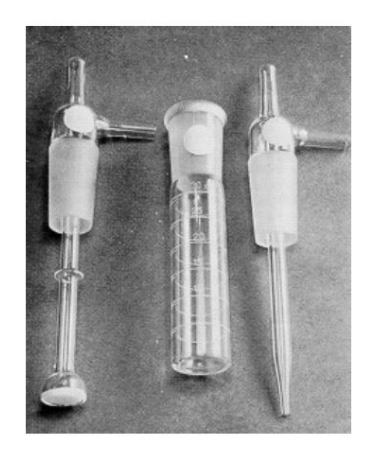
La calibración de la bomba debe realizarse con el mismo tipo de soporte o unidad de captación con el fin de que la pérdida de carga sea similar a la que se tendrá en el muestreo.

Unidad de captación

Se conectan dos impingers en serie, el primero de los cuales provisto de borboteador fritado.

En cada uno de ellos se colocan 15 ml de la solución absorbente.

En los casos en que se prevea la presencia de reductores, se colocará un borboteador previo al sistema de muestreo conteniendo 15 ml de solución de permanganato potásico.





Equipo de muestras



Toma de muestras personal

Procedimiento de muestreo

Colocar 15 ml de solución absorbente en cada uno de los dos impingers destinados al muestreo.

En los casos en que se prevea la presencia de reductores, se colocará un borboteador previo al sistema de muestreo conteniendo 15 ml de solución de permanganato potásico.

Situar los impingers y la trampa en soportes adecuados, y conectar adecuadamente sus salidas y entradas entre sí, mediante tubo flexible de silicona.

Colocar el tren de captación en la parte anterior de la cintura el operario a muestrear; fijándolo a un cinturón mediante un sistema de sujección adecuado (pinza, funda o soporte, etc.)

Colocar la bomba de aspiración convenientemente calibrada, en la parte posterior de la cintura del operario a muestrear, fijándola al cinturón.

Conectar la bomba con la salida del tren de impingers, mediante un tubo de plástico de longitud adecuada.

Poner la bomba en funcionamiento e iniciar la captación de la muestra. El aire a muestrear no debe pasar por ningún tubo antes de su entrada al impinger.

Figura 65. Continuación de guía de tomas de muestra de HCI

Vigilar, periódicamente durante la captación, que la bomba funcione correctamente. En el caso de que se aprecien anomalías o variaciones sobre el caudal inicial, volver a recalibrar la bomba o proceder a anular la muestra.

Transcurrido el tiempo de muestreo predeterminado, parar el funcionamiento de la bomba y anotar los datos siguientes: tiempo de muestreo, caudal, temperatura ambiente y presión (si no se puede averiguar la presión, se estimará la altitud de la zona).

Preparar para cada lote de muestras un "impinger blanco". Este impinger, sellado perfectamente, contendrá la misma solución absorbente y el mismo volumen que las muestras, y habrá seguido sus mismas manipulaciones, exceptuando el paso de aire a su través.

Etiquetarlo con la palabra Blanco.



Transporte y conservación

Los impingers conteniendo las muestras, así como el correspondiente blanco, se trasladarán en posición vertical con sus aberturas de entrada y salida perfectamente tapadas para evitar pérdidas y contaminaciones. Es muy importante preservarlos de la acción de la luz.

Siempre que se opte por transferir las soluciones muestra a frascos de vidrio ámbar con tapón roscado, se lavará cada impinger dos veces con 1 ó 2 ml de solución absorbente, agrupándose los lavados en sus frascos respectivos. Con el impinger Blanco se operará de idéntica forma

Identificar cada muestra de forma clara, especificando si se trata del 1er o 2º impinger, cuando la captación haya sido en serie.

Las muestras contenidas bien en frascos o impingers, deben enviarse o transportarse en recipientes adecuados para prevenir la rotura de sus envases, así como la acción de la luz solar.

Las muestras deben remitirse al laboratorio, con la máxima rapidez posible.

Debido a la facilidad con que puede verse afectada la concentración del iodo liberado, no conviene demorar su análisis más de lo imprescindible; almacenándose en nevera en tanto no sean analizadas.

Es aconsejable que muestras y blanco se protejan de la luz (por ejemplo, con papael de aluminio o similar).

Tanto la acción de la luz como la elevación de temperatura, favorecen las pérdidas del iodo liberado en la captación del cloro (error negativo); así como la liberación espontánea de iodo en la solución absorbente (error positivo).



Bibliografía

(1) SERVICIO SOCIAL DE HIGIENE Y SEGURIDAD DEL TRABAJO **Método para la determinación de cloro en aire** Madrid. SSHISET. Norma HA-222, Diciembre, 1976.

Figura 65. Continuación de guía de tomas de muestra de HCl Fuente: NTP. 115

ANEXO 6

Informes de monitoreo de la emisión de gases en el incinerador de la prueba piloto

ANEXO 6.1. INFORME DE MONITOREO REALIZADO DESPUÉS DEL **LAVADOR DE GASES**



ESCUELA POLITÉCNICA NACIONAL







INFORME DE RESULTADOS DE EMISIONES A LA ATMÓSFERA

		No. INFORME:	IRG-22002		
	INFORMACIÓN GENERAL				
EMPRESA:	HAZWAT CIA. LTDA.				
ACTIVIDAD:	OPERACIÓN DE INSTALACIONES PARA EL TRATAMIENTO	PERACIÓN DE INSTALACIONES PARA EL TRATAMIENTO DE DESECHOS PELIGROSOS			
ATENCIÓN:	ING. LUCÍA MONTENEGRO				
PROYECTO:	MONITOREO DE EMISIONES A LA ATMÓSFERA				
DIRECCIÓN:	KILÓMETRO 37 ½. VÍA QUITO - CAYAMBE				
TELÉFONO	(02) 361 0262				
TÉCNICO:	ING. CRISTIAN FREIRE / ING. LUIS MONTENEGRO				
FECHA MUESTREO:	2022-05-26				
FECHA EMISIÓN:	2022-05-30				
METODOLOGÍA:	Interna: PE-V-08 "Procedimiento de ensayo para la medición de gases de combustión"; PE-V-10 "Procedimiento de ensayo para la medición de material particulado" Referencia: Gases EPA CTM 30 y EPA CTM 34; Material Particulado EPA 1-5				

IDENTIFICACIÓN DE LOS INSTRUMENTOS DE MEDICIÓN				
EQUIPO / CÓDIGO	MARCA	MODELO	SERIE	
Analizador portátil de gases (El/101-00)	Testo	350 XL	1810805	
Consola de muestreo isocinético (El/100-00)	Apex	XC-572	1004024	
Anemómetro (El/133-00)	Control Company	3651	140316986	
GPS (EI/153-00)	Garmin	Oregon 750	4SQ015487	

CARACTERÍSTICAS DE LA FUENTE FIJA DE COMBUSTIÓN					
EQUIPO / TIPO	INCINERADOR FUENTE CERRADA	TIPO COMBUSTIBLE	DIESEL DESECHOS		
IDENTIFICACIÓN	INCINERADOR	POTENCIA	ND		
MARCA	PENNRAM	CONSUMO ANUAL	ND		
MODELO	PHCA-1100	TIEMPO DE OPERACIÓN (h/día)	24		
SERIE	214115	COORDENADAS UTM (WGS84)	17 M 807991 E / 9998966 N		
AÑO	2014	INICIO DE OPERACIONES	2014		

CARACTERÍSTICAS DE LA CHIMENEA				
TIPO	CIRCULAR	DISTANCIA A (cm)	903	
DIÁMETRO (cm)	70	DISTANCIA B (cm)	303	
ALTURA (cm)	1330	PUERTOS DE MONITOREO	2	
GAP (cm)	7,5	PUNTOS MONITOREADOS	24	

CONDICIONES AMBIENTALES					
TEMPERATURA (°C)	HUMEDAD RELATIVA (%)	ALTITUD (m)	PRESIÓN BAROMÉTRICA (mm Hg)		
21,0	56,0	2700	546,2		

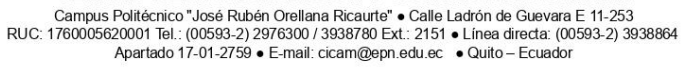
REFERENCIAS:
Distancia A: Distancia entre el puerto de monitoreo y la cúspide de la chimenea
Distancia B: Distancia entre la última perturbación al flujo de gas y el puerto de monitoreo
GAP: Longitud del puerto de monitoreo

F-V-PE-08-03 | V00 | Vigencia: 2021-06-03

Página 1 de 3

ESCUELA POLITÉCNICA NACIONAL

CENTRO DE INVESTIGACIÓN Y CONTROL AMBIENTAL





PARÁME	PARÁMETROS DE LA EMISIÓN DE GASES					
PARÁMETRO	UNIDAD	VALOR				
^(a) Oxígeno (O ₂₎	%	14,73				
(*) Dióxido de carbono (CO ₂)	%	4,63				
(a) Dióxido de azufre (SO ₂)	ppm	14**				
^(a) Monóxido de carbono (CO)	ppm	43**				
^(a) Monóxido de nitrógeno (NO)	ppm	57				
^(a) Dióxido de nitrógeno (NO ₂)	ppm	0**				
^(a) Óxidos de nitrógeno (NO _x)	ppm	57				
^(*) Temperatura	°C	61,4				
^(*) Opacidad	#	2				
^(*) Velocidad del gas	m/s	12,64				

PARÁMETROS DE LA EMISIÓN DE MATERIAL PARTICULADO			
PARÁMETRO	UNIDAD	VALOR	
Temperatura de chimenea	°C	62	
Temperatura del medidor de gas seco	°C	23	
Volumen de agua recolectada en los impigners y sílica gel	mL	12	
Presión barométrica	mmHg	546	
Presión diferencial del manómetro (ΔH)	mmH ₂ O	33	
Presión estática en el interior de la chimenea	mmH ₂ O	8,8	
Volumen de gas muestreado	m³	1,4	
Tiempo de muestreo	min	72	
Velocidad promedio del gas en la chimenea	m/s	12,8	
Diámetro interno de la boquilla	mm	6,3	
Flujo de gas seco	m³/h	4,3	
Fracción seca	-	0,98	
(a) Material particulado	mg/m ³	1	
Porcentaje de isocinetismo	%	91	

RESULTADOS FINALES Y COMPARACIÓN CON NORMATIVA			
PARÁMETRO	⁽¹⁾ CONCENTRACIÓN (mg/Nm3 y 4 % O2)	(2) LÍMITE PERMITIDO (mg/Nm3 y 4 % O2)	(3) CRITERIO
(a) Monóxido de carbono (CO)	146	-	-
(a) Dióxido de azufre (SO ₂)	109	2004	CUMPLE
(a) Óxidos de nitrógeno (NO _x)	317	670	CUMPLE
(a) Material particulado	3	180	CUMPLE

DECLARACIÓN DE LA INCERTIDUMBRE DEL MÉTODO				
PARÁMETRO	CONCENTRACIÓN (ppm)	INCERTIDUMBRE (%)		
Monóxido de carbono (CO)	488,0	0,76		
Dióxido de azufre (SO ₂)	511,0	1,04		
Óxidos de nitrógeno (NO)	497,0	1,20		
Dióxido de nitrógeno (NO ₂)	50,90	2,58		
Oxígeno (O ₂)	10,360	0,12		
Material particulado	1-1667	4,22 ppm		



REFERENCIAS Y OBSERVACIONES:

(a) El CICAM se encuentra acreditado con la Norma NTE INEN ISO/IEC 17025:2018 en estos parámetros.

Los parâmetros e información marcada con (*), (2) y (3) están FUERA del alcance de acreditación del Servicio de Acreditación Ecuatoriano (SAE) (*) El valor está por fuera del rango de acreditación.

F-V-PE-08-03 | V00 | Vigencia: 2021-06-03

Página 2 de 3

Figura 66. Continuación del informe del monitoreo realizado después del lavador de gases

⁽¹⁾ mg/Nm³ : miligramos por metro cúbico de gas de combustión en condiciones normales, 760 mmHg y 0 °C, en base seca y corregidos al 4 % de oxígeno

⁽²⁾ ANEXO 3 DEL LIBRO VI DEL TULSMA, NORMA DE EMISIONES AL AIRE DESDE FUENTES FIJAS. TABLA 2 LIMITES MÁXIMOS PERMISIBLES DE CONCENTRACIÓN DE EMISIÓN DE CONTAMINANTES AL AIRE PARA CALDERAS (mg/Nm^2) (*9 Criterio de resultados "Cumple" o "No cumple"



ESCUELA POLITÉCNICA NACIONAL CENTRO DE INVESTIGACIÓN Y CONTROL AMBIENTAL

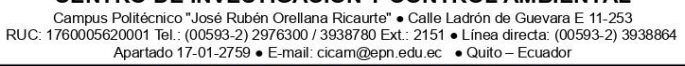






FIGURA 1. Monitoreo de emisiones a la atmósfera - Incinerador - Después del lavador

Los resultados solo se refieren al monitoreo realizado. El CICAM declina toda responsabilidad por el uso de los resultados aquí presentados. Este informe de resultados no podrá ser reproducido de forma parcial o total, sin la autorización escrita del CICAM Sin la firma de los Responsables y el sello del CICAM, este informe no tendrá validez



Revisado por: Ing. Cristian Freire RESPONSABLE TÉCNICO (E)



Aprobado por: Ing. María Augusta Urquizo COORDINADOR DE LABORATORIO (E)

F-V-PE-08-03 | V00 | Vigencia: 2021-06-03

Página 3 de 3

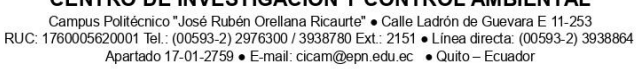
Figura 66. Continuación del informe del monitoreo realizado después del lavador de gases

Fuente: CICAM

ANEXO 6.2. INFORME DE MONITOREO REALIZADO A LA SALIDA DE LA CHIMENEA DIRECTAMENTE DEL INCINERADOR



ESCUELA POLITÉCNICA NACIONAL CENTRO DE INVESTIGACIÓN Y CONTROL AMBIENTAL





INFORME DE RESULTADOS DE EMISIONES A LA ATMÓSFERA

		No. INFORME:	IRG-22003	
INFORMACIÓN GENERAL				
EMPRESA:	HAZWAT CIA. LTDA.			
ACTIVIDAD:	OPERACIÓN DE INSTALACIONES PARA EL TRATAMIENTO	OPERACIÓN DE INSTALACIONES PARA EL TRATAMIENTO DE DESECHOS PELIGROSOS		
ATENCIÓN:	ING. LUCÍA MONTENEGRO			
PROYECTO:	MONITOREO DE EMISIONES A LA ATMÓSFERA			
DIRECCIÓN:	37 ½. VÍA QUITO - CAYAMBE			
TELÉFONO	(02) 361 0262			
TÉCNICO:	ING. CRISTIAN FREIRE / ING. LUIS MONTENEGRO			
FECHA MUESTREO:	2022-05-26			
FECHA EMISIÓN:	2022-05-30			
METODOLOGÍA:	Interna: PE-V-08 "Procedimiento de ensayo para la medición "Procedimiento de ensayo para la medición de material particu CTM 34; Material Particulado EPA 1-5			

IDENTIFICACIÓN DE LOS INSTRUMENTOS DE MEDICIÓN			
EQUIPO / CÓDIGO	MARCA	MODELO	SERIE
Analizador portátil de gases (El/101-00)	Testo	350 XL	1810805
Anemómetro (El/133-00)	Control Company	3651	140316986
GPS (EI/153-00)	Garmin	Oregon 750	4SQ015487

CARACTERÍSTICAS DE LA FUENTE FIJA DE COMBUSTIÓN			
EQUIPO / TIPO	INCINERADOR FUENTE CERRADA	TIPO COMBUSTIBLE	DIESEL DESECHOS
IDENTIFICACIÓN	INCINERADOR	POTENCIA	ND
MARCA	PENNRAM	CONSUMO ANUAL	ND
MODELO	PHCA-1100	TIEMPO DE OPERACIÓN (h/día)	24
SERIE	214115	COORDENADAS UTM (WGS84)	17 M 807991 E / 9998966 N
AÑO	2014	INICIO DE OPERACIONES	2014

CARACTERÍSTICAS DE LA CHIMENEA			
TIPO	CIRCULAR	DISTANCIA A (cm)	140
DIÁMETRO (cm)	70	DISTANCIA B (cm)	380
ALTURA (cm)	1330	PUERTOS DE MONITOREO	2
GAP (cm)	7,5	PUNTOS MONITOREADOS	20

CONDICIONES AMBIENTALES				
TEMPERATURA (°C) HUMEDAD RELATIVA (%) ALTITUD (m) PRESIÓN BAROMÉTRICA (mm Hg)				
21,0	56,0	2700	546,2	

REFERENCIAS

Distancia A: Distancia entre el puerto de monitoreo y la cúspide de la chimenea Distancia B: Distancia entre la última perturbación al flujo de gas y el puerto de monitoreo GAP: Longitud del puerto de monitoreo

F-V-PE-08-03 | V00 | Vigencia: 2021-06-03

Página 1 de 3



ESCUELA POLITÉCNICA NACIONAL CENTRO DE INVESTIGACIÓN Y CONTROL AMBIENTAL



Campus Politécnico "José Rubén Orellana Ricaurte" • Calle Ladrón de Guevara E 11-253 RUC: 1760005620001 Tel.: (00593-2) 2976300 / 3938780 Ext.: 2151 • Línea directa: (00593-2) 3938864 Apartado 17-01-2759 • E-mail: cicam@epn.edu.ec • Quito – Ecuador

PARÁM	PARÁMETROS DE LA EMISIÓN DE GASES			
PARÁMETRO	UNIDAD	VALOR		
^(a) Oxígeno (O ₂₎	%	9,35		
(*) Dióxido de carbono (CO ₂)	%	8,63		
(a) Dióxido de azufre (SO ₂)	ppm	0**		
(a) Monóxido de carbono (CO)	ppm	2224**		
(a) Monóxido de nitrógeno (NO)	ppm	91		
^(a) Dióxido de nitrógeno (NO ₂)	ppm	0**		
(a) Óxidos de nitrógeno (NO _x)	ppm	91		
^(*) Temperatura	°C	820		
^(*) Opacidad	#			
(*) Velocidad del gas	m/s	4,97		

RESULTADOS FINALES Y COMPARACIÓN CON NORMATIVA			
PARÁMETRO	(1) CONCENTRACIÓN (mg/Nm3 y 4 % O2)	⁽²⁾ LÍMITE PERMITIDO (mg/Nm3 y 4 % O2)	(3) CRITERIO
(a) Monóxido de carbono (CO)	4056	=): = .
(a) Dióxido de azufre (SO ₂)	0	2004	CUMPLE
(a) Óxidos de nitrógeno (NO _x)	271	670	CUMPLE

DECLARACIÓN DE LA INCERTIDUMBRE DEL MÉTODO				
PARÁMETRO	CONCENTRACIÓN (ppm)	INCERTIDUMBRE (%)		
Monóxido de carbono (CO)	488,0	0,76		
Dióxido de azufre (SO ₂)	511,0	1,04		
Óxidos de nitrógeno (NO)	497,0	1,20		
Dióxido de nitrógeno (NO ₂)	50,90	2,58		
Oxígeno (O ₂)	10,360	0,12		



REFERENCIAS Y OBSERVACIONES:

- (a) El CICAM se encuentra acreditado con la Norma NTE INEN ISO/IEC 17025:2018 en estos parámetros.
- Los parâmetros e información marcada con (*), (2) y (3) están FUERA del alcance de acreditación del Servicio de Acreditación Ecuatoriano (SAE)

 (**) El valor está por fuera del rango de acreditación.

 (**) mg/Nm³: miligramos por metro cúbico de gas de combustión en condiciones normales, 760 mmHg y 0 °C, en base seca y corregidos al 4 % de oxígeno
- CONCENTRACIÓN DE EMISIÓN DE CONTAMINANTES AL AIRE PARA CALDERAS (mg/Nm²) (3) Criterio de resultados "Cumple" ó "No cumple"

F-V-PE-08-03 | V00 | Vigencia: 2021-06-03

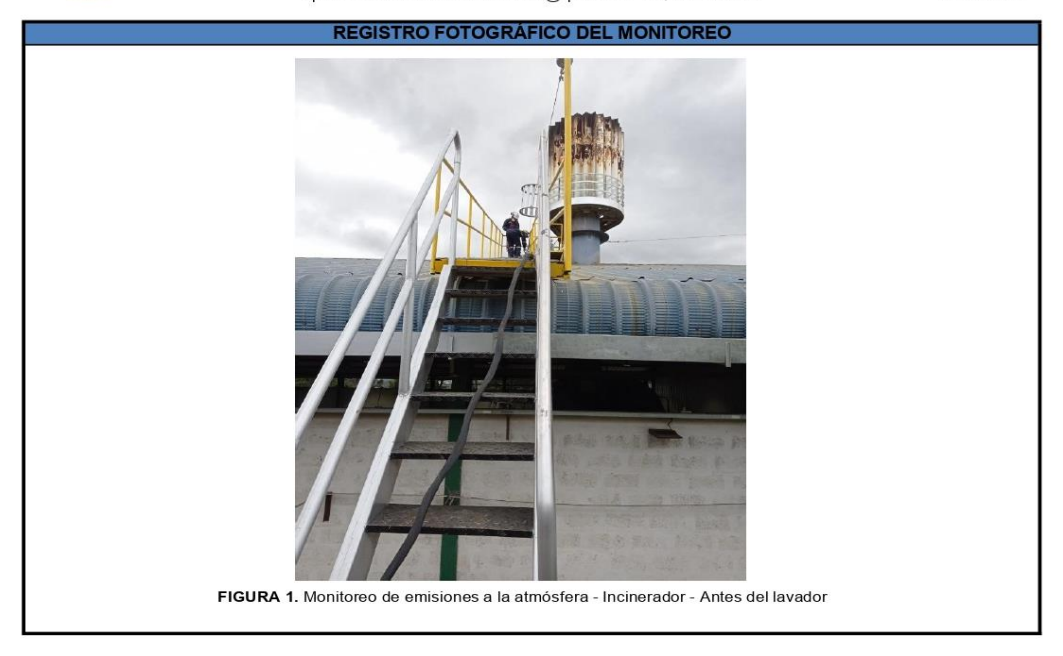
Página 2 de 3



ESCUELA POLITÉCNICA NACIONAL CENTRO DE INVESTIGACIÓN Y CONTROL AMBIENTAL



Campus Politécnico "José Rubén Orellana Ricaurte" • Calle Ladrón de Guevara E 11-253
RUC: 1760005620001 Tel.: (00593-2) 2976300 / 3938780 Ext.: 2151 • Línea directa: (00593-2) 3938864
Apartado 17-01-2759 • E-mail: cicam@epn.edu.ec • Quito – Ecuador



Los resultados solo se refieren al monitoreo realizado. El CICAM declina toda responsabilidad por el uso de los resultados aquí presentados Este informe de resultados no podrá ser reproducido de forma parcial o total, sin la autorización escrita del CICAM Sin la firma de los Responsables y el sello del CICAM, este informe no tendrá validez



Revisado por: Ing. Cristian Freire RESPONSABLE TÉCNICO (E)



Aprobado por: Ing. María Augusta Urquizo COORDINADOR DE LABORATORIO (E)

F-V-PE-08-03 | V00 | Vigencia: 2021-06-03

Página 3 de 3

Figura 67. Continuación del Informe del monitoreo realizado de la chimenea con salida directa del incinerador.

Fuente: CICAM

ANEXO 7

Informe de resultados del contenido de metales en cenizas



ESCUELA POLITÉCNICA NACIONAL CENTRO DE INVESTIGACIÓN Y CONTROL AMBIENTAL



RUC: 1760005620001 Tel.: (+593-2) 2976300 Ext.: 2151 • Linea directa: (+593-2) 3938864 Apartado 17-01-2759 • E-mail: cicam@epn.edu.ec • Quito - Ecuador

INFORME DE RESULTADOS

Fecha: 07 de julio de 2022 No.IRI-22-231

DAT	OS I	EL	CLI	ENI	E:

Director proyecto-investigación Nombre del Representante Legal: Dirección: Teléfono convencional Teléfono celular: Correo electrónico:

DATOS DEL LABORATORIO: Ing. Lucía Montenegro

Fecha de recepción: No. Oferta de Servicio No. Solicitud de trabajo Tipo de servicio: Código de la muestra:

mg/kg

mg/kg

mg/kg

ST-22-065 Servicio de ensayo aplicado a la investigación CICAM - Quito - Ladrón de Guevara E11-253 04 al 07 de julio de 2022

Preservante:

3,5

58,74

< 0.1

3713

Fecha de análisis:

OF22-143

Temperatura de ingreso al laboratorio:

DATOS DE LA MUESTRA: SUMINISTRADOS POR EL CLIENTE Tipo de envase:

Nombre del Proyecto Fecha de muestreo Rotulación de la muestra: Tipo de muestreo: Tipo de muestra: Lugar de muestreo Origen de la muestra: Responsable de muestreo:

PARÁMETRO

) Arsénico

Bario Cobalto

(c) Cobre

c) Cromo total ^{c)} Estaño

^{c)} Manganeso

e) Mercurio

) Niquel Plata

Plomo

Selenio

Cliente		
MÉTODO DE REFERENCIA/ MÉTODO INTERNO	UNIDAD	RESULTADO
PE-V-62 EPA7010 /Absorción atómica	mg/kg	< 0,125
PE-V-60 EPA 7000 B / Absorción atómica	mg/kg	586,1
PE-V-59 EPA 7000 B /Absorción atómica	mg/kg	27
PE-V-59 EPA 7000 B / Absorción atómica	mg/kg	503,6
PE-V-62 EPA 7010 / Absorción atómica	mg/kg	101,5
PE-V-62 EPA 7010 / Absorción atómica	mg/kg	< 0,1
PE-V-59 EPA 7000 B / Absorción atómica	mg/kg	251,6
PE-V-61 EPA 7074 A / Absorción atómica	mg/kg	0,26
PE-V-62 EPA 7010/ Absorción atómica	mg/kg	39,84

N°de envases:

PE-V-62 | EPA 7010 / Absorción atómica ² Zinc PE-V-59 | EPA 7000 B / Absorción atómica mg/kg SM: Standard Methods for the E ination of Water and Wastewater. Ed: Edición. PE: Procedimiento de Ensayo interno. N/A: No aplica

PE-V-59 | EPA 7000 B / Absorción atómica

PE-V-62 | EPA 7010/ Absorción atómica

Acreditaciones:

Parámetro no acreditado

Este informe sólo afecta a la muestra sometida a ensavo bajo las condiciones recibidas

La información completa de la medición de este ensayo se encuentra disponible para el cliente, cuando lo requiera

La incertidumbre de la medición de este ensayo se encuentra disponible para el cliente, cuando lo requiera

El laboratorio no se responsabiliza por la información proporcionada por el cliente que puedan afectar la validez de los resultados

En caso de que esta información sea solicitada por ley o disposiciones contractuales se notificará al cliente en forma previa

Prohibida la reproducción parcial de este informe



Piomedo electrónicamente po MARIA AUGUSTA URQUIZO FERNANDEZ

Revisado por: Ing. María Augusta Urquizo RESPONSABLE TÉCNICO



MSc. Carola Fierro Aprobado por: COORDINADORA DE LABORATORIO

Vigencia: 2021-07-23

ANEXO 8

Cálculo de balance de masa y energía

ANEXO 8.1 COMPOSICIÓN QUÍMICA DE CARBONO E HIDRÓGENO DE CADA UNO DE LOS DESECHOS SELECCIONADOS PARA EL MENÚ DE INCINERACIÓN

Para el cálculo del contenido de carbono e hidrógeno se utilizó la composición química de cada uno de los componentes de los desechos para multiplicar su valor por el peso molecular y a partir de ello obtener

Tabla A8.1 36Contenido de carbono e hidrógeno presentes en los desechos de pastillas trituradas.

PASTILLAS TRITURADAS						
ÁC	ÁCIDO ACETÍL SALICÍLICO C ₉ H ₈ O ₄					
	#	PM	PM total	%	g/mol	
С	9,0	12,0	108,0	60,0	15,0	
Н	8,0	1,0	8,0	4,4	1,1	
0	4,0	16,0	64,0	35,6	8,9	
ТО	TAL		180	100	25	
VIT	AMINA	A C C ₆ H	₈ O ₆			
С	6,0	12,0	72,0	40,9	10,2	
Н	8,0	1,0	8,0	4,6	1,1	
0	6,0	16,0	96,0	54,6	13,6	
ТО	TAL		176	100	25	
IBU	JPROFE	NO C ₁₃	3H ₁₈ O ₂			
С	13,0	12,0	156,0	75,7	18,9	
Н	18,0	1,0	18,0	8,7	2,2	
0	2,0	16,0	32,0	15,5	3,9	
TOTAL			206	100	25	
PA	PARACETAMOL C ₈ H ₉ NO ₂					
С	8	12,0	96,0	63,6	15,9	
Н	9	1,0	9,0	5,9	1,5	
N	1	14,0	14,0	9,3	2,3	
0	2	16,0	32,0	21,2	5,3	
TOTAL 151 100			100	25		
Flujo total de C (g/mol)					60,1	
Flujo total de H (g/mol)				5,9		

Tabla A8.2 37Contenido de carbono e hidrógeno presentes en el desecho de EPP contaminado con hidrocarburos.

EPP	EPP CONTAMINADO					
ALG	ALGODÓN C ₆ H ₁₀ O ₅					
	#	PM	PM total	%	g/mol	
С	6,0	12,0	72,0	44,4	14,7	
Н	10,0	1,0	10,0	6,2	2,0	
0	5,0	16,0	80,0	49,4	16,2	
TOT	ΓAL		162	100	33	
POI	IESTE	R C ₁₀ H ₈ 0	O ₄			
С	10,0 12,0		120,0	62,5	20,6	
Н	8,0	1,0	8,0	4,2	1,4	
0	O 4,0 16,0		64,0	33,3		
TOT	TOTAL		192	100	33	
PVC	PVC POLIVINILO C ₂ H ₃ Cl					
С	C 2,0 12,0		24,0	38,4	12,7	
Н	3,0	1,0	3,0	4,8	1,6	
CL	1,0	35,5	35,5	56,8		
TOT	TOTAL 63 100			100	33	
Fluj	Flujo total de C (g/mol)					
Fluj	Flujo total de H (g/mol) 5,0				5,0	

Tabla A8.3 38Contenido de carbono e hidrógeno presentes en desechos biopeligrosos.

BIOPELIGROSOS					
PC	POLIPROPILENO C ₃ H ₆				
	#	PM	PM total	%	g/mol
С	3,0	12,0	36,0	85,7	26,6
Н	6,0	1,0	6,0	14,3	4,4
			42	100	31
PC	LIETIL	ENO C	2H ₄		
С	2,0	12,0	24,0	85,7	27,4
Н	4,0	1,0	4	14,3	4,6
			28	100	32
AL	GODÓ	N C ₁₀ F	l ₈ O ₄		
С	C 10,0 12,0		120,0	62,5	23,8
Н	H 8,0 1,0		8,0	4,2	1,6
О	4,0	16,0	64,0	33,3	12,7
	192 100			38	
Flu	Flujo total de C (g/mol)				77,8
Flu	Flujo total de H (g/mol) 10,6				

Tabla A8.4 39 Contenido de carbono e hidrógeno presentes enla ropa.

RC	ROPA				
ΑL	ALGODÓN C₀H₁0O₅				
	#	PM	PM total	%	g/mol
С	6,0	12,0	72,0	44,4	14,7
Н	10,0	1,0	10,0	6,2	2,0
0	5,0	16,0	80,0	49,4	16,3
TC	TAL		162	100	33
PC	LIÉSTER (C ₁₀ H ₈ O ₄			
С	10,0	12,0	120,0	62,5	20,6
Н	8,0	1,0	8,0	4,2	1,4
0	4,0	16,0	64,0	33,3	11,0
TC	TAL		192	100	33
PC	LIAMIDA	C ₁₂ H ₂₂ N ₂	O ₂		
С	12,0	12,0	144,0	63,7	21,0
Н	22,0	1,0	22,0	9,7	3,2
0	2,0	16,0	32,0	14,2	4,7
Ν	2,0	14,0	28,0	12,4	4,1
	226 100				
Flι	Flujo total de C (g/mol)				56,32
Flu	Flujo total de H (g/mol)				6,62

Tabla A8.5 40Contenido de carbono e hidrogeno presentes en el aceite contaminado, resina epóxica, aserrín y plástico.

AC	ACEITE CONTAMINADO				
C ₂₀	C ₂₀ H ₃₂ O ₂				
	#	PM	PM total	(g/mol)	
С	20	12	240	78,95	
Н	32	1	32	10,53	
0	2	16	32	10,53	
RES	SINA E	PÓXICA	4		
C ₁	H ₁₄ O		,		
С	15	12	180	85,71	
Н	14	1	14	6,67	
0	1	16	16	7,62	
	TOTAL 210		100,00		
AS	ASERRÍN				
С			50,65		
Н			6,03		
PLÁSTICO					
C 85,70			85,70		
H 14,30				14,30	

ANEXO 8.2 EJEMPLO DE CÁLCULO DE BALANCE Y ENERGÍA EN EL INCINERADOR

BALANCE DE MASA INCINERADOR

Los desechos por incinerar tienen un flujo de 12 ton/d equivalente a 500 kg/h y está compuesto por:

- Flujo de carbono: $\dot{m}_{carbono}$
- Flujo de hidrógeno: $\dot{m}_{hidrógeno}$
- Flujo de metales: $\dot{m}_{metales}$
- Flujo de cenizas: $\dot{m}_{cenizas}$
- Flujo de agua: \dot{m}_{aqua}

La composición en peso del material a incinerar es de:

- Carbono: 71,57%
- Hidrógeno: 9,25%
- Metales: 0,00%
- Cenizas: 14,28%
- Humedad: 4,89%

Por lo cual los flujos de entrada corresponden a los siguientes valores:

- Flujo de carbono: $\dot{m}_{carbono}$ = 357,86 kg/h
- Flujo de hidrógeno: m

 hidrógeno = 46,27 kg/h
- Flujo de metales: $\dot{m}_{metales} = 0.00 \text{ kg/h}$
- Flujo de cenizas: $\dot{m}_{cenizas}$ = 71,16 kg/h
- Flujo de agua: \dot{m}_{agua} = 24,47 kg/h
- Flujo materia seca: $\dot{m}_{masa\ seca}$ = (500 24,47) kg/h =475,53 kg/h

Se realizó en cálculo de aire necesario para llevar a cabo tanto la combustión de los desechos y el diésel necesario en la cámara de postcombustión. Para los desechos se utilizaron las siguientes reacciones de combustión:

$$C + O_2 \rightarrow CO_2$$
 (Rx1)
 $2H + \frac{1}{2}O_2 \rightarrow H_2O$ (Rx2)

Primero se calculó el oxígeno necesario para la combustión de la masa de carbono.

$$\dot{m}_{oxigeno\;Rx1} = \frac{\dot{m}_{carbono}}{PM_{carbono}} * RE * PM_{oxigeno}$$

Donde:

 $\dot{m}_{oxigeno\ Rx1}$: flujo del O₂ necesario para Rx1 (kg/h) m

 $\dot{m}_{carbono}$: flujo del C (kg/h)

 $PM_{carbono}$: peso molecular del C (12 kg/kmol)

 $PM_{oxigeno}$: peso molecular del O₂ (32 kg/kmol)

RE: relación estequiométrica (1)

Por lo tanto

$$\dot{m}_{oxigeno\;Rx1} = \frac{357,86}{12} * 1 * 32$$

$$\dot{m}_{oxigeno\,Rx1} = 954, 30 \frac{kg}{h}$$

Se calcula el oxígeno necesario para la combustión de la masa de hidrógeno de la Rx2.

$$\dot{m}_{oxigeno\;Rx2} = \frac{\dot{m}_{hidr\acute{o}geno}}{PM_{hidr\acute{o}geno}} * RE * PM_{ox\acute{i}geno}$$

Donde:

 $\dot{m}_{oxigeno\;Rx1}$: flujo O₂ necesario para Rx2 (kg/h)

*m*hidrógeno: flujo H (kg/h)

*PM*_{hidrógeno}: peso molecular del H(1 kg/kmol)

PM_{oxíaeno}: peso molecular del O₂ (32 kg/kmol)

RE: relación estequiométrica (0,25)

$$\dot{m}_{oxigeno\;Rx2} = \frac{46,27}{1} * 0,25 * 32$$

$$\dot{m}_{oxigeno\ Rx2} = 370, 14 \frac{kg}{h}$$

Por lo tanto, el flujo de oxígeno estequiométrico necesario para la combustión corresponde a:

$$\dot{m}_{oxigeno\ esteq} = \dot{m}_{oxigeno\ Rx1} + \dot{m}_{oxigeno\ Rx2}$$

$$\dot{m}_{oxigeno\ esteq} = 1\ 324,45\ kg/h$$

El aire tiene una concentración de 23 % w/w de oxígeno, por ende, el aire seco estequiométrico resultante es de 5 758,47 kg/h.

El aire en exceso es de 30%, por lo cual:

$$\dot{m}_{aire\ seco\ de\ alimentación} = 1.3 * 5 758,47 \text{ kg/}h$$

$$\dot{m}_{aire\ seco\ de\ alimentación}=7486,01\ kg/h$$

Para el cálculo de la humedad contenida en el aire, se tienen en cuenta que el incinerador operará en Cayambe, ciudad ubicada a 2 830 m.s.n.m. con una presión atmosférica de 1,01 atm (101,8 kPa), temperatura promedio aproximada de 14 °C se determina que la humedad del aire seco es igual a 0,00425 kg agua/kg aire seco. Se calcula el flujo de aire de entrada a la cámara:

$$\dot{m}_{agua\;en\;el\;aire} = \dot{m}_{aire\;seco}*humedad$$

$$\dot{m}_{agua\ en\ el\ aire} = 7\ 486,01\ kg/h * 0,00425$$

$$\dot{m}_{agua\;en\;el\;aire}=31,81\;kg/h$$

$$\dot{m}_{aire} = \dot{m}_{aire\ seco} + \dot{m}_{agua\ en\ el\ aire}$$

$$\dot{m}_{aire} = 7\,517,82\,kg/h$$

Para el aire en exceso requerido por el combustible (diésel) se utilizó la siguiente reacción de combustión:

$$4C_{12}H_{23} + 71O_2 \rightarrow 48CO_2 + 46H_2O$$
 (Rx3)

Se calcula el oxígeno necesario para la combustión de la masa de diésel

$$\dot{m}_{oxigeno\;Rx3} = \frac{\dot{m}_{di\acute{e}sel}}{PM_{di\acute{e}sel}} * RE * PM_{oxigeno}$$

Donde:

 $\dot{m}_{oxigeno\ Rx3}$: flujo de oxígeno necesario para la reacción tres (kg/h)

 $\dot{m}_{di\acute{e}sel}$: flujo de combustible diésel (kg/h)

PM_{diésel}: peso molecular del diésel (163 kg/kmol)

PM_{oxígeno}: peso molecular del oxígeno (32 kg/kmol)

RE: relación estequiométrica (71/4)

$$\dot{m}_{oxigeno\ Rx3} = \frac{9,86}{163} * 71/4 * 32$$

$$\dot{m}_{oxigeno\ Rx3} = 34,36\ \frac{kg}{h}$$

Se determinó que el oxígeno estequiométrico para reaccionar con la materia diésel, es de 34,36 kg/h, considerando que el aire tiene una concentración de 23 % w/w de oxígeno, dando como resultado el aire seco estequiométrico de 149,39 kg/h. El aire seco de alimentación debe ser 30% en exceso del aire seco estequiométrico necesario, por lo cual se debe alimentar a la cámara de combustión uno un flujo correspondiente a 194,20 kg/h de aire seco.

Se calcula el flujo de aire de entrada a la cámara:

$$\dot{m}_{aqua\ en\ el\ aire} = \dot{m}_{aire\ seco} * humedad$$

$$\dot{m}_{aqua\ en\ el\ aire\ Rx3} = 194,2\ kg/h * 0,084$$

$$\dot{m}_{agua\ en\ el\ aire\ Rx3} = 16,28\ kg/h$$

$$\dot{m}_{aire\ d} = \dot{m}_{aire\ secoRx3} + \dot{m}_{agua\ en\ el\ aireRx3}$$

$$\dot{m}_{aire\ d} = 194,20\ kg/h + 16,28\ kg/h$$

$$\dot{m}_{aire\ d}=210,48\ kg/h$$

Se calcula el agua necesaria resultante de la combustión de la masa de diésel

$$\dot{m}_{agua\ Rx3} = \frac{\dot{m}_{di\acute{e}sel}}{PM_{di\acute{e}sel}} * RE * PM_{agua}$$

Donde:

 $\dot{m}_{agua\ Rx3}$: flujo de agua resultante de Rx3(kg/h)

 $\dot{m}_{di\acute{e}sel}$: flujo de combustible diésel (kg/h)

 $PM_{di\acute{e}sel}$: peso molecular del diésel (163 kg/kmol)

 PM_{agua} : peso molecular del H₂O (18 kg/kmol)

RE: relación estequiométrica (23/2)

$$\dot{m}_{agua\;Rx3} = \frac{9,86}{163} * \frac{23}{2} * 18$$

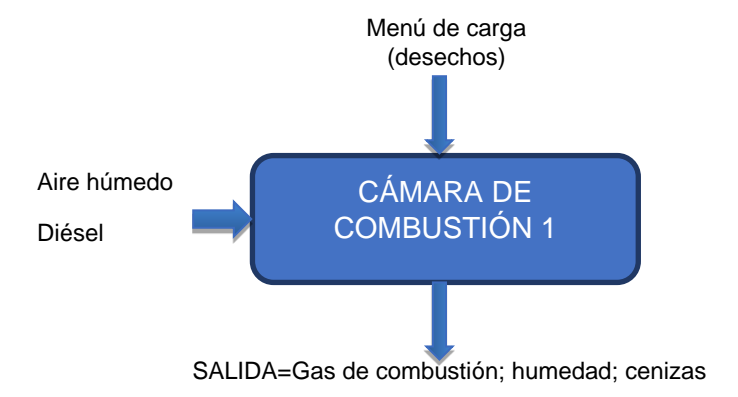
$$\dot{m}_{agua\ Rx3} = 12,52\ \frac{kg}{h}$$

$$\dot{m}_{agua\ d} = \dot{m}_{agua\ en\ el\ aire\ Rx3} + \dot{m}_{agua\ Rx3}$$

$$\dot{m}_{agua\ d} = 16,28 \frac{kg}{h} + 12,52 \frac{kg}{h}$$

$$\dot{m}_{agua\,d}=28,80~kg/h$$

Se realiza el balance de masa de la cámara de combustión correspondiente al siguiente diagrama:



El gas de combustión corresponde al aire seco no combustionado de la incineración de los desechos y el diésel y al producto de la reacción de combustión uno y tres. El aire seco no combustionado se compone del oxígeno no reaccionado y del nitrógeno contenido en el aire alimentado de la combustión de los desechos.

$$\begin{split} \dot{m}_{aire\ seco\ no\ combustionado} &= \left(\dot{m}_{oxigeno\ alimentado} - \dot{m}_{oxigeno\ esteq}\right) + \dot{m}_{nitr\acute{o}geno\ alimentado} \\ \dot{m}_{aire\ seco\ no\ combustionado} &= \left(7\ 486,01\ \frac{kg}{h}*0,23-1\ 324,45\ kg/h\right) + 7\ 486,01\ kg/h*0,77 \\ \dot{m}_{aire\ seco\ no\ combustionado} &= \mathbf{6}\ \mathbf{161},\mathbf{56}\ kg/h \end{split}$$

Se calcula el flujo del dióxido de carbono que es el producto de la reacción de combustión uno.

$$C + O_2 \rightarrow CO_2 (Rx1)$$

$$\dot{m}_{CO_2} = \frac{\dot{m}_{carbono}}{PM_{carbono}} * RE * PM_{CO_2}$$

Donde:

*ṁ*_{oxígeno Rx1}: flujo de O₂ necesario para Rx1(kg/h)

 $\dot{m}_{carbono}$: flujo de C (kg/h)

PM_{carbono}: peso molecular del C (12 kg/kmol)

PM_{CO₂}: peso molecular del CO₂ (44 kg/kmol)

RE: relación estequiométrica (1)

$$\dot{m}_{CO_2} = \frac{357,86}{12} * 1 * 44$$

$$\dot{m}_{CO_2} = 1\,312,17\,\frac{kg}{h}$$

El aire seco no combustionado se compone del oxígeno no reaccionado y del nitrógeno contenido en el aire alimentado de la combustión del diésel

$$\dot{m}_{aire\ seco\ no\ combustionado} = \left(\dot{m}_{oxígeno\ alimentado} - \dot{m}_{oxígeno\ esteq}\right) + \dot{m}_{nitrógeno\ alimentado}$$

$$\dot{m}_{aire\ seco\ no\ combustionado} = \left(194,20\frac{kg}{h}*0,23-34,36\ kg/h\right) + 194,20\ kg/h*0,77$$

 $\dot{m}_{aire\ seco\ no\ combustionado}=159,84\ kg/h$

Se calcula el flujo del dióxido de carbono que es el producto de la reacción de combustión tres

$$4C_{12}H_{23} + 71O_2 \to 48CO_2 + 46H_2O \quad (Rx3)$$

$$\dot{m}_{CO_2} = \frac{\dot{m}_{di\acute{e}sel}}{PM_{di\acute{e}sel}} * RE * PM_{CO_2}$$

Donde:

 $\dot{m}_{oxigeno\;Rx1}$: flujo de oxígeno necesario para la reacción uno (kg/h)

 $\dot{m}_{di\acute{e}sel}$: flujo de combustible diésel (kg/h)

 $PM_{di\acute{e}sel}$: peso molecular del diésel (163 kg/kmol)

 PM_{CO_2} : peso molecular del CO₂ (44 kg/kmol)

RE: relación estequiométrica (12)

$$\dot{m}_{CO_2} = \frac{9,86}{163} * 12 * 44$$

$$\dot{m}_{CO_2}=31,94\;\frac{kg}{h}$$

Por lo cual el flujo de gas de combustión total es de 7 665,51 kg/h.

El flujo de agua (humedad) en los gases de salida corresponden a:

Flujo de agua de la materia de alimentación: \dot{m}_{agua} = 24,47 kg/h Flujo de agua producto de la reacción de combustión dos: $\dot{m}_{agua\;Rx2}$ Flujo de agua del aire de alimentación: $\dot{m}_{agua\;en\;el\;aire}$ = 31,81 kg/hFlujo de agua de la combustión del diésel: $\dot{m}_{agua\;diésel}$ = 28,80 kg/h

Se calcula el flujo del agua que es el producto de la reacción de combustión dos.

$$2H + \frac{1}{2}O_2 \to H_2O \ (Rx2)$$

$$\dot{m}_{agua\;Rx2} = \frac{\dot{m}_{hidr\'ogeno}}{PM_{hidr\'ogeno}} * RE * PM_{agua}$$

Donde:

 $\dot{m}_{oxigeno\ Rx1}$: flujo de oxígeno necesario para la reacción dos (kg/h)

 $\dot{m}_{
m hidrógeno}$: flujo de hidrógeno (kg/h)

 $PM_{
m hidr\'ogeno}$: peso molecular del H (1 kg/kmol)

 PM_{agua} : peso molecular del agua (18 kg/kmol)

RE: relación estequiométrica (0,50)

$$\dot{m}_{agua\;Rx2} = \frac{46,27}{1} * 0,50 * 18$$

$$\dot{m}_{agua\,Rx2} = 416,41 \frac{kg}{h}$$

En total el flujo de agua de salida es de 501,49 kg/h.

El flujo de cenizas y metales en la salida se mantiene constante de la cantidad original a la entrada de la cámara y son:

• Flujo de metales: $\dot{m}_{metales}$ = 0 kg/h

• Flujo de cenizas: $\dot{m}_{cenizas}$ = 71,40 kg/h

La masa de salida de la cámara corresponde a:

$$\dot{m}_{salida} = \dot{m}_{gas\ de\ combustión\ T} + \dot{m}_{agua\ total} + \dot{m}_{metales} + \dot{m}_{cenizas}$$

$$\dot{m}_{salida} = 7.665,51 \frac{kg}{h} + 501,49 \frac{kg}{h} + 0 \frac{kg}{h} + 71,16 \text{ kg/h}$$

$$\dot{m}_{salida} = 8\,238, 16\,kg/h$$

El oxígeno estequiométrico para la combustión del menú de carga y el diésel se obtiene a partir de:

 $\dot{m}_{O2\ esq\ total} = \dot{m}_{O2\ esq\ desechos} + \dot{m}_{O2\ esq\ diésel}$

$$\dot{m}_{o2\ esq\ total} = (1\ 324,45 +\ 34,36) \frac{\text{kg}}{\text{h}}$$

$$\dot{m}_{02\ esq\ total} = 1\ 358,81\ \frac{\text{kg}}{\text{h}}$$

Aire seco estequiométrico total

$$\dot{m}_{aire\ seco\ esq} = 1358,81 \frac{\text{kg}}{\text{h}} * (\frac{100}{23})$$

$$\dot{m}_{aire\,seco\,esq} = 5\,907,85\,\frac{\mathrm{kg}}{\mathrm{h}}$$

Aire seco de alimentación total con 30% exceso

$$\dot{m}_{aire\ seco\ alim}=5\ 907,85*1,3$$

$$\dot{m}_{aire\ seco\ alim} = 7\ 680, 21\frac{\mathrm{kg}}{\mathrm{h}}$$

Se realiza el balance de masa general de la cámara de combustión uno:

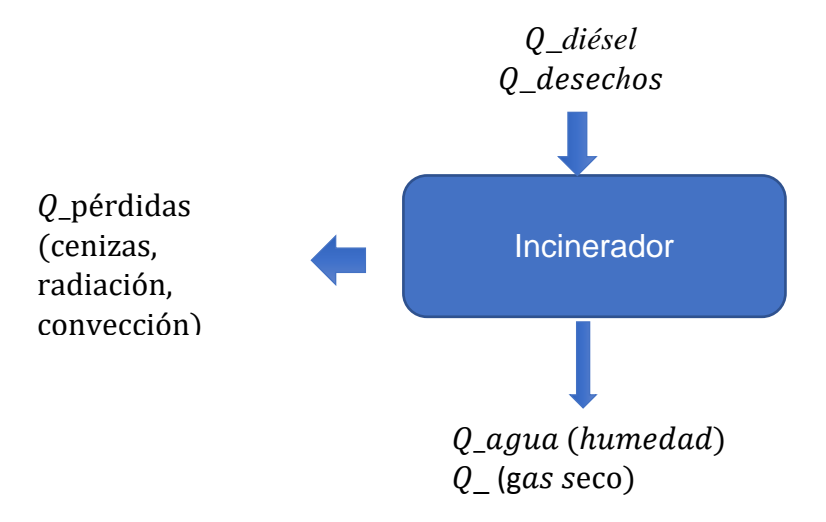
$$\dot{m}_{aire} + \dot{m}_{desecho} - \dot{m}_{salida} = 0$$

$$7728,30\frac{kg}{h} + 500\frac{kg}{h} + 9,86\frac{kg}{h} - 8238,16\frac{kg}{h} = 0$$

Por lo tanto, se comprueba el balance de masa en la incineradora

• EJEMPLO DE CÁLCULO DE BALANCE DE ENERGÍA

Se realizó el balance de energía de la incineración, para determinar las pérdidas de energía y el calor transferido al aire desde 14°C a 1 200°C. Para mejor entendimiento, mediante la siguiente figura, se detallan los flujos de calor presentes en el sistema.



Se calcula los flujos de entrada que corresponden al menú de carga y al diésel suministrado.

$$Q_{desechos} = PC_{desechos} * \dot{m}_{desechos}$$

Dónde:

$$PC_{desechos} : 8 611,33 \frac{kcal}{kg}$$

$$Q_{desechos} = 8 611,33 \frac{kcal}{kg} * 500 \frac{kg}{h}$$

 $Q_{desechos} = 4\,305\,665,00\,kcal/h$

$$\begin{split} Q_{di\acute{e}sel} &= PC_{di\acute{e}sel} * \dot{m}_{di\acute{e}sel} \\ PC_{di\acute{e}sel} &= 10 \ 294,26 \ \frac{kcal}{kg} \\ Q_{di\acute{e}sel} &= 10 \ 294,26 \ \frac{kcal}{kg} * 9,86 \frac{kg}{h} \\ Q_{di\acute{e}sel} &= \textbf{101 501,40} \ \frac{kcal}{kg} \end{split}$$

El flujo de calor de salida para el diésel es la suma de los consumos de energía para elevar la temperatura del agua (humedad), del gas seco. desde 14°C a 1 200°C La capacidad calorífica se calculó al utilizar tablas de Cp a presión constante. Para el diésel se tomó el flujo de gas de combustión

•
$$\dot{m}_{gas\,seco} = 191,78 \frac{kg}{h}$$

•
$$\dot{m}_{agua} = 28,80 \frac{kg}{h}$$

•
$$T_i = 14 \, ^{\circ}C$$

•
$$T_f = 1 \ 200 \ ^{\circ}C$$

•
$$T_m = 607 \, ^{\circ}C$$

•
$$C_{P \ gas \ seco} = 0.26 \ \frac{kcal}{kg \ ^{\circ}C}$$
 obtenido a partir de la gráfica presente en el ANEXO 9

•
$$C_{P \ agua} = 0.53 \ \frac{kcal}{kg \ °C}$$

•
$$\lambda_{agua} = 540,31 \frac{kcal}{kg}$$

$$Q_{agua} = \dot{m}_{agua} * Cp_{agua} * (T_2 - T_1) + \lambda * \dot{m}_{agua}$$

$$Q_{agua} = 28,80 \frac{kg}{h} * 0,53 \frac{kcal}{kg °C} * (1 200 - 14) °C + 28,80 \frac{kg}{h} * 540,31 \frac{kcal}{kg}$$

$$Q_{agua} = 33 615,99 \frac{kcal}{h}$$

Se calculó el consumo de energía para elevar la temperatura del gas seco.

$$Q_{gas seco} = \dot{m}_{gas seco} * Cp_{gas seco} * (T_2 - T_1)$$

$$Q_{gas seco} = 191,78 \frac{kg}{h} * 0,26 \frac{kcal}{kg °C} * (1 200 - 14) °C$$

$$Q_{gas\,seco} = 59\,365,39\,\frac{kcal}{h}$$

$$Q_{aire\ di\acute{e}sel}=\ Q_{gas\ seco}+\ Q_{agua}$$

$$Q_{aire\ di\'esel} = 59\ 365, 39\ \frac{kcal}{h} + 33\ 615, 99\ \frac{kcal}{h}$$

$$Q_{aire\ di\'esel} = 92\ 981,38\ rac{kcal}{h}$$

$$Q_{\rm di\acute{e}sel} - Q_{p\acute{e}rdidas~d\acute{e}sel} = Q_{gas~seco} + \ Q_{agua}$$

$$Q_{p\acute{e}rdidas\ di\acute{e}sel} = 101\ 501,40\ \frac{kcal}{kg} - (59\ 365,39 +\ 33\ 615,99\) \frac{kcal}{h}$$

$$Q_{p\acute{e}rdidas\ di\acute{e}sel} = 8\ 520,03\ \frac{kcal}{h}$$

El flujo de calor de salida para los desechos peligrosos es la suma de los consumos de energía para elevar la temperatura del agua (humedad), del gas seco. desde 14°C a 1 200°C La capacidad calorífica se calculó al utilizar tablas de Cp a presión constante.

•
$$\dot{m}_{gas\ seco} = 7\ 473,73\ \frac{kg}{h}$$

•
$$\dot{m}_{agua} = 472,69 \frac{kg}{h}$$

•
$$T_i = 14 \, ^{\circ}C$$

•
$$T_f = 1200 \, ^{\circ}C$$

•
$$T_m = 607 \, ^{\circ}C$$

•
$$C_{P \ gas \ seco} = 0.26 \ \frac{kcal}{kg \, ^{\circ}C}$$
 obtenido a partir del ANEXO 9

•
$$C_{P \ agua} = 0.53 \ \frac{kcal}{kg \ °C}$$

•
$$\lambda_{agua} = 540,31 \frac{kcal}{ka}$$

$$Q_{agua} = \dot{m}_{agua} * Cp_{agua} * (T_2 - T_1) + \lambda * \dot{m}_{agua}$$

$$Q_{agua} = 472,69 \; \frac{kg}{h} * \; 0.53 \; \frac{kcal}{kg \; ^{\circ}C} * \; (1\; 200\; -14) ^{\circ}C \; + \; 472,69 \; \frac{kg}{h} * \; 540,31 \; \frac{kcal}{kg}$$

$$Q_{agua} = 551736,43 \frac{kcal}{h}$$

Se calcula el consumo de energía para elevar la temperatura del gas seco

$$Q_{gas\,seco} = \dot{m}_{gas\,seco} * Cp_{gas\,seco} * (T_2 - T_1)$$

$$Q_{gas\ seco} = 7\ 473,73\ \frac{kg}{h} * 0.26\ \frac{kcal}{kg\ ^{\circ}C} * (1\ 200\ -14)^{\circ}C$$

$$Q_{gas\,seco} = 2\,313\,462,74\,\frac{kcal}{h}$$

$$Q_{aire\ desechos} = Q_{gas\ seco} + Q_{agua}$$

$$Q_{aire\ desechos} = 2\ 313\ 462,74\ \frac{kcal}{h} + 551\ 736,43\ \frac{kcal}{h}$$

$$Q_{aire\ desechos} = 2\ 865\ 199, 17\ \frac{kcal}{h}$$

$$\begin{split} Q_{desechos} - Q_{p\'erdidas\ desechos} &= Q_{gas\ seco} + Q_{agua} \\ Q_{p\'erdidas\ desechos} &= 4\ 305\ 665,0\ \frac{kcal}{kg} - (2\ 313\ 462,74 +\ 551\ 736,43\)\frac{kcal}{h} \\ Q_{p\'erdidas\ desechos} &= \ \mathbf{551}\ 736,43\ \frac{kcal}{h} \end{split}$$

Balance general en el incinerador

$$\begin{split} Q_{entrada} &= Q_{desechos} + Q_{di\acute{e}sel} \\ Q_{entrada} &= 4\,305\,665, 0 \,\, \frac{kcal}{kg} + \,101\,501, 40 \,\, \frac{kcal}{kg} \\ Q_{entrada} &= 4\,407\,166, 50 \, \frac{kcal}{kg} \\ Q_{aire\,total} &= Q_{aire\,diesel} + Q_{aire\,desechos} \\ Q_{aire\,total} &= 2\,865\,199, 17 \,\, \frac{kcal}{h} + \,92\,981, 38 \,\, \frac{kcal}{h} \\ Q_{aire\,total} &= 2\,958\,180, 55 \, \frac{kcal}{h} \\ Q_{p\acute{e}rdidas\,total} &= Q_{entrada} - Q_{aire\,total} = \\ Q_{p\acute{e}rdidas\,total} &= 4\,407\,166, 50 \,\, \frac{kcal}{kg} - \,2\,958\,180, 55 \, \frac{kcal}{h} \\ Q_{p\acute{e}rdidas\,total} &= 1\,448\,985, 86 \,\, \frac{kcal}{h} \end{split}$$

El calor por pérdidas se debe a la radiación, convección y cenizas que existió en el proceso

Se estima que las pérdidas de calor por radiación son del 10% del calor total disponible, por lo que se pierden 430 566,50 kcal/h (Vatavuk, 2002). Se multiplica por dos debido a que son dos cámaras, la primera de combustión y la segunda de postcombustión.

$$Q_{rad} = 0.1 * 2 * Q_{desechos}$$

$$Q_{rad} = 0.1 * 2 * 4 407 166,50 \frac{kcal}{kg}$$

$$Q_{rad} = 881\,433,28\,\frac{kcal}{kg}$$

Se calcula el consumo de energía para elevar la temperatura de las cenizas.

$$Q_{cenizas} = \dot{m}_{cenizas} * Cp_{cenizas} * (T_2 - T_1)$$

Donde:

$$Cp_{cenizas} = 0.199 \frac{kcal}{kg \, ^{\circ}C}$$

$$Q_{cenizas} = 71,16 \frac{kg}{h} * 0,199 \frac{kcal}{kg \, {}^{\circ}C} * (870 - 14) {}^{\circ}C$$

$$Q_{cenizas} = 12\ 121,68\ \frac{kcal}{h}$$

Finalmente, el resultante es el calor por convección

$$Q_{convección} = (1448985,86 - 881433,28 - 12121,68) \frac{kcal}{h}$$

$$Q_{convección} = 555 \, 430,90 \, \frac{kcal}{h}$$

CÁLCULO DEL TIEMPO DE RESIDENCIA EN LA CÁMARA DE POST COMBUSTIÓN

El tiempo de residencia, debe ser de mínimo 3 segundos, para calcular el tiempo se requiere de los caudales (PENNRAM, 2015). Para ello, se dividirá el flujo que sale de la cámara de post combustión en gas seco y vapor y se tomará el peso molecular del gas seco igual al del aire.

1. Cálculo del caudal de gas seco

Se requiere primero de la densidad, a condiciones de presión atmosférica y temperatura de salida de la segunda cámara de combustión; 1,018 atm y 1 200 °C respectivamente.

$$\delta_{gas \, seco} = \frac{P_{atm} \times PM_{gas \, seco}}{R \times T_2}$$

Donde:

$$P_{atm} = 1,018 atm$$

$$PM_{gas\ seco} = 22,18 \frac{g}{mol}$$

$$R = 0.082 \frac{atm L}{mol K}$$

$$T_2 = 1473 K$$

$$\delta_{gas\,seco} = 0.18\,kg/m^3$$

Entonces el caudal será:

$$\dot{Q}_{gas\,seco} = \frac{\dot{m}_{gas\,seco\,total}}{\delta_{gas\,seco}}$$

$$\dot{m}_{gas\,seco\,total} = 7\,665,51 \frac{kg}{h}$$

$$\dot{Q}_{gas\ seco\ total} = 41\ 003,13\frac{m^3}{h}$$

2. Cálculo del caudal de vapor

Procediendo de forma similar para el agua, se tiene que:

$$\dot{Q}_{vapor\;total} = \frac{\dot{m}_{vapor\;total}}{\delta_{vapor}}$$

$$\dot{m}_{vapor\ total} = 501,49 \frac{kg}{h}$$

$$\dot{Q}_{vapor\ total} = 3\ 305,64 \frac{m^3}{h}$$

Sumando los dos caudales, se obtiene el caudal total que saldrá de la cámara de post combstión:

$$\dot{Q}_{total\;c\acute{a}m_{2}} = \dot{Q}_{gas\;seco\;total} + \dot{Q}_{vapor\;total}$$

Donde:

$$\dot{Q}_{total\ c\acute{a}m\ 2} = 44\ 308\ m^3/h$$

Para obtener el tiempo, se aplica la siguiente ecuación:

$$\dot{Q}_{total\;c\acute{a}m_{2}} = \frac{V_{c\acute{a}m2}}{t_{res}}$$

Donde:

$$V_{c\acute{a}m2} = \pi \times \left(\frac{\phi}{2}\right)^2 \times L = 24.81 \ m^3$$

Por lo tanto:

$$t_{res}=2,\!02\,s$$

ANEXO 8.3 CÁLCULO DE BALANCE DE MASA EN LA CÁMARA DE INCINERACIÓN Y DEL LAVADOR DE GASES

BALANCE DE MASA	DE DESECHOS						cción 1			Rea	cción 2
							→ CO ₂ (R×1))		$2H + \frac{1}{2}O_2$	\rightarrow H_2O (R×2)
Flujo total (Kg/h)	500				Oxígeno necesario para	a combustión de ma	sa carbono	1		Flumo másico de	1
Flujo de materia seca	475,53				Rx1	mO2(kg/h)	954,30			agua en la RX2 (kg/h)	416,41
Composición e in	n peso del mat cinerar	terial a								Flujo total de salida agua (kg/h)	472,69
С	0,72	71,57			Oxígeno necesario para	a combustión de ma	sa hidrógeno				
н	0,09	9,25			Rx1	mO2(kg/h)	370,14			Flujo de masa de salida de la cámara	8017,82
Metales	0,00	0,00			IWI	IIIOZ(Rg/II)	370,14				
Ceniza	0,00	14,28			Flujo del oxígeno estequ	iométrico				0,000	1
Humedad	0,05	4,89			mOEs (kg/h)	1324,45				0,000	
	1,00	100,00									
Flujos de entra	da (kg/h)				Aire seco estequeométrico (kg/h)	5758,47		m Agua en el aire(kg/h)	31,81	Ceniza producida	Eficiencia del incinerador (ceniza (%)
mC	357,86				Aire seco de alimentación (kg/h)	7486,01		Flujo de aire de entrada en la cámara (kg/h)	7517,82	22%	78
mH	46,27				Humedad de aire seco(kg agua/kg de aire seco)	0,00425		Aire seco no combustionado (kg/h)	6161,56	14%	86
mM	0,00							Flujo de CO2 Rx1 (kg/h)	1312,17	5,19%	94,81
mCe	71,40		Entrada	Salida				Flujo de gas de combustión	7473,73		
mHumedad	24,47		8017,82	8017,82							
			0,00								

Continuación de los cálculos sobre balance de masa en la cámara de incineración y del lavador de gases.

BALANCE DE MASA DIESEL m(kg/h) monitoreo lavador Vaire (m/s) monitoreo lavador Vaire (m/s) monitoreo lavador Vaire (m/s) monitoreo lavador Vaire (m/s) U apro (kg/h) T728,30 Aire seco kg/h) T728,30 Aire seco entra (kg/h) T765,51 D1,49 Lavador de gases mm20(kg/h) 31,94 MH20 en el aire (kg/h) 16,28 Aire seco entra (kg/h) T665,51 FM gas (g/mol) 22,18 PM gas (g/mol) 22,18 M re entra cam 2 (kg/h) M re							1						
$\begin{array}{ c c c c c c c c c c c c c c c c c c c$				Reacción 3]	Sumatoria de RX1+R	X2+RX3			Datos obte	enidos del informe	
$ \begin{array}{ c c c c c c c c c c c c c c c c c c c$	BALANCE DE MASA D	IESEL									monit	toreo lavador	
Vapor (kg/h) Sol,49 Flujo de aire no combustionado 7655,51 Sol,49 Flujo de aire no combustionado 7655,51 Sol,49 Lavador de gases	m(kg/h)	9,86					Aire en exceso que	entra (kg/h)	7728,30		V aire (m/s)	12,64	
Vapor (kg/h) S01,49 Flujo de aire no combustionado T665,51 S01,49 Lavador de gases	PM(kg/h)	163	40,	$_{2}H_{23}+710_{2}\rightarrow 4$	48 <i>CO</i> ₂ +	46H,O	Aire seco k	g/h)	7665,51		Área chim.	0,38	
MH2O en el aire (kg/h) 12,52 MH2O en el aire (kg/h) 210,48 Mire seco de alimentación (kg/h) 194,20 Mumedad de aire seco (agua/aire seco) 0,084 Seco) Mire seco de alimentación (kg/h) 194,20 Mire seco de seco (agua/aire seco) 0,084 Mire seco de seco (agua/aire seco) Mire seco (kg/h) Mire seco de seco (agua/aire seco) Mire seco (kg/h) Mire seco de seco (agua/aire seco) Mire seco (kg/h) M		0,06			-	•	Vapor (kg	/h)	501,49		Efic. CO2	0,54	
MH2O en el aire (kg/h) 31,94 (kg/h) 12,52 MO2(kg/h) 34,36 Aire seco de esteq(kg/h) 149,39 Aire seco de alimentación (kg/h) 194,20 humedad de aire seco (agua/aire seco) Seco (agua/aire seco) Seco (agua/aire seco) Aire perdido cam 2 (kg/h) Seco (kg/h)							Flujo de aire no con	nbustionado	7665,51				
mH2O(kg/h) 31,94 mH2O(kg/h) 12,52 mH2O(kg/h) 12,52 mO2(kg/h) 34,36 Mire seco entra (kg/h) Aire total (kg/h) entra 210,48 Aire seco de alimentación (kg/h) 194,20 humedad de aire seco (agua/aire seco) Seco (lagua/aire seco) Aire perdido cam 2 (kg/h)									501,49				
MCO2(kg/h) 31,94 (kg/h) 16,28 Agua total sale (kg/h) 12,52 MO2(kg/h) 34,36 Aire seco of esteq(kg/h) 149,39 Aire seco de alimentación (kg/h) Flujo de gas de seco (agua/aire seco) 194,20 humedad de aire seco (agua/aire seco) Marco (kg/h) Marco (kg/h) 191,78 Marco (kg/h) Marco (kg/h) 191,78 Marco (kg/h									Lavador de gases				
MH2O(kg/h) 12,52 MH2O(kg/h) 34,36 Mire total (kg/h) Aire seco no esteq(kg/h) 149,39 Aire seco de alimentación (kg/h) 194,20 humedad de aire seco(agua/aire seco) Mire seco) Mire seco Aire perdido cam 2 (kg/h) Mire perdido cam 2	602(1 (1)	24.04]	mH2O en el aire	16.20		Aire seco entra	7665.54					
mH2O(kg/h) 12,52 (kg/h) 28,80 (kg/h) 501,49 (kg/h)	mCO2(kg/h)	31,94		(kg/h)	16,28		cam2 (kg/h)	/665,51					
MO2(kg/h) 34,36 Aire seco esteq(kg/h) 149,39 Aire seco de alimentación (kg/h) 194,20 humedad de aire seco (agua/aire seco) 149,39 Aire seco (agua/aire seco) 149,39 Aire seco (agua/aire seco) 149,39 Aire seco de alimentación (kg/h) 194,20 Aire seco (agua/aire seco) 149,39 Aire seco de alimentación (kg/h) 191,78 Mozar (kg/h) 1		12.52		Agua total sale	20.00		Vapor entra cam 2	F04.40		PM gas	22.10]	
MO2(kg/h) 34,36 entra 210,48 (kg/h) 8167,00 T(k) 335,00 d gas (kg/m3)	mH2O(kg/h)	12,52		(kg/h)	28,80		(kg/h)	501,49		(g/mol)	22,18		
Aire seco esteq(kg/h) Aire seco de alimentación (kg/h) humedad de aire seco) seco (agua/aire seco) Aire perdido cam 2 (kg/h) Salida aire (kg/h) Salida total (kg/h)	02/1 /1)	2426	1	Aire total (kg/h)	240.40	1	Aire entra cam 2	0467.00		T(1/)	225.00		
Aire seco esteq(kg/h)	mO2(kg/n)	34,36		entra	210,48		(kg/h)	8167,00		I(K)	335,00	d gas (kg/m3)	0,82
esteq(kg/h)	۸:			Aire seco no									
Aire seco de alimentación (kg/h) humedad de aire seco (agua/aire seco) Aire perdido cam 2 (kcal/h) Aire perdido cam 2 (kg/h) Salida aire (kg/h) Salida total (kg/h)		149,39		combustionado	159,84			47773,63		P(atm)	1,018		
alimentación (kg/h) 194,20 combustión (kg/h) 191,78 (kg/h) 38,4 R 0,082	esteq(kg/h)			(kg/h)			(kg/h)					d vapor (kg/m3)	0,67
alimentación (kg/h) 194,20 combustión (kg/h) 191,78 (kg/h) 38,4 R 0,082 humedad de aire seco (agua/aire seco) Aire perdido cam 2 (kcal/h) 4381,60 Salida aire (kg/h) 3785,40 Salida total (kg/h) 51597	Aire seco de			Fluio de gas de			m cal agregada						
humedad de aire seco(agua/aire 0,084 seco) Aire perdido cam 2 (kcal/h) 4381,60 Salida aire (kg/h) 51597		194,20		, ,	191,78		"	38,4		R	0,082		
seco(agua/aire 0,084				Combustion (kg/11)			(Ng/11)						
Seco) Aire perdido cam 2 Salida aire 3785,40 Salida total (kg/h) 51597													
Aire perdido cam 2 (kcal/h) 4381,60 Salida aire (kg/h) Salida total (kg/h) 51597	seco(agua/aire	0,084											
(kcal/h) 4381,60 (kg/h) 3785,40 Salida total (kg/h) 51597	seco)												
(kcal/h) 4381,60 (kg/h) Salida total (kg/h) 51597							1 '				3785.40		
Pérdida gas seco Lodo(10%)total								4381,60		(kg/h)	0.00,.0		51597,43
								4162,52				(kg/h)	5159,74
Pérdida de vapor													
(kg/h) 219,08 Agua (kg/h) 46437							(kg/h)	219,08				Agua (kg/h)	46437,69

ANEXO 8.3 BALANCE DE ENERGÍA EN LA CÁMARA DE INCINERACIÓN Y EN EL INTERCAMBIADOR DE CALOR

BALANCE DE ENERGIA										
					1			Q gas seco incineración		Ī
m Diesel (kg/h)	9,86		Flujo de desecho (kg/h)	500				(kcal/h)	2372828,133	
					1			Q vapor incineración		
Pc(Kcal/kg)	10294,26		Pc Desechos(kcal/kg)	8611,33				(kcal/h)	585352,4137	
Q diesel	101501,404		Q desechos	4305665				Q aire (kcal/h)	2958180,546	
DIESEL			DESECHOS					INTERCAMBIADOR I	DE CALOR	
Flujo de gas combustión (kg/h)	191,78		Flujo de gas combustión (kg/h)	7473,73				m gas	7665,51	
Vapor (kg/h)	28,80		Vapor (kg/h)	472,69	4			mvapor	501,49	•
ri (°C)	14		Ti (°C)	14	1			T1	1200	
rf (°C)	1200		Tf (°C)	870				t2	250	
Tm (°C)	607	880 K	Tm (°C)	442		715 K		Tm	725	99
Cp gas seco (kcal/kg*°C)	0,261		Cp gas seco (kcal/kg*°C)	0,2475	4			Cp gas seco (kcal/kg*°C)	0,288	
Cp vapor (kcal/kg*°C)	0,53		Cp vapor (kcal/kg*°C)	0,50	C latente (kcal/kg)		540,31	Cp vapor (kcal/kg*°C)	0,55	
Q aire seco (kcal/h)	59365,3908		Q aire seco (kcal/h)	1583384,11				Q aire seco (kcal/h)	-2097283,69	
Q vapor (kcal/h)	33615,9867		Q vapor (kcal/h)	458896,449	1			Q vapor (kcal/h)	-260813,9741	
Q aire (kcal/h)	92981,3775		Q aire (kcal/h)	2042280,56				Q aire(kcal/h)	-2358097,664	
Q(p)	8520,02613		Q(p)	2263384,44				Q gas seco sale (kcal/h)	275544,4427	
			•	•				Q vapor sale (kcal/h)	324538,4395	
92981,377	92981,3775		2042280,555	2042280,56				Q aire sale (kcal/h)	600082,8822	
			DESECHOS							
			Flujo de gas combustión (kg/h)	7473,73						
			Vapor (kg/h)	472,69						
			Ti (°C)	14				Balano	ce General	
			Tf (°C)	1200				Q entrada (kcal/h)	Q pérdidas (kcal/h)	Qaire (kcal/h)
			Tm (°C)	607		880 K		4407166,404	1448985,857	2958180,55
			Cp gas seco (kcal/kg*°C)	0,261				•	•	
					C latente					
			Cp vapor (kcal/kg*°C)		(kcal/kg)		540,31			
			Q aire seco (kcal/h)	2313462,74						
			Q vapor (kcal/h)	551736,427						
			Q aire (kcal/h)	2865199,17						
			Q aire cam 2 (kcal/h)	822918,614	1					

ANEXO 8.4 CÁLCULO DE CONCENTRACIONES DE HCL, CO₂ Y SO₂ PRESENTES EN EL FLUJO MÁSICO DEL INCINERADOR

		Condiciones	normales					
Flujo de gas seco (kg/h)	7486,01	P (atm)	1					
Opera (h)	24	T (K)	273					
Densidad del gas seco (kg/m3)	0,18	R (atm I/mol K)	0,08205					
HCI		CO ₂		SO ₂		Aire (O ₂ , N ₂ , H ₂ O		
HCI (mg/m3 gs.)	2,94	CO ₂ (ml/m3 gs.)	4,63	SO ₂ (ml/m3 gs.)	14,00	Aire (kg/h)	8167	
d HCI(g/I)	1,63	d CO ₂ (mg/ml)	1,96	d SO ₂ (mg/ml)	2,86	kg aire	196008	
kg de HCl	2,93	kg de CO2	9,08	kg de SO₂	39,93			
	'							
		Sumatoria (kg) por turno	196059,94					
		% Aire	99,974					
		% HCI	0,001					
		% CO ₂	0,005					
		% SO ₂	0,020					

ANEXO 9

Gráfica para la determinación del Cp para gases de combustión

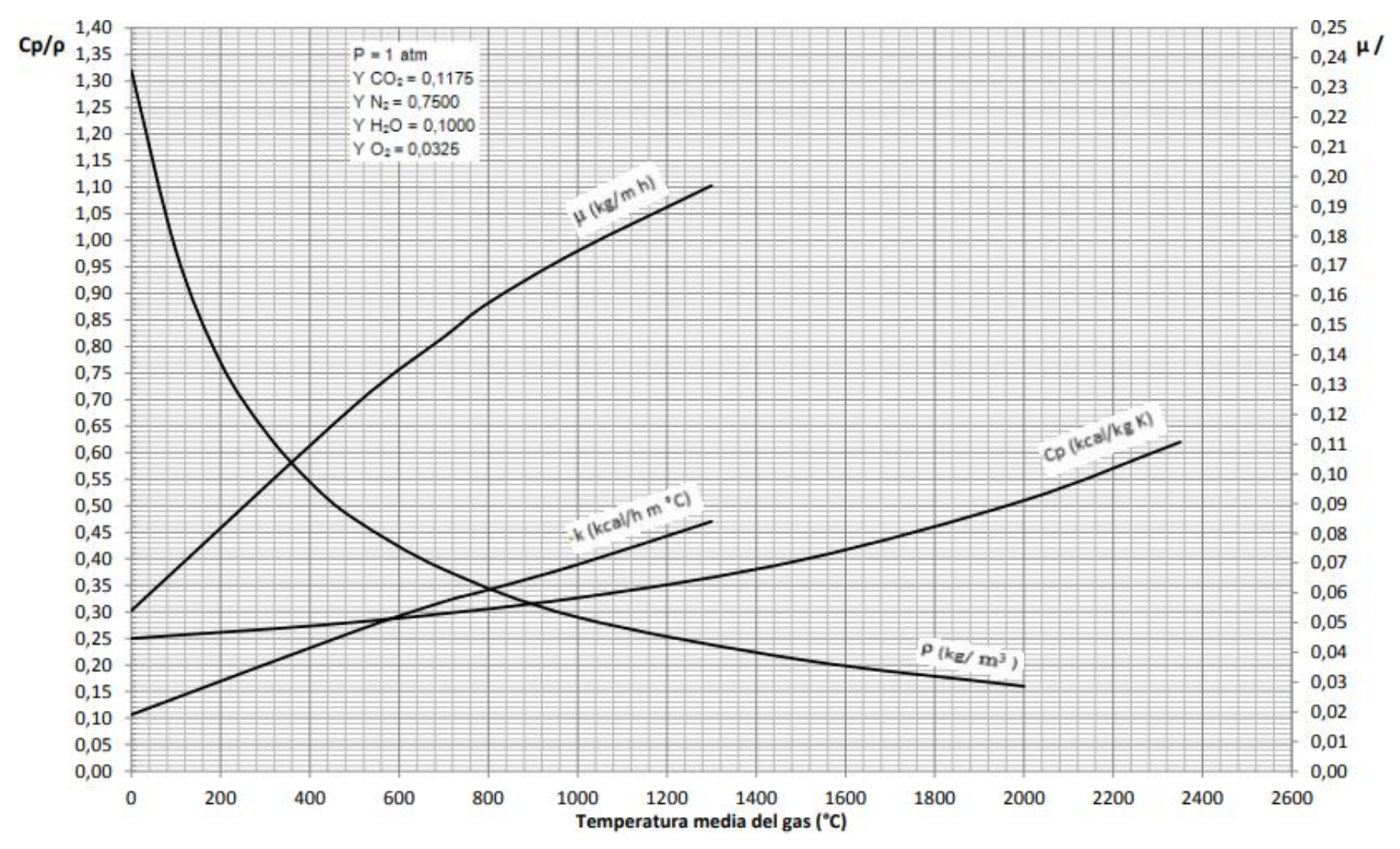


Figura 69. Propiedades de gases de combustión a P=1atm Fuente: (Montenegro, 2016)